

www.mientayvn.com

Dịch tiếng anh chuyên ngành khoa học tự nhiên và kỹ thuật.

Dịch các bài giảng trong chương trình học liệu mở của học viện MIT, Yale.

Tìm và dịch tài liệu phục vụ cho sinh viên làm seminar, luận văn.

Tại sao mọi thứ đều miễn phí và chuyên nghiệp ???

Trao i tr c tuy n t i:

www.mientayvn.com/chat_box_li.html

L i g i i t h i u v c u n s á c h t www.mientayvn.com

Cu n s á c h v t lí i n t và bán đ n này do các thành viên c a mientayvn.com g i n chúng tôi vào ngày 21/4/2009. Sách trình bày h u h t các v n tr ng y u c a v t lí bán đ n v i ph ng pháp s ph m đ hi u, k t h p v i các công c giáo đ c hi n i, c bi t là mô ph ng. Nh ng video mô ph ng và nh ng thí nghi m o c a vào minh h a các ý t ng lí thuy t tr u t ng. Các video này không c g i kèm cùng v i sách mà tác gi c a nó ch cho a ch ng i c có th truy c p trên Internet. ây ch là 5 ch ng u tiên c a sách, các ch ng ti p theo s c vi t trong m t ngày g n ây.

i t ng s đ ng sách này là sinh viên các chuyên ngành v t lí, i n t và b t c ai mu n nghi n c u và tìm hi u v bán đ n.

V tài li u tham kh o, chúng tôi khuyên b n nên c cu n Semiconductor physics and devices_ Basic principle c a giáo s Neaman i h c New Mexico. Sách này có nhi u bài t p và m t quy n bài gi i kèm theo.

Admin c a www.mientayvn.com ,

Nguy n Thanh Lâm



VẬT LÝ ĐIỆN TỬ VÀ BÁN DẪN
www.mientayvn.com

L I M U

TRI T LÍ VÀ M C TIÊU

M c ích c a sách là cung c p cho ng i c ki n th c c b n v c tính, ho t ng và gi i h n c a thi t b bán d n. thu c nh ng ki n th c này, v c b n ng i h c ph i có hi u bi t th u áo v các quá trình v t lí x y ra trong v t li u bán d n. M c tiêu c a sách h p nh t c h c l ng t , lí thuy t l ng t c a v t r n, v t lí v t li u bán d n, và v t lí thi t b bán d n l i v i nhau. T t c nh ng n i dung này là c n thi t hi u v ho t ng c a các thi t b bán d n trong hi n t i và nh ng s phát tri n trong t ng lai c a chúng.

L ng ki n th c v t lí c a vào trong tài li u này nhi u h n nh ng cu n sách gi i thi u v thi t b bán d n khác. M c dù t m bao quát c a sách h i r ng nh ng tác gi nh n th y r ng m t khi ng i c ã n m v ng ki n th c n n t ng và nh ng ki n th c v v t li u th u áo thì v t lí thi t b bán d n s c hi u m t cách nhanh chóng và d dàng. S nh n m nh nh ng ki n th c v t lí c b n s có l i trong vi c hi u và thi t k nh ng thi t b bán d n m i.

B i vì m c ích c a tài li u này là gi i thi u lí thuy t v thi t b bán d n, nên có r t nhi u lí thuy t nâng cao ã b b qua. Thêm vào ó, nh ng quá trình ch t o không c mô t chi ti t. Có vài th o lu n chung v k thu t ch t o ch ng h n nh khu ch tán và c y Ion, nh ng ây c n nh r ng nh ng k t qu c a quá trình ch t o này có tác ng tr c ti p n c tính c a thi t b .

I U KI N TIÊN QUY T TR C KHI C SÁCH

Sách này dành cho sinh viên n m III và n m IV. i u ki n tiên quy t hi u tài li u này là ki n th c toán h c cao c p, c bi t là ph ng trình vi phân (ch yêu c u ã h c s qua bi t tra c u đ ng nghi m c a m i lo i ph ng trình); v t lí i c ng, c bi t là t nh i n h c; và các môn v t lí hi n i, c bi t là c h c l ng t (Ch yêu c u ng i h c bi t s l c v c h c l ng t vì trong tài li u c ng nh c l i nh ng ki n th c c h c l ng t c n thi t). N u ng i c ã h c qua khóa h c nh p môn v m ch i n t thì s r t h u đ ng nh ng nó c ng không c n thi t ây.

CÁCH S P X P TRONG SÁCH

Sách bắt đầu giới thiệu kỹ thuật vật lý trong quá trình vật lý trong vật liệu bán dẫn và sau đó tiếp cận vật lý thiết bị bán dẫn. Chương 1 giới thiệu **cấu trúc tinh thể cách trn**, hàng loạt vật liệu bán dẫn và tinh thể lỏng. Chương 2 và 3 giới thiệu **hệ thống và lý thuyết lượng tử cách trn**, chúng là những kỹ thuật vật lý cơ bản.

Chương 4 và chương 6 tiếp cận quá trình vật lý trong vật liệu bán dẫn. Chương 4 giới thiệu **quá trình vật lý trong bán dẫn trạng thái cân bằng**; chương 5 nói về **hiện tượng vận chuyển hạt tải điện trong bán dẫn**. Sau đó, **đặc tính các hạt tải điện ngoài cân bằng** được xây dựng trong chương 6. Kỹ thuật vận hành các hạt tải điện ngoài cân bằng trong bán dẫn là cần thiết để hiểu về các quá trình vật lý trong thiết bị bán dẫn.

Vật lý thiết bị bán dẫn cơ bản được xây dựng từ chương 7 đến chương 13. Chương 7 tiếp cận các **quá trình điện trong tiếp xúc p-n cơ bản**. **Tiếp xúc kim loại-bán dẫn, tiếp xúc Schottky và tiếp xúc dị chất bán dẫn** được nghiên cứu kỹ lưỡng trong chương 9, trong khi đó chương 10 nói về **transistor lưỡng cực**. **Transistor lưỡng cực kim loại-oxit bán dẫn** được giới thiệu trong chương 11 và 12, và chương 13 tiếp cận **JFET**. Khi đã học qua chương tiếp xúc p-n, người học có thể học bất cứ chương nào trong các chương nói về các loại transistor vì các chương này được xây dựng độc lập với nhau. Chương 14 khảo sát **thiết bị quang học** và cuối cùng chương 15 tiếp cận **thiết bị bán dẫn dùng trong các mạch công suất**.

Chú ý: Những phần được đánh dấu * có nghĩa là bạn có thể bỏ qua chúng mà vẫn có thể hiểu những phần sau.

M c l c

L i m u

Ch ng 0: Bán d n và m ch tích h p (IC)

Ch ng 1: C u trúc tinh th c a ch t r n

Ch ng 2: Gi i thi u c h c l ng t

Ch ng 3: Gi i thi u lí thuy t l ng t c a ch t r n

Ch ng 4: Bán d n tr ng thái cân b ng

Ch ng 5: Hi n t ng v n chuy n h t t i i n

Ch ng 6: H t t i i n ngo i lai không cân b ng trong bán d n

Ch ng 7: Ti p xúc p-n

Ch ng 8: Diode ti p xúc p-n

Ch ng 9: Kim lo i-Bán d n và chuy n ti p đ th bán d n

Ch ng 10: Transistor l ng c c

Ch ng 11: C b n v transistor hi u ng tr ng Bán d n-Oxit-Kim lo i

Ch ng 12: Transistor hi u ng tr ng Bán d n-Oxit-Kim lo i: Nh ng khái ni m b sung

Ch ng 13: Transistor hi u ng tr ng

Ch ng 14: Thi t b quang

Ch ng 15: Thi t b bán d n công su t

Ph c l c A B ng kí t quy c

Ph c l c B H n v , b ng chuy n i và nh ng h ng s thông d ng

Ph l c C B ng tu n hoàn

Ph 1 c D Hàm sai s

Ph 1 c E Cách rút ra ph ́ng trình sóng Schrodinger

Ph 1 c F ́n v ́n ng l ́ng -Electron vôn

Ph 1 c G ́p s m t s bài t p

PHẦN MỞ ĐẦU

Bán Dẫn Và Mạch Tích Hợp (IC)

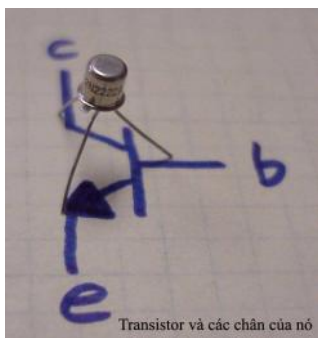
TỔNG QUAN

Chúng ta thường nghe mọi người nói rằng chúng ta đang sống trong thời đại thông tin. Mọi thông tin có thể thu được qua Internet và chúng ta có thể thu được mọi thứ một cách nhanh chóng qua những khoảng cách xa bằng những hình thức truy cập thông tin. Sự phát triển của transistor và IC đã dẫn đến những ứng dụng kinh tế này. IC thâm nhập vào hầu hết mọi mặt của cuộc sống hàng ngày của chúng ta như máy CD, máy Fax, máy Scan laser và các thiết bị khác, và dĩ nhiên là điện thoại di động. Một trong những ví dụ điển hình nhất của kỹ thuật tích hợp là máy tính siêu nhỏ – ngày nay mọi laptop đều có những ứng dụng tính toán hơn một triệu transistor được gói gọn trong một transistor cách đây vài năm. Nhờ vậy, việc bán dẫn tiếp tục là một lĩnh vực có tốc độ phát triển nhanh, với hàng nghìn tài liệu nghiên cứu được xuất bản mỗi năm.

LỊCH SỬ

Thị trường bán dẫn có một lịch sử phát triển khá dài nhưng sự bùng nổ của kỹ thuật tích hợp chỉ mới xảy ra trong hai hoặc ba thập niên gần đây. Tiếp xúc kim loại-bán dẫn bắt đầu những công trình trước đây của Braun vào năm 1874. Ông đã phát minh ra bản chất của điện trở tiếp xúc kim loại và bán dẫn. Những thí nghiệm này được dùng như detector trong những thí nghiệm trên radio trước đây. Vào năm 1906, Pickard đã phát minh về detector tiếp xúc kim loại dùng silic và, năm 1907, Pierce đã công bố nghiên cứu về tính chất của diode được chế tạo bằng cách phun kim loại trên những loại bán dẫn khác nhau.

Năm 1935, bằng cách dùng selen và diode tiếp xúc kim loại silic đã được dùng làm bộ phát hiện tia X. Việc phát triển của Radar, nhu cầu về những diode tách sóng và biến đổi sóng tăng lên. Những phương pháp tạo ra Silic và Germani chất bán dẫn công nghệ phát triển trong suốt thời gian này. Bước tiến trong hiểu biết về tiếp xúc kim loại-bán dẫn chỉ thực sự bắt đầu phát triển trong vật lý bán dẫn. Có lẽ kiến thức quan trọng nhất trong thời kỳ này là lý thuyết về sự phát xạ nhiệt của Bethe vào năm 1942, theo lý

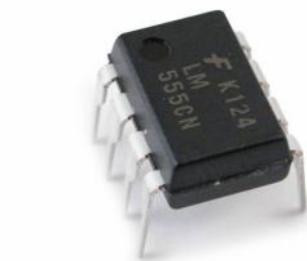


Transistor và các chân của nó

thuyết này dòng điện xác nhận bởi quá trình phát electron trong kim loại chỉ không phải qua sự trôi giạt hoặc khuếch tán. Một bước đột phá khác diễn ra vào năm 1947 khi transistor đầu tiên được chế tạo và được kiểm tra tại phòng thí nghiệm Bell bởi William Shockley, John Bardeen, và Walter Brattain. Transistor đầu tiên này là một thiết bị tiếp xúc điểm và dùng Germanium tinh thể. Hiện nay transistor được sản xuất chủ yếu trong silic. Một số công nghệ khác xuất hiện vào cuối những năm 1949 khi vật liệu tinh thể được thay cho vật liệu amorphous. Những tinh thể amorphous được sử dụng và một số tính chất của chúng khác biệt so với những vật liệu bán dẫn khác.

Bước tiến tiếp theo trong sự phát triển của transistor là sự đơn giản hóa quá trình khuếch tán hình thành nên những tiếp xúc điểm. Quá trình này cho phép tích tụ nhiều hơn tính chất của transistor và đã thu được những thiết bị có thể hoạt động tần số cao. Transistor mô phỏng bằng các chế tạo bằng phương pháp khuếch tán được thương mại hóa vào năm 1957 (loại Germanium) và năm 1958 (loại Silic). Quá trình khuếch tán cũng cho phép nhiều transistor được chế tạo trên một lớp silic tinh thể mỏng, vì vậy giá thành của những thiết bị này giảm xuống.

MICROPROCESSOR (IC)



IC định thời 555

Những lúc này, những thành phần trong mạch điện tử vẫn phải được kết nối với nhau bằng những dây riêng biệt. Tháng 11 năm 1958, Jack Kilby thuộc công ty Texas Instruments đã chế tạo IC đầu tiên bằng Germanium. Cũng trong khoảng thời gian đó, Robert Noyce thuộc công ty Fairchild Semiconductor cũng đã chế tạo thành công IC bằng silic dùng công nghệ planar. Mạch đầu tiên đã sử dụng transistor lưỡng cực. Sau đó, những transistor MOS được chế tạo vào giữa những năm 60. Công nghệ MOS, đặc biệt là CMOS đã trở thành tiêu chuẩn lựa chọn cho việc thiết kế và chế tạo IC. Silic là vật liệu bán dẫn chính được sử dụng trong chế tạo IC. GaAs và những bán dẫn hợp chất khác được dùng trong những ứng dụng đặc biệt đòi hỏi tần số cao và những thiết bị phát quang.

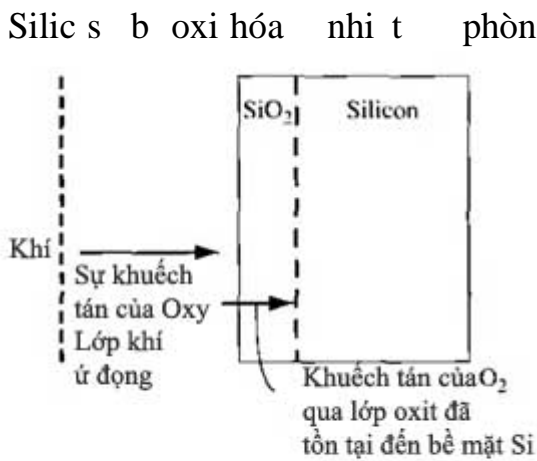
Kể từ IC đầu tiên đó, việc thiết kế mạch đã trở nên tinh vi hơn, và mạch tích hợp ngày càng phức tạp hơn. Chip silic tinh thể có 1 cm^2 đã chứa hàng triệu

tri u transistor. M t s IC có th có h n hàng tr m chân, trong khi m i transistor ch có 3 chân. M t IC có th ch a nh ng hàm i s , logic, và nh trong m t chip bán d n n tinh th –ví d v lo i IC này là vi x lí. Nh ng nghiên c u v quá trình ch t o silic cùng v i s t ng tính t ng hóa trong thi t k và ch t o ã d n n giá thành th p h n và s n l ng cao h n.

CH T O

M ch tích h p là k t qu tr c ti p c a v i c phát tri n nh ng k thu t ch t o transistor và nh ng dây liên k t trong chip n. Sau ây chúng ta s mô t m t vài quá trình này. Ph n gi i thi u này nh m m c ích cung c p cho ng i c m t s thu t ng c b n trong ch t o.

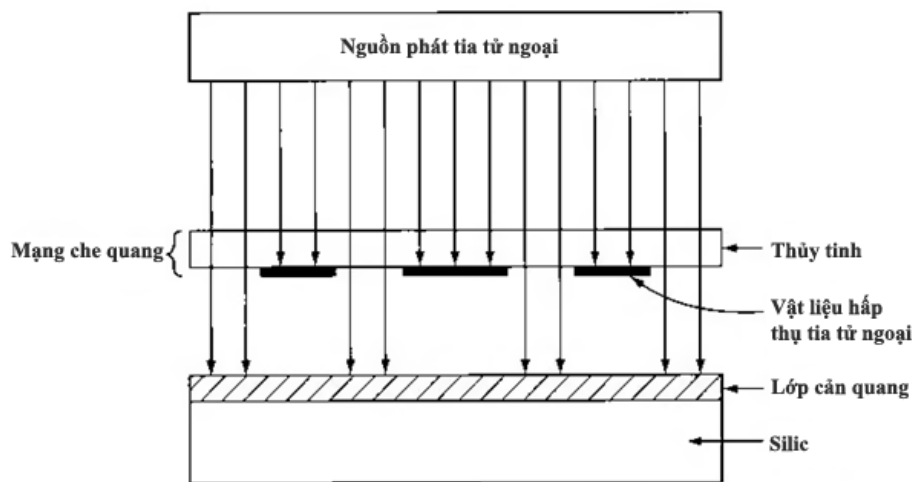
Oxi hóa nhi t S thành công c a nh ng IC c ch t o t tinh th silic là nh m t lo i oxit thiên nhiên tuy t v i, SiO_2 , c hình thành trên b m t silic. Oxit này c dùng nh c ng cách li trong MOSFET và c ng c dùng nh ch t cách i n gi a các thi t b và c g i là oxit tr ng. Nh ng dây liên k t b ng kim lo i k t n i nh ng thi t b khác nhau có th c t trên nh c a oxit tr ng. H u h t các ch t bán d n khác không hình thành oxit t nhiên dùng trong v i c ch t o thi t b .



Hình 0.1| Sơ đồ quá trình oxi hóa

Silic s b oxi hóa nhi t phòng trong không khí hình thành nên oxit t nhiên m ng có dày kho ng 25 \AA^0 . Tuy nhiên, a s s oxi hóa c th c hi n t i nhi t cao b i vì quá trình c b n òi h i oxi khu ch tán qua oxit ang t n t i n b m t silic t ng tác có th x y ra. S c a quá trình oxi hóa c bi u di n trong hình 0.1. Oxi khu ch tán tr c ti p qua l p khí ng k v i b m t oxit và sau ó khu ch tán qua l p oxit ang t n t i n b m c silic, ó O_2 t ng tác v i

Si hình thành nên SiO_2 . B i vì t ng tác này, silic b phá h y t i b m t c a nó. L ng silic b phá h y g n b ng 44% dày c a oxit sau cùng.



Hình 0.2| Sơ đồ biểu diễn việc dùng mạng che quang

Mạng che quang và quang khắc M ch trên m i chip c t o ra b ng cách dùng m ng che quang và quang kh c. M ng che quang là s bi u di n v m t v t lí c a m t thi t b h o c m t ph n c a thi t b .

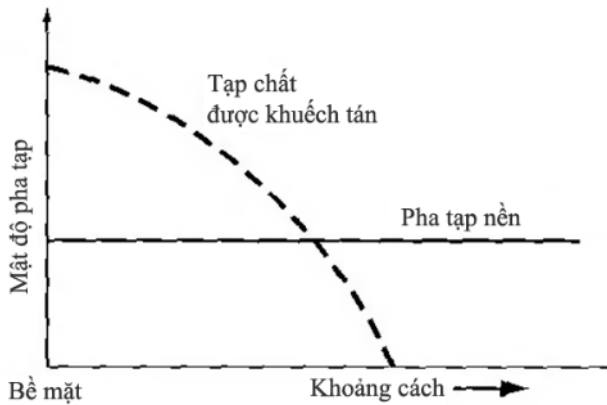
Vùng c trên m ng c t o b i v t li u h p th tia t ngo i. u tiên, m t l p nh y quang c g i là l p c n quang c ph trên b m t c a bán d n. L p c n quang là m t polime h u c th c hi n nh ng bi n i hóa h c khi t i p xúc v i ánh sáng t ngo i. L p c n quang t i p xúc v i ánh sáng t ngo i qua m ng che quang nh c ch ra trong hình 0.2. Sau ó, l p c n quang c phát tri n trong m t dung d ch hóa h c. Thu c hi n nh c dùng di chuy n nh ng ph n không mong mu n c a l p c n quang và t o ra m t hình d ng thích h p trên silic. M ng che quang và quá trình quang kh c là y u t then ch t xác nh xem thi t b ch t o ra có th nh nh th nào. Thay vì dùng ánh sáng t ngo i, electron và tia X c ng có th c dùng b c l p c n quang ra.

n mòn Sau khi hình d ng c a l p c n quang c hình thành, l p c n quang còn l i có th c dùng nh m t m t n , vì th v t li u không b ph b i l p c n quang s b n mòn. Hi n nay, n mòn Plasma là m t quá trình tiêu chu n c dùng trong ch t o IC. Thông th ng, m t ch t khí n mòn ch ng h n nh khí CFC (CloFlocarbon) c b m vào m t bu ng áp su t th p. Plasma c t o ra b ng cách t m t i n áp t n s radio gi a catot và anot. Mi ng silic c t catot. Nh ng ion mang i n đ ng trong Plasma c gia t c h ng v Catot và b n phá mi ng bán d n theo h ng vuông góc v i b m t. T ng tác v t lí và hóa h c th c s t i b m t r t ph c t p nh ng k t qu cu i cùng là silic có th b n mòn d h ng trong nh ng vùng c ch n l c c a mi ng bán d n. N u l p c n

quang cực tím vào bề mặt của silic ioxid thì silic ioxid cũng có thể bị mòn theo cách tương tự.

Khuếch tán

Quá trình nhiệt cực dùng rộng rãi trong chế tạo IC là khuếch tán. Khuếch tán là một quá trình mà qua đó những nguyên tử tạp chất có thể đi vào trong vật liệu silic. Quá trình pha tạp này làm thay đổi tính chất của silic và hình thành nên tiếp xúc pn. (Tiếp xúc pn là thành phần cơ bản của thiết bị bán dẫn.)



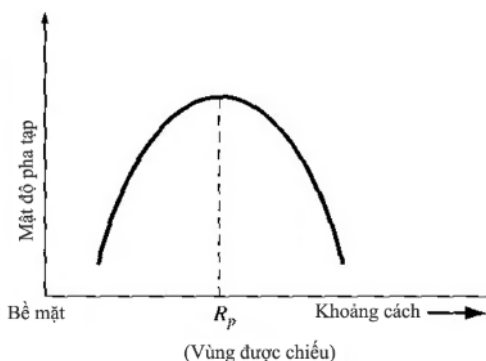
Hình 0.3 | Mật độ tạp chất sau cùng được khuếch tán vào bề mặt của bán dẫn

Mi-ning silic bị oxy hóa hình thành ioxid silic và những các sản phẩm trong oxit trong những vùng cực nhỏ là dùng kỹ thuật quang khắc và mòn nhúng vào các mô-đem trên.

Sau đó mi-ning bán dẫn cực tím trong lò nhiệt cao (khoảng 1100°C) và những nguyên tử pha tạp chèn hợp như Bo hoặc Photpho đi vào. Những nguyên tử pha

tạp đi vào khuếch tán và di chuyển vào trong silic do gradient mật độ. Bởi vì quá trình khuếch tán đòi hỏi gradient trong mật độ nguyên tử, mật độ sau cùng của những nguyên tử khuếch tán là phi tuyến như các biểu đồ trong hình 0.3. Khi mi-ning bán dẫn cực tím ra khỏi lò và nhiệt độ của mi-ning bán dẫn trở lại nhiệt phòng, hồ sơ khuếch tán của những nguyên tử pha tạp về cơ bản bằng 0 vì những nguyên tử pha tạp nằm trong vật liệu silic.

Cấy Ion đây là quá trình thay thế cho quá trình khuếch tán nhiệt cao. Mật độ chùm những ion pha tạp gia tăng nhanh chóng và nên bề mặt bán dẫn. Khi những ion đi vào silic, chúng va chạm với những nguyên tử silic, ánh xạ những



Hình 0.4 | Mật độ cấy Ion Bo vào Silic

lượng và cuối cùng lắng đọng sâu nào đó trong tinh thể. Bởi vì quá trình va chạm về bản chất là thống kê, do đó có một sự phân bố sâu thẳm như pha tạp ion

t p. Hình 0.4 bi u di n ví d v quá trình c y Bo vào silic t i m t n ng l ng nào ó.

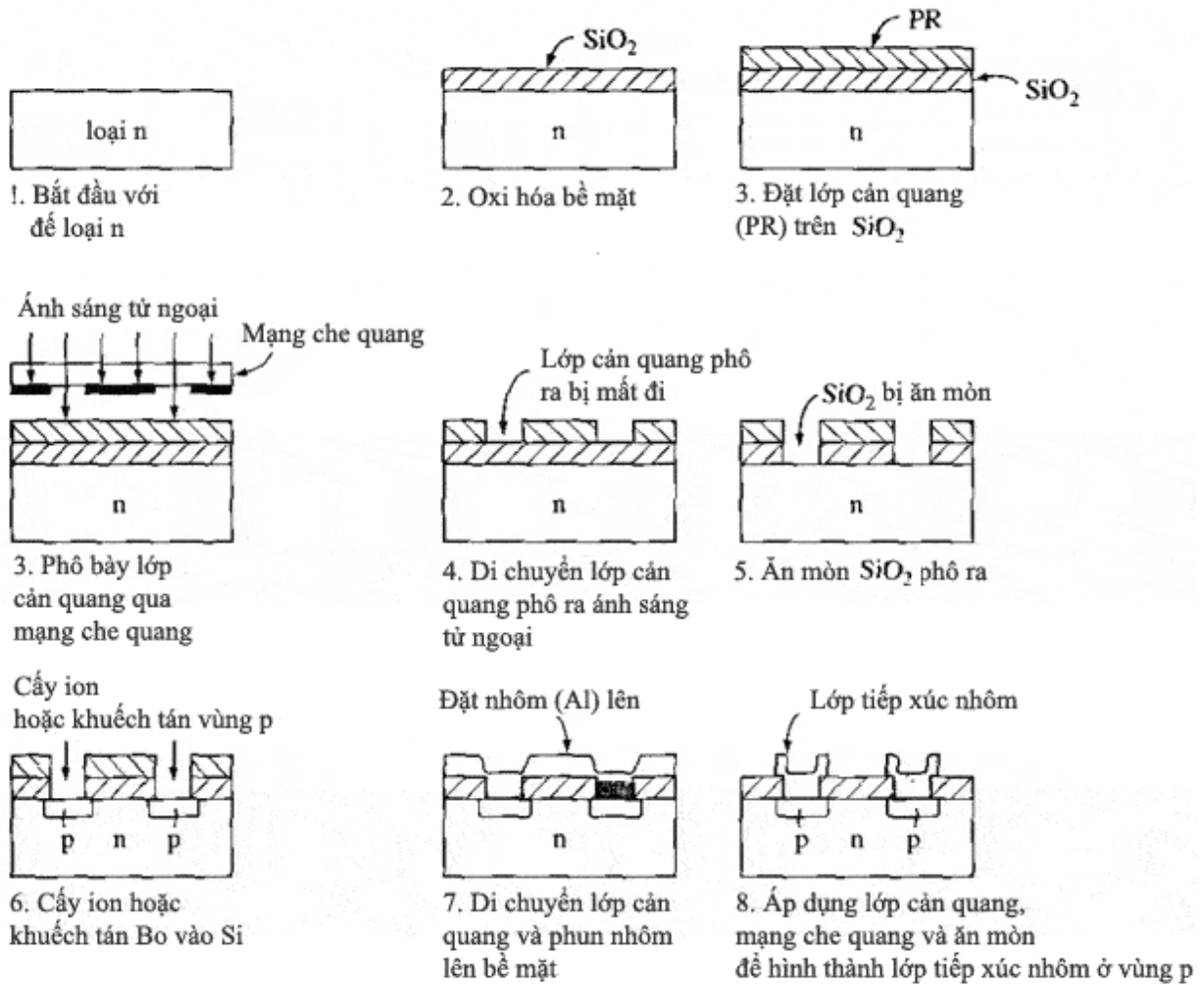
Hai u i m c a quá trình c y ion so v i quá trình khu ch tán là: (1) quá trình c y ion là m t quá trình nhi t th p và (2) nh ng l p t p ch t c c nh r t t t. L p c n quang và l p oxit có th c dùng ng n c n s thâm nh p c a nh ng nguyên t t p ch t cho quá trình c y Ion có th xu t hi n trong nh ng vùng r t c ch n l a c a silic.

M t nh c i m c a c y ion là tinh th silic có th b h ng b i s thâm nh p c a nh ng nguyên t t p ch t d n n s va ch m c a nh ng nguyên t t p ch t t i và nh ng nguyên t silic ch . Tuy nhiên, a s s h h ng có th c lo i b b ng cách luy n silic nhi t cao. Nhi t luy n th ng r t th p h n nhi t c a quá trình khu ch tán.

M kim lo i, liên k t, và óng gói Sau khi thi t b bán d n ã c ch t o b ng nh ng quy trình nh ã c th o lu n. Chúng c n c k t n i v i nhau hình thành nên m ch. Th ng màn kim lo i c k t t a b i k thu t k t t a chân không và nh ng dây liên k t c hình thành dùng quang kh c và n mòn. Nói chung, l p b o v nitric silic cu i cùng c k t t a trên toàn b chip.

Nh ng chip IC riêng bi t c tách ra b ng cách v ch và b gẫy mi ng bán d n. Sau ó chip IC c a vào trong gói. Cu i cùng, nh ng g ch liên k t b ng chì c dùng g n nh ng dây b ng nhôm ho c vàng gi a chip và các chân trên gói.

Tóm t t: Quá trình ch t o ti p xúc pn c n gi n hóa. Hình 0.5 này bi u di n nh ng b c c b n trong s hình thành ti p xúc pn. Nh ng b c này bao g m m t vài quá trình c mô t trong o n tr c.



Hình 0.5 Các bước cơ bản trong quá trình hình thành tiếp xúc pn

- Xem video mô tả các công nghệ chế tạo chip bán dẫn quang học [photolithography] tại: <http://www.youtube.com/watch?v=zFnJQjcnhGQ>
- Xem video mô tả các công nghệ chế tạo transistor NMOS bán dẫn quang học: <http://www.youtube.com/watch?v=725rVHro6uM>

CHƯƠNG I: CẤU TRÚC TINH THỂ CÁCH TRẦN

TỔNG QUAN

Tài liệu này nghiên cứu tính chất và cấu trúc tinh thể của vật liệu và thiết bị bán dẫn. Mà bán dẫn lại là chất rắn. Do đó tính chất của chất rắn cũng quan tâm hàng đầu. Bán dẫn nói chung là vật liệu tinh thể. Tính chất của vật liệu tinh thể không chỉ phụ thuộc vào thành phần hóa học mà còn phụ thuộc vào sắp xếp của các nguyên tử trong chất rắn; do đó, cần có một số tìm hiểu về cấu trúc tinh thể của chất rắn. Sự hình thành hoặc phát triển của vật liệu tinh thể là một phần quan trọng của kỹ thuật bán dẫn. Một số luận điểm về một vài kỹ thuật nuôi tinh thể của vào trong chương này cũng cấp cho người đọc một số thuật ngữ mô tả cấu trúc thiết bị bán dẫn. Chương này cũng cung cấp những kiến thức cần thiết về vật liệu tinh thể và sự hình thành của tinh thể cho người đọc có thể hiểu về tính chất của vật liệu và thiết bị bán dẫn.

1.1| VẬT LIU BÁN DẪN

Bán dẫn là một nhóm vật liệu có tính dẫn điện nằm trung gian giữa kim loại và chất cách điện. Hai loại bán dẫn chung nhất là vật liệu bán dẫn có bốn nhóm IV của bảng tuần hoàn, và vật liệu bán dẫn hợp chất, mà chúng được hình thành do sự kết hợp của các nguyên tử nhóm III và nhóm V. Bảng 1.1 biểu diễn một phần của bảng tuần hoàn trong đó có những bán dẫn phân bố và bảng 1.2 liệt kê một vài vật liệu bán dẫn. (Bán dẫn có thể được hình thành từ sự kết hợp của các nguyên tử nhóm II và VI, nhưng nói chung những vật liệu này không được xét trong tài liệu này.)

Bảng 1.2| Bảng liệt kê vài chất bán dẫn

Bán dẫn cơ bản	
Si	Silic
Ge	Germani
Bán dẫn hợp chất	
AlP	Aluminum phosphide
AlAs	Aluminum arsenide
GaP	Gallium phosphide
GaAs	Gallium arsenide
InP	Indium phosphide

Bảng 1.1| Một phần của bảng tuần hoàn

III	IV	V
B	C	
Al	Si	P
Ga	Ge	As
In		Sb

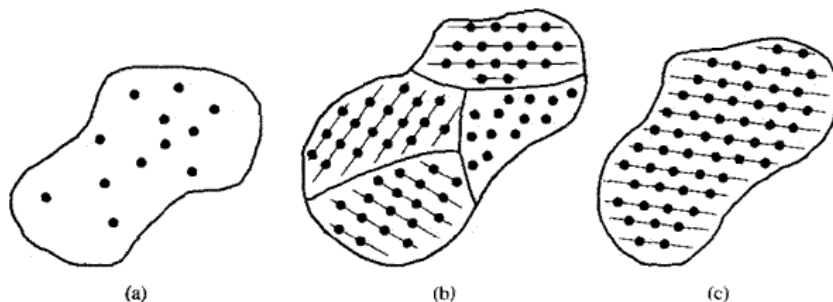
Những bán dẫn cơ bản là những bán dẫn mà trong thành phần cấu trúc của nó chỉ có một loại nguyên tử là silic hoặc germany. Hiện nay silic là bán dẫn phổ biến nhất được dùng trong mạch tích hợp và sản xuất các linh kiện xuyên trong tài liệu này.

Những hợp chất hai nguyên tử thường gặp như GaAs hoặc GaP được hình thành bằng sự kết hợp của những nguyên tử nhóm III và V. GaAs là một trong những bán dẫn hợp chất phổ biến nhất. Tính chất quang học tốt của nó làm cho nó hữu dụng trong những thiết bị quang học. GaAs được dùng trong những ứng dụng đặc biệt như những ứng dụng đòi hỏi vận tốc cao.

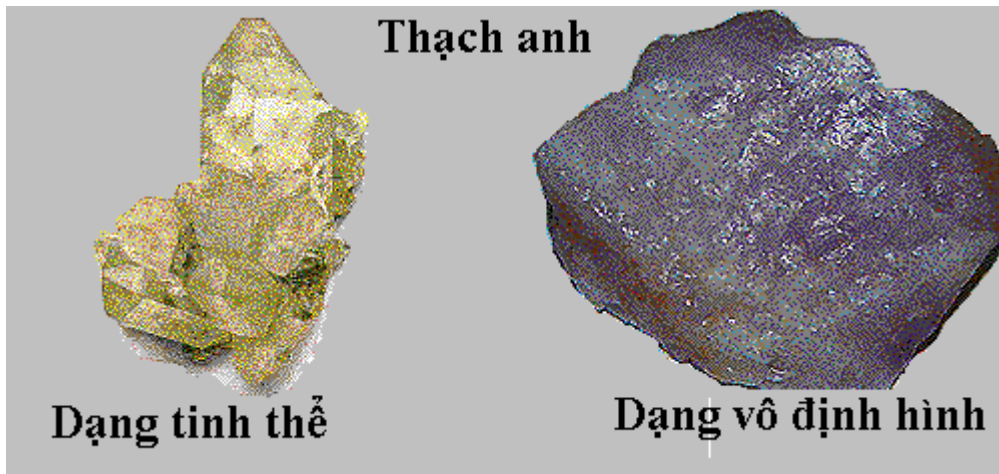
Bên cạnh đó còn có những bán dẫn hợp chất 3 nguyên tử. Một ví dụ là $Al_xGa_{1-x}As$, trong đó chứa x phần trăm nguyên tử có 3 nguyên tử nhôm. Những chất bán dẫn hợp chất phần trăm có thể hình thành cùng cấp số đo khi chúng có tính chất vật lý.

1.2|PHÂN LOẠI CHẤT RẮN

Bản chất nội tại của chất rắn là vô định hình, đa tinh thể, và đơn tinh thể. Một loại cấu trúc nguyên tử kích thước của vùng có trật tự trong vật liệu. Một vùng có trật tự là vùng trong không gian đó những nguyên tử hoặc những phân tử có sắp xếp hình học tuần hoàn. Vật liệu vô định hình có trật tự chỉ trong một vài hàng nguyên tử hoặc phân tử, trong khi vật liệu đa tinh thể có một trật tự cao hơn trên nhiều hàng nguyên tử hoặc phân tử. Những vùng có trật tự này, hoặc những vùng đơn tinh thể thay đổi kích thước và số lượng hình dạng trong những vùng khác. Vùng đơn tinh thể có giới hạn là l p và được chia tách với những l p khác bởi biên l p. Một cách lý tưởng có thể xem vật liệu đơn tinh thể có một trật tự cao, hoặc tuần hoàn hình học tuần hoàn trong toàn bộ thể tích của vật liệu.



Hình 1.1| Ba loại chất rắn: (a) vô định hình, (b) đa tinh thể, (c) đơn tinh thể



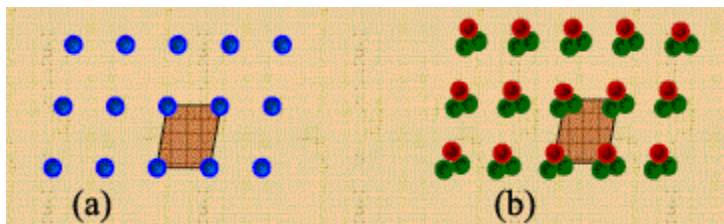
Nói chung, sự thu nhận các vật liệu tinh thể là một tính chất đặc trưng của nó. Các hợp chất tinh thể không phải là tinh thể, bởi vì biên độ có khuynh hướng làm giảm tính ổn định. Biểu diễn hai cấu trúc vật liệu vô định hình, tinh thể, và vật liệu tinh thể được trình bày trong hình 1.1.

1.3] MÔ HÌNH KHÔNG GIAN

Chúng ta sẽ khảo sát tinh thể với sự hoàn chỉnh cấu trúc trong sự sắp xếp nguyên tử của nó. Một ví dụ điển hình, hoặc nhóm các nguyên tử có liên kết sau những khoảng trống mà chúng hình thành tinh thể. Sự sắp xếp tuần hoàn của những nguyên tử trong tinh thể có thể là mạng.

1.3.1 Ô mạng và ô mạng cơ sở

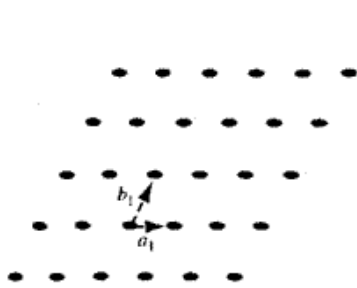
Chúng ta có thể biểu diễn một nguyên tử (a) hoặc nhóm các nguyên tử (b) nào đó bằng một chấm chấm có thể là điểm mạng. Ví dụ: trong tinh thể Silicon, mỗi điểm mạng của nó là một nguyên tử silic; còn trong tinh thể natri, mỗi điểm mạng của nó là phân tử natri.



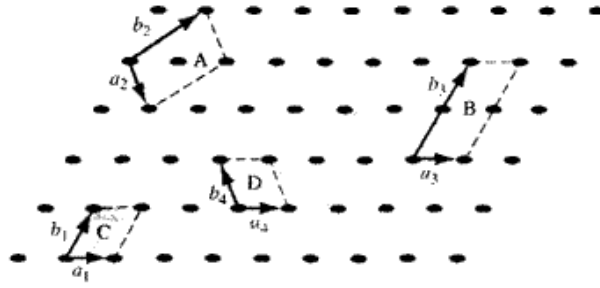
Hình 1.2 biểu diễn mạng hai chiều vô hạn bao gồm những điểm mạng. Cách nhận xét liên quan đến các nguyên tử hoặc nhóm nguyên tử là tính tuần hoàn. Mỗi điểm mạng trong hình 1.2 có thể được tính toán một cách độc lập theo một chiều và

khong cách mb_1 theo chi u th 2 t o ra m ng 2 chi u (n, m là các s nguyên). S t nh ti n theo chi u th 3 s t o ra m ng 3 chi u. Nh ng h ng t nh ti n không c n vuông góc nhau.

Nhìn vào hình 1.3, chúng ta th y r ng ch c n l p l i m t trong các hình bình hành A, B, C, D thì s t o ra c toàn b m ng tinh th . Các hình bình hành này g i là các ô n v . Ô n v A có th c t nh ti n theo h ng a_2 và b_2 , ô n v B có th c t nh ti n theo h ng a_3 và b_3 , và toàn b m ng 2 chi u có th c xây d ng b ng cách t nh ti n c 2 lo i ô n v này. Nh ng ô n v C và D trong hình 1.3 c ng có th c dùng xây d ng toàn b m ng b ng cách dùng nh ng phép t nh ti n thích h p. V y chúng ta có th nh ngh a ô n v là m t th tích nh c a tinh th có th c dùng t o ra toàn tinh th . Ô n v không ph i là duy nh t. Nh ng k t qu c a vi c kh o sát m ng 2 chi u có th d dàng c m r ng cho tr ng h p 3 chi u môt v t li u n tinh th th c.



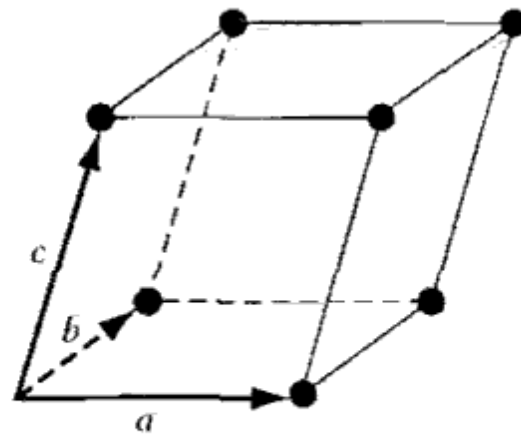
Hình 1.2| Biểu diễn hai chiều của mạng đơn tinh thể



Hình 1.3| Biểu diễn hai chiều của mạng đơn thể trong đó có chỉ ra những ô đơn vị

Ô n v t i gi n là ô n v nh nh t mà có th c l p l i hình thành m ng. Trong nhi u tr ng h p, s thu n l i h n n u dùng ô n v ch không ph i ô n v t i gi n. Ô n v c ch n có nh ng m t bên vuông góc trong khi nh ng m t bên c a ô n v t i gi n có th không vuông góc.

M t lo i ô n v 3 chi u c bi u di n trong hình 1.4. M i quan h



Hình 1.4| Một loại ô đơn vị trong trường hợp 3 chiều

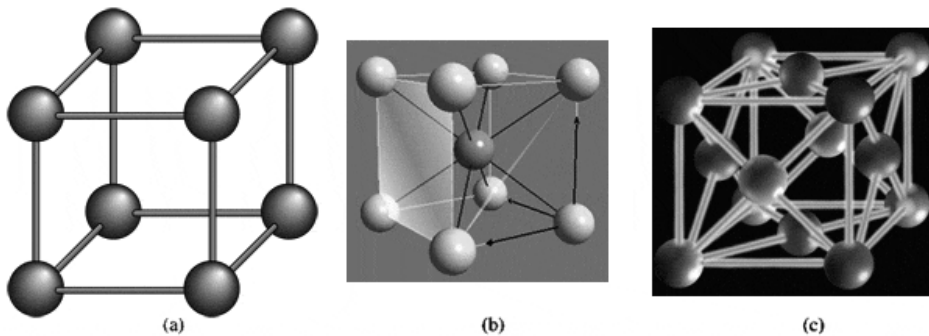
giả sử này và mong muốn có thể biểu diễn 3 vectơ \mathbf{a} , \mathbf{b} , và \mathbf{c} . Ba vectơ này không cần thì thẳng góc nhau và có thể bằng nhau hoặc không bằng nhau về độ dài. Mọi điểm trong không gian 3 chiều có thể tìm được bằng cách dùng vectơ:

$$\mathbf{r} = p\mathbf{a} + q\mathbf{b} + s\mathbf{c} \quad (1.1)$$

Ở đây p , q và s là những số nguyên. Bởi vì vị trí của gốc tọa độ là tùy ý, chúng ta sẽ chọn p , q và s là những số nguyên dương cho đơn giản.

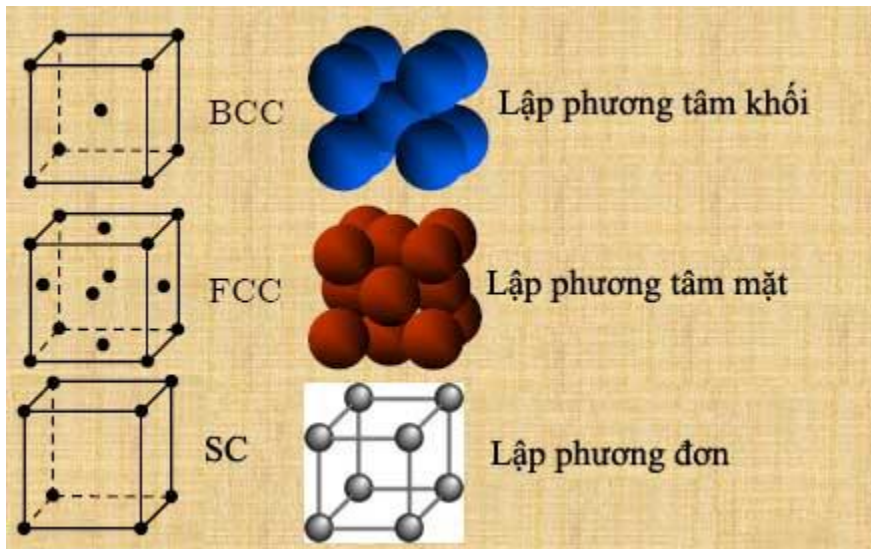
1.3.2 Cấu trúc mạng tinh thể

Trước khi thảo luận về tinh thể bán dẫn, chúng ta hãy xét 3 cấu trúc tinh thể và xác định một số tính chất cơ bản của mạng tinh thể này. Hình 1.5 biểu diễn các cấu trúc lập phương đơn, lập phương tâm khối và lập phương tâm mặt. Để tiện việc nghiên cứu cấu trúc nguyên tử này, chúng ta có thể chọn những đơn vị sao cho những vectơ \mathbf{a} , \mathbf{b} , và \mathbf{c} vuông góc với nhau và có độ dài bằng nhau. Cấu trúc lập phương đơn (SC) có một nguyên tử tại mỗi đỉnh; cấu trúc lập phương tâm khối (BCC) có thêm một nguyên tử tại tâm của hình lập phương; và cấu trúc lập phương tâm mặt (FCC) có thêm những nguyên tử nằm ở trung tâm của các mặt.



Hình 1.5] Ba loại mạng: (a) Lập phương đơn, (b) Lập phương tâm khối, (c) Lập phương tâm mặt

Bằng cách tìm hiểu về cấu trúc tinh thể của vật liệu và hình mạng của nó, chúng ta có thể xác định vài tính chất của tinh thể. Chẳng hạn, chúng ta có thể xác định một số tính chất của nguyên tử.

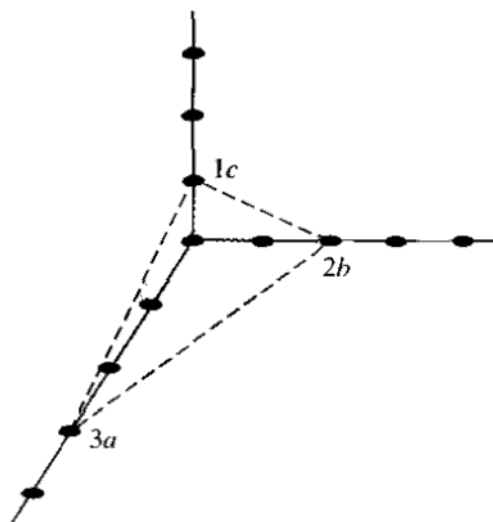


1.3.3 Mật độ tinh thể và chỉ số Miller

Bởi vì tinh thể thực có kích thước không xác định, nghĩa là cứ đi cùng chúng ta thì số lượng nguyên tử trong một đơn vị khối lượng cũng thay đổi. Vì vậy tính chất vật lý của tinh thể có thể thay đổi theo hướng khác nhau. Chúng ta muốn mô tả hướng trong tinh thể theo một hướng nhất định, hoặc một phương trong tinh thể có thể mô tả bằng cách đầu tiên xem xét giao điểm của một phương dọc theo hướng trục a , b , và c để dùng mô tả hướng.

Ví dụ 1.2: Hãy mô tả một phương bất kỳ trong hình 1.6. (trong hình 1.6 hướng trục a , b , c)

Giải:



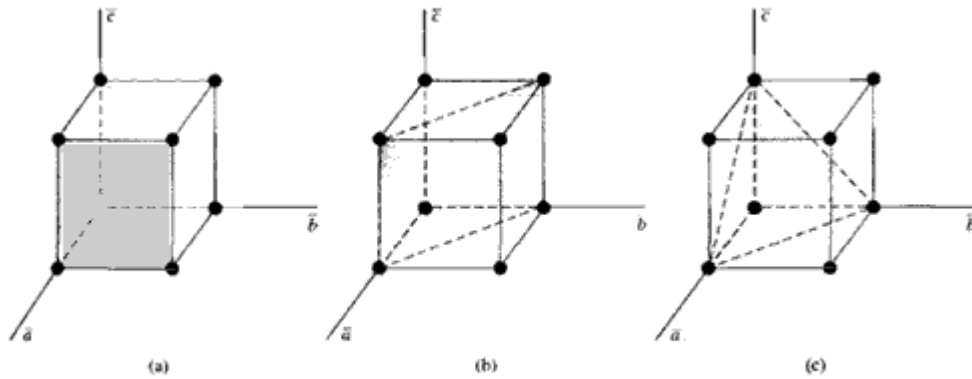
Hình 1.6| Mặt phẳng tinh thể đại diện

- Giao điểm của một phương với ba trục a , b , c là $p=3, q=2, v=1$.
- Lấy nghịch đảo, chúng ta có: $(1/3; 1/2; 1/1)$
- Quy nhân mẫu số ba phân số này: $(2/6; 3/6; 6/6)$
- Hướng chỉ số là hướng chỉ số biểu diễn một phương, nghĩa là chúng ta có một phương

(2,3,6). Như vậy, chỉ số này cũng chính là chỉ số Miller.

- Chúng ta sẽ tìm mặt phẳng trong trường hợp tổng quát là (hkl)
- Kết luận: Như mặt phẳng song song với mặt phẳng trong hình 1.6 sẽ có cùng chỉ số Miller là $(2,3,6)$. Như vậy, các mặt phẳng song song nhau hoàn toàn tương đương nhau.

Ba mặt phẳng thường được xét trong tinh thể lập phương được biểu diễn trong hình



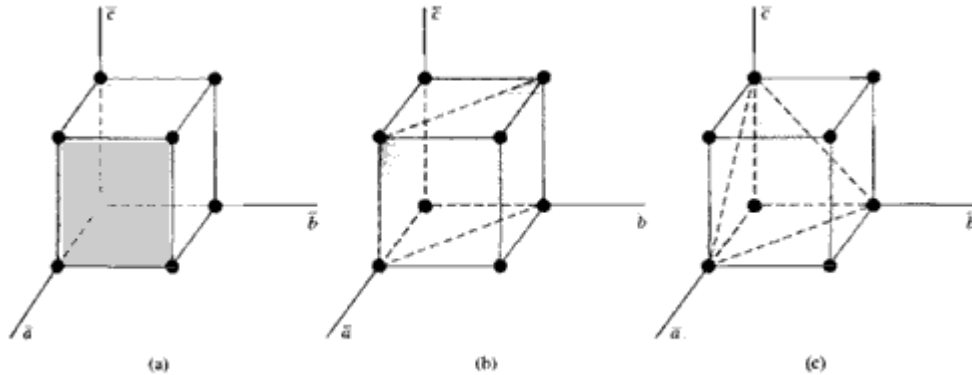
Hình 1.7] Ba mặt phẳng mạng: (a) mặt phẳng (100), (b) mặt phẳng (110), (c) mặt phẳng (111)

1.7. Mặt phẳng trong hình 1.7a song song với trục b và c vì vậy giao điểm là $p=1, q=$ và $s=$. Lấy nghịch đảo, chúng ta thu được chỉ số Miller là $(1, 0, 0)$, vì vậy mặt phẳng được biểu diễn trong hình 1.7a là mặt phẳng (100). Mặt lân cận a, b và c chia tách bằng một số nguyên liên hệ sẽ tương đương hoàn toàn tương đương nhau và cũng chính là mặt phẳng (100). Mặt số thu được là vì lý do giao điểm thu được chỉ số Miller là tránh được vì số dương khi mô tả mặt phẳng song song với trục. Tuy nhiên, nếu chúng ta mô tả mặt phẳng đi qua gốc tọa độ, chúng ta sẽ thu được một họ các chỉ số Miller không xác định sau khi lấy nghịch đảo của giao điểm. Tuy nhiên, vị trí của gốc tọa độ là hoàn toàn tùy ý và vì vậy bằng phép tịnh tiến gốc tọa độ thì mặt phẳng tương đương khác, chúng ta sẽ tránh được điều này trong trường hợp chỉ số Miller.

Trong cấu trúc lập phương, lập phương tâm khối và lập phương tâm mặt có mặt bcc rất quan trọng. Như trục c có thể quay 90° một trong 3 chiều và mặt bcc thì có thể mô tả bằng phương trình (1.1):

$$r = pa + qb + sc \tag{1.1}$$

M i m t c a c u tr u c l p ph ng c bi u di n trong hình 1.7a hoàn toàn t ng



Hình 1.7] Ba mặt phẳng mạng: (a) mặt phẳng (100), (b) mặt phẳng (110), (c) mặt phẳng (111)

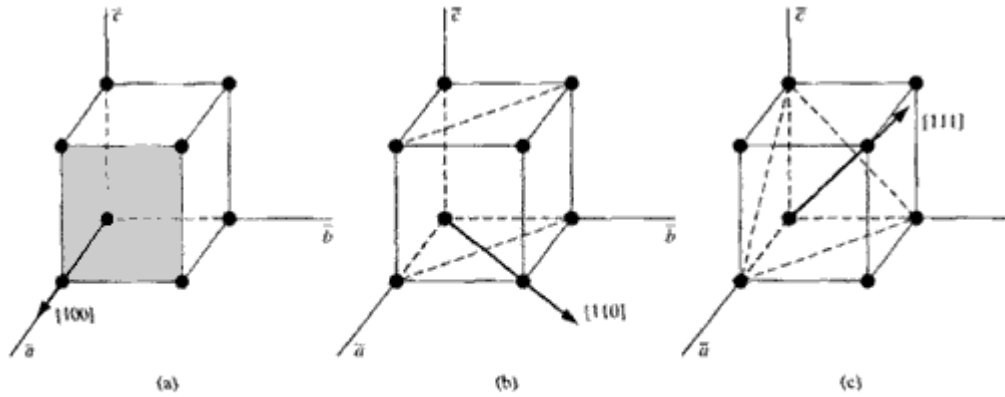
ng. Nh ng m t ph ng này c nhóm v i nhau và c g i là t p nh ng m t ph ng {100}.

Chúng ta ti p t c xét nh ng m t ph ng c bi u di n trong hình 1.7b và 1.7c. Giao i m c a m t ph ng c bi u di n trong hình 1.7b là $p=1, q=1$, và $s=$. Ch s Miller c tìm b ng cách l y ngh ch o c a nh ng giao i m này, và k t qu là, m t ph ng này c g i là m t ph ng (110). Theo cách t ng t , m t ph ng c bi u di n trong hình 1.7c c g i là m t ph ng (111).

M t c tính khác c a tinh th c ng có th c xác nh là kho ng cách gi a nh ng m t ph ng t ng ng g n nh t. M t c tính khác là m t b m t c a nguyên t , s nguyên t trên cm^2 ($\#/\text{cm}^2$) b c t b i m t m t ph ng nào ó. C n nh r ng, bán d n n tinh th có kích th t xác nh và ph i k t thúc t i m t s b m t. M t b m t c a nguyên t là quan tr ng trong nhi u tr ng h p, ch ng h n trong vi c xác nh nh ng v t li u khác, nh i n môi, s kh p v i b m t c a v t li u bán d n nh th nào.

Cùng v i vi c mô t m t ph ng tinh th trong m ng, chúng ta còn mu n mô t nh ng h ng c bi t trong tinh th . H ng có th c bi u di n qua t p h p 3 s nguyên là nh ng thành ph n t a c a m t vecto theo h ng ó. Ch ng h n, ng chéo c a m ng l p ph ng n s có t a là 1,1,1. Do ó, ng chéo c mô t theo h ng [111]. D u ngo c vuông dùng phân bi t v i d u ngo c tròn (c dùng ch m t ph ng m ng). Ba h ng c b n và nh ng m t ph ng m ng có liên quan c a c u tr u c l p ph ng n c bi u di n trong hình 1.9. Chú

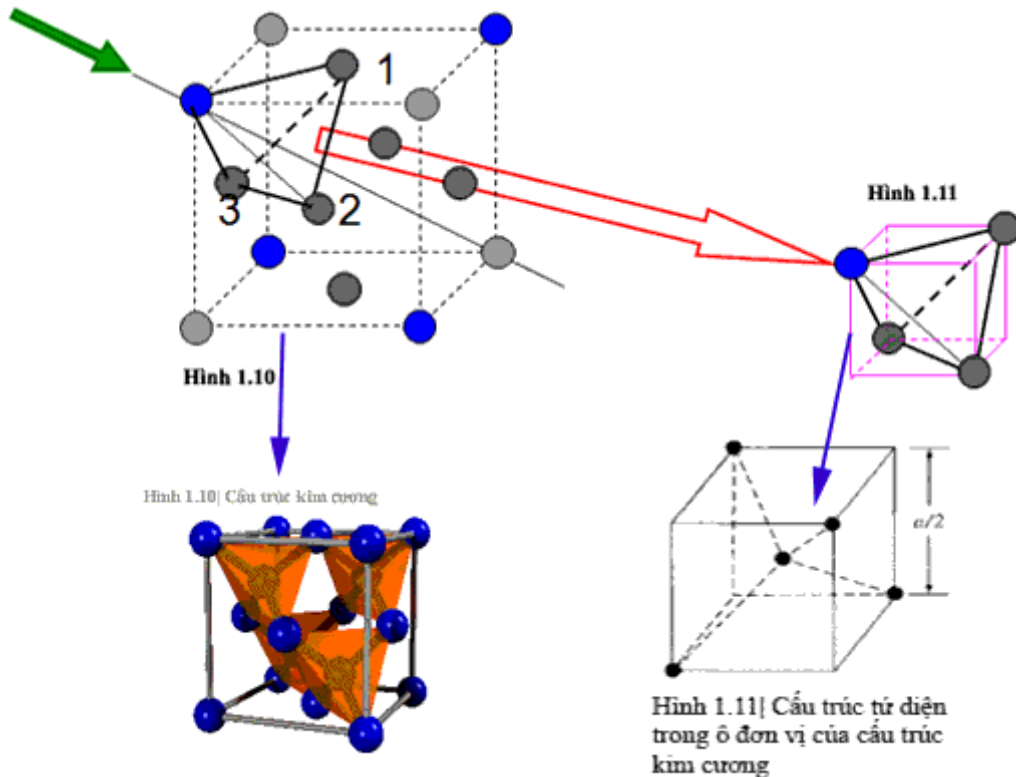
ý r ng trong m ng l p ph ng n, h ng [hkl] vuông góc v i m t ph ng (hkl).
 Tính ch t này s không còn úng trong m ng không ph i l p ph ng.



Hình 1.9] Ba hướng và mặt phẳng mạng: (a) mặt phẳng (100) và hướng [100], (b) mặt phẳng (110) và hướng [110], (c) mặt phẳng (111) và hướng [111]

1.3.4 Cấu trúc kim cương

Nh ã t ng nói, silic là m t v t li u bán d n ph bi n nh t. Silic là nguyên t nhóm IV và có c u trúc kim c ng. Germany c ng là m t nguyên t nhóm IV và có c u trúc gi ng kim c ng. Ô n v c a kim c ng c bi u di n trong hình 1.10.



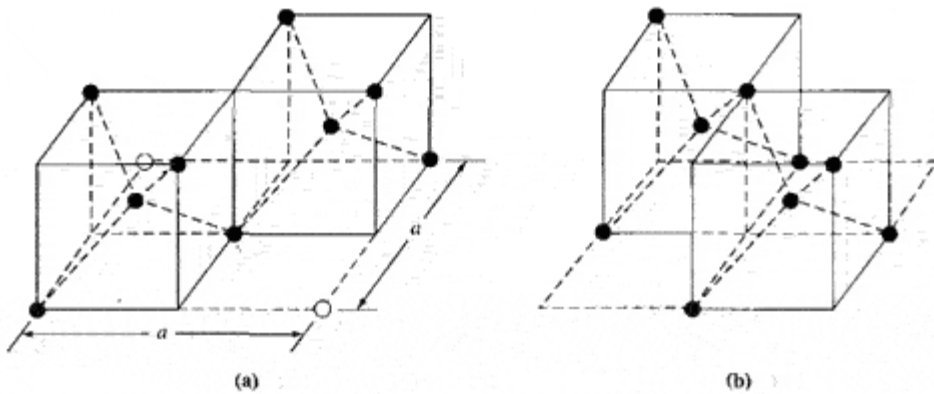
Chúng ta có th b t u hi u m ng kim c ng b ng cách xem xét c u trúc t di n c bi u di n trong hình 1.11. V c b n c u trúc này là l p ph ng tâm kh i thi u 4

nguyên tử các nh.

Mỗi nguyên tử trong cấu trúc tinh thể có 4 nguyên tử lân cận gần nhất và cấu trúc này là thành phần cơ bản của mạng kim cương.

Có một vài cách hình dung cấu trúc kim cương. Một cách hiệu quả sâu hơn về cấu trúc kim cương là xét hình 1.12.

Hình 1.12a biểu diễn 2 cấu trúc lập phương tâm khối, hoặc tinh thể, nhưng cấu trúc này lệch nhau. Những vòng tròn tô đen biểu diễn những nguyên tử trong mạng tinh thể mở ra khi cấu trúc tinh thể nghiêng sang trái hoặc sang phải một góc nhỏ.



Hình 1.12| Mạng kim cương (a) nửa dưới (b) nửa trên

Hình 1.12b biểu diễn nửa trên của cấu trúc kim cương. Nửa trên của 2 cấu trúc tinh thể lệch nhau theo một góc vuông góc với những trục tọa độ. Một tính chất quan trọng trong cấu trúc kim cương là bất kỳ nguyên tử nào trong cấu trúc kim cương cũng có 4 nguyên tử lân cận gần nhất. Chúng ta sẽ rút ra tính chất này một lần nữa khi nghiên cứu về liên kết nguyên tử trong phần tiếp theo.

1.4|LIÊN KẾT HÓA HỌC GIỮA CÁC NGUYÊN TỬ VÀ PHÂN TỬ TRONG TINH THỂ

Có một số phần trong sách này có kèm theo các video rút ra giúp các bạn nhanh chóng nắm bắt ý tưởng cơ bản. Vì các video có dung lượng lớn không thể gửi kèm theo tài liệu này, nên tác giả gửi địa chỉ cho bạn trên trang www.mientayvn.com xem. Hãy copy link kèm và dán vào thanh address trên trình duyệt web của bạn. Sao đó, bạn sẽ tìm thấy các video. Nếu bạn không có

ng truy n Internet thì các b n có th xem các video này vào m t d p thu n l i nào ó. Không sao c vì nó là ph n tham kh o [tùy ch n].

Các video trong ph n này xin các b n xem t i a ch :

<http://mientayvn.com/Dien%20tu/Sach/Vat%20li%20dien%20tu%20va%20ban%20dan/Chuong%20I/14.html>

Chúng ta ang xem xét nh ng c u trúc n tinh th khác nhau. Câu h i n y sinh là t i sao m t c u trúc tinh th nào ó l i thiên v m t cách t h p các nguyên t theo cách riêng c a nó. M t nh lu t c b n trong t nhiên là n ng l ng t ng trong m t h tr ng thái cân b ng nhi t có khuynh h ng t n giá tr c c ti u. T ng tác xu t hi n gi a nh ng nguyên t hình thành nên ch tr n nh m t n n ng l ng toàn ph n c c ti u và t ng tác này ph thu c vào t ng lo i nguyên t . Do ó, lo i liên k t ho c t ng tác gi a nh ng nguyên t ph thu c vào nguyên t c th ho c nh ng nguyên t trong tinh th . N u không có liên k t m nh gi a nh ng nguyên t , chúng s “không dính” v i nhau t o nên ch tr n.

T ng tác gi a nh ng nguyên t có th c mô t theo c h c l ng t . M c dù nh ng ki n th c v c h c l ng t c a vào trong ch ng sau nh ng s mô t các liên k t hóa h c trong nguyên t theo c h c l ng t v n n m ngoài ph m vi nghiên c u c a tài li u này. Tuy nhiên, chúng ta có th thu c nh ng ki n th c nh tính v cách th c t ng tác c a nh ng nguyên t b ng cách xem xét nh ng electron l p ngoài cùng hay nh ng electron hóa tr trong nguyên t .

Nh ng nguyên t t i 2 biên c a b ng tu n hoàn (ngo i tr khí tr) có khuynh h ng m t ho c thu electron hóa tr hình thành nh ng Ion. Do ó, v c b n nh ng ion này có l p n ng l ng ngoài cùng y hoàn toàn. Nh ng nguyên t nhóm I c a b ng tu n hoàn có khuynh h ng m t m t electron c a chúng và tr thành ion mang i n d ng, trong khi nh ng nguyên t nhóm VII c a b ng tu n hoàn có khuynh h ng thu thêm m t electron và tr thành ion mang i n âm. Nh ng ion mang i n d ng này s t ng tác Coulomb và hình thành liên k t c g i là liên k t ion. N u nh ng ion này n g n nhau thì l c y s chi m u th vì v y có m t kho ng cách cân b ng gi a hai ion này. Trong tinh th , nh ng ion mang i n âm có khuynh h ng b bao quanh b i nh ng ion mang i n d ng và nh ng ion mang i n d ng có khuynh h ng b bao quanh b i nh ng ion mang i n âm, vì v y m ng tu n hoàn nguyên t c hình thành t o nên m ng

tính th. Ví dụ điển hình của liên kết ion là NaCl. Video sau đây sẽ biểu diễn quá trình hình thành liên kết ion giữa nguyên tử Na và nguyên tử Cl.

Tổng tác giả như nguyên tử có khuynh hướng hình thành như là đầy đủ hoàn toàn như chúng ta thấy trong liên kết ion. Một liên kết nguyên tử khác có khuynh hướng tự nhiên đầy đủ là liên kết cộng hóa trị, ví dụ như trong phân tử hydro. Nguyên tử hydro có một electron và cần một electron nữa để có thể lấp đầy lớp vỏ ngoài cùng.



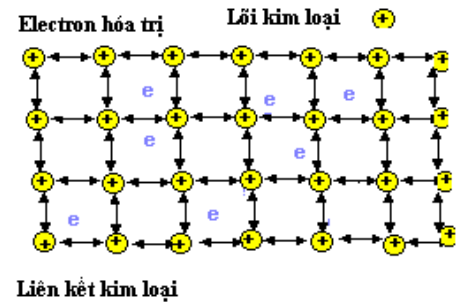
Hình 1.15| Biểu diễn (a) những electron hóa trị của nguyên tử hydro (b) liên kết cộng hóa trị trong phân tử hydro

Sau đó, hai nguyên tử hydro không tương tác và phân tử hydro vẫn là liên kết cộng hóa trị được biểu diễn trong hình 1.15. Liên kết cộng hóa trị dựa trên việc dùng chung electron giữa nguyên tử, kết quả là lớp electron hóa trị của mỗi nguyên tử đầy đủ. Video sau mô tả quá trình hình thành liên kết cộng hóa trị của phân tử hydro và phân tử nước (Hydrogen: nguyên tử hydro, hydrogen molecule: phân tử hydro, water molecule: phân tử nước).

Như nguyên tử nhóm IV của bảng tuần hoàn, ví dụ như Si và Ge cũng có khuynh hướng hình thành liên kết cộng hóa trị. Như nguyên tử này có 4 electron hóa trị và cần thêm 4 electron hóa trị để tự nhiên có hình bền vững. Chẳng hạn, nguyên tử silic có 4 nguyên tử lân cận gần nhất, trong đó mỗi nguyên tử đóng góp một electron hóa trị dùng chung thì nguyên tử giữa sẽ có 8 electron lấp ngoài cùng. Hình 1.16a biểu diễn nguyên tử silic không tương tác trong đó mỗi nguyên tử có 4 electron hóa trị. Hình 1.16b là biểu diễn hai chi tiết của liên kết cộng hóa trị trong silic. Nguyên tử trung tâm có 8 electron hóa trị.

Một sự khác nhau cơ bản giữa liên kết cộng hóa trị của hydro và của silic là khi phân tử hydro được hình thành, nó không có những electron được thêm vào hình thành thêm những liên kết cộng hóa trị, trong khi những nguyên tử silic bên ngoài luôn luôn có sẵn những electron hóa trị hình thành thêm những liên kết cộng hóa trị. Do đó, những nguyên tử silic hình thành nên một tinh thể có kích thước không xác định, trong đó mỗi nguyên tử silic có 4 nguyên tử lân cận gần nhất và 8 electron được dùng chung. Bản nguyên tử lân cận gần nhất hình thành nên liên kết cộng hóa trị tương đương với cấu trúc tinh thể và mạng kim cương, nó là một ví dụ được biểu diễn trong hình 1.11 và 1.10. Tất nhiên, liên kết nguyên tử và cấu trúc tinh thể có liên hệ trực tiếp với nhau.

Loại liên kết nguyên tử thứ 3 là liên kết kim loại. Nguyên tử nhóm I có một electron hóa trị. Chẳng hạn, nếu hai nguyên tử Natri ($Z=11$) có cùng năng lượng, những electron hóa trị sẽ tương tác với nhau giống như trong liên kết cộng hóa trị. Khi nguyên tử Natri thứ 3 có cùng năng lượng hai nguyên tử, những electron hóa trị cũng có thể tương tác và tập trung hình thành một liên kết. Natri thứ 4 nên có cấu trúc lớp phân tâm khác, vì vậy mỗi nguyên tử có 8 nguyên tử lân cận gần nhất trong đó mỗi nguyên tử góp vào một electron. Chúng ta có thể xem những ion dương kim loại tích tụ quanh bề mặt bị mất các electron, chúng trở nên tích tụ với nhau bất liên tục. Sơ đồ mô tả này cho ta một bức tranh về tính chất liên kết kim loại.



Một loại liên kết nguyên tử thứ 4 là liên kết Van der Waals. Đây là liên kết yếu nhất trong các liên kết hóa học. Chẳng hạn, phân tử HF có hình thành bởi liên kết ion. Tâm hiđrô dương của phân tử mang điện dương không trùng với tâm hiđrô dương của phân tử mang điện âm. Sự bất tích cực trong phân tử tích điện dẫn đến sự hình thành một lực yếu giữa các phân tử có thể tương tác với những lực yếu giữa các phân tử HF khác. Bởi vì tương tác yếu, chúng trở nên có hình thành bởi liên kết Van der Waals có nhiệt nóng chảy thấp – một đặc tính của các vật liệu này tồn tại ở dạng khí trong điều kiện nhiệt độ phòng.

Xem video mô tả hình thành phân tử HF bằng liên kết Van der Waals.

1.5|KHUY T T T VÀ T P CH T TRONG CH T R N

Các video trong phần này xin xem tại:

<http://mientayvn.com/Dien%20tu/Sach/Vat%20li%20dien%20tu%20va%20ban%20dan/Chuong%20I/15.html>

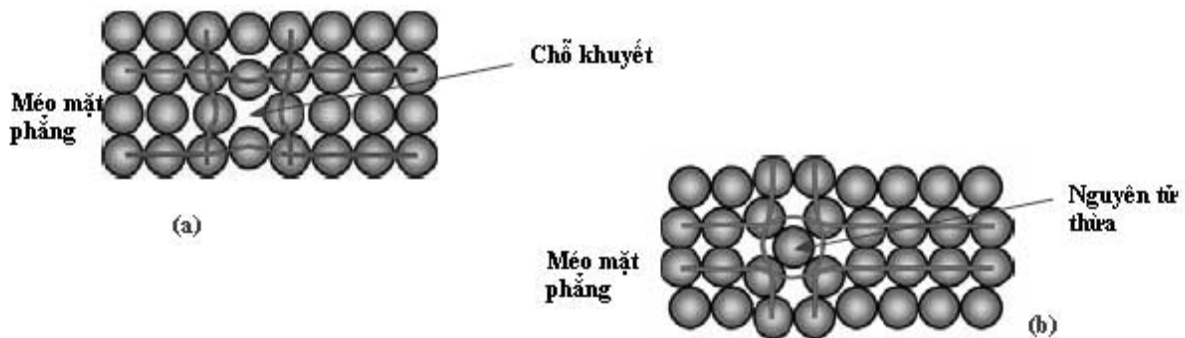
Cho đến lúc này, chúng ta chỉ mới khảo sát cấu trúc tinh thể lý tưởng. Trong tinh thể thực, mạng không hoàn hảo mà chúng ta đang nghiên cứu; nghĩa là, sự tồn tại hoàn hảo hình học hoàn hảo bị gián đoạn theo những cách thức nào đó. Khuyết tật có khuynh hướng làm biến tính chất của vật liệu, và trong một số trường hợp, những tham số này có thể chịu ảnh hưởng mạnh mẽ bởi những khuyết tật hoặc tập trung này.

1.5.1 Khuyết tật trong cấu trúc

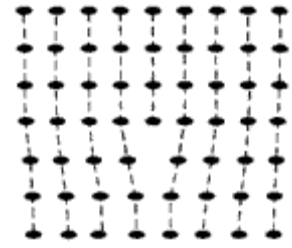
Một loại khuyết tật mà tất cả các tinh thể đều có là dao động. Trong tinh thể hoàn hảo của nguyên tử (nguyên tử, phân tử hoặc ion) thì các nút mạng, nguyên tử này cách nhau một khoảng bằng hằng số. Ngoài ra, các hạt trong tinh thể có một nhiệt độ dao động nào đó, nó là hàm theo nhiệt độ. Nhiệt độ dao động này làm cho nguyên tử dao động ngẫu nhiên quanh vị trí cân bằng. Dao động nhiệt ngẫu nhiên này làm cho khoảng cách giữa các nguyên tử biến đổi một cách ngẫu nhiên, phá vỡ sự sắp xếp tuần hoàn của nguyên tử. Khuyết tật này cũng gọi là dao động mạng như hình vẽ minh họa ở đây. Chúng ta sẽ thấy sau đây trong quá trình khảo sát tính chất của vật liệu bán dẫn.

Một loại khuyết tật khác là sai hỏng điểm. Có vài loại mà chúng ta cần xem xét. Trong một mạng tinh thể lý tưởng, nguyên tử sắp xếp một cách tuần hoàn đều đặn. Tuy nhiên, trong tinh thể thực, một nguyên tử có thể bị mất một nút mạng nào đó. Khuyết tật này cũng gọi là nút khuyết; nó cũng biểu diễn trong hình 1.17a. Trong trường hợp khác, một nguyên tử có thể chèn vào giữa hai nút mạng. Sai hỏng này cũng gọi là sai hỏng ngoài nút và cũng biểu diễn trong hình 1.17b. Trong trường hợp sai hỏng chèn khuyết và sai hỏng ngoài nút, không chỉ sự sắp xếp hình học của nguyên tử bị phá vỡ mà liên kết hóa học lý tưởng giữa nguyên tử cũng bị gián đoạn, điều này dẫn đến làm thay đổi tính chất của vật liệu. Sai hỏng chèn khuyết và sai hỏng ngoài nút thường gặp nhau sẽ tác động lẫn nhau và hình thành sai hỏng chèn khuyết-ngoài nút. Sai hỏng chèn khuyết-ngoài nút này cũng gọi là sai hỏng Frenkel tạo ra như hình vẽ khác biệt so với hình sai hỏng chèn khuyết và sai hỏng ngoài nút riêng lẻ.

Hình 1.17 | Biểu diễn hai chiều của mạng đơn tinh thể (a) sai hỏng chỗ khuyết (b) sai hỏng ngoài nút



Sai hỏng liên quan đến vị trí các nguyên tử hoặc mạng nguyên tử. Trong số hình thành vật liệu tinh thể, những sai hỏng phần có thể xuất hiện. Chúng hình thành sai hỏng xuất hiện khi đẩy các nguyên tử b thì u trong mạng tinh thể. Sai hỏng này có thể là sai hỏng và các biểu diễn trong hình 1.18. Chúng như là vị sai hỏng liên kết, sai hỏng làm gián đoạn liên kết hoàn hình học của mạng và những liên kết nguyên tử liên kết trong tinh thể. Sai hỏng này có thể làm thay đổi tính chất của vật liệu, thường là theo những cách thức không thể tiên đoán được như là vị sai hỏng liên kết.



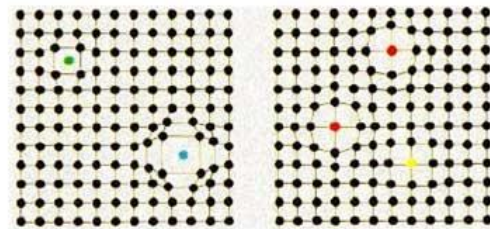
Hình 1.18 | Biểu diễn hai chiều sự méo đường

Những sai hỏng phần khác nhau có thể hình thành trong mạng tinh thể. Phần lớn phần này chủ yếu dựa vào một vài loại sai hỏng cơ bản và chúng trong tinh thể không nhất thiết là một cấu trúc tinh thể hoàn hảo. Những sai hỏng này có tính chất của bán dẫn sẽ được xét trong chương sau.

1.5.2 Tạp chất trong chất rắn

Những nguyên tử bên ngoài, hoặc những nguyên tử tạp chất có thể hình thành trong mạng tinh thể. Những nguyên tử tạp chất có thể nằm một cách ngẫu nhiên, trong trường hợp này chúng có thể là tạp chất thay thế. Những nguyên tử có thể nằm giữa những mạng tinh thể bình thường, trong trường hợp này chúng có thể là tạp chất ngoài nút. Các loại tạp chất này là sai hỏng mạng và các biểu diễn trong hình 1.19. Một số tạp chất, chẳng hạn như Oxi trong Si có khuynh hướng thay thế; tuy nhiên, chẳng hạn như vàng hoặc photpho trong Si có thể thay thế tính chất của vật liệu một cách ngẫu nhiên.

Hình 1.19 | Biểu diễn hai chiều của mạng đơn tinh thể cho thấy (a) tạp chất ngoài nút (b) tạp chất thế chỗ



(a) Tạp chất ngoài nút

(b) Tạp chất thế chỗ

Trong chương 4, chúng ta sẽ thấy rằng, bằng cách thêm một lượng tạp chất có kiểm soát, tính chất của bán dẫn có thể thay đổi tùy ý. Kỹ thuật thêm những

nguyên tử tiếp xúc vào vật liệu bán dẫn thay đổi tính chất của nó cũng là phát xạ. Có hai phương pháp phát xạ quang: khuếch tán tiếp xúc và cấy Ion.

Quy trình khuếch tán thực sự phụ thuộc vào hình dạng bên ngoài của bán dẫn, nói chung, khuếch tán tiếp xúc thực hiện bằng cách tinh thể bán dẫn môi trường khí nhiệt độ cao ($g \approx 1000^0 C$) chuyển nguyên tử tiếp xúc. Nhiệt độ cao này, nhiệt độ nguyên tử tinh thể có thể chuyển động ngẫu nhiên trong và ngoài nhúng một tinh thể của chúng. Nhưng khuếch tán có thể xảy ra do chuyển động ngẫu nhiên này vì vật liệu nguyên tử tiếp xúc có thể di chuyển trong mạng bằng cách nhảy từ chỗ khuếch tán này đến chỗ khuếch tán khác. Khuếch tán tiếp xúc là một quá trình mà một tiếp xúc di chuyển từ vùng có nồng độ cao về phía vùng có nồng độ thấp trong tinh thể. Khi nhiệt độ nguyên tử tiếp xúc bắt đầu bằng trong nhúng một pha thay đổi. Sự khuếch tán nhúng tiếp xúc khác nhau vào nhúng vùng của bán dẫn cho phép chúng ta chế tạo nhúng một chế độ tiếp xúc trên một tinh thể bán dẫn.

Nói chung, quá trình cấy Ion xảy ra nhiệt độ thấp hơn khuếch tán. Một chùm nhúng ion tiếp xúc gia tốc năng lượng trong khoảng 50 KeV hoặc lớn hơn và sau đó bắn vào bán dẫn. Nhiệt độ phát xạ năng lượng cao đi vào tinh thể và đóng lại một sâu trung bình tính toán. Một ưu điểm của cấy ion là có thể đưa khi cần nhiệt độ nguyên tử ion đi vào một vùng cụ thể của tinh thể. Một nhược điểm của kỹ thuật này là nhiệt độ nguyên tử tiếp xúc tiếp xúc làm biến đổi nhiệt độ nguyên tử tinh thể làm hỏng thay đổi vị trí mạng. Tuy nhiên, hiện tượng làm hỏng mạng có thể tránh bằng cách luy n nhiệt, nghĩa là tăng nhiệt độ của tinh thể trong thời gian ngắn. Sự luy n nhiệt là bước cần thiết sau khi cấy ion.

Video sau đây dùng tinh thể NaCl minh họa các loại sai hỏng điểm trong mạng tinh thể. Trong quá trình xem video, bạn có thể gặp một số thuật ngữ sau:

- Defect in solid: nhúng khuếch tán trong chỗ trống
- In this module, you will learn about the various types of point defects present in the crystal lattice of solid: Trong phần này, chúng ta sẽ khảo sát nhúng loại sai hỏng điểm khác nhau trong mạng tinh thể của chỗ trống.
- Defects in crystalline solids: Sai hỏng trong chỗ trống kết tinh
- Point defect: sai hỏng điểm

- Line defect: sai hỏng đường
- Point defects are of three types: sai hỏng điểm gồm 3 loại
- Stoichiometric: hợp thành
- Non stoichiometric: không hợp thành
- Impurity defects: sai hỏng tạp chất
- In cases of non ionic solids, the stoichiometric defect are of two types: trong trường hợp chất rắn không phân tử ion, sai hỏng hợp thành gồm hai loại
- Vacancy defects: sai hỏng chỗ khuyết
- Interstitial defects: sai hỏng ngoài nút
- Frenkel defects: sai hỏng Frenkel
- Schottky defects: sai hỏng Schottky
- Impurity defecs: sai hỏng tạp chất

*1.6| CÁC KỸ THUẬT NUÔI CẤY VẬT LIỆU BÁN DẪN

Các video trong phần này xin xem tại:

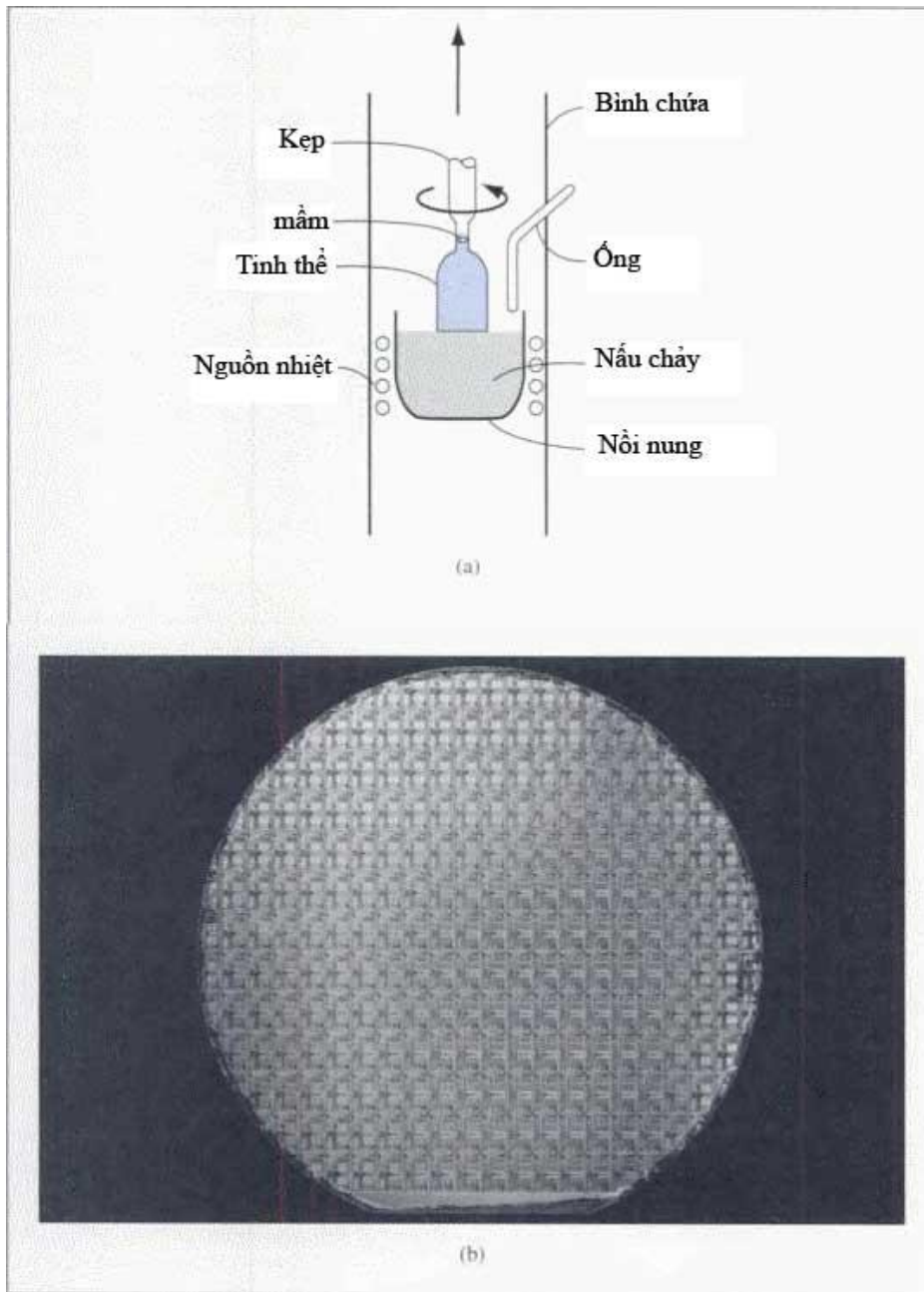
<http://mientayvn.com/Dien%20tu/Sach/Vat%20li%20dien%20tu%20va%20ban%20dan/Chuong%20I/16.html>

Sự thành công trong việc chế tạo mạch tích hợp cỡ rất lớn (VLSI) là kết quả của sự phát triển và cải tiến kỹ thuật nuôi vật liệu bán dẫn tinh thể thu nhận khi tinh thể trong sản phẩm vật liệu tinh khiết nhất. Chẳng hạn, Si có nồng độ tạp chất cao nhất chỉ 1 phần triệu. Yêu cầu tinh khiết cao này đòi hỏi phải có các thiết bị trong việc phát triển và xử lý vật liệu mới trong quá trình chế tạo. Các công nghệ và quy trình phát triển tinh thể các kỹ thuật và các mô tả các cách rất chung chung trong tài liệu này. Tuy nhiên, những kỹ thuật chế tạo vật liệu bán dẫn và những kỹ thuật chế tạo sẽ được đề cập.

1.6.1 Nuôi bán dẫn cách đơn

Kỹ thuật thông thường nuôi tinh thể đơn là phương pháp Czochralski. Trong kỹ thuật này, một miếng nhỏ vật liệu bán dẫn được đưa vào trong một ống nghiệm chứa chất lỏng nóng chảy. Sau đó, một đầu của ống nghiệm được kéo chậm rãi lên. Khi miếng bán dẫn được kéo lên, sự hòa tan xảy ra tại đầu ống nghiệm. Thông thường, tinh thể được quay chậm khi nó đang được kéo lên. Điều này giúp cho việc nuôi tinh thể đơn. Những nguyên tắc tạp chất, chẳng hạn như Boron hoặc Phospho có thể được thêm vào bán dẫn đang tan chảy. Hình 1.20 biểu

di n s c a quá trình nuôi Crochralski và th i silic c hình thành trong quá trình này.



Hình 1.20| (a) Mô hình bộ kéo tinh thể và (b) ảnh của miếng silic với một dãy các IC. Mạch được kiểm tra trên miếng silic và sau đó được tách thành những chip riêng biệt.

Video sau đây s mô t ph ng pháp Czochralski:

Một vài t p ch t có thể đi vào th i m t cách ng u nhiên. S tnh ch vùng là k thu t ph bi n làm tnh khi t v t li u. Cu n c m nhi t cao, ho c cu n dây c m ng r-f c cho i ch m d c theo chi u dài c a th i. Nhi t c c m ng b i cu n dây cao cho m t l p ch t l ng m ng c hình thành. T i l p ti p xúc r n-l ng, có s phân b t p ch t gi a hai pha. Thông s mô t s phân b này c g i là h s phân t ng: t s gi a m t t p ch t trong ch t r n v i m t trong ch t l ng. Ch ng h n, n u h s phân t ng b ng 0.1 thì có ngh a là n ng t p ch t trong ch t l ng l n g p 10 l n n ng t p ch t trong ch t r n. Khi vùng ch t l ng di chuy n trong v t li u, t p ch t c d n theo ch t l ng. Sau vài o n c a cu n dây r-f, h u nh t p ch t b d n v cu i thanh, r i b c t. Di chuy n vùng n u ch y, ho c k thu t l c vùng có th t o c m c tnh khi t c n thi t.

Sau khi bán d n c hình thành, th i bán d n c o g t có ng kính thích h p và l y m t m t ph ng chu n trên toàn b chi u dài c a th i kí hi u s nh h ng trong tinh th . M t ph ng này vuông góc v i h ng [110] ho c bi u th m t ph ng (110). (xem hình 1.20b). Do ó, i u này cho phép nhi u chip riêng bi t c ch t o theo m t m t ph ng tinh th ã cho sao cho nh ng chip có th c tách ra t ng ph n d dàng h n. Sau ó th i này c c t thành t ng mi ng. M i mi ng ph i dày t h tr v m t c khí cho nó. Thao tác mài 2 m t c khí t o ra m t mi ng ph ng có dày ng nh t. B i vì quá trình mài có th l i nh ng b m t b h ng và b làm b n do ho t ng c khí, b m t ph i c l y i b ng c ch hóa h c. B c cu i cùng là ánh bóng. B c này cho ra m t b m t nh n mà nh ng thi t b có th c ch t o ho c nh ng quá trình nuôi c y ti p theo có th c ti n hành trên nó. Mi ng bán d n cu i cùng này c g i là v t li u .

Video sau ây s cho b n bi t quy trình ch t o ra nh th nào

CHƯƠNG II: GIỚI THIỆU VỀ CƠ HỌC QUANTUM

CHƯƠNG II

CƠ HỌC QUANTUM

TỔNG QUAN

Mục đích của tài liệu này là giúp người học hiểu rõ hơn về tính chất của vật chất bán dẫn. Một cách lý tưởng, chúng ta sẽ khảo sát những thí nghiệm này ngay từ khi học. Tuy nhiên, hiểu về thuyết V-A, chúng ta cần hiểu biết về tính chuyển động của electron trong tinh thể khi electron chịu sự tác động của các trường khác nhau.

Chuyển động của các vật thể vi mô, chẳng hạn như các hành tinh và vật thể có thể tiên đoán với chính xác cao dùng vật lý cổ điển dựa trên các định luật chuyển động của Newton. Trong khi đó những thí nghiệm về electron và sóng ánh sáng cao độ dường như mâu thuẫn với vật lý cổ điển. Tuy nhiên, những thí nghiệm này có thể tiên đoán bằng các định luật cơ học lượng tử. Lý thuyết sóng cơ học lượng tử là cơ sở cho lý thuyết vật lý bán dẫn.

Chúng ta sẽ tập trung vào những vật lý bán dẫn mà tính chất của nó liên quan trực tiếp đến tính chuyển động của electron trong mạng tinh thể. Hành vi và tính chất của những electron này có thể mô tả bằng cơ học sóng. Cơ học sóng sử dụng phương trình Schrodinger và phương trình này có giá trị ưu trong chương này.

Mục tiêu của chương này là giới thiệu về những cơ học lượng tử cho người học về các kỹ thuật và nền tảng về phương pháp phân tích. Những kỹ thuật này hình thành nên cơ sở của vật lý bán dẫn.

2.1|NH NG NGUYÊN LÝ C A C H C L NG T

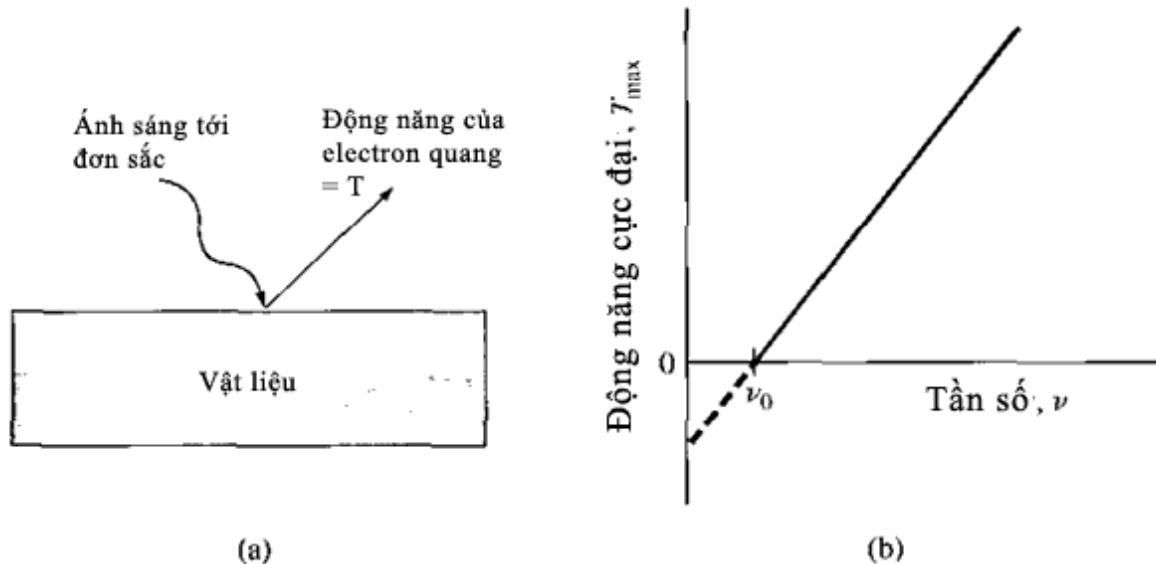
Xem video và làm thí nghiệm ở đây:

<http://mientayvn.com/Dien%20tu/Sach/Va%20li%20dien%20tu%20va%20ban%20dan/Chuong%20II/21.html>

Trở lại khi nghiên cứu về các số toán học của các nguyên tử, có ba nguyên lý mà chúng ta cần xem xét: nguyên lý lượng tử hóa năng lượng, nguyên lý lượng tử sóng-hạt và nguyên lý bất định.

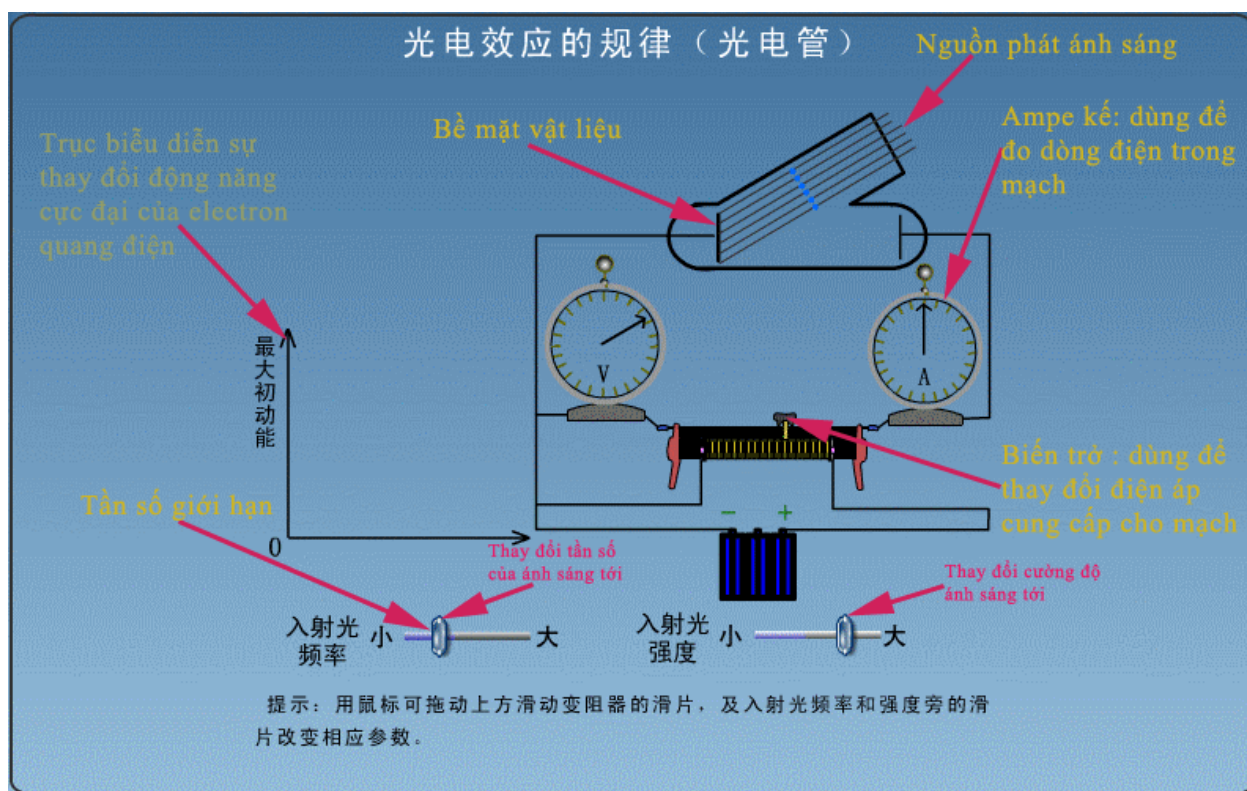
2.1.1 Lượng tử hóa năng lượng

Một thí nghiệm chứng tỏ có sự mâu thuẫn giữa các kết quả thực nghiệm với lý thuyết cổ điển của ánh sáng là hiệu ứng quang điện. Nếu ánh sáng không được coi là các chùm hạt sóng mà là các hạt electron (những electron quang) có thể phát ra một chùm tia. Theo vật lý cổ điển, nếu cường độ ánh sáng tăng lên, số năng lượng của electron sẽ tăng lên liên tục và electron sẽ thoát ra khỏi bề mặt kim loại không phụ thuộc vào tần số của ánh sáng tới. Tuy nhiên thực tế không xảy ra như vậy. Hiệu ứng quang điện chỉ xảy ra nếu tần số ánh sáng tới không nhỏ hơn tần số ánh sáng ngưỡng nào đó (ν_0 là tần số giới hạn phụ thuộc vào loại vật liệu cathode) thì sẽ không có electron nào có thể thoát ra khỏi bề mặt vật liệu. Còn khi ν_0 nhỏ hơn tần số của electron quang bị chiếu tuy nhiên tính theo tần số. Kết quả này được biểu diễn trong hình 2.1. Nếu cường độ ánh sáng tới bị chiếu còn tần số không nhỏ hơn ν_0 , thì sẽ phát xạ electron quang thay vì, những năng lượng của electron sẽ rơi vào nguyên tử.



Hình 2.1 | (a) Hiệu ứng quang điện (b) Động năng cực đại của electron quang là hàm theo tần số của ánh sáng tới

Tiếp theo, chúng ta sẽ thực hiện một thí nghiệm mô phỏng hiệu ứng quang điện. Trước tiên, hãy xem hình vẽ mô tả các bộ phận và cách sử dụng khi tiến hành thí nghiệm.



Nhập vào đây để hiển thị thí nghiệm.

Vào năm 1900, Planck đã giới thiệu thuyết lượng tử cổ điển phát ra từ vật đen nóng thành những lượng tử rời rạc gọi là lượng tử. Những lượng tử ánh sáng này là $E=h\nu$, đây là tần số của bức xạ và hằng số Planck ($h=6,625.10^{-34}$ J-s). Sau đó vào năm 1905, Einstein đã giới thiệu hiệu ứng quang điện bằng cách giới thiệu những lượng tử trong sóng ánh sáng bao gồm những lượng tử rời rạc. Những lượng tử rời rạc này gọi là photon có năng lượng là $E=h\nu$. Do đó, một photon va chạm với electron bị bật ra khỏi bề mặt gọi là công thoát của vật liệu.

Và phần năng lượng dư sẽ biến thành năng lượng của electron quang. Kết quả này đã được xác nhận bằng thực nghiệm và được minh họa trong hình 2.1. Hiệu ứng quang điện chỉ xảy ra khi tần số của photon và chiều minh hành vi giống hệt của photon.

Năng lượng cực đại của electron quang có thể viết là

$$T_{\max} = \frac{1}{2}mv^2 = h\nu - h\nu_0 \quad (2.1)$$

Đây $h\nu$ là năng lượng photon tới và $h\nu_0$ là năng lượng cực tiểu, hoặc công thoát của electron ra khỏi bề mặt.

2.1.2 Lý thuyết sóng-hạt

Chúng ta đã thấy trong phần trước rằng trong hiệu ứng quang điện, sóng ánh sáng hành xử như thể chúng là hạt. Hành vi giống hệt của sóng điện từ là công cụ giới thiệu hiệu ứng Compton. Trong thí nghiệm này, chùm tia X được chiếu tới chất rắn. Một phần của chùm tia X bị lệch và tần số của sóng lệch này

thay vì số vị sóng tới. Nếu chúng ta xét bài toán này như sóng va chạm giữa các photon tia X và các electron trong chất rắn, sử dụng nguyên lý bảo toàn năng lượng và động lượng, chúng ta có thể suy ra các kết quả hoàn toàn phù hợp với thực nghiệm.

Năm 1924, de Broglie đã giới thiệu thuyết sóng vật chất. Ông ta lập luận rằng sóng biểu hiện hành vi giống như hạt, vì thế có thể tiên đoán rằng hạt cũng sẽ biểu hiện những tính chất giống như sóng. Đây là giới thiệu De Broglie về sóng vật chất của sóng hạt. Động lượng của photon là:

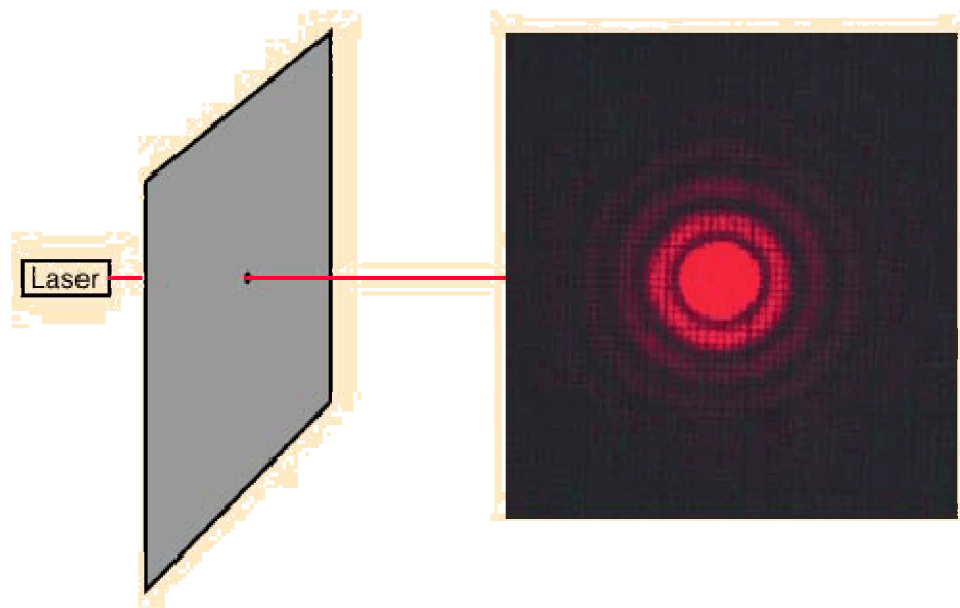
$$p = h/\lambda \tag{2.2}$$

Đây là bước sóng của sóng ánh sáng. Do đó, De Broglie đã giới thiệu rằng bước sóng của hạt có thể biểu diễn là

$$\lambda = h/p \tag{2.3}$$

Đây p là động lượng của hạt và λ gọi là bước sóng De Broglie của sóng vật chất.

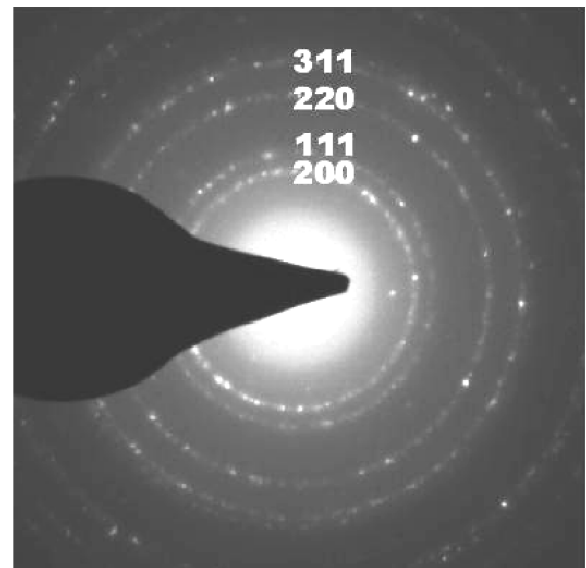
Bản chất sóng của electron đã được kiểm tra theo vài cách. Như chúng ta đã biết, sóng cũng có thể giao thoa và nhiễu xạ. Nhiễu xạ là hiện tượng ánh sáng sau khi đi qua những khe hẹp có độ lớn cỡ bước sóng của chính ánh sáng đó thì các tia sáng không còn truyền thẳng. Trong một thực nghiệm, chúng ta sẽ thấy trên màn quan sát xuất hiện những vân sáng tối xen kẽ nhau với cường độ khác nhau. Chẳng hạn khi ánh sáng laser (là ánh sáng đơn sắc) đi qua một lỗ nhỏ hình chữ nhật có độ rộng kính hiển vi bằng bước sóng của nó thì trên màn quan sát chúng ta sẽ thấy như sau:



Vì thế, nếu muốn chứng minh electron có tính chất sóng thì chúng ta phải bố trí thí nghiệm thế nào cho có thể quan sát được hiện tượng nhiễu xạ electron qua một khe nào đó. Có hiện tượng nhiễu xạ xảy ra thì tất nhiên khe này phải có kích thước xấp xỉ bằng bước sóng của electron. Các khe này chính là các khe trong mạng tinh thể của các chất rắn kết tinh.

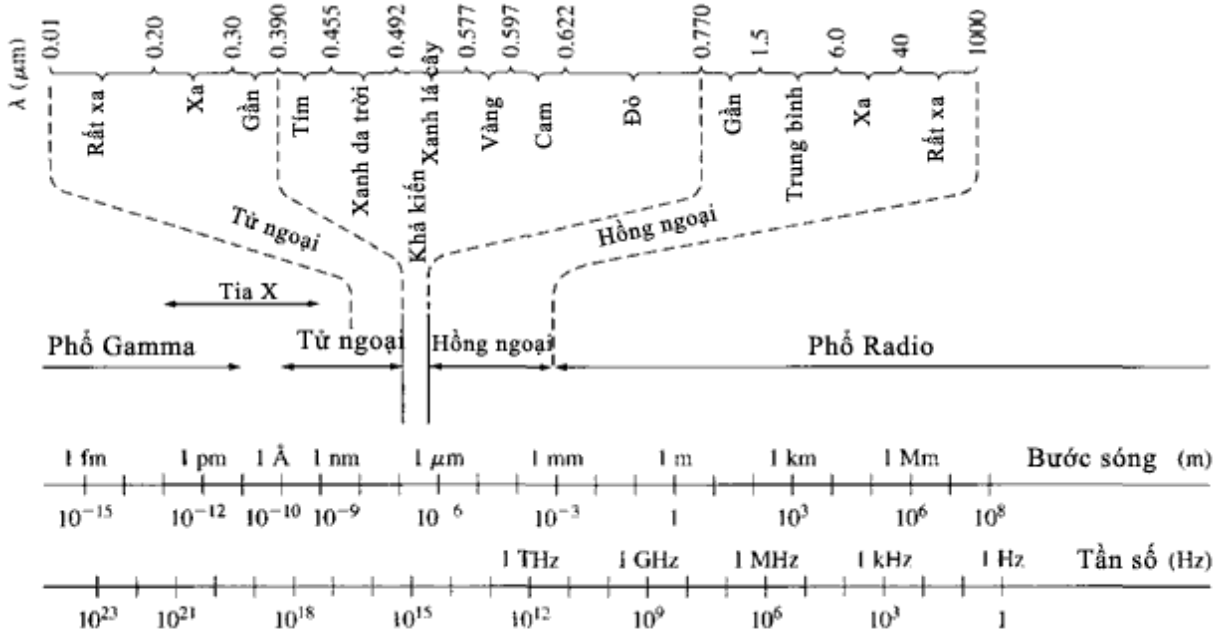
Chúng ta khi chiếu chùm electron vào tinh thể bích kim thì chúng ta sẽ thu được một hình ảnh như sau:

Bạn có thể nghĩ rằng giống như vân sáng và vân tối xen kẽ nhau giống như hiện tượng nhiễu xạ ánh sáng laser trên không.



Vậy là, trong thực tế có tồn tại hiện tượng nhiễu xạ electron. Nghĩa là electron là một hạt mang điện li thể hiện tính chất sóng. Những dãy số như 311, 220, 111, 200 là ký hiệu của các mặt mạng của tinh thể.

thuộc vài ánh giá v t n s và b c sóng liên quan n nguyên lí l ng tính sóng-h t, hình 2.4 bi u di n thang sóng i n t . Chúng ta th y r ng b c sóng 72,7 A⁰ thu c trong ví d ti p theo thu c vùng t ngo i. Thông th ng, chúng ta s xem xét b c sóng trong vùng t ngo i và nhìn th y.



Hình 2.4 | Phổ sóng điện từ

Nh ng b c sóng này r t ng n so v i ph radio thông th ng.

Ví d 2.2: Tính b c sóng de Broglie c a electron chuy n ng v i v n t c 10⁵ cm/s.

Gi i

ng l ng c a electron s là

$$p = mv = (9.11 \times 10^{-31})(10^5) = 9.11 \times 10^{-26}$$

Do ó, b c sóng De broglie là:

$$\lambda = \frac{h}{p} = \frac{6.625 \times 10^{-34}}{9.11 \times 10^{-26}} = 7.27 \times 10^{-9} \text{ m}$$

Hay $\lambda = 72.7 \text{ \AA}$

K t l u n: K t q u n à y c h o t h y b c l n b c s ó n g D e B r o g l i e c a m t e l e c t r o n t h o n g t h n g

Trong m t s t r n g h p s ó n g i n t h à n h x n h t h c ó n g l à h t (n h n g p h o t o n) v à t h n h t h o n g h t h à n h x n h t h c ó n g l à s ó n g. N g u y ê n l í l n g t í n h s ó n g - h t c a c h c l n g t á p d n g c h y u c h o c á c h t v i m ô c h n g h n n h e l e c t r o n, n h n g c n g c ó t h á p d n g c h o p r o t o n v à n t r o n. i v i n h n g h t v m ô, c ó n g t a c ó t h c h n g t r n g n h n g p h n g t r ì n h c h u y n n g m ô t c ó n g s t r v n h n g p h n g t r ì n h c a c h c c i n. N g u y ê n l í l n g t í n h s ó n g - h t l à c s m ô t c h u y n n g v à h à n h v i c a e l e c t r o n t r o n g t ì n h t h .

[Xem phim tài li u](#) (tùy ch n)

2.1.3 Nguyên lí b t nh

Nguyên lí b t nh Heisenberg c a r a v à o n m 1927, c n g á p d n h c h y u c h o c á c h t v i m ô v à p h á t b i u r n g c ó n g t a k h o n g t h m ô t c h í n h x á c t u y t i h à n h v i c a n h n g h t c p d i n g u y ê n t n à y. N g u y ê n l í b t n h m ô t m i q u a n h c b n g i a n h n g b i n l i ê n h p, c h n g h n n h v t r í v à n g l n g, n n g l n g v à t h i g i a n.

Phát bi u t h n h t c a n g u y ê n l í b t n h l à k h o n g t h m ô t c h í n h x á c n g t h i v t r í v à n g l n g c a h t. N u b t n h t a l à p v à b t n h v t r í l à x t h i t h c b t n h c v i t l à

$$p \cdot x \tag{2.4}$$

hằng số Planck $h = 6,626 \cdot 10^{-34} \text{ J}\cdot\text{s}$ và $\hbar = h/2\pi = 1,054 \cdot 10^{-34} \text{ J}\cdot\text{s}$ và hằng số Planck hiệu dụng. Phát biểu này có thể khái quát hóa cho góc và momen động lượng.

Phát biểu thứ hai của nguyên lý bất định là không thể đồng thời mô tả chính xác tùy ý vị trí động lượng và khoảng thời gian mà hạt tồn tại trong trạng thái động lượng này. Nếu bất định trong động lượng là E và bất định thời gian là t thì hằng số bất định của phát biểu là

$$E \cdot t \geq \hbar \quad (2.5)$$

Một cách hình dung hệ thống bất định là xét sóng điện từ và động lượng, và sóng điện từ trong động lượng và thời gian. Hệ thống bất định như nói rằng hằng số sóng điện từ này có sai lệch trong phạm vi nào đó. Tuy nhiên, hằng số Planck hiệu dụng rất nhỏ; hệ thống bất định chỉ có ý nghĩa cho những hạt có khối lượng nguyên tử. Và chúng ta cần nhớ rằng hệ thống bất định là một phát biểu cơ bản và nó không liên hệ gì với sai số của phép đo.

Một kết quả của hệ thống bất định là chúng ta không thể xác định chính xác vị trí của electron. Thay vào đó, chúng ta sẽ xác định xác suất tìm thấy electron trong một khoảng nào đó. Trong chương sau, chúng ta sẽ xây dựng hàm mật độ xác suất cho phép chúng ta xác định xác suất mà một electron có một động lượng nào đó. Vì vậy, trong việc mô tả hành vi của electron, chúng ta sẽ làm việc với hàm xác suất.

Video sau đây sẽ mô tả chuyển động của electron trong nguyên tử, bản không thể thấy các electron mà chỉ thấy những đám mây electron.

2.2 PHƯƠNG TRÌNH SÓNG SCHRODINGER

Những kết quả thực nghiệm trên sóng điện từ và hạt vi mô không thể giải thích bằng các nguyên lý cổ điển, vì vậy đòi hỏi phải xây dựng một môn

h c m i cho các h t vi mô. Năm 1926, Schrodinger ã xây d ñng c h c sóng, nó h p nh t nguyên lí l ñng t do Planck ã ra và nguyên lí l ñng tính sóng h t c a De Broglie. D a trên nguyên lí l ñng tính sóng h t, chúng ta s mô t chuy ñng c a electron trong tinh th b ñng lí thuy t sóng. Lí thuy t sóng này c mô t b i ph ñng trình sóng Schrodinger.

2.2.1 Ph ñng trình sóng

Ph ñng trình sóng Schrodinger m t chi u, phi t ñng i tính là:

$$-\frac{\hbar^2}{2m} \frac{\partial^2 \psi(x,t)}{\partial x^2} + V(x)\psi(x,t) = j\hbar \frac{\partial \psi(x,t)}{\partial t} \quad (2.6)$$

ây $\psi(x,t)$ là hàm sóng, $V(x)$ là th ñng c gi s là không ph thu c th i gian, m là kh i l ñng c a h t và j là m t h ñng s o b ñng $\sqrt{-1}$. Có m t lu ñng lí thuy t ñ ra ra ph ñng trình sóng Schrodinger, nh ñng ph ñng trình là m t nh c b ñng c a c h c l ñng t . Hàm sóng $\psi(x,t)$ s c ñùng mô t hành vi c a h và v m t toán h c $\psi(x,t)$ là m t hàm ph c.

Chúng ta có th xác ñnh ph ñng thu c th i gian c a hàm sóng và ph ñng thu c t a b ñng cách ñùng k thu t tách bi n. Gi s ñng hàm sóng có th c vi t ñ i ñ ñng

$$\psi(x,t) = \psi(x)\phi(t) \quad (2.7)$$

ây $\psi(x)$ là hàm theo t a x và $\phi(t)$ là hàm theo th i gian. Th ñ ñng này c a ñng i m vào ph ñng trình sóng Schrodinger, chúng ta thu c:

$$-\frac{\hbar^2}{2m} \phi(t) \frac{\partial^2 \psi(x)}{\partial x^2} + V(x)\psi(x)\phi(t) = j\hbar \psi(x) \frac{\partial \phi(t)}{\partial t} \quad (2.8)$$

N u chia cho hàm sóng toàn ph ñng, ph ñng trình 2.8 tr ñ thành

$$-\frac{\hbar^2}{2m} \frac{1}{\psi(x)} \frac{\partial^2 \psi(x)}{\partial x^2} + V(x) = j\hbar \frac{1}{\phi(t)} \frac{\partial \phi(t)}{\partial t} \quad (2.9)$$

Bởi vì vế trái của phương trình là hàm theo vị trí x và vế phải của phương trình là hàm theo thời gian, nên phương trình này có nghĩa thì mỗi vế của phương trình này phải bằng hằng số. Chúng ta kí hiệu hằng số này là η .

Do đó, phương trình theo thời gian của phương trình (2.9) có vế phải là

$$\eta = j\hbar \frac{1}{\phi(t)} \frac{\partial \phi(t)}{\partial t} \quad (2.10)$$

Nghiệm của phương trình 2.10 có thể có dạng

$$\phi(t) = e^{-j(\eta/\hbar)t} \quad (2.11)$$

Dạng nghiệm này là dạng hàm mũ của sóng sin, η/\hbar là tần số của x . Chúng ta có $E = h\nu$ hoặc $E = h\eta/2$. Do đó, $\eta = 2E/h$ vì thế hằng số tách biệt bằng năng lượng E của hạt.

Phương trình không phụ thuộc thời gian của phương trình sóng Schrodinger bây giờ có thể có dạng vế phải phương trình (2.9) là:

$$-\frac{\hbar^2}{2m} \frac{1}{\psi(x)} \frac{\partial^2 \psi(x)}{\partial x^2} + V(x) = E \quad (2.12)$$

Hằng số tách biệt là năng lượng toàn phần E của hạt. Phương trình (2.12) có thể có dạng

$$\frac{\partial^2 \psi(x)}{\partial x^2} + \frac{2m}{\hbar^2} [E - V(x)]\psi(x) = 0 \quad (2.13)$$

Đây là kh i l ãng c a h t, $V(x)$ là th ãn ãng c a h t, và E là ãn ãng l ãng toàn ph ãn c a h t. Ph ãng tr ãnh sóng Schrodinger kh ãng ph ã thu c th ã gian c ãng có th ã c ã ãn ra ã ã vào ph ãng tr ãnh sóng c ã ãn nh ã c ch ãng minh trong ph ãn ph ã l c E . Cáçh ti p c ãn này ãn gi ãn nh ãng nó ch ãng t s ãng tin c y c a ph ãng tr ãnh sóng Schrodinger c ã l p th ã gian.

2.2.2 Ý ngh a v t lí c a hàm sóng

M c íc cu i cùng c a chúng ta là ãùng ph ãng tr ãnh sóng $\psi(x,t)$ mô t hành vi c a electron trong tinh th ã. Hàm $\psi(x,t)$ là hàm sóng, vì v y c ãn ph ã bi t m ãi quan h gi a hàm và electron là gì. Hàm sóng toàn ph ãn là tích c a hàm sóng kh ãng ph ã thu c th ã gian và hàm sóng ph ã thu c th ã gian. T (2.7) chúng ta có

$$\psi(x,t) = \psi(x)\phi(t) = \psi(x)e^{-j(E/h)t} \quad (2.14)$$

B ãi vì hàm sóng toàn ph ãn là hàm ph ã c ãn ãn thân nó kh ãng th ã bi u ãi ãn m t ãi l ãng v t lí th c.

N m 1926, Max Born ã ph á bi u r ãng bình ph ãng modun hàm sóng $|\psi(x,t)|^2 dx$ là xác s u t tìm th y h t trong kho ãng t ã x ãn $x+dx$ t ãi m t th ãi ãi m ão ó, ho c $|\psi(x,t)|^2$ là hàm m t ã xác s u t. Chúng ta có:

$$|\psi(x,t)|^2 = \psi(x,t)\psi^*(x,t) \quad (2.15)$$

ây $\psi^*(x,t)$ là hàm liên h p ph c. Do ó

$$\psi^*(x,t) = \psi^*(x)e^{+j(E/h)t}$$

Vì th ã tích c a hàm sóng toàn ph ãn và liên h p ph c c a nó s ã ãng

$$|\psi(x,t)|^2 = \psi(x,t)\psi^*(x,t) = [\psi(x)e^{-j(E/h)t}] [\psi^*(x)e^{+j(E/h)t}] \quad (2.16)$$

Do đó, chúng ta có

$$|\psi(x,t)|^2 = \psi(x)\psi^*(x) = |\psi(x)|^2 \quad (2.17)$$

Là hàm mật độ xác suất và không phụ thuộc thời gian. Mật độ khác biệt liên hệ giữa các vị trí và các vị trí khác là trong các vị trí, vị trí khác có thể xác định chính xác, trong khi đó trong các vị trí, vị trí khác có thể xác định theo xác suất. Chúng ta sẽ xác định hàm mật độ xác suất trong vài trường hợp, và bởi vì nó không phụ thuộc thời gian, nói chung, chúng ta sẽ chỉ quan tâm đến những quá trình sóng không phụ thuộc thời gian.

2.2.3 Điều kiện biên

Bởi vì hàm sóng $|\psi(x,t)|^2$ biểu diễn hàm mật độ xác suất, do đó, để vì mặt toán học, chúng ta phải có

$$\int_{-\infty}^{+\infty} |\psi(x)|^2 dx = 1 \quad (2.18)$$

Xác suất tìm thấy hạt trong toàn không gian là tất nhiên. Phương trình (2.18) cho phép chúng ta chuẩn hóa hàm sóng và là điều kiện cần dùng để xác định những hằng số trong hàm sóng.

Điều kiện còn lại áp dụng cho hàm sóng và đạo hàm của nó. Tuy nhiên chúng ta phải phát biểu điều kiện biên và đưa ra lý lẽ biện minh tại sao chúng ta phải áp dụng những điều kiện này. Hàm sóng và đạo hàm bậc nhất của nó phải có tính chất sau nếu năng lượng toàn phần E và thế năng $V(x)$ của nó xác định những điều kiện.

Điều kiện 1: $\psi(x)$ phải xác định, liên tục và hữu hạn.

Điều kiện 2: $\frac{\partial \psi}{\partial x}$ phải xác định, liên tục và hữu hạn.

Bởi vì $\psi(x)/\psi(x)^2$ là một xác suất nên $\psi(x)$ phải xác định và liên tục. Nếu một xác suất không xác định tại điểm nào đó trong không gian thì xác suất tìm thấy hạt tại vị trí này sẽ là chắc chắn (100%) và nguyên lý bất định sẽ bị vi phạm. Nếu năng lượng toàn phần E và thế năng $V(x)$ xác định thì phương trình (2.13), phương trình II phải xác định, nghĩa là phương trình I phải liên tục. Phương trình I có liên quan đến năng lượng hạt, là đại lượng xác định và liên tục. Cùng một phương trình I xác định có nghĩa là chính hàm sóng phải liên tục. Trong một vài trường hợp đặc biệt mà chúng ta sẽ xem xét, hàm thế năng không xác định tại một vùng nào đó của không gian. Tại vị trí trường hợp này, phương trình I không liên tục, nhưng điều kiện biên còn lại vẫn còn đúng.

2.3| NGUYÊN LÝ CẢM ỨNG TRONG TRÌNH SÓNG SCHRODINGER

Bây giờ chúng ta sẽ áp dụng phương trình sóng Schrodinger cho một số bài toán cụ thể với các hàm thế khác nhau. Nguyên lý trường hợp này sẽ minh họa các phương pháp sử dụng phương trình Schrodinger và kết quả của những trường hợp này sẽ cung cấp cho chúng ta kiến thức về hành vi của electron trong các thế năng khác nhau. Chúng ta sẽ dùng những kết quả rút ra để luận về tính chất của bán dẫn.

2.3.1 Electron trong không gian một chiều

Đầu tiên, xét chuyển động của một electron trong không gian một chiều. Nếu không có lực tác động lên hạt thì hàm thế $V(x)$ sẽ bằng 0. Do đó, phương trình (2.13) phương trình sóng không phụ thuộc thời gian có thể viết là

$$\frac{\partial^2 \psi(x)}{\partial x^2} + \frac{2mE}{\hbar^2} \psi(x) = 0 \quad (2.19)$$

Nghiệm của phương trình vi phân này có thể viết dưới dạng

$$\psi(x) = A \exp\left[\frac{jx\sqrt{2mE}}{\hbar}\right] + B \exp\left[\frac{-jx\sqrt{2mE}}{\hbar}\right] \quad (2.20)$$

Phần phụ thuộc thời gian của nghiệm vẫn là

$$\phi(t) = e^{-j(E/\hbar)t} \quad (2.21)$$

Do đó, nghiệm toàn phần của hàm sóng là

$$\psi(x,t) = A \exp\left[\frac{j}{\hbar}(x\sqrt{2mE} - Et)\right] + B \exp\left[\frac{-j}{\hbar}(x\sqrt{2mE} + Et)\right] \quad (2.22)$$

Đây là nghiệm sóng chập chững, tức là nó có nghĩa là hạt di chuyển trong không gian theo cả hai chiều dương và âm của trục x . Số hạng đầu tiên, với hệ số A là sóng chập chững theo chiều $+x$, còn số hạng thứ hai với hệ số B là sóng chập chững theo chiều $-x$. Giá trị của hai hệ số này sẽ được xác định từ điều kiện biên. Chúng ta sẽ giải tích nghiệm sóng chập chững của electron trong tình huống cổ điển.

Giả sử rằng chúng ta có một hạt di chuyển theo chiều $+x$, nó sẽ được mô tả bởi sóng chập chững $+x$, hệ số $B=0$. Chúng ta có thể viết nghiệm sóng chập chững dưới dạng

$$\psi(x,t) = A \exp[j(kx - \omega t)] \quad (2.23)$$

ở đây k là số sóng và

$$k = \frac{2\pi}{\lambda} \quad (2.24)$$

là bước sóng, so sánh phương trình (2.22) với phương trình (2.23) suy ra bước sóng là

$$\lambda = \frac{h}{\sqrt{2mE}} \quad (2.25)$$

Từ nguyên lý lượng tử sóng hạt De Broglie, bước sóng cũng có thể viết là

$$\lambda = \frac{h}{p} \quad (2.26)$$

Một hạt tự do với năng lượng xác định sẽ có bước sóng và năng lượng xác định.

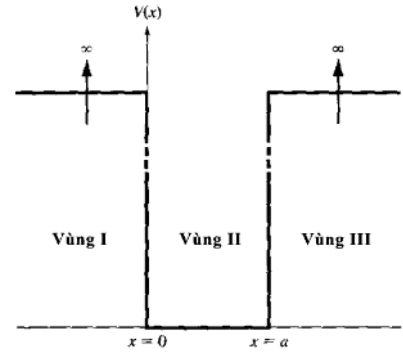
Hàm mật độ xác suất $\psi^*(x,t)\psi(x,t) = |\psi|^2$, là hàm số không phụ thuộc vị trí. Hạt tự do với năng lượng xác định có thể tìm thấy với xác suất bằng nhau

min i. Kết quả này phù hợp với nguyên lý bất định Heisenberg: năng lượng sẽ đo được thì vị trí không xác định.

Một hướng tiếp cận khác xem như bó sóng (có thể hình thành bằng cách chồng chập nhiều hàm sóng với năng lượng khác nhau). Chúng ta sẽ không xem xét bó sóng này.

2.3.2 Giếng thế vô hạn

Bài toán hạt chuyển động trong giếng thế vô hạn là ví dụ điển hình về hệ vật lý liên tục. Thế $V(x)$ là hàm theo tọa độ x biểu diễn trong hình 2.5. Hạt có gia tốc trong vùng II, có nghĩa là nó bị giam trong vùng không gian xác định.



Hình 2.5 | Hàm thế của giếng thế vô hạn

The phương trình (2.13) suy ra phương trình sóng Schrodinger một chiều trong trường hợp này là

$$\frac{\partial^2 \psi(x)}{\partial x^2} + \frac{2m}{\hbar^2} [E - V(x)] \psi(x) = 0 \quad (2.13)$$

Đây là năng lượng toàn phần của hạt. Nếu E xác định, hàm sóng phải bằng 0 trong vùng I và III. Hạt không thể xuyên qua hàng rào thế xác định này, vì vậy xác suất tìm thấy hạt trong vùng I và vùng III bằng 0.

Phương trình sóng Schrodinger một chiều trong vùng II, đây $V=0$ là

$$\frac{\partial^2 \psi(x)}{\partial x^2} + \frac{2mE}{\hbar^2} \psi(x) = 0 \quad (2.27)$$

Nghiệm của phương trình này có dạng

$$\psi(x) = A_1 \cos Kx + A_2 \sin Kx \quad (2.28)$$

đây

$$K = \sqrt{\frac{2mE}{\hbar^2}} \quad (2.29)$$

Điều kiện biên liên tục của hàm sóng cho ta

$$\psi(x=0) = \psi(x=a) = 0 \quad (2.30)$$

Áp dụng điều kiện biên tại $x=0$, chúng ta có A_1 phải bằng 0. Tại $x=a$, chúng ta có

$$\psi(x=a) = 0 = A_2 \sin Ka \quad (2.31)$$

Phương trình này có nghiệm nếu $Ka = n\pi$, đây n là số nguyên dương $n=1,2,3,\dots$. Hằng số n là số nguyên. Chúng ta có thể viết

$$K = \frac{n\pi}{a} \quad (2.32)$$

Giá trị âm của n sẽ làm cho hàm sóng có dấu âm và tương đương với các hàm mũ thực xác suất gì đó về vị trí không phụ thuộc. Về mặt vật lý, chúng ta không thể phân biệt các sóng khác nhau nào giữa các nghiệm $+n$ và $-n$. Bởi vì sự đối xứng này, nên giá trị âm của n sẽ không được xét đến.

Hằng số A_2 có thể tìm được bằng cách dùng điều kiện biên chuẩn hóa cho

trong phương trình (2.18) là $\int_{-\infty}^{+\infty} \psi(x)\psi^*(x)dx = 1$. Vì hàm sóng là hàm thực nên $\psi(x) = \psi^*(x)$. Thay hàm sóng vào phương trình (2.18) chúng ta có

$$\int_0^a A_2^2 \sin^2 Kx dx = 1 \quad (2.33)$$

Tích phân sau đó ta suy ra được

$$A_2 = \sqrt{\frac{2}{a}} \quad (2.34)$$

Cuối cùng nghiệm cuối cùng thì gian là

$$\psi(x) = \sqrt{\frac{2}{a}} \sin\left(\frac{n\pi x}{a}\right) \quad \text{đây } n=1,2,3,\dots \quad (2.35)$$

Nghiệm này biểu diễn electron trong giếng thế không xác định và là nghiệm sóng đứng. Electron tồn tại ở các biểu diễn bậc sóng đứng, và bây giờ ta liên kết các biểu diễn bậc sóng đứng.

Tham số K trong nghiệm có nghĩa là biên độ phương trình (2.29) và (2.32). Từ hai biểu thức này của K , suy ra

$$\frac{2mE}{\hbar^2} = \frac{n^2\pi^2}{a^2} \quad (2.36)$$

Do đó năng lượng toàn phần là

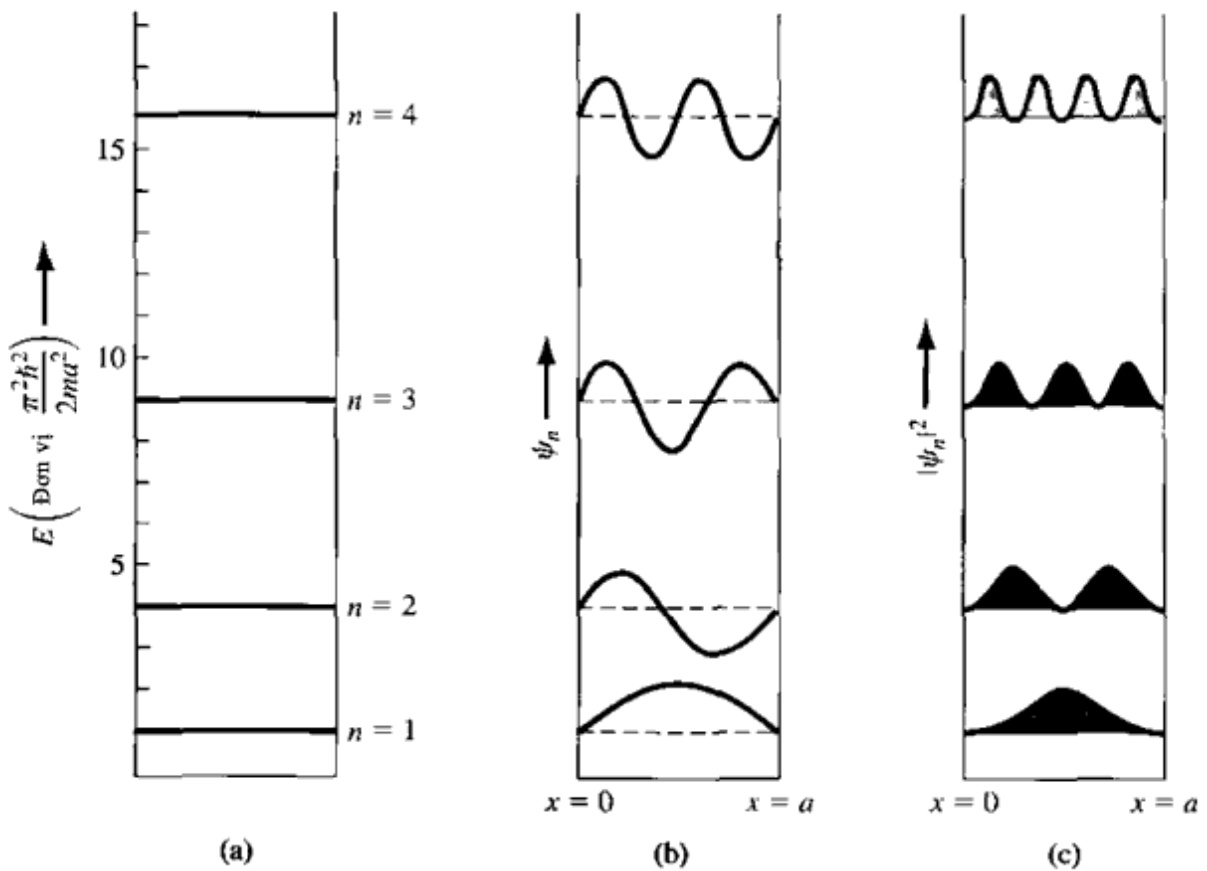
$$E = E_n = \frac{\hbar^2 n^2 \pi^2}{2ma^2} \quad \text{với } n=1, 2, 3, \dots \quad (2.37)$$

biểu thức trong giếng thế vô hạn, hàm sóng là

$$\psi(x) = \sqrt{\frac{2}{a}} \sin Kx \quad (2.38)$$

Ây hàm sóng K phải có những giá trị rời rạc, nghĩa là năng lượng toàn phần của hạt chỉ có những giá trị rời rạc. Kết quả này có nghĩa là năng lượng của hạt bị lượng tử hóa. Nghĩa là, năng lượng của hạt chỉ có những giá trị rời rạc nào đó. Sự lượng tử hóa năng lượng của hạt trái ngược với những kết quả của vật lý cổ điển. Vật lý cổ điển cho phép hạt có những giá trị năng lượng liên tục. Năng lượng rời rạc dẫn đến những trạng thái lượng tử sẽ xét chi tiết hơn trong chương này và những chương sau. Sự lượng tử hóa năng lượng của hạt liên kết là kết quả của cơ học lượng tử.

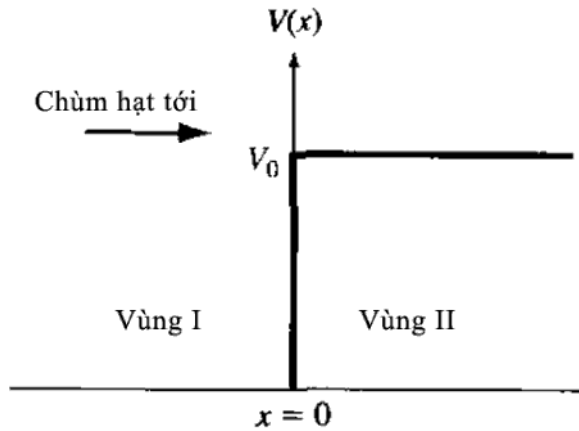
Hình 2.6a biểu diễn 4 mức năng lượng ưu tiên của hạt trong giếng thế không xác định, và hình 2.6b và 2.6c biểu diễn hàm sóng và hàm xác suất tìm thấy hạt khi năng lượng lượng tử, xác suất tìm thấy hạt và vị trí xác định của hạt trên trục x .



Hình 2.6 | Hạt trong giếng thế không xác định: (a) Bốn mức năng lượng thấp nhất. (b) Các hàm sóng tương ứng. (c) Các hàm xác suất tương ứng

2.3.3 Hàm th b c thang

Bây giờ xét hàm th b c thang c bi u di n trong hình 2.7. Trong ph n tr c, chúng ta ã xét m t h t b gi a hai hàng rào th . Trong ví d này, chúng ta s gi s r ng có m t dòng h t xu t phát t - và chuy n ng theo h ng $+x$. K t qu áng chú ý thu c trong tr ng h p n ng l ng toàn ph n c a h t nh h n cao hàng rào, ho c $E < V_0$.



Hình 2.7 | Hàm thế bậc thang

Một lần nữa chúng ta cần xét phương trình sóng không phụ thuộc thời gian trong mỗi vùng. Trong vùng I, $V=0$, phương trình sóng là

$$\frac{\partial^2 \psi_1(x)}{\partial x^2} + \frac{2mE}{\hbar^2} \psi_1(x) = 0 \quad (2.39)$$

Nghiệm tổng quát của phương trình này có thể viết dưới dạng

$$\psi_1(x) = A_1 e^{iK_1 x} + B_1 e^{-iK_1 x} \quad (x < 0) \quad (2.40)$$

ở đây, hằng số K_1 là

$$K_1 = \sqrt{\frac{2mE}{\hbar^2}} \quad (2.41)$$

Số hạng thứ 1 trong phương trình (2.40) là sóng chạy theo hướng $+x$ biểu diễn sóng tới, và số hạng thứ 2 là sóng chạy theo hướng $-x$ biểu diễn sóng phản xạ. Như trong trường hợp cổ điển, nhúng hạt tới và hạt phản xạ có biểu diễn bằng sóng chạy.

Đối với sóng tới, $A_1 A_1^*$ là hàm mật độ xác suất của nhúng hạt tới. Nếu chúng ta nhân hàm mật độ xác suất này với vận tốc thì $i A_1 A_1^*$ là thông lượng hạt tới (nếu v là $\hbar/cm^2 \cdot s$). Tương tự, thông lượng hạt phản xạ, ở đây $r B_1 B_1^*$ là vận tốc của sóng phản xạ (ở đây và r trong nhúng sóng này chỉ là giá trị liên quan vận tốc)

Trong vùng II, thế năng $V=V_0$. Nếu chúng ta giả sử rằng $E < V_0$ thì phương trình vi phân mô tả hàm sóng trong vùng II có thể viết là

$$\frac{\partial^2 \psi_2(x)}{\partial x^2} - \frac{2m}{\hbar^2} [V_0 - E] \psi_2(x) = 0 \quad (2.42)$$

Nghiệm tổng quát có thể viết dưới dạng

$$\psi_2(x) = A_2 e^{-K_2 x} + B_2 e^{+K_2 x} \quad (x > 0) \quad (2.43)$$

$$\text{với } K_2 = \sqrt{\frac{2m(V_0 - E)}{\hbar^2}} \quad (2.44)$$

Hàm sóng ψ_2 phải xác định khi $x \rightarrow 0$. Điều kiện có nghĩa là cho dù x tiến tới vô cùng thì ψ_2 cũng phải xác định. Nhưng khi thế năng vào biên phải của ψ_2 trong (2.43) thì sẽ có hai số hạng vô cùng, do đó hàm sóng cũng vô cùng. Muốn điều kiện này không xảy ra thì hệ số B_2 phải bằng 0. Hàm sóng lúc này có thể viết là

$$\psi_2(x) = A_2 e^{-K_2 x} \quad (2.45)$$

Hàm sóng tại $x=0$ phải liên tục:

$$\psi_1(0) = \psi_2(0) \quad (2.46)$$

Do đó từ phương trình (2.40), (2.45) và (2.46), chúng ta thu được

$$A_1 + B_1 = A_2 \quad (2.47)$$

Bởi vì hàm thế năng xác định liên tục, nên hàm biên phải của hàm sóng phải liên tục:

$$\left. \frac{\partial \psi_1}{\partial x} \right|_{x=0} = \left. \frac{\partial \psi_2}{\partial x} \right|_{x=0} \quad (2.48)$$

Dùng phương trình (2.40), (2.45) và (2.48), chúng ta thu được

$$jK_1 A_1 - jK_1 B_1 = -K_2 A_2 \quad (2.49)$$

Chúng ta có thể giải phương trình (2.47) và (2.49) để xác định hệ số B_1 và A_2 theo hệ số sóng tới A_1 . Kết quả là

$$B_1 = \frac{-(K_2^2 + 2jK_1K_2 - K_1^2)A_1}{(K_2^2 + K_1^2)} \quad (2.50a)$$

Và

$$A_2 = \frac{2K_1(K_1 - jK_2)A_1}{(K_2^2 + K_1^2)} \quad (2.50b)$$

Hàm mật độ xác suất phân xạ là

$$B_1 B_1^* = \frac{(K_2^2 - K_1^2 + 2jK_1K_2)(K_2^2 - K_1^2 - 2jK_1K_2)A_1 A_1^*}{(K_2^2 + K_1^2)^2} \quad (2.51)$$

Chúng ta có thể nhận thấy rằng hệ số phản xạ R là tổng của thông lượng phản xạ và thông lượng truyền

$$R = \frac{v_r \cdot B_1 \cdot B_1^*}{v_i \cdot A_1 \cdot A_1^*} \quad (2.52)$$

đây v_i và v_r tương ứng là vận tốc tới và vận tốc phản xạ của hạt. Trong vùng I, $V=0$ vì thế $E=T$, đây T là năng lượng của hạt. Năng lượng của vi t là:

$$T = (1/2)m v^2 \quad (2.53)$$

Vì thế, từ phương trình (2.41) hằng số K_1 có thể viết là

$$K_1 = \sqrt{\frac{2m}{\hbar^2} \left(\frac{1}{2} m v^2 \right)} = \sqrt{m^2 \frac{v^2}{\hbar^2}} = \frac{mv}{\hbar} \quad (2.54)$$

Do đó, vận tốc tới có thể viết là

$$v_i = \frac{\hbar}{m} \cdot K_1 \quad (2.55)$$

Bởi vì hệ số phản xạ bằng 1 trong vùng I, nên vận tốc phản xạ là

$$v_r = \frac{\hbar}{m} \cdot K_1 \quad (2.56)$$

1 nên vận tốc tới và vận tốc phản xạ bằng nhau. Do đó, hệ số phản xạ là

$$R = \frac{v_r \cdot B_1 \cdot B_1^*}{v_i \cdot A_1 \cdot A_1^*} = \frac{B_1 \cdot B_1^*}{A_1 \cdot A_1^*} \quad (2.57)$$

Thay nhúng biểu thức tổng quát (2.51) vào phương trình (2.57), chúng ta thu được

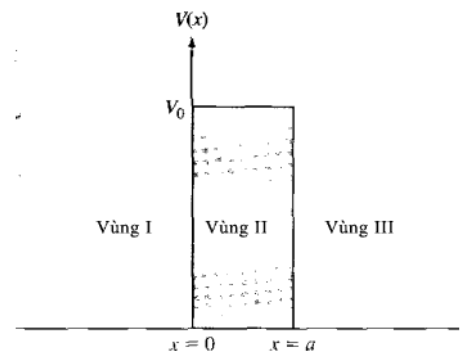
$$R = \frac{B_1 \cdot B_1^*}{A_1 \cdot A_1^*} = \frac{(K_2^2 - K_1^2)^2 + 4K_1^2 K_2^2}{(K_2^2 + K_1^2)^2} = 1.0 \quad (2.58)$$

Kết quả $R=1$ có nghĩa là tất cả năng lượng phản xạ hàng rào thế có năng lượng $E < V_0$ cuối cùng đều bị phản xạ. Chúng không thể xuyên qua hàng rào thế. Kết quả này hoàn toàn phù hợp với thực tế và chúng ta thấy rằng kết quả này xét về mặt năng lượng thì đúng. Kết quả đáng quan tâm xuất hiện trong vùng II.

Nghiệm trong vùng II cho bởi phương trình (2.45) là $\psi_2 = A_2 e^{-K_2 x}$. Hằng số A_2 theo phương trình (2.47) là $A_2 = A_1 + B_1$, hệ thức này cho chúng ta rút ra kết quả về biên độ của sóng phản xạ $E < V_0$, hằng số A_2 khác 0. Nếu A_2 khác 0 thì hàm sóng xác suất $\psi_2(x) \cdot \psi_2(x)^*$ khác 0 trong vùng II khác 0. Kết quả này chứng tỏ rằng có một xác suất nào đó cho phép hạt xuyên qua hàng rào và tồn tại trong vùng II. Xác suất hạt xuyên qua hàng rào thế là khác nhau về bản chất so với các hạt phản xạ và các hạt truyền qua: sóng xuyên hầm là không thể theo quan niệm cổ điển. Mặc dù có xác suất hạt chui qua hàng rào, nhưng hình ảnh phản xạ trong vùng I bằng 1, cuối cùng hạt trong vùng II sẽ chuyển động vòng và sau đó quay trở về vùng I.

2.3.4 Hàng rào thế

Xét hàng rào thế được biểu diễn trong hình 2.8. Mặt laina, vận tốc đáng quan tâm hiện là trạng thái phản xạ năng lượng toàn phần của hạt với $E < V_0$. Chúng ta hãy giả sử rằng chúng ta có một dòng các hạt tới từ phía trái và đi chuyển theo hướng +x. Như trước, chúng ta cần giải phương trình sóng Schrodinger cho lớp



Hình 2.8| Hàng rào thế

thời gian trong 3 vùng. Nghiệm của phương trình sóng trong vùng I, II và III tương ứng là:

$$\psi_1(x) = A_1 e^{jK_1 x} + B_1 e^{-jK_1 x} \quad (2.59a)$$

$$\psi_2(x) = A_2 e^{K_2 x} + B_2 e^{-K_2 x} \quad (2.59b)$$

$$\psi_3(x) = A_3 e^{jK_1 x} + B_3 e^{-jK_1 x} \quad (2.59c)$$

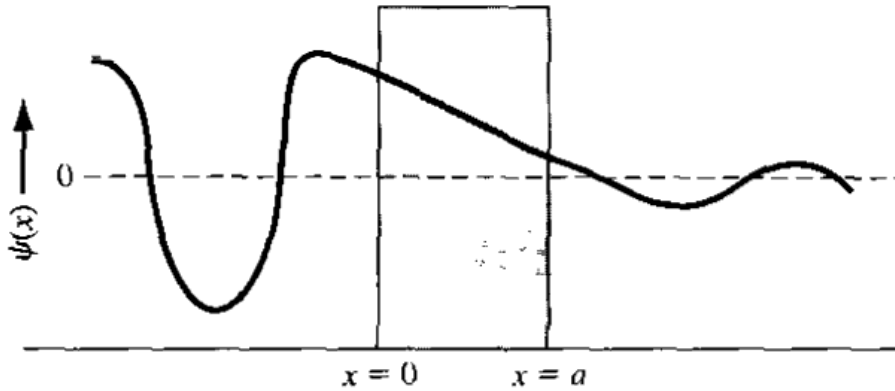
ây

$$K_1 = \sqrt{\frac{2mE}{\hbar^2}} \quad (2.60a)$$

Và

$$K_2 = \sqrt{\frac{2m}{\hbar^2}(V_0 - E)} \quad (2.60b)$$

Hệ số B_3 trong phương trình (2.59c) biểu diễn sóng chệch âm trong vùng III. Tuy nhiên, khi một hạt đi vào trong vùng III, không có sự thay đổi thế năng gây ra phản xạ; do đó, hệ số B_3 phải bằng 0. Chúng ta phải giải thích sự vắng mặt của phản xạ trong phương trình (2.59b) bởi vì ràng hàng rào thế xác định; nghĩa là không sự phản xạ nào trở thành không liên tục. Chúng ta có 4 điều kiện biên tại $x=0$ và $x=a$ tương ứng với nghiệm hàm sóng và đạo hàm bậc nhất của nó phải liên tục. Chúng ta có thể tìm các hệ số B_1 , A_2 , B_2 và B_3 theo A_1 . Nghiệm trong ba vùng được biểu diễn trong hình 2.9.



Hình 2.9 | Hàm sóng qua hàng rào thế

Một thông số đáng quan tâm là hệ số truyền qua T của hệ thống. Nó là tỉ số giữa thông lượng truyền qua trong vùng III và thông lượng tới trong vùng I. Do đó, hệ số truyền qua T là:

$$T = \frac{v_t \cdot A_3 \cdot A_3^*}{v_i \cdot A_1 \cdot A_1^*} = \frac{A_3 \cdot A_3^*}{A_1 \cdot A_1^*} \quad (2.61)$$

Ở đây v_t và v_i là vận tốc của hạt truyền qua và hạt tới. Bởi vì thế năng $V=0$ ở vùng I và vùng III nên vận tốc tới và vận tốc truyền qua bằng nhau. Hệ số truyền qua có thể xác định bằng cách cách gì cũng được. Trong trường hợp biên độ nhỏ $E \ll V_0$, chúng ta tìm được:

$$T \approx 16 \left(\frac{E}{V_0} \right) \left(1 - \frac{E}{V_0} \right) \exp(-2K_2 a) \quad (2.62)$$

Phương trình (2.62) có nghĩa là có một xác suất nào đó mà hạt xuyên qua hàng rào thế và đi vào trong vùng III. Hiện tượng này có vẻ là sự chui hầm và quá mâu thuẫn với cơ học cổ điển. Sau này chúng ta sẽ thấy hiện tượng chui hầm là một tính chất rất quan trọng trong vật lý bán dẫn như thế nào, chẳng hạn như diode chui hầm.

Nhưng để giải quyết các phương trình sóng Schrodinger và những hàm thế năng khác nhau, chúng ta tìm thấy trong các bài tập cuối chương. Một trong số các hàm thế năng này bị sử dụng để cấu trúc giếng lượng tử trong các thiết bị bán dẫn hiện nay.

*2.4| M R NG LÍ THUY T SÓNG CHO NH NG NGUYÊN T

Xem video t i:

<http://mientayvn.com/Dien%20tu/Sach/Vat%20li%20dien%20tu%20va%20ban%20dan/Chuong%20II/24.html>

trên, chúng ta ã xét m t vài hàm th n ng m t chi u và ã gi i ph ng trình sóng Schrodinger c l p th i gian thu c hàm xác su t tìm h t t i nh ng v trí khác nhau. Bây gi xét hàm th c a nguyên t m t electron, ho c Hydro. Chúng ta s không i vào gi i bài toán c th mà ch ghi nh n và rút ra nh n xét v hàm sóng và các m c n ng l ng.

2.4.1 Nguyên t m t electron

H t nhân là m t proton mang i n d ng n ng và electron là m t h t mang i n âm nh . Theo lí thuy t Bohr c i n, electron quay xung quanh h t nhân. Hàm th do t ng tác Coulomb gi a proton và electron là:

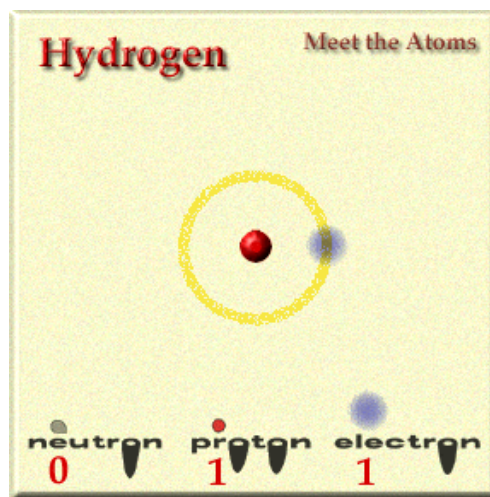
$$V(r) = \frac{-e^2}{4\pi\epsilon_0 r} \quad (2.63)$$

ây e là l n c a i n tích n v và ϵ_0 là h ng s i n môi chân không. Hàm th này d n n bài toán ba chi u trong h t a c u.

Chúng ta có th t ng quát hóa ph ng trình sóng Schrodinger cho tr ng h p ba chi u b ng cách vi t

$$\nabla^2 \psi(r, \theta, \phi) + \frac{2m_0}{\hbar^2} [E - V(r)] \psi(r, \theta, \phi) = 0 \quad (2.64)$$

ây ∇^2 là toán t Laplace và ph i c vi t trong h t a c u cho tr ng h p này. m_0 là kh i l ng ng h c a electron. Trong h t a c u, ph ng trình Schrodinger có th c vi t là:



$$\frac{1}{r^2} \cdot \frac{\partial}{\partial r} \left(r^2 \frac{\partial \psi}{\partial r} \right) + \frac{1}{r^2 \sin^2 \theta} \cdot \frac{\partial^2 \psi}{\partial \phi^2} + \frac{1}{r^2 \sin \theta} \cdot \frac{\partial}{\partial \theta} \left(\sin \theta \frac{\partial \psi}{\partial \theta} \right) + \frac{2m_0}{\hbar^2} [E - V(r)] \psi = 0 \quad (2.65)$$

Nghiệm của phương trình (2.65) có thể xác định bằng phương pháp tách biến. Chúng ta có thể giả sử rằng nghiệm của phương trình sóng có lập thể trong gian có thể viết dưới dạng:

$$\psi(r, \theta, \phi) = R(r) \cdot \Theta(\theta) \Phi(\phi) \quad (2.66)$$

Đây R, Θ và Φ là hàm theo r, θ và ϕ . Thế vào phương trình (2.65), chúng ta sẽ thu được

$$\begin{aligned} \frac{\sin^2 \theta}{R} \cdot \frac{\partial}{\partial r} \left(r^2 \frac{\partial R}{\partial r} \right) + \frac{1}{\Phi} \cdot \frac{\partial^2 \Phi}{\partial \phi^2} + \frac{\sin \theta}{\Theta} \cdot \frac{\partial}{\partial \theta} \left(\sin \theta \cdot \frac{\partial \Theta}{\partial \theta} \right) \\ + r^2 \sin^2 \theta \cdot \frac{2m_0}{\hbar^2} (E - V) = 0 \end{aligned} \quad (2.67)$$

Chúng ta thấy rằng số hạng thứ 2 trong phương trình (2.67) là hàm chỉ phụ thuộc vào ϕ , trong khi tất cả các hạng số khác là hàm chỉ phụ thuộc vào r và θ . Do đó, chúng ta có thể viết

$$\frac{1}{\Phi} \frac{\partial^2 \Phi}{\partial \phi^2} = -m^2 \quad (2.68)$$

Đây m là hằng số tách biến. Nghiệm của phương trình (2.68) có dạng

$$\Phi = e^{im\phi} \quad (2.69)$$

Bởi vì hàm sóng phải liên tục nên m phải là số nguyên, hoặc

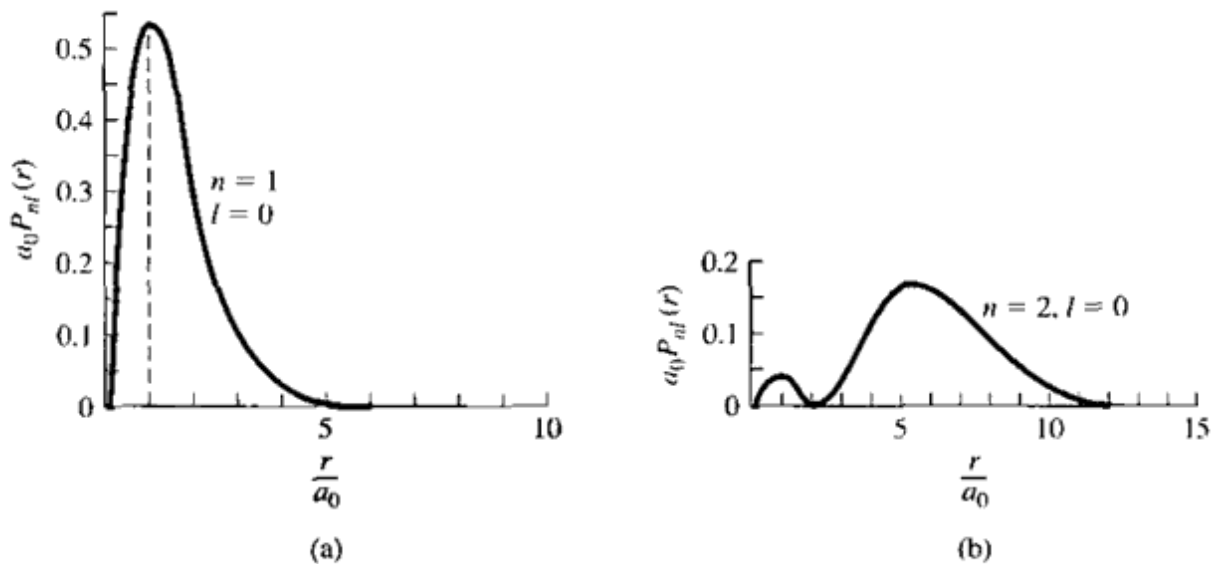
$$m = 0, \pm 1, \pm 2, \pm 3, \dots \quad (2.70)$$

Hệ phương trình tách biến, chúng ta có thể tách thêm nghiệm biến θ và r và tạo ra thêm hai hằng số tách biến l và n. Những hằng số tách biến n, l, m có giá trị là những số nguyên và mối liên hệ giữa chúng là

$$n = 1, 2, 3, \dots$$

Và bán kính Bohr.

Hàm mật độ xác suất theo r , hoặc xác suất tìm thấy electron tại một khoảng nào đó thể hiện nhân tử vi tích $100 \cdot 10^{-100}$ và vi thể tích vi phân của vùng xung quanh hạt nhân. Hàm mật độ xác suất ở vị trí trạng thái năng lượng thấp nhất có vẽ trong hình 2.10a. Khoảng cách có xác suất lớn nhất tới hạt nhân là tại $r=a_0$. Điều này gợi ý về lý thuyết Bohr. Xét hàm xác suất ở trạng thái này, bây giờ chúng ta có thể hình thành khái niệm đám mây electron, hoặc nhúng m electron bao quanh hạt nhân thay vì nhúng quỹ đạo r cố định quanh hạt nhân.



Hình 2.10 | Hàm mật độ xác suất theo r của nguyên tử một electron trong (a) trạng thái năng lượng thấp nhất (b) trạng thái năng lượng cao hơn kế tiếp

Hàm mật độ xác suất theo r của hàm sóng ở trạng thái cao hơn tiếp theo theo năng lượng với $n=2, l=0$ và $m=0$ có biểu diễn trong hình 2.10b. Hình này biểu diễn ý tưởng về nhúng m electron bao quanh hạt nhân theo các electron. Mật độ năng lượng thì hai tới bán kính tính tới hạt nhân lớn hơn mật độ năng lượng thì nhất. Như thể hiện trong hình, mật độ vẫn còn mật độ xác suất nhỏ electron tại vị trí bán kính nhỏ hơn. Điều kiện vị trí trạng thái $n=2$ và $l=1$ có 3 trạng thái khác nhau với 3 giá trị khác nhau của số lượng tử từ. Nhưng hàm sóng này không còn ở trạng thái cao.

Hãy xem trạng thái $n=3, l=1, m=0$, electron trong nguyên tử hydro chuyển động như thế nào

Hãy xem trạng thái $n=3, l=1, m=1$, electron trong nguyên tử hydro chuyển động như thế nào

Mặc dù chúng ta đã không đi sâu vào những chi tiết toán học của bài toán nguyên tử một electron như ba kết quả sau đây là quan trọng và cần dùng trong phân tích vật lý bán cổ điển. **Thứ nhất** là nghiệm của phương trình sóng Schrodinger một lần nữa mang đến hàm phân bố electron như nó có giá trị như hàm thế năng giáng hạ. Trong quá trình xây dựng lý thuyết vật lý bán cổ điển trong chương sau, chúng ta cần xét hàm phân bố electron. **Kết quả thứ hai** là sự lượng tử hóa năng lượng của electron liên kết. **Thứ ba** là khái niệm về sự lượng tử và những trạng thái lượng tử, nó có rút ra từ phương pháp tách biến. Chúng ta sẽ xét lại khái niệm này trong phần tiếp theo và trong những chương sau khi nghiên cứu vật lý bán cổ điển.

2.4.2 Bng tu n hoàn

Phần của bảng tuần hoàn các nguyên tử hóa học có thể được xác định bằng cách dùng kết quả của nguyên tử một electron cùng với 2 khái niệm nữa. **Khái niệm thứ nhất** là spin của electron. Electron có momen lượng tử nội tại, hoặc spin. Nó bị lượng tử hóa và có thể nhận một trong hai giá trị khác nhau. Spin được kí hiệu bằng số lượng tử s , nó có giá trị bằng $+1/2$ hoặc $-1/2$. Bây giờ chúng ta có bốn số lượng tử cần biết là n, l, m và s .

Khái niệm thứ hai là nguyên lý loại trừ Pauli. Nguyên lý loại trừ Pauli phát biểu rằng trong bất kỳ hệ thống nào (nguyên tử, phân tử, hoặc tinh thể), không có 2 electron nào có cùng trạng thái lượng tử. Trong nguyên tử, nguyên lý loại trừ Pauli thường nói rằng không có hai electron nào có cùng tập hợp các số lượng tử. Chúng ta sẽ thấy rằng nguyên lý loại trừ Pauli cần làm một nhân tố quan trọng trong việc xác định phân bố của electron vào những trạng thái năng lượng có sẵn trong tinh thể.

Bảng 2.1 biểu diễn vài nguyên tử ưu tiên của bảng tuần hoàn. Với nguyên tử thế nhất, Hydro, chúng ta có một electron trong trạng thái năng lượng thấp nhất với $n=1$. Từ phương trình (2.71) có hai số lượng tử l và m phải bằng 0. Tuy nhiên,

electron có thể nhận giá trị spin là $+1/2$ hoặc $-1/2$. Vì vậy Heli, hai electron có thể tồn tại cùng một mức năng lượng thì phải. Vì vì trong nguyên tử này $l=m=0$, vì vậy bây giờ có hai trạng thái spin của electron khác nhau và mức năng lượng thì phải. Họ thì nguyên tử hóa học của nguyên tử khác nhau xác định chúng đưa vào các electron hóa trị hoặc các electron ngoài cùng. Bởi vì mức năng lượng hóa trị của He rất nhỏ nên nó sẽ không tương tác với các nguyên tử khác và là nguyên tử khí trơ.

Nguyên tử thứ 3 Li có 3 electron. Electron thứ 3 phải đi vào trong mức năng lượng thì 2 thì nguyên tử $n=2$, số lượng thì có thể là 0 hoặc 1, và khi $l=1$, số lượng thì có thể là $-1, 0, +1$. Trong mô hình thì spin của electron có thể là $+1/2$ hoặc $-1/2$. Do đó, vì $n=2$ có 8 trạng thái thì khác nhau. Neon có 10 electron. Hai electron mức $n=1$ và 8 electron mức $n=2$. Bây giờ mức năng lượng thì hai, có nghĩa là Neon cũng là nguyên tử khí trơ.

Thử nghiệm của phương trình sóng schrodinger cho nguyên tử một electron, cũng vì khái niệm về spin của electron và nguyên lý loại trừ Pauli, chúng ta có thể xây dựng nên bảng tuần hoàn các nguyên tử. Khi số nguyên tử của nguyên tử tăng, như electron sẽ bắt đầu tương tác với nhau vì thế vì xây dựng bảng tuần hoàn sẽ hơi khác chút ít so với phương trình bày này.

Bảng 2.1 | Phần đầu của bảng tuần hoàn

Nguyên tố	Kí hiệu	n	l	m	s
H	$1s^1$	1	0	0	$+\frac{1}{2}$ or $-\frac{1}{2}$
He	$1s^2$	1	0	0	$+\frac{1}{2}$ and $-\frac{1}{2}$
Li	$1s^2 2s^1$	2	0	0	$+\frac{1}{2}$ or $-\frac{1}{2}$
Be	$1s^2 2s^2$	2	0	0	$+\frac{1}{2}$ and $-\frac{1}{2}$
B	$1s^2 2s^2 2p^1$	2	1	}	$m = 0, -1, +1$ $s = +\frac{1}{2}, -\frac{1}{2}$
C	$1s^2 2s^2 2p^2$	2	1		
N	$1s^2 2s^2 2p^3$	2	1		
O	$1s^2 2s^2 2p^4$	2	1		
F	$1s^2 2s^2 2p^5$	2	1		
Ne	$1s^2 2s^2 2p^6$	2	1		

Video sau đây sẽ mô tả sự phân bố electron vào các mức năng lượng:

CHƯƠNG III

Giới Thiệu Lý Thuyết Lượng Tử Của Hạt Electron

TỔNG QUAN

Trong chương trước, chúng ta đã áp dụng cơ học lượng tử và phương trình sóng Schrodinger xác định tính chuyển động của electron trong các dạng tinh thể khác nhau. Chúng ta nhận thấy một tính chất quan trọng của electron trong nguyên tử hoặc trong tinh thể là electron chỉ có thể nhận những giá trị năng lượng rời rạc; nghĩa là năng lượng bị lượng tử hóa. Chúng ta cũng đã thảo luận nguyên lý loại trừ Pauli, nó phát biểu rằng trong nguyên tử không thể có hai electron có cùng 4 số lượng tử. Trong chương này, chúng ta sẽ tổng quát hóa những kết quả này cho những electron trong mạng tinh thể.

Một trong những mục tiêu của chúng ta là xác định tính chất điện của vật liệu bán dẫn, chúng ta sẽ dùng nó để xây dựng tính Vận-Ampe của thiết bị bán dẫn. Những tính chất của vật liệu này, chúng ta có 2 nhiệm vụ trong chương này: xác định tính chất của electron trong mạng tinh thể và xác định tính chất thế năng của một số lượng lớn những electron trong mạng tinh thể.

Đầu tiên, chúng ta sẽ mô tả những khái niệm những mức năng lượng rời rạc của một electron trong vùng năng lượng trong chất rắn trong tinh thể. Đầu tiên chúng ta sẽ thảo luận những tính vật lý của vùng năng lượng trong tinh thể, và sau đó sẽ xây dựng mô hình toán học để tính toán những tính chất của lý thuyết này dùng phương trình sóng Schrodinger. Lý thuyết vùng năng lượng này là nguyên lý cơ bản của vật lý bán dẫn và cũng có những điểm khác nhau về tính chất điện của kim loại, bán dẫn và siêu dẫn.

Bởi vì dòng điện trong chất rắn phụ thuộc vào dòng chuyển động của các điện tích, do đó việc xác định áp dụng của một electron trong tinh thể và vị trí ngoài các hạt lượng tử, chúng ta cần những tính toán. Sự chuyển động của electron trong mạng tinh thể khác với trong không gian tự do. Chúng ta sẽ xây dựng những khái niệm cho phép thiết lập mối quan hệ giữa những biểu thức mô tả trạng thái lượng tử của electron trong mạng tinh thể và những biểu thức mô tả trạng thái cổ điển của nó. Việc phân tích này sẽ dẫn đến một tham số gọi là khối lượng hiệu dụng. Chúng ta cũng sẽ thấy rằng chúng ta có thể nhận được một loạt những

trong bán dẫn có giá trị là 1. Chuyển động của các electron và lỗ trống tạo ra dòng điện sinh dòng điện trong bán dẫn.

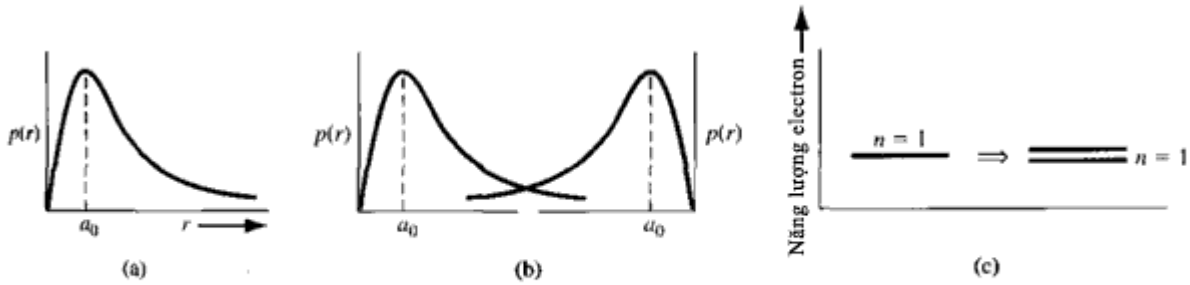
Bởi vì số lượng electron trong bán dẫn rất lớn nên chúng ta không thể theo dõi chuyển động của từng hạt riêng biệt. Chúng ta sẽ nghiên cứu chuyển động tập thể của electron bằng phương pháp thống kê. Chú ý rằng nguyên lý loại trừ Pauli sẽ giúp chúng ta xác định những luật thống kê mà tập thể các electron phải tuân theo. Hàm phân bố xác suất phân bố của năng lượng electron vào những trạng thái năng lượng nào đã có. Lý thuyết vùng năng lượng và hàm phân bố xác suất dùng rất rãi trong chương tiếp theo khi chúng ta xây dựng lý thuyết bán dẫn trạng thái cân bằng.

3.1|VÙNG NĂNG LƯỢNG VÀ VÙNG CƠ M

Trong chương trước, chúng ta đã khảo sát nguyên tử Hydro một electron. Việc phân tích này cho thấy rằng năng lượng của electron liên kết bị lượng tử hóa: Chỉ những giá trị năng lượng rời rạc của electron mới được phép. Một xác suất theo r của electron cũng được xác định. Hàm này cho biết xác suất tìm thấy electron tại một khoảng cách nào đó từ hạt nhân và chuyển động electron không có quỹ đạo xác định. Chúng ta có thể mô tả những hạt quanta nguyên tử này sang tính chất và rút ra một cách định tính khái niệm về vùng năng lượng và vùng cơ m. Sau đó, chúng ta có thể áp dụng các phương trình và phương trình sóng Schrodinger cho bài toán một electron trong tinh thể. Chúng ta sẽ nhận thấy rằng vùng năng lượng trong tinh thể bao gồm những vùng năng lượng bị chia tách bởi những khe năng lượng.

3.1.1 Sự hình thành vùng năng lượng

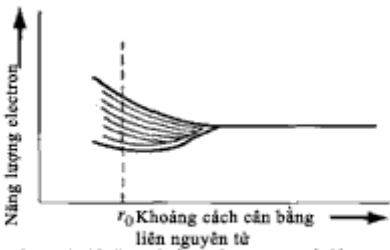
Hình 3.1a biểu diễn hàm mật độ xác suất theo r của electron khi nó ở trạng thái năng lượng thấp nhất trong nguyên tử hydro, và hình 3.1b biểu diễn hàm sóng của những electron này xen kẽ nhau, điều này có nghĩa là hai electron sẽ tương tác. Sự tương tác hoặc nhiễu loạn này sẽ tách một mức năng lượng thành hai mức năng lượng và



Hình 3.1 | (a) Hàm mật độ xác suất của nguyên tử hydro cô lập. (b) Các hàm mật độ xác suất của hai nguyên tử hydro cạnh nhau xen phủ nhau. (c) Sự tách trạng thái $n=1$

c biểu diễn trong hình 3.1c. Sự tách một trạng thái thành hai trạng thái rời rạc phù hợp với nguyên lý loại trừ Pauli.

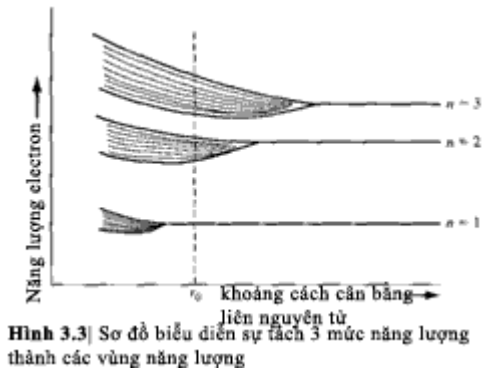
Bây giờ giả sử chúng ta có nhúng nguyên tử hydro rất xa nhau. Nếu bằng cách nào đó chúng ta gộp nhúng nguyên tử này lại với nhau thì nhúng m c n n g l n g b l n g t hóa ban đầu sẽ tách thành một vùng các m c n n g l n g r i r c. Hình thức này biểu diễn trong hình 3.2, đây r_0 biểu diễn khoảng cách cân bằng liên nguyên tử trong tinh thể. Tại khoảng cách cân bằng liên nguyên tử có một vùng n n g l n g và trong vùng này chứa một số m c n n g l n g sát



Hình 3.2 | Sự tách một trạng thái năng lượng thành một vùng năng lượng

nhau. Nguyên lý loại trừ Pauli phát biểu rằng số phức tạp nhúng nguyên tử hình thành hệ thống tinh thể không làm biến đổi trạng thái lượng tử bất kỳ kích thước của nó. Tuy nhiên, bởi vì không thể có hai electron nào có cùng các số lượng tử nên m c n n g l n g r i r c phải tách thành vùng n n g l n g cho mỗi electron chiếm một trạng thái lượng tử riêng biệt.

Chúng ta đã thấy rằng, sự trạng thái lượng tử m i m c n n g l n g t n g i n h . Do đó, có chỗ cho tất cả các electron trong tinh thể, chúng ta phải có một số m c n n g l n g trong vùng n n g l n g. Chúng ta hãy xét một ví dụ: giả sử rằng chúng ta có một thể tích 10^{19} nguyên tử m t e l e c t r o n và chúng ta giả sử rằng tại khoảng cách cân bằng liên nguyên tử, năng lượng của vùng n n g l n g là 1 eV. Cho nên giả sử, chúng ta giả thiết rằng mỗi electron trong hệ chiếm một m c n n g l n g và, nếu như trạng thái n n g l n g cách nhau thì m i m c n n g l n g cách nhau là 10^{-19} eV. Sự chênh lệch năng lượng này khá nhỏ, vì vậy trong thực tế, chúng ta có thể xem nhúng vùng n n g l n g gần như liên tục.

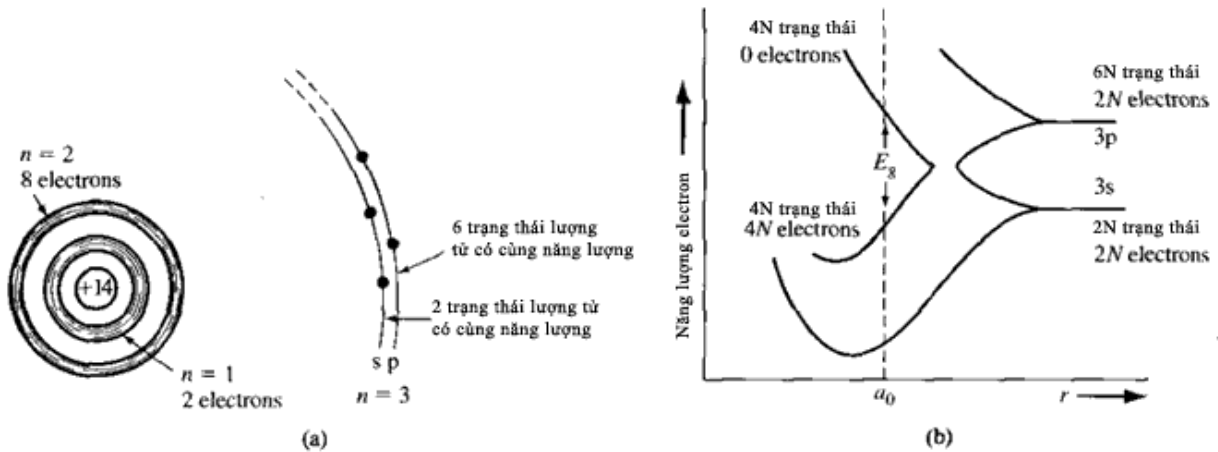


Hình 3.3) Sơ đồ biểu diễn sự tách 3 mức năng lượng thành các vùng năng lượng

Một lần nữa xét sự tồn tại hoàn toàn của các nguyên tử, trong đó mỗi nguyên tử chứa nhiều hơn một electron. Giả sử nguyên tử trong tình trạng tĩnh này chứa 3 mức năng lượng ($n=1, 2, 3$). Nếu các nguyên tử ban đầu rất xa nhau, năng lượng electron của các nguyên tử khác nhau sẽ không tương tác và sẽ chỉ mang tính chất của các mức năng lượng rời rạc.

Nếu các nguyên tử này càng mang gần nhau, năng lượng electron trong lớp ngoài cùng $n=3$ sẽ bắt đầu tương tác, vì thế các mức năng lượng rời rạc này sẽ tách thành vùng năng lượng. Nếu các nguyên tử tiếp tục di chuyển gần nhau, năng lượng electron trong lớp $n=2$ cũng sẽ bắt đầu tương tác và sẽ tách thành vùng năng lượng. Cuối cùng, nếu các nguyên tử càng gần nhau thì năng lượng electron của lớp trong cùng $n=1$ cũng có thể tương tác, vì vậy các mức năng lượng này cũng có thể tách thành vùng năng lượng. Sự tách các mức năng lượng rời rạc này có thể biểu diễn như tính trong hình 3.3. Nếu khoảng cách cân bằng liên nguyên tử là r_0 , chúng ta có thể thấy các vùng năng lượng bị chia tách bởi những khe năng lượng hay vùng cấm. Sự tách vùng năng lượng này và sự hình thành vùng cấm là lý thuyết vùng năng lượng cơ bản của vật lý bán dẫn.

Sự tách vùng thành các vùng trong tình trạng pha kết tinh. Sự phân bố electron của nguyên tử silic có thể biểu diễn trong hình 3.4a. Mỗi nguyên tử có 14 năng lượng electron trong nguyên tử chỉ mang tính chất của các mức năng lượng nằm sâu bên trong vỏ hạt nhân. Bốn electron hóa trị còn lại liên kết với nhau và là những electron tham gia vào tương tác hóa học. Hình 3.4b biểu diễn sự tách vùng của Silic. Chúng ta hãy cùng xem xét mức $n=3$ của những electron hóa trị bởi vì hai mức năng lượng ưu tiên hoàn toàn và liên kết chặt chẽ với nhau. Trạng thái $3s$ tương ứng với $n=3$ và $l=0$ và chứa hai trạng thái lượng tử trên nguyên tử. Trạng thái này sẽ chứa hai electron tại $T=0$ K. Trạng thái $3p$ tương ứng với $n=3$ và $l=1$ và chứa 6 trạng thái lượng tử trên nguyên tử. Trạng thái này sẽ chứa hai electron còn lại trong nguyên tử silic.



Hình 3.4 (a) Một nguyên tử Si cô lập. (b) Sự tách những trạng thái 3s và 3p của Si thành những vùng năng lượng và khe năng lượng

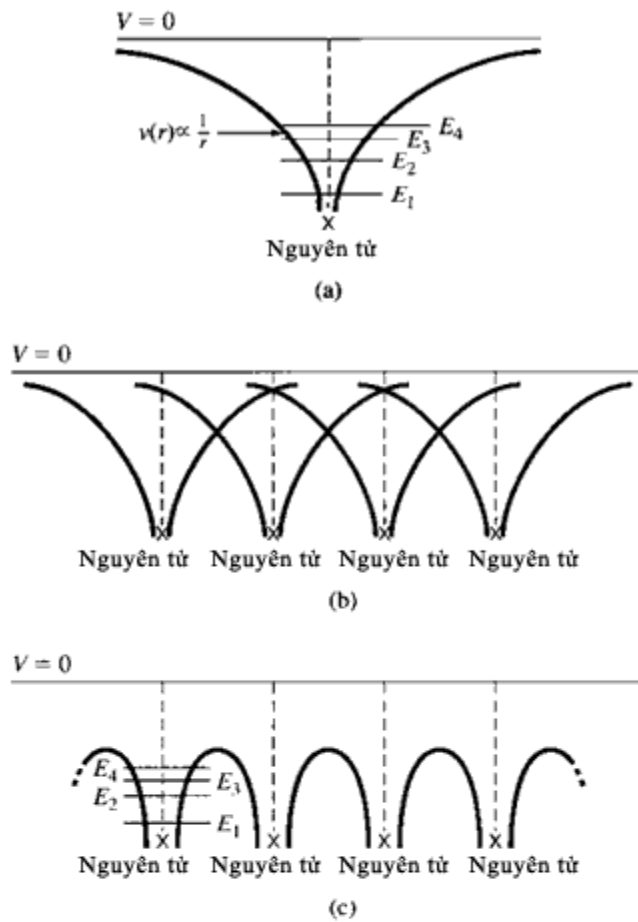
Khi khoảng cách liên nguyên tử giảm, những trạng thái 3s và 3p tương tác và xen phủ. Tương tự khoảng cách cân bằng liên nguyên tử, những vùng liên kết tách, những băng giữa 4 trạng thái liên kết trên nguyên tử trong vùng thấp hơn và bản trạng thái liên kết trên nguyên tử vùng cao hơn. Không tuy vậy, những electron s trạng thái liên kết thấp hơn, vì thế tất cả những trạng thái vùng thấp hơn (vùng hóa trị) sẽ đầy và tất cả những trạng thái vùng cao hơn (vùng dẫn) sẽ trống. Khe năng lượng E_g giữa các vùng hóa trị và băng vùng dẫn là rỗng vùng cấm.

Chúng ta sẽ thảo luận về tính chất và lý do tại sao những vùng năng lượng và vùng cấm sẽ hình thành trong tinh thể. Sự hình thành vùng năng lượng này liên quan trực tiếp đến tính chất của tinh thể như chúng ta sẽ thấy trong phần sau đây.

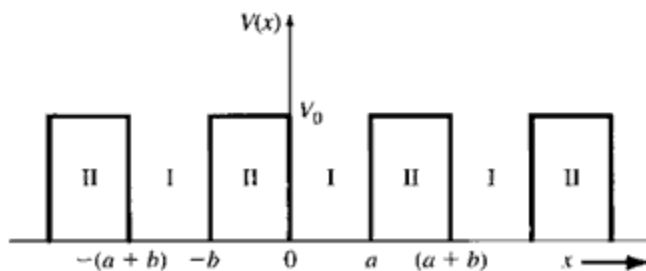
*3.1.2 Mô hình Kronig-Penney

Trong phần trước, chúng ta đã thảo luận về tính chất tách các mức năng lượng khi những nguyên tử xích gần nhau hình thành nên tinh thể. Những khái niệm về vùng năng lượng và vùng cấm có thể được xây dựng bằng cách áp dụng các điều kiện biên và phương trình sóng Schrodinger. Ngay cả các nguyên tử bị phá vỡ suy luận sau, những nguyên tử kết quả sẽ hình thành nên các cấu trúc lý thuyết vùng năng lượng trong bán dẫn.

Hàm thế của nguyên tử một electron, không tương tác được biểu diễn trong hình 3.5a. Những mức năng lượng gián đoạn của electron được biểu diễn trong hình. Hình 3.5b biểu diễn dạng hàm thế của các nguyên tử sắp xếp gần nhau trong mạng tinh thể. Hàm thế của những nguyên tử kế nhau xen kẽ nhau, và hàm thế tổng hợp trong trường hợp này được biểu diễn trong hình 3.5c. Chúng ta sử dụng hàm thế này trong phương trình sóng Schrodinger mô hình hóa vận động của tinh thể một chiều.



Hình 3.5 (a) Hàm thế của một nguyên tử cô lập
 (b) Sự xen phủ hàm thế của những nguyên tử cạnh nhau.
 (c) Hàm thế toàn phần của đơn tinh thể một chiều



Hình 3.6 Hàm thế một chiều của mô hình Kronig-Penney

i v i m ng n tinh th m t chi u, vi c gi i ph ng trnh sóng Schrodinger c làm cho n gi n h n b ng cách xét m t hàm th n gi n h n. Hình 3.6 là mô hình Kronig-Penney c a hàm th tu n hoàn, nó c dùng bi u di n m ng n tinh th m t chi u. Chúng ta c n gi i ph ng trnh sóng Schrodinger trong m i vùng. Nh trong m t bài t p ã gi i tr c ây, chúng ta ch quan tâm n nh ng nghi m trong tr ng h p $E < V_0$, t ng ng v i m t h t c liên k t trong tinh th . Nh ng electron c giam c m trong gi ng th , nh ng chúng v n có kh n ng xuyên h m qua gi ng. Mô hình Kronig-Penney là bi u di n th tu n hoàn lí t ng hóa c a m ng n tinh th m t chi u, nh ng k t qu rút ra c ng s minh h a nh ng tính ch t quan tr ng v chuy n ng c a electron trong m ng tinh th tu n hoàn.

thu c nghi m c a ph ng trnh sóng Schrodinger, chúng ta ph i dùng lí thuy t hàm Bloch. Lí thuy t này phát bi u r ng i v i nh ng bài toán có liên quan n hàm th n ng bi n i tu n hoàn, t t c các hàm sóng m t electron ph i có d ng

$$\psi(x) = u(x)e^{jkx} \quad (3.1)$$

Tham s k c g i là h ng s chuy n ng và s c xem xét chi ti t h n khi chúng ta xây d ng lí thuy t. Hàm $u(x)$ là hàm tu n hoàn v i chu kì $(a+b)$.

Chúng ta ã phát bi u trong ch ng II r ng, nghi m c a ph ng trnh sóng là tích c a nghi m ph thu c th i gian và nghi m không ph thu c th i gian, ho c

$$\psi(x, t) = \psi(x)\phi(t) = u(x)e^{jkx} \cdot e^{-j(E/\hbar)t} \quad (3.2)$$

Nó có th c vi t l i là

$$\psi(x, t) = \psi(x)\phi(t) = u(x)e^{j[kx - (E/\hbar)t]} \quad (3.3)$$

Nghi m d ng sóng ch y này bi u di n chuy n ng c a electron trong v t li u n tinh th . Biên c a sóng ch y là hàm tu n hoàn và k c g i là s sóng.

Bây gi , chúng ta có th b t u xác nh m i quan h gi a tham s k , n ng l ng toàn ph n E và th n ng V_0 . N u chúng ta xét vùng I trong hình 3.6 ($0 < x < a$) ó $V(x)=0$, l y o hàm b c II c a ph ng trnh (3.1), và th k t qu này vào

phương trình sóng Schrodinger không phụ thuộc thời gian (2.13), chúng ta sẽ thu được các phương trình sau

$$\frac{d^2 u_1(x)}{dx^2} + 2jk \frac{du_1(x)}{dx} - (k^2 - \alpha^2) u_1(x) = 0 \quad (3.4)$$

Hàm $u_1(x)$ là biên độ của hàm sóng trong vùng I và thông số cần tìm là

$$\alpha^2 = \frac{2mE}{\hbar^2} \quad (3.5)$$

Bây giờ xét vùng II, $-b < x < 0$, ở đó $V(x) = V_0$, và áp dụng phương trình sóng Schrodinger. Chúng ta thu được các phương trình

$$\frac{d^2 u_2(x)}{dx^2} + 2jk \frac{du_2(x)}{dx} - (k^2 - \alpha^2 + \frac{2mV_0}{\hbar^2}) u_2(x) = 0 \quad (3.6)$$

Đây $u_2(x)$ là biên độ của hàm sóng trong vùng II. Chúng ta có thể tìm được

$$\frac{2m}{\hbar^2} (E - V_0) = \alpha^2 - \beta^2 = \beta^2 \quad (3.7)$$

Vì phương trình (3.6) có thể viết là

$$\frac{d^2 u_2(x)}{dx^2} + 2jk \frac{du_2(x)}{dx} - (k^2 - \beta^2) u_2(x) = 0 \quad (3.8)$$

Chú ý rằng từ phương trình (3.7), nếu $E > V_0$ thì tham số là thực, ngược lại nếu $E < V_0$ thì ảo.

Nghiệm của phương trình (3.4) trong vùng I có dạng

$$u_1(x) = Ae^{j(\alpha-k)x} + Be^{-j(\alpha+k)x} \text{ khi } 0 < x < a \quad (3.9)$$

Và nghiệm của phương trình (3.8) trong vùng II có dạng

$$u_2(x) = Ce^{j(\beta-k)x} + De^{-j(\beta+k)x} \text{ khi } -b < x < 0 \quad (3.10)$$

Bởi vì thế nên xác định miền i , các hàm sóng (x) và các hàm biên độ của nó phải liên tục. Điều kiện liên tục này dẫn đến các hàm biên độ sóng $u(x)$ và các hàm biên độ của nó cũng phải liên tục.

Nếu chúng ta xét biên tại $x=0$ và áp dụng điều kiện liên tục cho biên sóng, chúng ta có

$$u_1(0)=u_2(0) \quad (3.11)$$

Thay phương trình (3.9) và (3.10) vào phương trình (3.11), chúng ta thu được

$$A+B-C-D=0 \quad (3.12)$$

Bây giờ áp dụng điều kiện

$$\left. \frac{du_1}{dx} \right|_{x=0} = \left. \frac{du_2}{dx} \right|_{x=0} \quad (3.13)$$

Chúng ta thu được

$$(-k)A - (+k)B - (-k)C + (+k)D = 0 \quad (3.14)$$

Chúng ta sẽ xem xét vùng I với $0 < x < a$ và vùng II với $-b < x < 0$. Điều kiện tuần hoàn và liên tục có nghĩa là hàm u_1 khi $x = a$ bằng với hàm u_2 khi $x = -b$. Điều kiện này có thể viết là

$$u_1(a)=u_2(-b) \quad (3.15)$$

Thay $u_1(x)$ và $u_2(x)$ vào phương trình (3.15) thu được:

$$Ae^{j(-k)a} + Be^{-j(+k)a} - Ce^{-j(-k)b} - De^{j(+k)b} = 0 \quad (3.16)$$

Cuối cùng điều kiện biên là

$$\left. \frac{du_1}{dx} \right|_{x=a} = \left. \frac{du_2}{dx} \right|_{x=-b} \quad (3.17)$$

Ta có:

$$(-k)Ae^{j(-k)a} - (+k)Be^{-j(+k)a} - (-k)Ce^{-j(-k)b} + (+k)De^{j(+k)b} = 0 \quad (3.18)$$

Bây giờ chúng ta có 4 phương trình tuần hoàn, phương trình (3.12), (3.14), (3.16), và (3.18), với 4 biến là các tham số áp dụng 4 điều kiện biên. Tập hợp những phương trình đồng nhất, tuy nhiên có nghiệm không tầm thường nếu chúng ta chọn các hằng số bằng 0. Trong trường hợp này chúng ta, hằng số này là các hằng số A, B, C, và D.

Việc tính toán như thế này không khó nhưng đòi hỏi phải tính chính xác phép toán và sự không sai sót xem xét chi tiết đây. Kết quả là

$$\frac{-(\alpha^2 + \beta^2)}{2\alpha\beta}(\sin\alpha a)(\sin\beta b) + (\cos\alpha a)(\cos\beta b) = \cos k(a+b) \quad (3.19)$$

Phương trình (3.19) thiết lập mối quan hệ giữa các tham số k và α trong toàn phần E (qua tham số α) và hàm thế V_0 (qua tham số β).

Như đã đề cập, chúng ta chú ý quan tâm đến những nghiệm xuất hiện trong trường hợp $E < V_0$, đó là những nghiệm của electron liên kết trong tinh thể. Từ phương trình (3.7), suy ra tham số là số nguyên. Chúng ta có thể nhận thấy

$$= j \quad (3.20)$$

đây là số nguyên thế. Phương trình (3.19) có thể viết theo là

$$\frac{(\gamma^2 - \alpha^2)}{2\alpha\gamma}(\sin\alpha a)(\sin\gamma b) + (\cos\alpha a)(\cos\gamma b) = \cos k(a+b) \quad (3.21)$$

Phương trình (3.21) không thể giải bằng phương pháp giải tích thông thường mà phải giải bằng phương pháp số và phương pháp thu thập các giá trị k , E , và V_0 . Nghiệm của phương trình sóng Schrodinger liên kết cho ra những mức năng lượng rời rạc. Nghiệm của phương trình (3.21) sẽ cho ra một vùng năng lượng.

Thu thập phương trình để giải những phương pháp thế và do đó sẽ minh họa các bước cần thiết để kết quả, hãy cho rằng hàng rào thế $b \neq 0$ và chiều cao hàng rào V_0 những sao cho tích bV_0 vẫn còn xác định. Phương trình (3.21) có thể rút gọn là

$$\left(\frac{mV_0ba}{\hbar^2}\right)\frac{\sin\alpha a}{\alpha a} + \cos\alpha a = \cos ka \quad (3.22)$$

Chúng ta có thể nhận thấy các tham số

$$P' = \frac{mV_0ba}{\hbar^2} \quad (3.23)$$

Cùng với nhau, chúng ta có thể

$$P' \frac{\sin \alpha a}{\alpha a} + \cos \alpha a = \cos ka \quad (3.24)$$

Phương trình (3.24) mô tả mối quan hệ giữa tham số k , năng lượng toàn phần E (qua tham số α), và hàng rào thế bV_0 . Chúng ta có thể rút ra rằng phương trình (3.24) không phải là nghiệm của phương trình sóng Schrodinger mà là điều kiện phương trình sóng Schrodinger có nghiệm. Nếu chúng ta giả sử rằng tính chất sóng vô hạn thì k trong phương trình (3.24) có thể nhận mọi giá trị thực.

3.1.3 Giới hạn không gian k

Điều kiện cần thiết của nghiệm, đầu tiên hãy xem xét trường hợp đặc biệt khi $V_0 = 0$. Trong trường hợp này $P' = 0$ tương đương với $\alpha = k$ do bởi vì không có hàng rào thế năng. Từ phương trình (3.24), chúng ta có

$$\cos \alpha a = \cos ka \quad (3.25)$$

$$\alpha = k \quad (3.26)$$

Bởi vì thế năng bằng 0, năng lượng toàn phần E sẽ bằng động năng, vì thế, từ phương trình (3.5), phương trình (3.26) có thể viết là

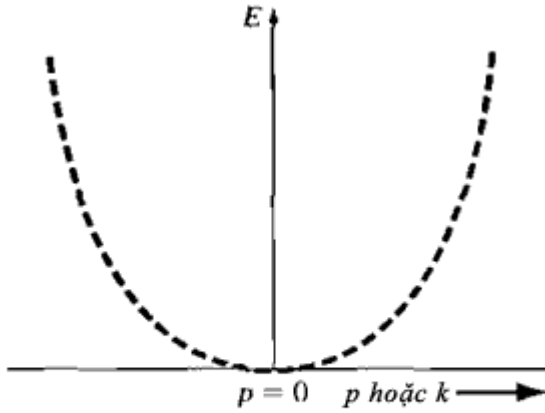
$$\alpha = \sqrt{\frac{2mE}{\hbar^2}} = \sqrt{\frac{2m\left(\frac{1}{2}mv^2\right)}{\hbar^2}} = \frac{p}{\hbar} = k \quad (3.27)$$

Đây là năng lượng cổ điển. Như vậy, đối với electron tự do, động năng chuyển động k có liên hệ với năng lượng cổ điển. Tham số k còn được gọi là sóng.

Chúng ta cũng có thể thiết lập mối quan hệ giữa năng lượng và động năng là

$$E = \frac{p^2}{2m} = \frac{\hbar^2 k^2}{2m} \quad (3.28)$$

Hình 3.7 là đồ thị biểu diễn mối quan hệ giữa năng lượng E và động năng p cổ điển. Bởi vì động năng và sóng có liên hệ tuyến tính, hình 3.7 cũng là đồ thị biểu diễn E theo k cổ điển.

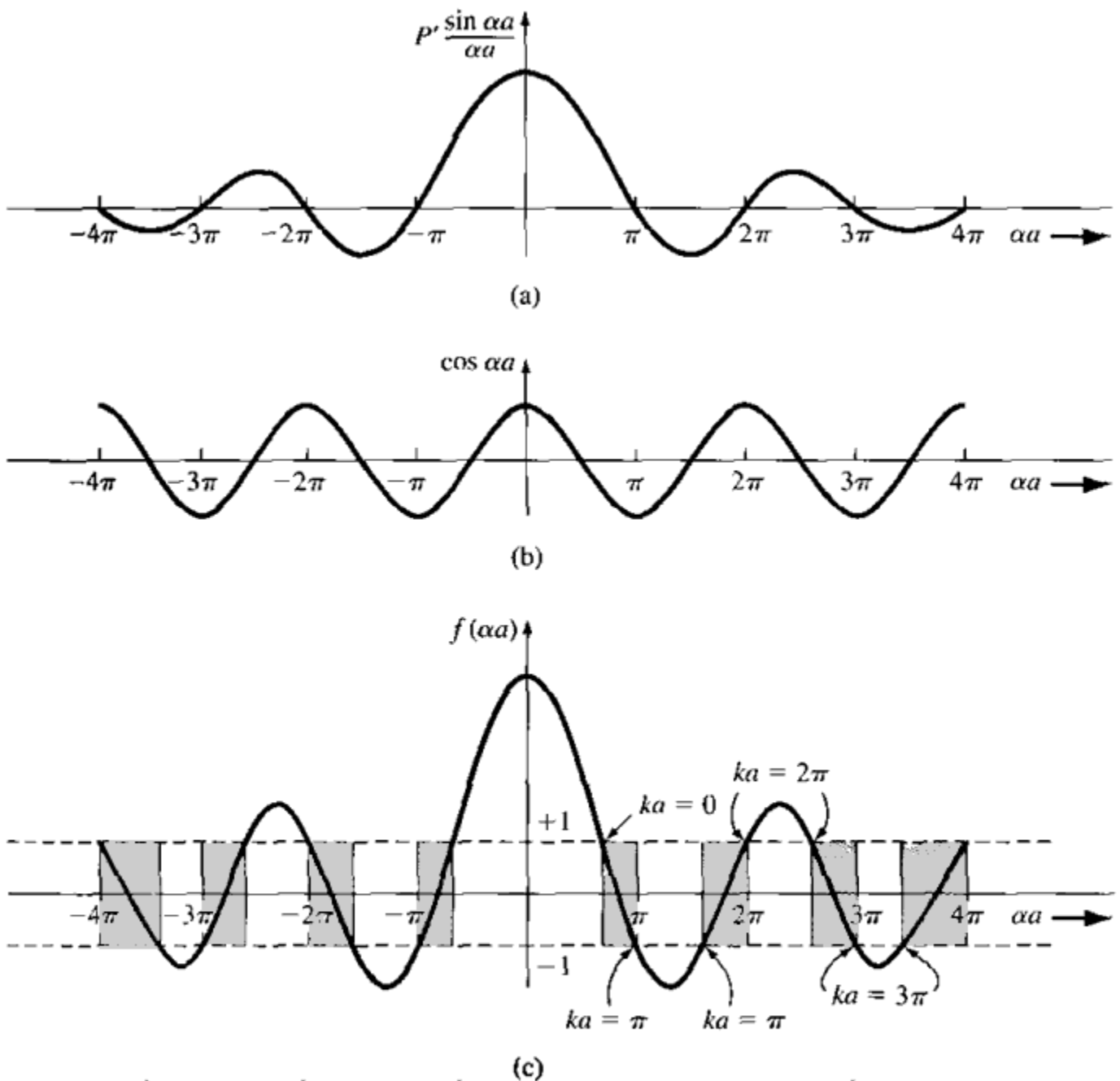


Hình 3.7 | Đường cong E theo k dạng parabol của electron tự do

Bây giờ chúng ta muốn xem xét mối quan hệ giữa E và k từ phương trình (3.24) cho hạt trong mạng tinh thể. Khi tham số P' tăng, hạt trở nên liên kết chặt chẽ hơn với nguyên tử. Chúng ta có thể nhận thấy từ trái của phương trình (3.24) là hàm $f(\alpha a)$, sao cho

$$f(\alpha a) = P' \frac{\sin \alpha a}{\alpha a} + \cos \alpha a \quad (3.29)$$

Hình 3.8a là sự phụ thuộc của phương trình (3.29) theo αa . Hình 3.8b biểu diễn thành các hàm $\cos \alpha a$ và hình 3.8c là tổng của 2 số hạng, hoặc $f(\alpha a)$.



Hình 3.8 | Đồ thị của (a) Số hạng thứ nhất trong phương trình (3.29), (b) Số hạng thứ hai trong phương trình (3.29), và (c) Toàn bộ hàm $f(\alpha a)$. Vùng tô sẫm biểu diễn những giá trị được phép của (αa) tương ứng với những giá trị thực của k .

Từ phương trình (3.24), chúng ta cũng có

$$f(\alpha a) = \cos ka \quad (3.30)$$

phương trình (3.30) có nghĩa, những giá trị của phép biến đổi $f(a)$ phải là $a+1$ và -1 . Hình 3.8c biểu diễn những giá trị của phép biến đổi a trong vùng tô sẫm. Hình vẽ này cũng chỉ ra giá trị của ka và phép biến đổi phương trình (3.30) tương ứng với những giá trị của phép biến đổi $f(a)$.

Bây giờ, chúng ta sẽ tìm hàm số biểu diễn mối quan hệ giữa E và k , sau đó vẽ đồ thị của nó. Chúng ta sẽ xét trường hợp $P' = 1$, tức là khi i và t liên kết một nhũ vật đồng tính thì những chúng vẫn còn có thể chuyển đổi thành nhau khác trong mạng. Trong trường hợp này miền giá trị của a là một khoảng rất hẹp tập trung về phía trái. Ta có thể viết:

$$a = n + \delta$$

với $|\delta| \ll 1$ và $n=1, 2, 3, \dots$. Khi đó

$$\sin a = \sin(n + \delta) = \sin n \cos \delta + \cos n \sin \delta = (-1)^n \sin \delta \quad (-1)^n,$$

vì δ nhỏ nên $\sin \delta \approx \delta$

$$\text{Còn } \cos a = \cos n \cos \delta - \sin n \sin \delta = (-1)^n.$$

Khi đó phương trình (3.24) có thể viết là:

$$f(\alpha a) = P' \frac{(-1)^n \delta}{n\pi} + (-1)^n = \cos ka$$

Suy ra

$$\delta = \frac{n\pi \cos ka}{(-1)^n K} - \frac{(-1)^n n\pi}{(-1)^n K} = \frac{n\pi}{K} [(-1)^n \cos ka - 1]$$

Và

$$\alpha a = n\pi + \delta = n\pi \left[1 + \frac{1}{P'} (-1)^n \cos ka - \frac{1}{P'} \right]$$

$$\Rightarrow \alpha = \frac{n\pi}{a} \left[1 + \frac{1}{P'} (-1)^n \cos ka - \frac{1}{P'} \right]$$

Vì theo (3.5)

$$E = \frac{\hbar^2 \alpha^2}{8\pi^2 m}$$

Thì
$$E_n = \frac{\hbar^2}{8\pi^2 m} \cdot \frac{n^2 \pi^2}{a^2} \left\{ 1 + \frac{1}{P'} [(-1)^n \cos ka - 1] \right\}^2 = \frac{\hbar^2 n^2}{8ma^2} \left[1 + \frac{2}{P'} (-1)^n \cos ka - \frac{2}{P'} \right]$$

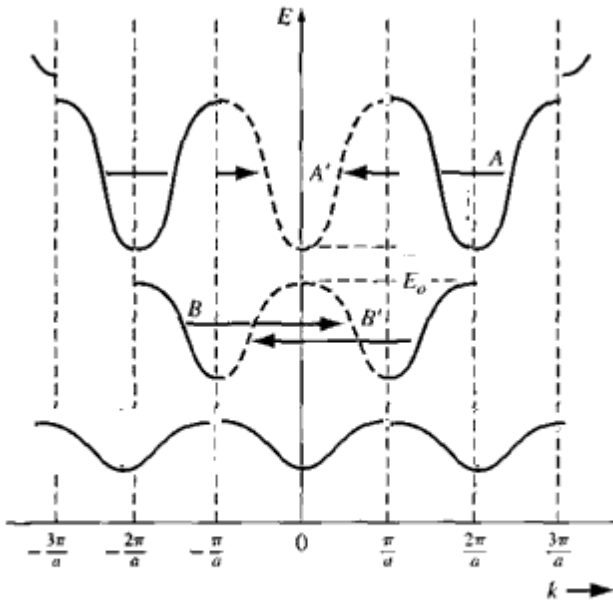
(vì $P' \gg 1$ nên bình phương số hạng hai có thể bỏ qua).

Như vậy, năng lượng riêng trong vùng năng lượng thứ n có dạng:

$$E_n(k) = A_n + (-1)^n B_n \cos ka$$

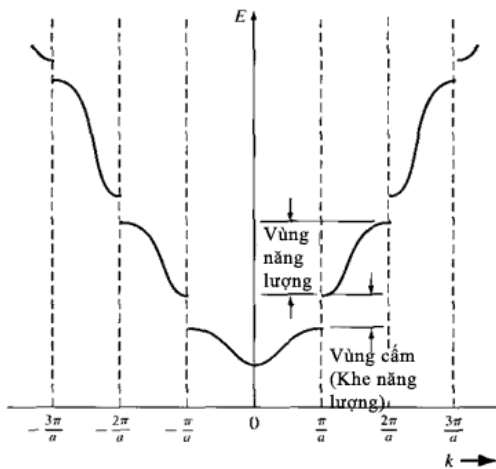
Trong đó
$$A_n = \frac{\hbar^2 n^2}{8ma^2} \left(1 - \frac{2}{P'} \right); \quad B_n = \frac{\hbar^2 n^2}{8ma^2} \frac{2}{P'},$$

thực ra nó có dạng:

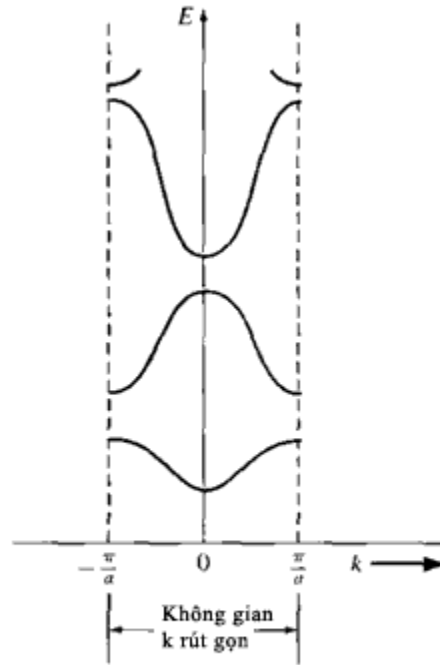


Hình 3.10 | Đồ thị của E theo k khi P' đủ lớn

Hình 3.9 biểu diễn khái niệm vùng năng lượng cho phép chuyển động trong mạng tinh thể. Bởi vì năng lượng E không liên tục, chúng ta cũng có khái niệm vùng năng lượng cấm cho phép chuyển động trong tinh thể.



Hình 3.9 | Biểu đồ E theo k được tạo ra từ hình 3.8. Vùng năng lượng và khe năng lượng được chỉ ra.



Hình 3.11 | Biểu đồ E theo k trong biểu diễn vùng rút gọn

Hình 3.11 biểu diễn biểu đồ E theo k nằm trong khoảng $-\pi/a < k < \pi/a$. Biểu đồ này cũng giống như không gian k rút gọn.

Chúng ta chú ý rằng trong phương trình (3.27) ψ là electron tự do, năng lượng cho phép và sóng k liên hệ với nhau qua hệ thức $\hbar v = \hbar k$. Như vậy nói sóng k là electron tự do và electron trong tinh thể cũng biểu diễn trong hình 3.9, tham số k trong tinh thể cũng giống như năng lượng mạng. Tham số này không thể thiếu là năng lượng cho phép electron trong tinh thể, nhưng là hằng số của năng lượng chuyển động liên quan tới tác dụng tinh thể.

Chúng ta sẽ xem xét mô hình Kronig-Penney, nó là hàm thử nghiệm hoàn mọt chi tiết dùng mô hình hóa mạng tinh thể. Kết quả chính của việc phân tích này là năng lượng electron trong tinh thể chỉ nằm trong vùng năng lượng cho phép và không nằm trong vùng năng lượng cấm. Vì vậy với lý luận tinh thể thể 3

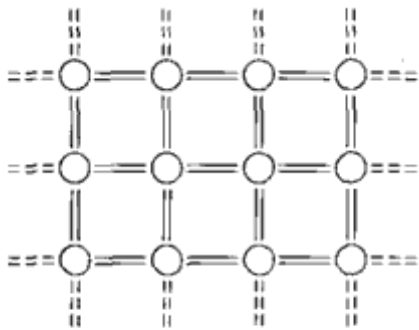
chỉ u, lí thuy t vùng n ng l ng c ng t ng t . Chúng ta s thu c thêm nh ng tính ch t c a electron t mô hình Kronig-Penney trong ph n ti p theo.

3.2|S D N I N TRONG V T R N

M t l n n a, chúng ta quan tâm n k t qu cu i cùng là xác nh c tính Vôn-Ampe c a thi t b bán đ n. Chúng ta c n xem xét s đ n i n trong ch t r n b i vì nó liên quan n lí thuy t vùng mà chúng ta v a xây đ ng. Hãy b t u b ng cách xem xét chuy n ng c a electron trong nh ng vùng n ng l ng khác nhau.

3.2.1 Vùng n ng l ng và mô hình liên k t

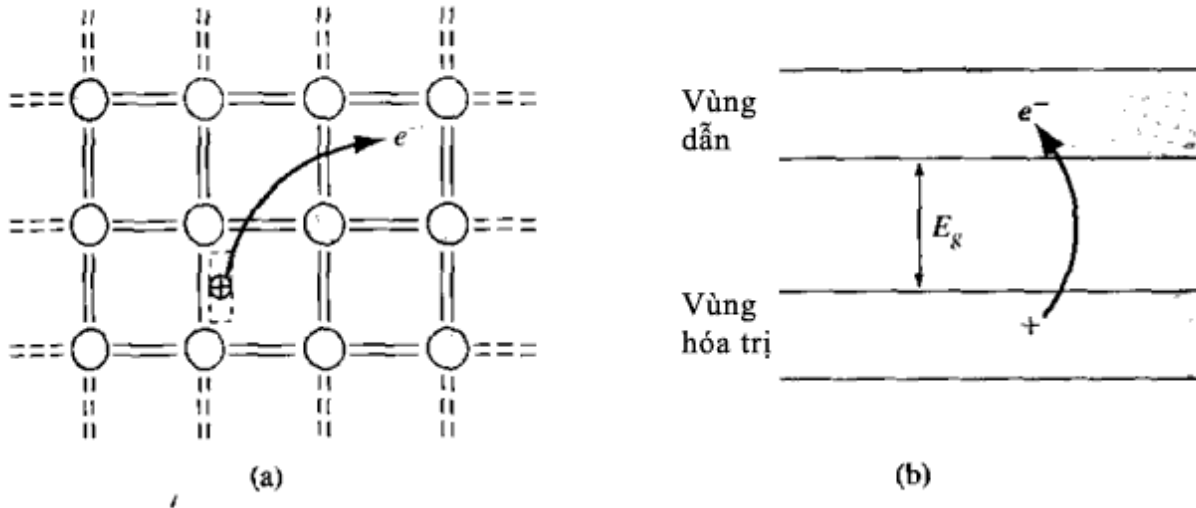
Trong ch ng m t, chúng ta ã th o lu n liên k t c ng hóa tr c a Silic. Hình 3.12 là bi u di n hai chi u c a liên k t c ng hóa tr trong m ng n tinh th Silic. Hình này bi u di n Silic t i $T=0 K$ trong ó m i nguyên t silic c bao quanh b i 8 electron hóa tr . Nh ng electron này ang tr ng thái n ng l ng th p nh t c a chúng và có liên quan tr c ti p n liên k t c ng hóa tr . Hình 3.4b bi u di n s tách nh ng tr ng thái n ng l ng r i r c thành nh ng vùng n ng l ng khi tinh th silic c hình thành. T i $T=0 K$, 4N tr ng thái vùng th p h n, vùng hóa tr c l p y nh ng electron hóa tr . T t c nh ng electron hóa tr c bi u di n trong hình 3.12 trong vùng hóa tr . Vùng n ng l ng cao h n, vùng đ n, hoàn toàn tr ng t i $T=0K$.



Hình 3.12 | Biểu diễn hai chiều của liên kết cộng hóa trị trong bán dẫn tại $T=0K$

Khi nhi t t ng trên $0K$, vài electron hóa tr có th thu nhi t n ng b gây liên k t c ng hóa tr và nh y lên vùng đ n. Hình 3.13a là bi u di n hai chi u

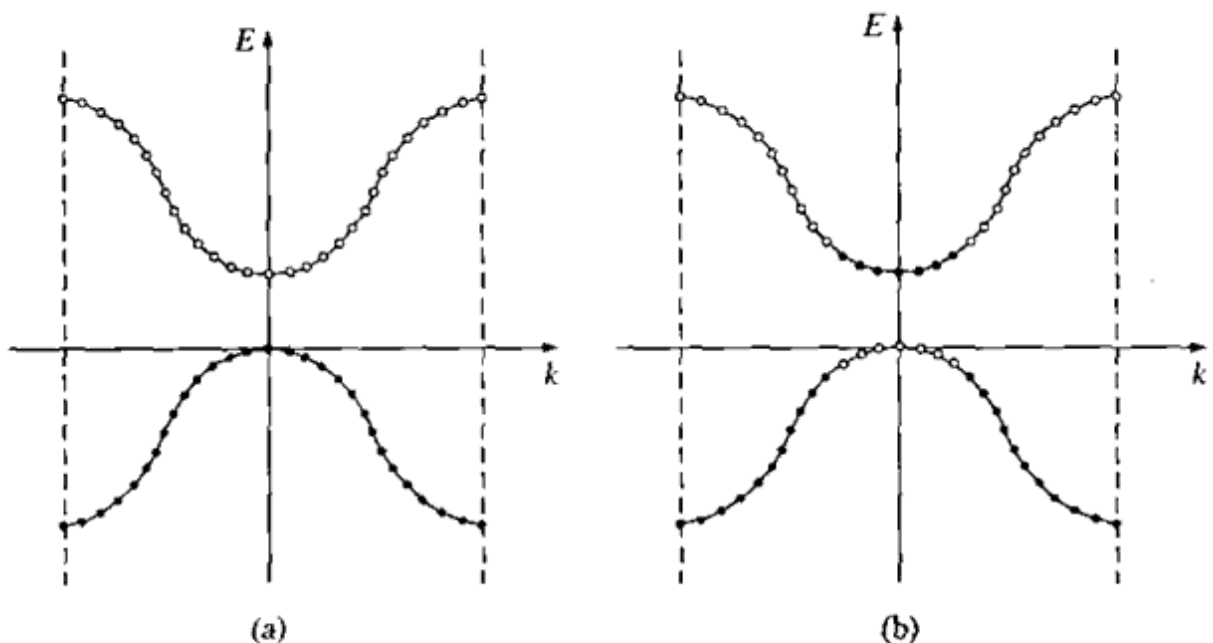
c a hi n t ãng b ã gãý liãn k t này và hình 3.13b là mô hình vùng năng lượng của nó.



Hình 3.13 | (a) Biểu diễn hai chiều của sự bẽ gãy liên kết hóa trị. (b) Biểu diễn vùng năng lượng tương ứng và sự tạo các hạt mang điện dương và âm do sự bẽ gãy liên kết hóa trị

Bán dẫn trung hòa i n. i u này có nghĩa là, khi electron mang i n âm b ã gãý liãn k t c ãng hóa tr c a nó, nh ãng tr ãng thái tr ãng mang i n d ãng c t o ra v trí liãn k t c ãng hóa tr ban u trong vùng hóa tr . Khi nhi t ãng t ãng, c ãng nhi u liãn k t c ãng hóa tr b ã gãý, c ãng nhi u electron nh y lên vùng d ãn, và c ãng nhi u tr ãng thái tr ãng mang i n d ãng c t o ra trong vùng hóa tr .

Chúng ta c ãng có th ã thi t l p m i quan h gi a s b ã gãý liãn k t này v i th E theo k . Hình 3.14a bi u di n ã th E theo k c a vùng d ãn và vùng hóa tr t i $T=0K$. Nh ãng tr ãng thái n ãng l ãng trong vùng hóa tr hoàn toàn y và nh ãng tr ãng thái trong vùng d ãn tr ãng. Hình 3.14b bi u di n nh ãng vùng này $T>0K$, ó nh ãng electron thu ãn ãng l ãng nh y lên vùng d ãn và l i nh ãng tr ãng thái tr ãng trong vùng hóa tr . Chúng ta ãng gi s ã r ãng lúc này ch a có ngo i l c t vào vì v y nh ãng electron và nh ãng tr ãng thái tr ãng phân b ã i x ãng theo k .



Hình 3.14 | Giản đồ E theo k của vùng dẫn và vùng hóa trị trong bán dẫn tại (a) $T = 0K$ (b) $T > 0K$

3.2.2 Dòng trôi điện

Dòng điện phụ thuộc vào lực đẩy điện trường và vận tốc trôi của các hạt tải điện. Nếu chúng ta có tập hợp các ion mang điện dương với mật độ là N (cm^{-3}) và vận tốc trôi điện trường trung bình là v_d (cm/s) thì mật độ dòng trôi điện trường là

$$J = qN v_d \quad \text{A/cm}^2 \quad (3.32)$$

Thay vì xét vận tốc trôi điện trường trung bình, chúng ta xét vận tốc của các hạt tải điện thì chúng ta có thể viết mật độ dòng trôi điện trường là

$$J = q \sum_{i=1}^N v_i \quad (3.33)$$

Đây là vận tốc trôi điện trường của các hạt tải điện. Trong này chúng ta cần chú ý rằng vận tốc trôi điện trường cho mật độ dòng J có đơn vị là A/cm^2 .

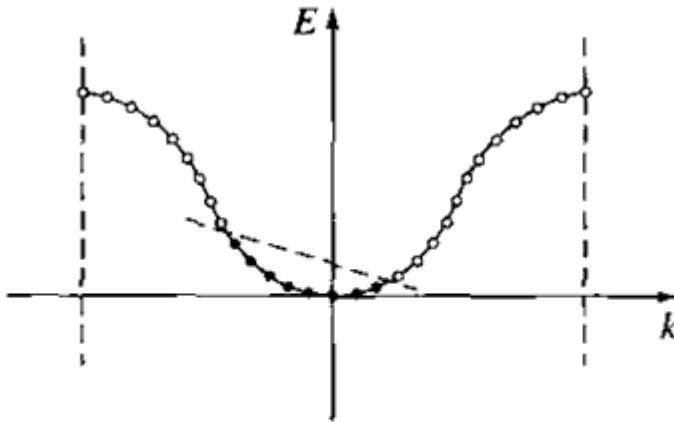
Bởi vì electron là hạt mang điện âm, vận tốc trôi điện trường của electron trong vùng dẫn sẽ ngược chiều với vận tốc trôi điện trường của các hạt tải điện dương. Như chúng ta thấy trong hình 3.14b, phân bố electron trong vùng dẫn là hàm chẵn theo k khi không có điện trường. Ngược lại

Trong trường hợp electron tự do, \$k\$ liên hệ với năng lượng sao cho có bao nhiêu electron với giá trị \$+|k|\$ cũng có bấy nhiêu electron có số sóng \$-|k|\$, mật độ trôi giết toàn phần do những electron này gây ra bằng 0. Kết quả này là tất nhiên bởi vì không có ngoi l c t vào.

Nếu lực tác động vào hạt và hạt di chuyển, nó sẽ thu năng lượng. Hiệu ứng này có biểu thức là

$$dE = F dx = F v dt \tag{3.34}$$

Ở đây \$F\$ là lực tác động, \$dx\$ là khoảng cách vi phân mà hạt chuyển động, \$v\$ là vận tốc, và \$dE\$ là số năng lượng. Nếu ngoi l c tác động vào electron trong vùng dẫn, có những trạng thái năng lượng trống mà những electron có thể di chuyển vào trong đó; do đó, dưới tác động của ngoi l c, electron có thể thu năng lượng và năng lượng. Sự phân bố electron trong vùng dẫn có thể trông giống như hình 3.15, nó có nghĩa là những electron sẽ thu năng lượng toàn phần.



Hình 3.15 Sự phân bố bất đối xứng của electron trong giản đồ E-k khi có lực ngoài đặt vào.

Chúng ta có thể viết mật độ trôi giết do chuyển động của những electron là

$$J = -e \sum_{i=1}^n v_i \tag{3.35}$$

Đây e là mật độ electron tích và n là số electron trên một đơn vị thể tích trong vùng dẫn. Mật độ dòng điện j trên một đơn vị thể tích vì thế mật độ dòng điện là A/cm^2 . Chúng ta có thể rút ra từ phương trình (3.35) rằng dòng điện liên hệ trực tiếp với vận tốc electron; nghĩa là, dòng điện phản ánh sự chuyển động của electron trong tinh thể thực tế nào.

3.2.3 Khối lượng hiệu dụng của electron

Nói chung, sự di chuyển của electron trong mạng tinh thể khác với trong không gian tự do. Cùng với ngoại lực tác động vào, có những lực trong tinh thể do những ion mang điện dương hoặc những proton và những electron mang điện âm, sự nhiễu loạn chuyển động của những electron trong mạng. Chúng ta có thể viết

$$F_{\text{toàn phần}} = F_{\text{ngoài}} + F_{\text{trong}} = ma \quad (3.36)$$

Đây $F_{\text{toàn phần}}$, $F_{\text{ngoài}}$ và F_{trong} tương ứng là lực toàn phần, ngoại lực, và những lực nội lực tác động lên một hạt trong tinh thể. a là gia tốc và m là khối lượng thực của hạt.

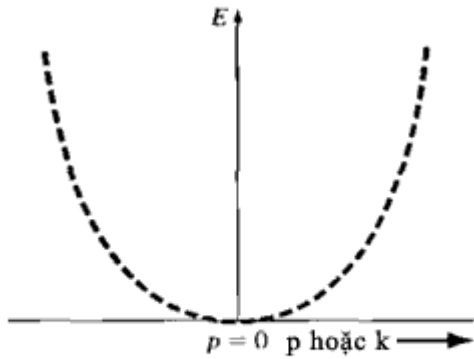
Bởi vì rất khó tính toán tất cả các lực nên chúng ta sẽ viết phương trình

$$F_{\text{ngoài}} = m^* a \quad (3.37)$$

Đây gia tốc a liên hệ trực tiếp với lực bên ngoài. Khối lượng m^* chính là khối lượng hiệu dụng trong đó có tính đến khối lượng thực và nhiễu loạn nội lực.

Hiểu khái niệm khối lượng hiệu dụng, hãy xét sự khác nhau trong chuyển động của một viên bi trong một bình chứa nước và trong bình chứa dầu. Nói chung, viên bi sẽ trôi qua nước với tốc độ nhanh hơn trôi qua dầu. Ngoại lực trong ví dụ này là trọng lực và nội lực có liên quan đến nhớt của chất lỏng. Bởi vì sự khác nhau trong chuyển động của viên bi trong hai trường hợp này nên khối lượng của viên bi sẽ biểu hiện khác nhau trong nước và trong dầu.

Chúng ta cũng có thể thiết lập mối quan hệ giữa khối lượng hiệu dụng của electron trong tinh thể với giá trị E theo cách cho trong hình 3.11. Trong vật lý bán dẫn, chúng ta sẽ gặp những vùng năng lượng như những electron và những vùng năng lượng khác như những electron.



Hình 3.7 | Giản đồ E theo k dạng parabol của electron tự do

bây giờ, hãy xét trường hợp của electron tự do mà giả sử E theo k của nó có biểu diễn trong hình 3.7.

Nhằm lập phương trình (3.28), năng lượng và năng lượng liên quan với nhau qua biểu thức $E = p^2/2m = \hbar^2 k^2/2m$, đây m là khối lượng của electron. Mối quan hệ giữa năng lượng và vectơ sóng k là $p = \hbar k$. Nếu lấy đạo hàm của phương trình (3.28) theo k chúng ta thu được

$$\frac{dE}{dk} = \frac{\hbar^2 k}{m} = \frac{\hbar p}{m} \quad (3.38)$$

Suy ra:

$$\frac{1}{\hbar} \frac{dE}{dk} = \frac{p}{m} = v \quad (3.39)$$

Đây là vận tốc của hạt. Đạo hàm bậc nhất của E theo k có liên quan đến vận tốc của hạt.

Bây giờ nếu chúng ta lấy đạo hàm bậc hai của E theo k , chúng ta có

$$\frac{d^2 E}{dk^2} = \frac{\hbar^2}{m} \quad (3.40)$$

Chúng ta có thể viết lại phương trình (3.40) là

$$\frac{1}{\hbar^2} \frac{d^2 E}{dk^2} = \frac{1}{m} \quad (3.41)$$

Đạo hàm bậc hai của E theo k là nghịch đảo của khối lượng của hạt. Điều này trong trường hợp electron tự do, khối lượng là hằng số (hiểu rằng không tương đối), vì vậy đạo hàm bậc hai là hằng số. Chúng ta cũng có thể rút ra từ hình 3.7 rằng $d^2 E/dk^2$ là độ cong của đường, nghĩa là khối lượng của electron cũng là độ cong.

Nếu chúng ta áp dụng nguyên lý vào trường hợp electron tự do và dùng phương trình chuyển động cổ điển Newton, chúng ta có thể viết

$$F=ma=-eE \tag{3.42}$$

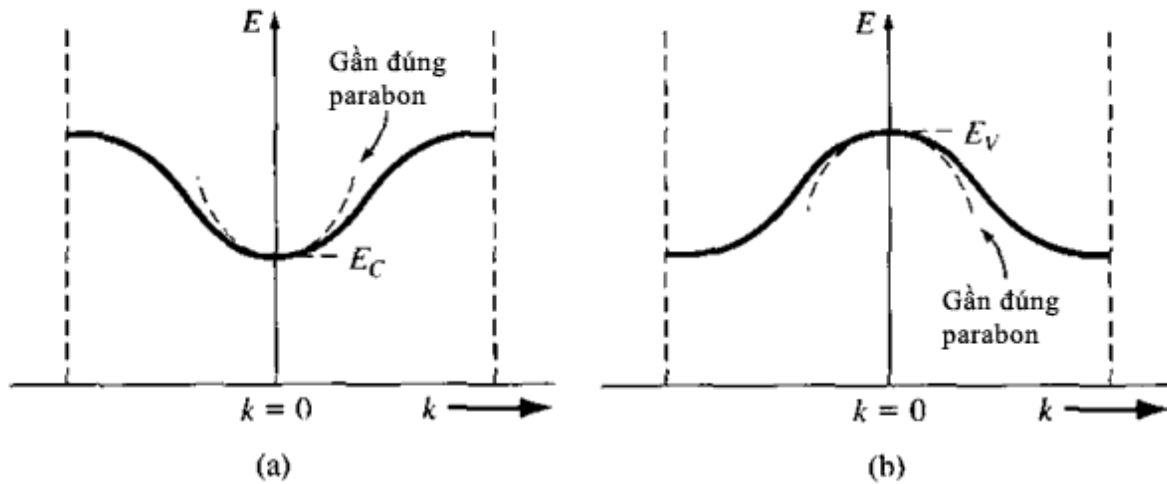
Ây a là gia tốc, E là điện trường tác dụng, và e là điện tích của electron.
 Chúng ta suy ra gia tốc là

$$a = -eE/m \tag{3.43}$$

Chuyển động của electron trong trường điện trường tác dụng bởi electron là chuyển động tích âm.

Chúng ta có thể áp dụng những kết quả này cho electron ở vùng năng lượng. Xét vùng năng lượng trong hình 3.16a. Năng lượng gần đây vùng có thể xem gần đúng là parabol, giống như của electron tự do. Chúng ta có thể viết

$$E - E_c = C_1(k)^2 \tag{3.44}$$



Hình 3.16 (a) Vùng dẫn trong không gian k rút gọn, và gần đúng parabol.
 (b) Vùng hóa trị trong không gian k rút gọn, và gần đúng parabol

E_c là năng lượng tại đáy vùng. Bởi vì $E > E_c$, tham số C_1 là hằng số dương.

Lấy đạo hàm bậc 2 của E theo k từ phương trình (3.44), chúng ta thu được

$$\frac{d^2E}{dk^2} = 2C_1 \tag{3.45}$$

Chúng ta có thể viết phương trình (3.45) dưới dạng

$$\frac{1}{\hbar^2} \frac{d^2 E}{dk^2} = \frac{2C_1}{\hbar^2} \quad (3.46)$$

So sánh phương trình (3.46) với phương trình (3.41) chúng ta có thể xem $\hbar^2/2C_1$ như khối lượng hiệu dụng. Tuy nhiên, công suất công trong hình 3.16a không giống công suất công hiệu dụng do. Chúng ta có thể viết

$$\frac{1}{\hbar^2} \frac{d^2 E}{dk^2} = \frac{2C_1}{\hbar^2} = \frac{1}{m^*} \quad (3.47)$$

ở đây m^* chính là khối lượng hiệu dụng. Bởi vì $C_1 > 0$, chúng ta cũng có $m^* > 0$.

Khối lượng hiệu dụng là một thông số thiết yếu để mô tả mối quan hệ giữa năng lượng và vận tốc của các hạt tải điện trong các vật liệu bán dẫn. Trong các trường hợp, electron ở các vùng dẫn có thể xem như các hạt tự do mà chuyển động của nó có thể mô hình hóa theo các định luật Newton, miễn là năng lượng và vận tốc tính toán trong khối lượng hiệu dụng. Nếu chúng ta đặt một trường điện vào electron ở vùng năng lượng thì chúng ta có thể viết gia tốc là

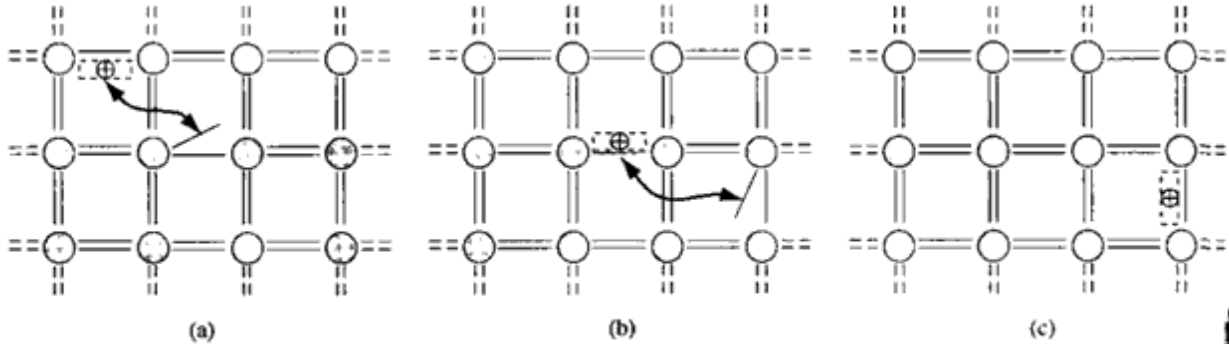
$$a = \frac{-eE}{m_n^*} \quad (3.48)$$

ở đây m_n^* là khối lượng hiệu dụng của electron. Khối lượng hiệu dụng m_n^* của electron trong vùng dẫn là hằng số.

3.2.4 Khái niệm liên kết

Trong khi xem xét biểu đồ năng lượng của liên kết hóa trị trong hình 3.13a, nhận thấy "trạng thái liên kết" mang tính đặc trưng khi một electron hóa trị bị kích thích và rơi vào trong vùng dẫn. Khi $T > 0K$, tất cả các electron hóa trị có thể thu nhận năng lượng; nếu nhận được electron hóa trị thu nhận năng lượng, nó có thể rơi vào trạng thái liên kết. Sự di chuyển của một electron hóa trị vào trạng thái liên kết tương đương với sự di chuyển của chính trạng thái liên kết mang tính đặc trưng. Hình 3.17 biểu diễn sự chuyển động của năng lượng electron hóa trị trong tinh thể liên kết làm giảm một trạng thái liên kết và tạo ra trạng thái liên kết mới, sự chuyển động này tương đương với chuyển động của hạt mang tính đặc trưng trong vùng hóa trị. Bởi vì tinh thể có thêm hạt dẫn nên hai có thể làm phát sinh dòng điện.

H t t i i n này c g i là l tr ng và nh chúng ta s th y, nó c ng có th c xem là h t c i n mà chuy n ng c a nó có th c mô hình hóa s d ng c h c Newton.



Hình 3.17 Hình dung chuyển động của lỗ trống trong bán dẫn

M t dòng tr i gi t do các electron trong vùng hóa tr trong hình 3.14b có th c vi t là

$$J = -e \sum_{i(\text{filled})} v_i \quad (3.49)$$

ây t ng c l y trên nh ng tr ng thái b electron n chi m (filled). Vi c tính toán t ng này không thu n l i b i vì nó tr i r ng trên vùng hóa tr g n y và có tính n m t s l ng l n các tr ng thái. Chúng ta có th vi t l i ph ng trình (3.49) d i d ng

$$J = -e \sum_{i(\text{đầy hoàn toàn})} v_i + e \sum_{i(\text{trống})} v_i \quad (3.50)$$

N u chúng ta xét vùng y hoàn toàn, t t c nh ng tr ng thái b chi m b i nh ng electron. T ng electron có th c xem nh chuy n ng v i v n t c c cho b i ph ng trình

$$v(E) = \left(\frac{1}{\hbar} \right) \left(\frac{dE}{dk} \right) \quad (3.39)$$

Vùng i x ng theo k và m i tr ng thái b chi m sao cho v i m i electron có v n t c || s có nh ng electron t ng ng v i v n t c -|. B i vì vùng y, s phân

b electron theo k không thay đổi khi có ngoi l c t vào. Do đó, m t dòng trôi gi t toàn ph n trong nh ng vùng y hoàn toàn b ng 0 ho c

$$-e \sum_{i \text{ (đầy hoàn toàn)}} v_i \equiv 0 \quad (3.51)$$

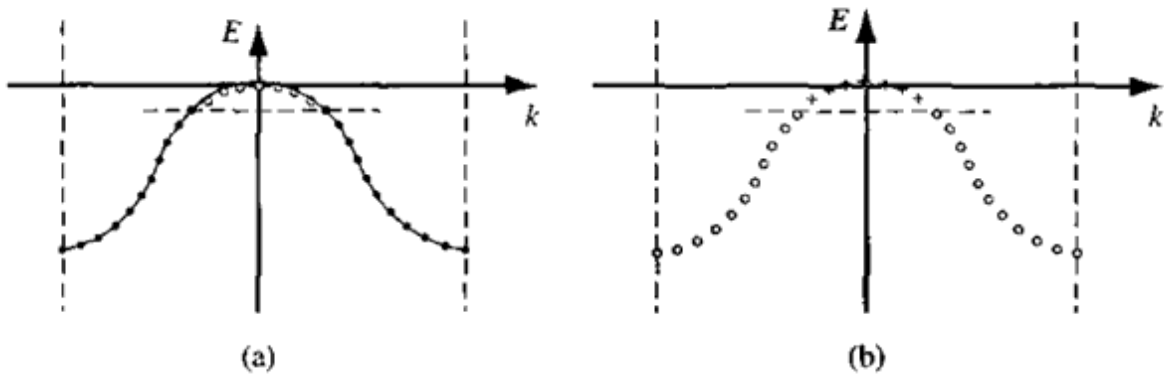
Bây gi chúng ta có th vi t m t dòng trôi d t t ph ng trình (3.50) cho vùng g n y là

$$J = +e \sum_{i \text{ (trống)}} v_i \quad (3.52)$$

ây v_i trong t ng là

$$v(E) = \left(\frac{1}{\hbar} \right) \left(\frac{dE}{dk} \right)$$

g n v i tr ng thái tr ng. Ph ng trình (3.52) hoàn toàn t ng ng v i vi c thay th m t h t mang i n d ng trong nh ng tr ng thái tr ng và gi s r ng t t c nh ng tr ng thái khác trong vùng tr ng, ho c trung hòa i n. Khái ni m này c bi u di n trong hình 3.18. Hình 3.18 a bi u di n vùng hóa tr v i nh ng tr ng thái c l p y b i nh ng electron bình th ng, trong khi hình 3.28b bi u di n khái ni m m i v nh ng i n tích d ng chỉ m nh ng tr ng thái tr ng ban u. Khái ni m này có liên quan n ph n kh o sát c a chúng ta v “nh ng tr ng thái tr ng” mang i n d ng trong vùng hóa tr c bi u di n trong hình 3.17.



Hình 3.18 | (a) Vùng hóa trị bình thường với các trạng thái năng lượng bị chiếm bởi electron. (b) Khái niệm về lỗ trống chiếm những trạng thái ban đầu trống

Trong trường hợp của phương trình (3.52) liên quan đến chuyển động của electron trong bán dẫn như thế nào. Bây giờ xét một electron trong vùng hóa trị năng lượng thấp xem gần đúng là parabol vì thế chúng ta có thể viết

$$(E - E_0) = -C_2(k)^2 \quad (3.53)$$

E_0 là năng lượng tối thiểu vùng. Bởi vì $E < E_0$ thì vị trí electron trong vùng này, do đó tham số C_2 phải là giá trị âm.

Lấy đạo hàm bậc II của E theo k từ phương trình (3.53), chúng ta thu được

$$\frac{d^2 E}{dk^2} = -2C_2 \quad (3.54)$$

Chúng ta có thể so sánh phương trình này sao cho

$$\frac{1}{\hbar^2} \frac{d^2 E}{dk^2} = \frac{-2C_2}{\hbar^2} \quad (3.55)$$

So sánh phương trình (3.55) với phương trình (3.41), chúng ta có thể viết

$$\frac{1}{\hbar^2} \frac{d^2 E}{dk^2} = \frac{-2C_2}{\hbar^2} = \frac{1}{m^*} \quad (3.56)$$

Đây m^* là khối lượng hiệu dụng. Chúng ta sẽ thấy rằng C_2 là giá trị âm, do đó suy ra m^* phải là giá trị âm. Vì electron trong vùng hành động như thế nó có khối lượng âm.

Chúng ta phải nhớ rằng tham số khối lượng hiệu dụng cũng chỉ là một tham số liên quan hệ giữa các hằng số và các hằng số. Nó chỉ là một tham số liên quan hệ giữa hai lý thuyết này để mô tả một quá trình khác là khối lượng hiệu dụng âm. Tuy nhiên, chúng ta cũng cần nhớ rằng nghiệm của phương trình sóng Schrodinger cũng dẫn đến những kết quả mâu thuẫn với các hằng số. Khối lượng hiệu dụng âm là một ví dụ như thế.

Trong khi thảo luận về khối lượng hiệu dụng trong phần trước, chúng ta dùng sự tương tự vì viên bi chuyển động trong hai chiều. Bây giờ xét một khối lượng âm thì tâm của bình chuyển động: khối lượng âm sẽ di chuyển lên phía trên bình theo hướng ngược với trọng lực. Khối lượng âm có khối lượng hiệu dụng âm bởi vì gia tốc của nó ngược chiều với trọng lực. Tham số khối lượng hiệu dụng có tính chất như những tác động lên hạt.

Nếu chúng ta lại xét electron gần như của vùng năng lượng và dùng phương trình của Newton tính lực thì tác động, chúng ta sẽ có

$$\mathbf{F} = m^* \mathbf{a} = -e\mathbf{E} \quad (3.57)$$

Tuy nhiên, m^* bây giờ là khối lượng âm, vì vậy chúng ta có thể viết

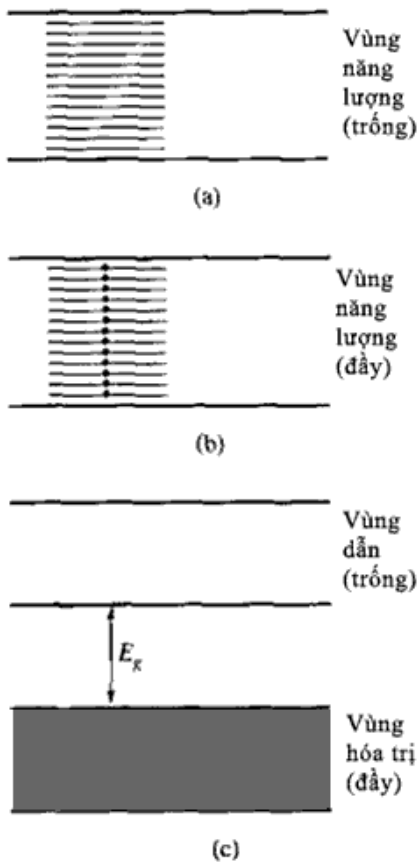
$$\mathbf{a} = \frac{-e\mathbf{E}}{-|m^*|} = \frac{+e\mathbf{E}}{|m^*|} \quad (3.58)$$

Một electron di chuyển gần như vùng năng lượng sẽ chuyển động cùng hướng với trọng lực đi vào.

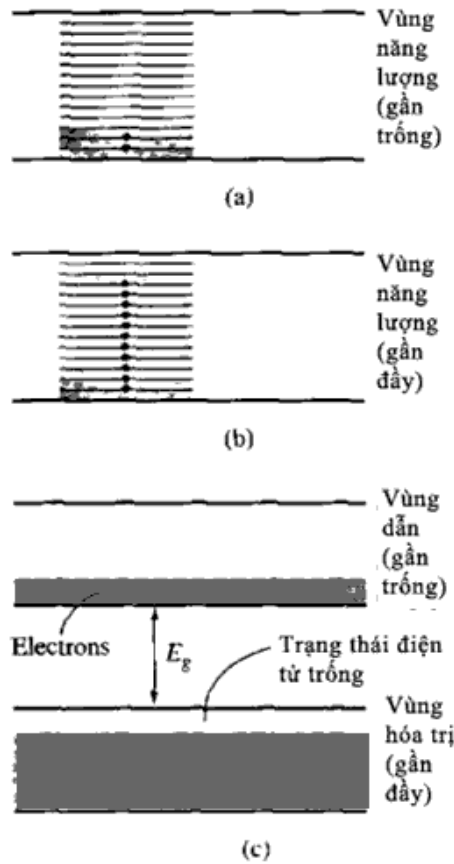
Chuyển động toàn phần của electron trong vùng gần đây có thể mô tả bằng cách chỉ xem xét những trạng thái trống, và chúng ta xem là có một hạt mang điện dương và một khối lượng ngược dấu với m^* trong phương trình (3.56) gần với mức trống nhất. Bây giờ chúng ta có thể mô hình hóa vùng này như thể nó có những hạt mang điện dương và khối lượng hiệu dụng dương. Một cách như thế này trong vùng hóa trị bằng một cách như những trạng thái năng lượng trống. Những hạt mang điện này gọi là lỗ trống. Do đó, lỗ trống có khối lượng hiệu dụng dương vì ký hiệu là m_p^* và mang điện dương, vì vậy nó sẽ di chuyển cùng hướng với trọng lực đi vào.

3.2.5 Kim loại, chất cách điện và bán dẫn

M i tinh th c c u trúc vùng n ng l ng riêng c a nó. Chúng ta chú ý r ng s tách nh ng tr ng thái n ng l ng trong silic hình thành nên vùng d n và vùng hóa tr r t ph c t p. Các v t li u khác nhau có c u trúc vùng n ng l ng khác nhau d n n tính ch t i n c a chúng khác nhau. Chúng ta có th b t u hi u nh tính m t vài s khác nhau c b n trong tính ch t i n c a các v t li u khác nhau do s khác nhau trong c u trúc vùng n ng l ng c a nó b ng cách xét vài vùng n ng l ng c n gi n hóa.



Hình 3.19 | Vùng năng lượng (a) trống (b) đầy hoàn toàn (c) khe năng lượng giữa hai vùng



Hình 3.20 | Vùng năng lượng (a) gần trống, (b) gần đầy, và (c) khe năng lượng giữa hai vùng

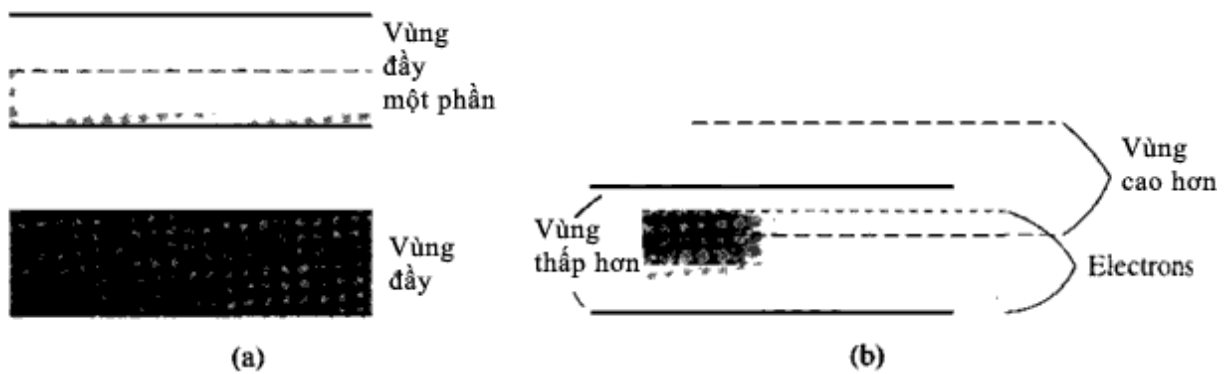
Có m t s d ng vùng n ng l ng c n xét. Hình 3.19a bi u di n vùng n ng l ng hoàn toàn tr ng electron. N u tr ng i n c t vào, không có h t di chuy n, vì v y s không có dòng i n.

Hình 3.19b bi u di n m t vùng n ng l ng khác mà nh ng tr ng thái n ng l ng c a nó hoàn toàn y electron. Chúng ta ã rút ra trong ph n tr c r ng vùng n ng l ng hoàn toàn y c ng s không làm phát sinh dòng i n. M t v t li u có vùng n ng l ng y hoàn toàn ho c tr ng hoàn toàn là ch t cách i n. i n tr c a ch t

cách dẫn điện hay nói cách khác dẫn điện của chất cách điện. Vì carbon là không có nhúng hạt mang điện có thể đóng góp vào tạo nên dòng trôi. Hình 3.19c biểu diễn gần đúng năng lượng của cách điện. Năng lượng vùng cấm E_g của chất cách điện thường vào cỡ 3.5 đến 6 eV hoặc lớn hơn, vì vậy nhiệt độ phòng không có electron trong vùng dẫn và vùng hóa trị còn hoàn toàn rỗng. Có rất ít nhúng electron và lỗ trống tạo ra do nhiệt trong chất cách điện.

Hình 3.20a biểu diễn vùng năng lượng với vài electron nhúng vùng. Bởi vì, nhúng điện tử nhúng vào, nhúng electron có thể thu năng lượng, di chuyển trạng thái năng lượng cao hơn, và di chuyển trong tinh thể. Dòng điện tích toàn phần là dòng điện. Hình 3.20b biểu diễn vùng năng lượng gần đầy electron, nó có nghĩa là chúng ta có thể xem xét nhúng lỗ trống trong vùng này. Nhúng nhúng điện tử nhúng vào, lỗ trống có thể di chuyển và tạo ra dòng điện. Hình 3.20c biểu diễn gần đúng vùng năng lượng của cách điện cho trường hợp này. Năng lượng vùng cấm có thể vào cỡ 1 eV. Gần vùng năng lượng này biểu diễn bán dẫn $T > 0K$. Điện tử của bán dẫn, nhúng chúng ta sẽ thay trong phần tiếp theo có thể chuyển khi nhúng và thay đổi nhúng.

Tính chất của kim loại là dẫn điện. Gần vùng năng lượng của kim loại có thể có một trong hai dạng. Hình 3.21a biểu diễn vùng năng lượng gần đầy một phần trong đó có số nhúng electron dẫn vì thế kim loại có dẫn điện. Hình 3.21b biểu diễn một dạng khác của gần vùng năng lượng của kim loại. Sẽ tách vùng thành vùng năng lượng và vùng cấm làm một hình thức phân biệt và hình 3.21b biểu diễn trường hợp trong đó vùng dẫn và vùng hóa trị xen kẽ nhau thì khoảng cách cân bằng liên nguyên tử. Như trong trường hợp biểu diễn trong hình 3.21a, có một số lượng nhúng electron của nhúng một số lượng các trạng thái năng lượng trống mà electron có thể di chuyển vào trong đó, vì vậy vật liệu này thể hiện tính dẫn điện cao.

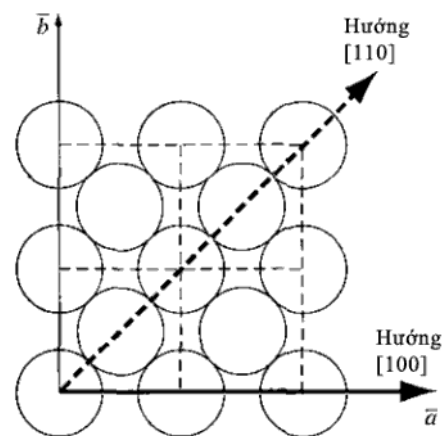


Hình 3.21 Hai loại giản đồ vùng năng lượng của kim loại (a) loại vùng đầy một phần và (b) Các vùng năng lượng xen phủ nhau

3.3| M R NG CHO TR NG H P BA CHI U

Khái niệm cơ bản về vùng năng lượng và vùng cấm cùng với khái niệm vùng năng lượng đã được xây dựng trong phần trước. Trong phần này, chúng ta sẽ mô tả về khái niệm này cho trường hợp ba chiều và tính chất của chúng. Chúng ta sẽ xem xét tính chất nào đó của tính chất ba chiều theo định luật $E-k$, khe năng lượng và khái niệm vùng năng lượng. Chúng ta sẽ khảo sát một cách ngắn gọn về khái niệm ba chiều cơ bản; do đó, nếu chi tiết sẽ không được đề cập.

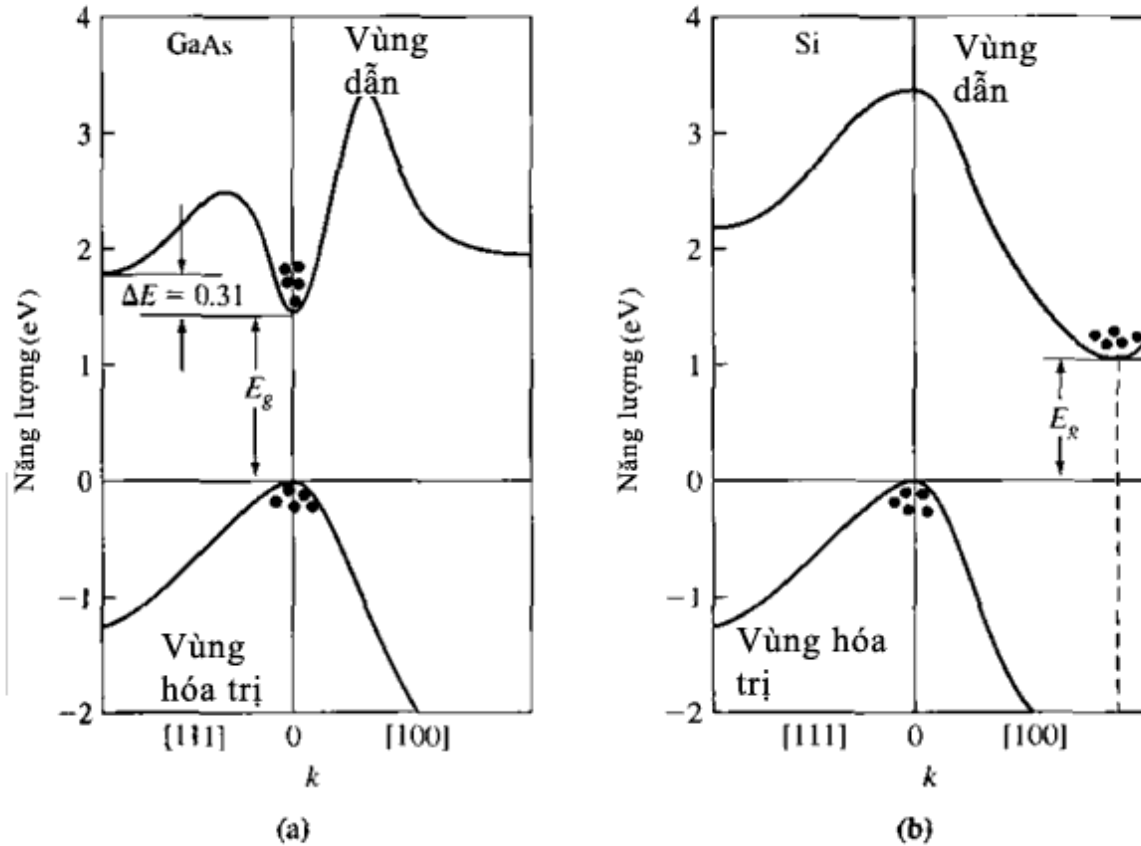
Một khó khăn gặp phải trong việc mô tả hàm sóng trong trường hợp ba chiều là khó khăn gì ảnh hưởng nguyên tử thay đổi khi hình dạng trong tính chất thay đổi. Hình 3.22 biểu diễn cấu trúc lập phương tâm mặt với hướng $[100]$ và hướng $[110]$ được chỉ ra. Như electron di chuyển theo hướng khác nhau sẽ gặp những dạng khác nhau và do đó những biên không gian khác nhau. Định luật E theo k nói chung là hàm theo hướng không gian k trong tính chất.



Hình 3.22 Mặt phẳng (100) của tinh thể lập phương tâm mặt biểu diễn hướng $[100]$ và hướng $[110]$

3.3.1 Giới thiệu không gian k của Si và GaAs

Hình 3.23 biểu diễn năng lượng E theo k của GaAs và Si. Như bạn đã biết, cấu trúc vùng năng lượng này biểu diễn những tính chất cơ bản đã được xét trong tài liệu này nhưng không biểu diễn những chi tiết thích hợp cho những khóa học nâng cao.



Hình 3.23 | Cấu trúc vùng năng lượng của (a) GaAs và (b) Si

Chú ý rằng thay cho những trục k đường và âm thông thường, bây giờ chúng ta biểu diễn hai hướng tinh thể khác nhau. Giá trị E theo k của mô hình một chiều chỉ phụ thuộc vào k vì thế không thu được thêm thông tin mới nào từ biểu diễn những trục âm. Trong thực tế thì ngược lại, năng lượng của hướng $[100]$ phía trục $+k$ và giá trị năng lượng của hướng $[111]$ phía trục $-k$. Trong trường hợp của những kim cương và ZnS, các trục của vùng hóa trị và các trục của vùng dẫn cùng xuất hiện tại $k=0$ hoặc đi theo một trục trong hai hướng này.

Hình 3.23a biểu diễn năng lượng E theo k của GaAs. Các trục của vùng hóa trị và các trục vùng dẫn cùng xuất hiện tại $k=0$. Những electron trong vùng dẫn có

khuynh hướng nh c t i áy vùng d n có $k=0$. T ãng t , nh ng l ã tr ng trong vùng hóa tr có khuynh hướng nh c t i nh vùng hóa tr t i cùng giá tr k. Trong GaAs, c c ti u n ng l ãng vùng d n và c c i n ng l ãng vùng hóa tr xu t hi n t i cùng giá tr c a k. M t bán d n v i tính ch t c nói trên g i là bán d n khe n ng l ãng tr c ti p; s chuy n d ch gi a hai vùng n ng l ãng c th c hi n mà không có s bi n i trong ãng l ãng c a tinh th . B n ch t tr c ti p này có nh hướng áng k n tính ch t quang h c c a v t li u. GaAs và nh ng v t li u khe n ng l ãng tr c ti p khác thích h p ãùng trong laser bán d n và các thi t b quang h c.

Gi n E theo k c a Si c bi u di n trong hình 3.23b. C c i n ng l ãng vùng hóa tr xu t hi n t i $k=0$ nh tr c. C c ti u n ng l ãng vùng d n không xu t hi n t i $k=0$, mà d c theo hướng [100]. S khác nhau gi a c c ti u n ng l ãng vùng d n và c c i n ng l ãng vùng hóa tr v n c nh ngh a là n ng l ãng vùng c m E_g . Bán d n mà c c i n ng l ãng vùng hóa tr c a nó và c c ti u n ng l ãng vùng d n không xu t hi n t i cùng giá tr k c g i là bán d n khe n ng l ãng gián ti p. Khi nh ng electron th c hi n chuy n d i gi a vùng d n và vùng hóa tr , chúng ph i tuân theo nh lu t b o toàn ãng l ãng. S chuy n d ch trong v t li u khe n ng l ãng gián ti p c n thi t ph i bao g m m t s t ãng tác v i tinh th cho ãng l ãng tinh th b o toàn.

Ge c ãng là v t li u bán d n khe n ng l ãng gián ti p, c c i vùng hóa tr c a nó xu t hi n t i $k=0$ và c c ti u vùng d n c a nó xu t hi n d c theo hướng [111]. GaAs là bán d n khe n ng l ãng tr c ti p, nh ng nh ng bán d n h p ch t khác ch ãng h n nh GaP và AlAs có khe vùng gián ti p.

3.3.2 Nói thêm v khái ni m kh i l ãng hi u d ãng

cong c a th E theo k g n c c ti u vùng d n có liên quan n kh i l ãng hi u d ãng c a electron. Chúng ta có th rút ra t hình 3.23 r ãng cong c a vùng d n t i giá tr c c ti u c a nó trong GaAs l ãnh n trong Si, vì v y kh i l ãng hi u d ãng c a electron trong vùng d n c a GaAs s ãnh h n trong Si.

i v i th E theo k m t chi u, kh i l ãng hi u d ãng c ãnh ngh a trong ph ãng trình (3.41) là $1/m^* = 1/\hbar^2 \cdot d^2E/dk^2$. Khái ni m kh i l ãng hi u d ãng s ph c t p trong tinh th th c. Tinh th ba chi u có 3 vecto k . cong c a th E theo k t i c c ti u vùng d n s khác nhau theo ba hướng c a k . Chúng ta s

không xem xét chi tiết những khía cạnh khác nhau này. Trong những phần sau và những chương sau, những khía cạnh này sẽ được dùng trong tính toán số thu được ở trung bình thì sẽ thích hợp cho các những tính toán thí nghiệm.

3.4| HÀM MẬT TRẠNG THÁI

Như chúng ta đã phát biểu, cuối cùng chúng ta muốn mô tả các tuyến Vôn-Ampe của thí nghiệm bán dẫn. Bởi vì dòng điện phụ thuộc vào dòng chuyển động tích, vì thế mật độ các quan trọng trong quá trình này là phải xác định số electron và lỗ trống trong bán dẫn có thể tham gia dẫn điện. Sự tồn tại của chúng góp vào quá trình tải điện là một hàm số theo sự trạng thái năng lượng bị vì, theo nguyên lý loại trừ Pauli, mỗi electron chỉ có thể chiếm một trạng thái năng lượng. Khi chúng ta tháo luận và sắp xếp các mức năng lượng thành vùng năng lượng và vùng cấm, chúng ta đã chia ra vùng năng lượng cho các trạng thái mức năng lượng rời rạc. Chúng ta phải xác định những trạng thái năng lượng này như hàm số theo năng lượng tính mật độ electron và lỗ trống.

3.4.1 Suy luận toán học

xác định mật độ trạng thái năng lượng như hàm theo năng lượng, chúng ta cần xét một mô hình toán học thích hợp. Những electron các phép di chuyển tự do trong vùng dẫn của bán dẫn, những bị giam hãm trong tinh thể. Trước tiên, chúng ta sẽ xét electron tự do bị giam cầm trong giếng thế vô hạn ba chiều, đây giếng thế bị uốn đi trong tinh thể. Thế năng của giếng thế này có thể viết như sau:

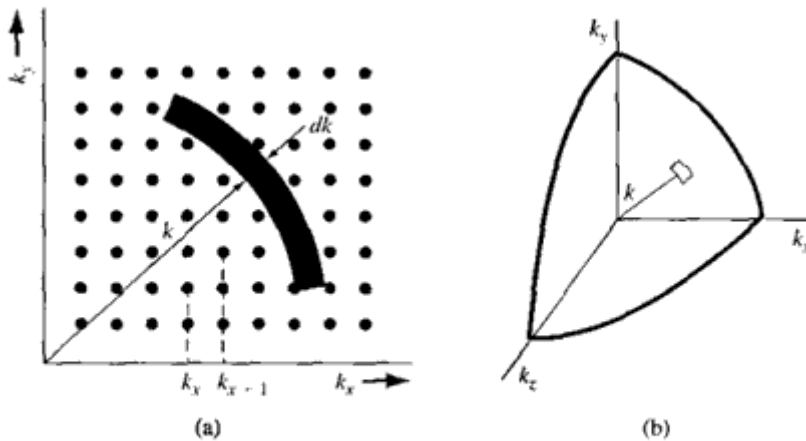
$$\begin{aligned}
 & \text{khi } 0 < x < a \\
 V(x, y, z) &= 0 & 0 < y < a \\
 & & 0 < z < a \\
 V(x, y, z) &= \infty & \text{cho các trường hợp còn lại}
 \end{aligned}
 \tag{3.59}$$

Đây tinh thể các giếng là hình lập phương cân xứng. Phương trình sóng Schrodinger ba chiều có thể viết dưới dạng phương pháp tách biến. Nếu suy xét qua giếng thế vô hạn một chiều, chúng ta có thể chứng minh (xem bài tập 3.21)

$$\frac{2mE}{\hbar^2} = k^2 = k_x^2 + k_y^2 + k_z^2 = (n_x^2 + n_y^2 + n_z^2) \left(\frac{\pi^2}{a^2} \right) \quad (3.60)$$

ây n_x, n_y, n_z là nh ng s nguyên d ng. (Nh ng giá tr âm c a n_x, n_y, n_z mang l i cùng hàm sóng (ng c d u) nh nh ng giá tr nguyên d ng, d n n cùng n ng l ng và hàm xác su t, vì v y nh ng s nguyên âm không bi u di n thêm các tr ng thái l ng t khác.)

Chúng ta có th v th nh ng tr ng thái l ng t trong không gian k . Hình 3.24a bi u di n th hai chi u nh hàm theo k_x và k_y . M i i m bi u di n m t tr ng thái l ng t t ng ng v i nh ng giá tr nguyên khác nhau c a n_x và n_y khác nhau. Nh ng giá tr âm và d ng c a k_x, k_y, k_z có cùng n ng l ng và bi u di n cùng tr ng thái n ng l ng. B i vì nh ng giá tr âm c a k_x, k_y, k_z không bi u di n



Hình 3.24 (a) Mạng hai chiều của những trạng thái lượng tử trong không gian k . (b) Một phần tám hình cầu không gian k dương

thêm nh ng tr ng thái l ng t , nên m t tr ng thái l ng t s c xét ch trong m t ph n tám hình c u c a không gian k nh c bi u di n trong hình 3.24b.

Kho ng cách gi a hai tr ng thái l ng t theo h ng k_x là

$$k_{x+1} - k_x = (n_x + 1) \frac{\pi}{a} - n_x \frac{\pi}{a} = \frac{\pi}{a} \quad (3.61)$$

Tổng quát hóa kết quả này cho trường hợp ba chiều, thể tích V_k của một trạng thái lượng tử là

$$V_k = \left(\frac{4\pi}{3}\right) \left(\frac{\pi a}{2}\right)^3 \quad (3.62)$$

Bây giờ chúng ta có thể xác định mật độ trạng thái lượng tử trong không gian k . Thể tích vi phân trong không gian k của biểu diễn trong hình 3.24b và bằng $4\pi k^2 dk$, vì vậy mật độ trạng thái lượng tử trong không gian k có thể viết là

$$g_T(k)dk = 2 \left(\frac{1}{8}\right) \frac{4\pi k^2 dk}{\left(\frac{\pi}{a}\right)^3} \quad (3.63)$$

Hệ số 2 ưu tiên tính hai trạng thái spin cho phép cho mỗi trạng thái lượng tử; hệ số $1/8$ tính đến trường hợp chúng ta xem xét những trạng thái lượng tử của những giá trị riêng k_x, k_y, k_z . Thành phần $4\pi k^2 dk$ mặt bên của là thể tích vi phân và thành phần $\left(\frac{\pi}{a}\right)^3$ là thể tích của một trạng thái lượng tử. Phương trình (3.63) có thể đơn giản hóa thành

$$g_T(k)dk = \frac{\pi k^2 dk}{\pi^3} a^3 \quad (3.64)$$

Phương trình (3.64) biểu diễn hàm mật độ trạng thái theo năng lượng, qua tham số k . Bây giờ chúng ta có thể xác định mật độ trạng thái lượng tử như một hàm của năng lượng. Vì vì electron tự do, E và k liên hệ nhau qua hệ thức

$$k^2 = \frac{2mE}{\hbar^2} \quad (3.65a)$$

hoặc

$$k = \frac{1}{\hbar} \sqrt{2mE} \quad (3.65b)$$

Lấy vi phân dk

$$dk = \frac{1}{\hbar} \sqrt{\frac{m}{2E}} dE \quad (3.66)$$

Sau đó, thay nhúng biến k vào trong phương trình (3.64), số trạng thái trong khoảng năng lượng E và $E+dE$ là

$$g_T(E)dE = \frac{\pi a^3}{\pi^3} \left(\frac{2mE}{\hbar^2} \right) \cdot \frac{1}{\hbar} \sqrt{\frac{m}{2E}} dE \quad (3.67)$$

Bởi vì $\hbar = h/2\pi$, phương trình (3.67) có thể viết là

$$g_T(E)dE = \frac{4\pi a^3}{h^3} \cdot (2m)^{3/2} \cdot \sqrt{E} dE \quad (3.68)$$

Phương trình (3.68) cho biết tổng số trạng thái trong thể tích không gian tính a^3 . Nếu chúng ta chia cho thể tích a^3 thì chúng ta sẽ thu được mật độ trạng thái trên một đơn vị thể tích a tính là. Do đó, phương trình (3.68) trở thành

$$g_T(E) = \frac{4\pi (2m)^{3/2}}{h^3} \cdot \sqrt{E} \quad (3.69)$$

Ví dụ: Mật độ trạng thái của một electron tự do cho bởi phương trình (3.69). Hãy tính mật độ trạng thái trên một đơn vị thể tích trong khoảng năng lượng từ 0 đến 1 eV.

Giải

Thay phương trình (3.69), suy ra mật độ trạng thái trên một đơn vị thể tích là:

$$N = \int_0^{1\text{eV}} g(E)dE = \frac{4\pi (2m)^{3/2}}{h^3} \int_0^{1\text{eV}} \sqrt{E} dE$$

$$\Leftrightarrow N = \frac{4\pi (2m)^{3/2}}{h^3} \cdot \frac{2}{3} \cdot E^{3/2}$$

Thay vào, ta có:

$$\Leftrightarrow N = \frac{4\pi [2(9.11 \times 10^{-31})]^{3/2}}{(6.625 \times 10^{-34})^3} \cdot \frac{2}{3} \cdot (1.6 \times 10^{-19})^{3/2} = 4.5 \times 10^{27} \text{ m}^{-3}$$

Vậy

$$N = 4.5 \times 10^{27} \text{ trạng - thái / m}^{-3}$$

Nhìn xét: Mật độ trạng thái thông thường rất lớn. Như chúng ta sẽ thấy trong các phần sau và trong các chương tiếp theo, mật độ trạng thái trong bán dẫn có dạng là mật độ trạng thái rất lớn, nhưng thì nó nhỏ hơn mật độ nguyên tử trong tinh thể bán dẫn.

Mật độ trạng thái là hàm theo năng lượng E . Khi năng lượng của electron tăng do này như, sự trạng thái là gì. Hàm mật độ này thực ra là mật độ, trong đó nó là sự trạng thái trên mật độ năng lượng trên mật độ thể tích.

3.4.2 Mật độ cho bán dẫn

Trong phần trước, chúng ta đã rút ra biểu thức tổng quát của hàm mật độ trạng thái của electron dùng mô hình electron tự do với khối lượng m giảm trong mật độ trạng thái vô hạn ba chiều. Chúng ta có thể mô hình tổng quát này cho bán dẫn xác định mật độ trạng thái là trong vùng dẫn và vùng hóa trị. Như electron và lỗ trống giảm trong tinh thể bán dẫn vì vậy chúng ta sẽ dùng mô hình trạng thái không xác định.

Mối quan hệ parabol giữa năng lượng và năng lượng của electron tự do theo phương trình (3.28) là $E = p^2/2m = \hbar^2 k^2/2m$. Hình 3.16a biểu diễn vùng dẫn trong không gian rút gọn k . Năng lượng E theo k gần $k=0$ thì đây vùng dẫn có thể xem là gần như parabol, vì vậy chúng ta có thể viết

$$E = E_c + \frac{\hbar^2 k^2}{2m_n^*} \quad (3.70)$$

đây E_c là năng lượng đáy vùng dẫn và m_n^* là khối lượng hiệu dụng của electron. Phương trình (3.70) có thể viết là

$$E - E_c = \frac{\hbar^2 k^2}{2m_n^*} \quad (3.71)$$

Đang tổng quát của hằng số E theo k cho electron đáy vùng dẫn giống như electron tự do, ngoại trừ khối lượng m thay bằng khối lượng hiệu dụng. Do đó, chúng ta có thể xem electron đáy vùng dẫn là electron tự do với khối lượng của riêng nó. Với phép biến đổi phương trình (3.71) cùng dạng với phép biến đổi phương trình (3.28), nó có thể dùng để rút ra hàm mật độ trạng thái. Chúng ta có thể tổng quát hóa những kết quả của electron tự do trong phương trình (3.69) và suy ra mật độ trạng thái năng lượng riêng trong vùng dẫn là

$$g_c(E) = \frac{4\pi(2m_n^*)^{3/2}}{h^3} \cdot \sqrt{E - E_c} \quad (3.72)$$

Phương trình (3.72) có nghĩa khi $E > E_c$. Khi năng lượng electron trong vùng dẫn giảm, sự tăng trưởng trạng thái năng lượng giảm.

Mật độ trạng thái năng lượng trong vùng hóa trị có thể thu được bằng cách dùng mô hình gần đúng không xác định, bởi vì khối lượng hiệu dụng của electron trong bán dẫn và có thể xem như tự do. Khối lượng hiệu dụng của electron là m_p^* . Hình 3.16b biểu diễn vùng hóa trị trong không gian rút gọn k . Chúng ta cũng có thể xem mật độ trạng thái năng lượng theo k tại $k=0$ là parabol cho khối lượng tự do, vì thế

$$E = E_v - \frac{\hbar^2 k^2}{2m_p^*} \quad (3.73)$$

Phương trình (3.73) có thể viết lại là

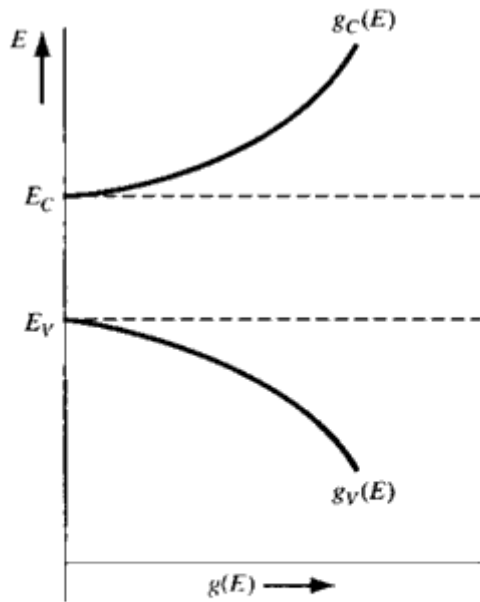
$$E_v - E = \frac{\hbar^2 k^2}{2m_p^*} \quad (3.74)$$

Một lần nữa, việc phân tích phương trình (3.74) có cùng dạng với dạng dùng để rút ra hàm mật độ trạng thái. Do đó, chúng ta có thể tổng quát hóa hàm mật độ trạng thái từ phương trình (3.69) áp dụng cho vùng hóa trị, vì thế

$$g_v(E) = \frac{4\pi(2m_p^*)^{3/2}}{h^3} \cdot \sqrt{E_v - E} \quad (3.75)$$

Phương trình (3.75) có nghĩa khi $E < E_v$.

Chúng ta đã thấy rằng trạng thái năng lượng không tồn tại trong vùng cấm, vì vậy $g(E)=0$ khi $E < E_c$. Hình 3.25 biểu diễn mật độ trạng thái như hàm theo năng lượng. Nếu khối lượng hiệu dụng của electron và khối lượng hiệu dụng của lỗ trống khác nhau thì $g_c(E)$ và $g_v(E)$ sẽ khác nhau qua mặt cắt năng lượng ngay giữa E_c và E_v . Ta gọi nó là năng lượng khe, E_{midgap} .



Hình 3.25 Mật độ trạng thái năng lượng trong vùng dẫn và mật độ trạng thái năng lượng trong vùng hóa trị như là hàm số của năng lượng

3.5|C H C TH NG KÊ

Khi kh o sát m t s l ng l n h t, chúng ta ch quan tâm n c tính th ng kê c a nhóm nh toàn th ch không quan tâm n c tính c a t ng h t riêng bi t. Ch ng h n, ch t khí trong bình ch a s tác đ ng m t áp su t trung bình lên thành bình. Áp su t này là k t qu tác ng t ng h p c a nh ng phân t khí, nh ng chúng ta không theo dõi t ng phân t riêng bi t khi nó va ch m v i thành bình. T ng t , trong tinh th , tính ch t i n s c xác nh theo c tính th ng kê c a m t s l ng l n các electron.

3.5.1 Các nh lu t th ng kê

Trong vi c xác nh c tính th ng kê c a các h t, chúng ta ph i xét nh ng nh lu t th ng kê mà các h t này tuân theo. Có 3 nh lu t phân b xác nh phân b c a h t vào nh ng tr ng thái n ng l ng có s n.

nh lu t th nh t là hàm phân b Maxwell – Boltzmann. Trong tr ng h p này, các h t c xem là có th phân bi t c b ng cách ánh s t l n N, và

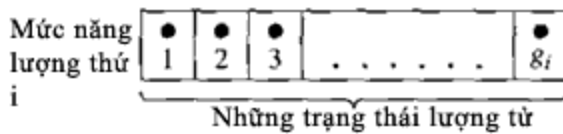
không gì i h n s h t c phép trong m i tr ng thái n ng l ng. Tr ng thái c a phân t khí trong bình ch a áp su t th p tuân theo phân b này.

nh lu t th hai là phân b Bose – Einstein. H t trong tr ng h p này không th phân bi t c và m t l n n a không có gì i h n s h t c phép trong m i tr ng thái l ng t . Tr ng thái c a photon, ho c b c x v t en tuân theo phân b này.

Phân b th 3 là hàm phân b Fermi – Dirac. Trong tr ng h p này, các h t c ng không th phân bi t c, nh ng lúc này ch m t h t c phép trong m i tr ng thái l ng t . Nh ng electron trong tinh th tuân theo nh lu t này. Trong các tr ng h p trên, các h t c gì s là không t ng tác.

3.5.2 Hàm phân b Fermi-Dirac

Khi nghiên c u ph n này, b n không c n thi t ph i hi u cách ch ng minh rút ra phân b Fermi-Dirac, b n ch c n bi t đ ng c a hàm phân b Fermi-Dirac $f_F(E)$ và ý ngh a c a nó. Nh ng ây, chúng tôi c ng a vào cách suy lu n rút ra phân b này b n c tham kh o.



Hình 3.26 | Mức năng lượng thứ i với g_i trạng thái lượng tử

Hình 3.26 bi u di n m c n ng l ng th i v i g_i tr ng thái l ng t . S h t t i a c phép trong m i tr ng thái l ng t tuân theo nguyên lí lo i tr Pauli. Có g_i cách ch n n i t h t u tiên, (g_i-1) cách ch n n i t h t th hai, (g_i-2) cách ch n n i t h t th ba, và v.v... Vì th s cách s p x p N_i h t vào m c n ng l ng th i (ây $N_i \leq g_i$) là

$$g_i(g_i - 1) \dots [g_i - (N_i - 1)] = \frac{g_i!}{(g_i - N_i)!} \quad (3.76)$$

Bi u th c này bao g m t t c các hoán v c a N_i h t.

Tuy nhiên, bởi vì nh ng h t là không th phân bi t c, s $N_i!$ hoán v mà h t có trong b t kì cách s p x p nào không c coi nh nh ng s p x p riêng bi t. S hoán v c a b t kì 2 electron nào c ng không t o ra m t s s p x p m i. Do ó, s cách c l p th c s s p N_i h t vào m c th i là

$$W_i = \frac{g_i!}{N_i!(g_i - N_i)!} \quad (3.77)$$

Ph ng trình (3.77) cho ta s cách th c s c l p th c hi n phân b N_i h t vào m c th i . T ng s cách s p x p ($N_1, N_2, N_3, \dots, N_n$) nh ng h t không phân bi t vào n m c n ng l ng là tích c a t t c nh ng phân b , ho c

$$W = \prod_{i=1}^n \frac{g_i!}{N_i!(g_i - N_i)!} \quad (3.78)$$

Tham s W là t ng s cách s p x p n electron trong h này. Chúng ta mu n tìm phân b có xác su t l n nh t, ngh a là chúng ta mu n tìm giá tr c c i c a W . C c i W c tìm b ng cách thay i N_i trong s E_i m c, nó làm thay i phân b , nh ng cùng lúc ó, chúng ta s gi t ng s h t và n ng l ng toàn ph n không i.

Chúng ta có th vi t hàm phân b xác su t là

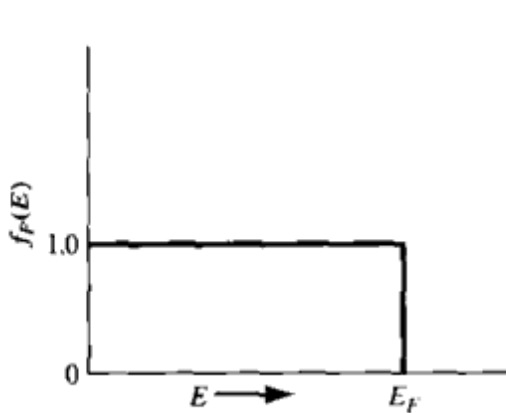
$$\frac{N(E)}{g(E)} = f_F(E) = \frac{1}{1 + \exp\left(\frac{E - E_F}{kT}\right)} \quad (3.79)$$

ây E_F c g i là n ng l ng Fermi. $N(E)$ là s h t trên m t n v th tích trên m t n v n ng l ng và hàm $g(E)$ là s tr ng thái l ng t trên m t n v th tích trên m t n v n ng l ng. Hàm $f_F(E)$ c g i là hàm phân b Fermi-Dirac ho c hàm phân b cho xác su t mà m t tr ng thái l ng t t i m c n ng l ng E b chi m b i m t electron. M t cách gi i thích khác v hàm phân b là $f_F(E)$ là t s nh ng tr ng thái l ng t b chi m trong t ng s tr ng thái l ng t n ng l ng E .

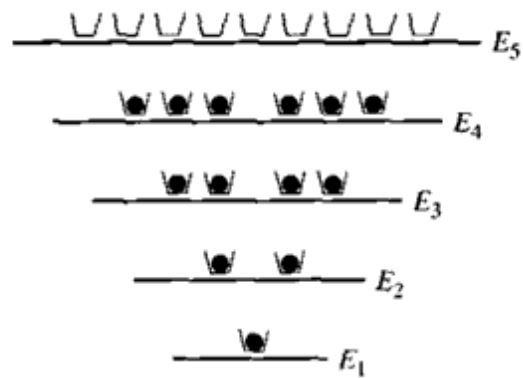
3.5.3 Hàm phân b và n ng l ng Fermi

hiểu và ý nghĩa của hàm phân bố và năng lượng Fermi, chúng ta sẽ vẽ đồ thị hàm phân bố theo năng lượng. Trước tiên, cho $T=0K$ và xét trường hợp khi $E < E_F$. Số hạt trong phân bố trong phương trình (3.79) trở thành $\exp[(E-E_F)/kT] = \exp(-\infty) = 0$. Cùng với hàm phân bố số hạt $f_F(E < E_F) = 1$. Chúng ta lại cho $T=0K$ và xét trường hợp $E > E_F$. Số hạt trong hàm phân bố trở thành $\exp[(E-E_F)/kT] = \exp(+\infty) = +\infty$. Cùng với hàm phân bố trở thành $f_F(E > E_F) = 0$.

Hàm phân bố Fermi-Dirac tại $T=0K$ được vẽ trong hình 3.27. Kết quả này cho thấy rằng, tại $T=0K$, những electron trong trạng thái năng lượng thấp nhất của



Hình 3.27 | Hàm Fermi theo năng lượng trong trường hợp $T=0K$

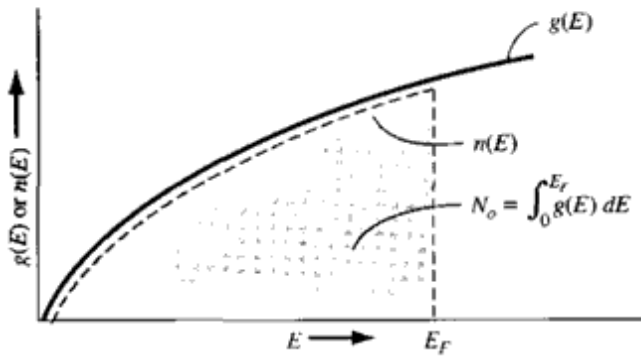


Hình 3.28 | Những trạng thái năng lượng rời rạc và những trạng thái lượng tử của một hệ nào đó tại $T=0K$

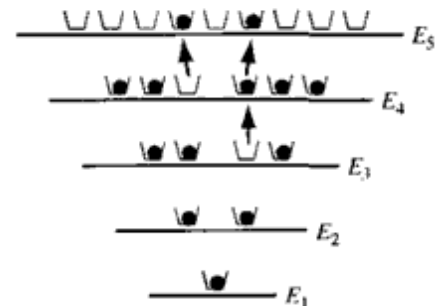
chúng. Xác suất tìm thấy trạng thái lượng tử bất kỳ nào khi $E > E_F$ và xác suất tìm thấy trạng thái lượng tử bất kỳ nào khi $E < E_F$. Tất cả các electron có năng lượng dưới năng lượng Fermi tại $T=0K$.

Hình 3.28 biểu diễn những mức năng lượng rời rạc của một hệ thống nào đó cùng với trạng thái lượng tử có số spin khác nhau. Nếu vẽ đồ thị như vậy, nếu chúng ta giả sử rằng hệ thống có 13 electron thì hình 3.28 cho thấy những electron này được phân bố vào những trạng thái lượng tử khác nhau như thế nào tại $T=0K$. Những electron trong trạng thái năng lượng thấp nhất có thể có, vì thế xác suất tìm thấy trạng thái lượng tử bất kỳ trong những mức năng lượng E_1 và E_4 bằng 1, và xác suất tìm thấy trạng thái lượng tử bất kỳ trong những mức năng lượng E_5 bằng 0. Trong trường hợp này, năng lượng Fermi phải nằm giữa E_4 và E_5 . Năng lượng Fermi xác định phân bố thống kê của những electron và không thể thay đổi với mức năng lượng nào cả.

Bây giờ xét trạng thái năng lượng trong mô hình trạng thái liên tục $g(E)$ là hàm liên tục theo năng lượng như biểu đồ trong hình 3.29. Nếu chúng ta có N_0 electron trong hệ này, thì phân bố của những electron này vào những trạng thái liên tục tại $T=0K$ biểu diễn bởi hình vẽ nét. Những electron phi trạng thái liên tục hình thành vì tất cả các trạng thái bên dưới E_F đã lấp đầy và tất cả những trạng thái liên tục trên E_F trống. Nếu trong mô hình nào đó có $g(E)$ và N_0 đã biết thì có thể xác định mức Fermi E_F .



Hình 3.29 | Mật độ trạng thái lượng tử và những electron trong một hệ năng lượng liên tục tại $T=0K$



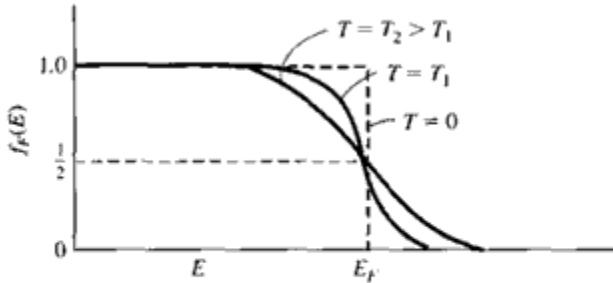
Hình 3.30 | Những trạng thái năng lượng rời rạc và những trạng thái lượng tử của cùng một hệ được biểu diễn trong hình 3.28 khi $T>0K$

Xét trạng thái khi nhiệt độ trên $0 K$. Những electron thu được mô tả bởi nhiệt động nào đó vì tất cả các electron có thể nhảy lên những mức năng lượng cao hơn, nếu có nghĩa là sự phân bố electron vào những trạng thái liên tục thay đổi. Hình 3.30 biểu diễn cùng những mức năng lượng rời rạc và những trạng thái liên tục như trong hình 3.28. Sự phân bố những electron vào những trạng thái liên tục đã thay đổi so với trạng thái $T=0K$. Hai electron từ mức E_4 đã nhảy lên E_5 , và một electron từ E_3 đã nhảy lên E_4 . Khi nhiệt độ thay đổi, sự phân bố electron theo năng lượng cũng thay đổi.

Sự thay đổi trong phân bố các electron vào những mức năng lượng khi $T>0K$ có thể hiểu bằng cách viết hàm phân bố Fermi-Dirac. Nếu chúng ta đặt $E=E_F$ và $T>0K$ thì phương trình (3.79) trở thành

$$f_F(E = E_F) = \frac{1}{1 + \exp(0)} = \frac{1}{2}$$

Xác suất chiếm trạng thái b chi m $E=E_F$ b ng $\frac{1}{2}$. Hình 3.31 bi u di n hàm phân b Fermi-Dirac m t vài nhi t , gi s n ng l ng Fermi không ph thu c nhi t



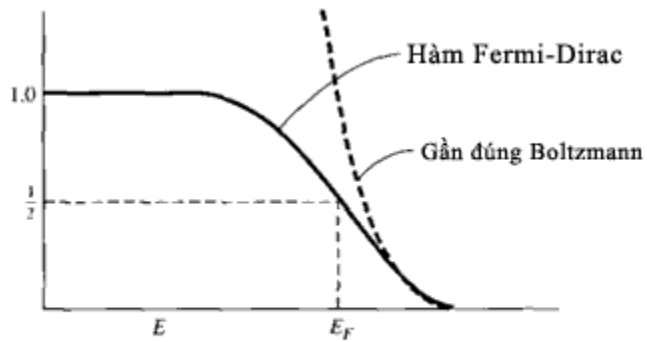
Hình 3.31 | Hàm phân b Fermi theo năng lượng ở các nhiệt độ khác nhau.

Chúng ta có th th y r ng khi nhi t l n h n không tuy t i, xác su t nh ng tr ng thái n ng l ng trên E_F b chi m b i các electron s khác 0 và m t s tr ng thái n ng l ng d i E_F b tr ng. K t qu này có ngh a là m t s electron ã nh y lên m c n ng l ng cao h n khi nhi t n ng t ng.

Xét tr ng h p $E-E_F \gg kT$, ây s h ng e m trong m u s c a ph ng trình (3.79) l n h n l r t nhi u. Chúng ta có th b qua l m u, vì th hàm phân b Fermi tr thành

$$f_F(E) \approx \exp\left[\frac{-(E - E_F)}{kT}\right] \tag{3.80}$$

Ph ng trình (3.80) c g i là g n úng Maxwell-Boltzmann, ho c n gi n là g n úng Boltzmann. Hình 3.33 bi u di n hàm xác su t Fermi-Dirac và g n úng Boltzmann. Hình này ch nh kho ng n ng l ng mà phép g n úng áp d ng c.



Hình 3.33 | Hàm phân bố Fermi-Dirac và gần đúng Maxwell-Boltzmann

Gần đúng Boltzmann có nghĩa là khi $\exp[(E-E_F)/kT] \gg 1$. Tuy nhiên, trong thực tế thì năng lượng $E-E_F \gg kT$ khi áp dụng gần đúng Boltzmann. Chúng ta sử dụng gần đúng Boltzmann này trong khi khảo sát vật bán dẫn tiếp theo.

CHƯƠNG IV

Bán dẫn trạng thái cân bằng

TỔNG QUAN

Chúng ta sẽ xem xét bán dẫn nói chung và áp dụng những khái niệm cơ bản để tính xác suất của electron trong mạng tinh thể. Trong chương này, chúng ta sẽ áp dụng một cách cụ thể những khái niệm này vào vật lý bán dẫn. Cụ thể, chúng ta sẽ dùng một trạng thái lượng tử trong vùng dẫn và một trạng thái lượng tử trong vùng hóa trị cùng với hàm phân bố Fermi-Dirac để xác định mật độ electron và lỗ trống trong vùng dẫn và vùng hóa trị. Chúng ta cũng sẽ áp dụng khái niệm năng lượng Fermi cho vật lý bán dẫn.

Chương này khảo sát bán dẫn trạng thái cân bằng. Trạng thái cân bằng, hoặc cân bằng nhiệt là trạng thái không có lực ngoài [chênh lệch nhiệt độ, điện trường, từ trường, hoặc Gradient nhiệt độ] tác động vào bán dẫn. Trong trường hợp này, tất cả những tính chất của bán dẫn sẽ không phụ thuộc vào thời gian. Cân bằng là điều kiện mà chúng ta trong việc xây dựng vật lý bán dẫn. Sau đó chúng ta sẽ có thể xác định những tính chất xuất hiện khi có sự lệch khỏi trạng thái cân bằng, chẳng hạn như khi mật độ điện tích được đưa vào thiết bị bán dẫn.

Đầu tiên chúng ta sẽ xem xét tính chất của bán dẫn rỗng, nghĩa là một tinh thể tinh khiết không có những nguyên tử tạp chất hoặc sai hỏng. Chúng ta sẽ thay thế những tính chất của bán dẫn có thể thay đổi theo ý muốn bằng cách thêm vào bán dẫn một lượng nhỏ các nguyên tử tạp chất, còn gọi là những nguyên tử kích thích. Tùy thuộc vào loại tạp chất đưa vào, hạt tải điện chỉ có thể trong bán dẫn có thể là electron trong vùng dẫn hoặc lỗ trống trong vùng hóa trị. Việc thêm những nguyên tử tạp chất sẽ thay đổi sự phân bố electron vào những trạng thái năng lượng sẵn có, vì vậy năng lượng Fermi trở thành một hàm của năng lượng và loại nguyên tử tạp chất.

Cuối cùng, những mặt pha của việc khảo sát này, chúng ta sẽ tìm hiểu sâu hơn ý nghĩa của năng lượng Fermi.

4.1 | HẬT TỬ LỖ TRONG BÁN DẪN

Dòng điện là dòng chuyển động có hướng của các điện tích. Trong bán dẫn, hai loại hạt tải điện, electron và lỗ trống có thể đóng góp vào dòng điện. Bởi vì dòng điện trong bán dẫn được xác định bằng số electron trong vùng dẫn và số lỗ trống trong vùng hóa trị, mật độ tính chất quan trọng của bán dẫn là mật độ của hai hạt tải điện này. Mật độ electron và lỗ trống có liên quan đến hàm mật độ trạng thái và hàm phân bố Fermi. Nhờ hàm này mà chúng ta xem xét các chuyển tiếp.

4.1.1 Phân bố electron và lỗ trống trạng thái cân bằng

Phân bố là mật độ electron trong khoảng năng lượng từ E đến $E+dE$.

Phân bố (theo năng lượng) của electron trong vùng dẫn bằng mật độ trạng thái lỗ trống nhân với xác suất mà một trạng thái lỗ trống bị chiếm bởi một electron. Phát biểu này có thể diễn đạt bằng phương trình là

$$n(E) = g_c(E) f_F(E) \quad (4.1)$$

Ở đây $f_F(E)$ là hàm phân bố Fermi-Dirac và $g_c(E)$ là mật độ trạng thái lỗ trống trong vùng dẫn. Do đó, nồng độ electron tổng cộng trên mật độ năng lượng tích trong vùng dẫn được tính bằng cách lấy tích phân phương trình (4.1) trên toàn bộ khoảng năng lượng vùng dẫn.

Tương tự, phân bố (theo năng lượng) của lỗ trống trong vùng hóa trị là mật độ trạng thái lỗ trống trong vùng hóa trị nhân với xác suất mà một trạng thái không bị chiếm bởi electron. Chúng ta có thể biểu diễn điều này là

$$p(E) = g_v(E) [1 - f_F(E)] \quad (4.2)$$

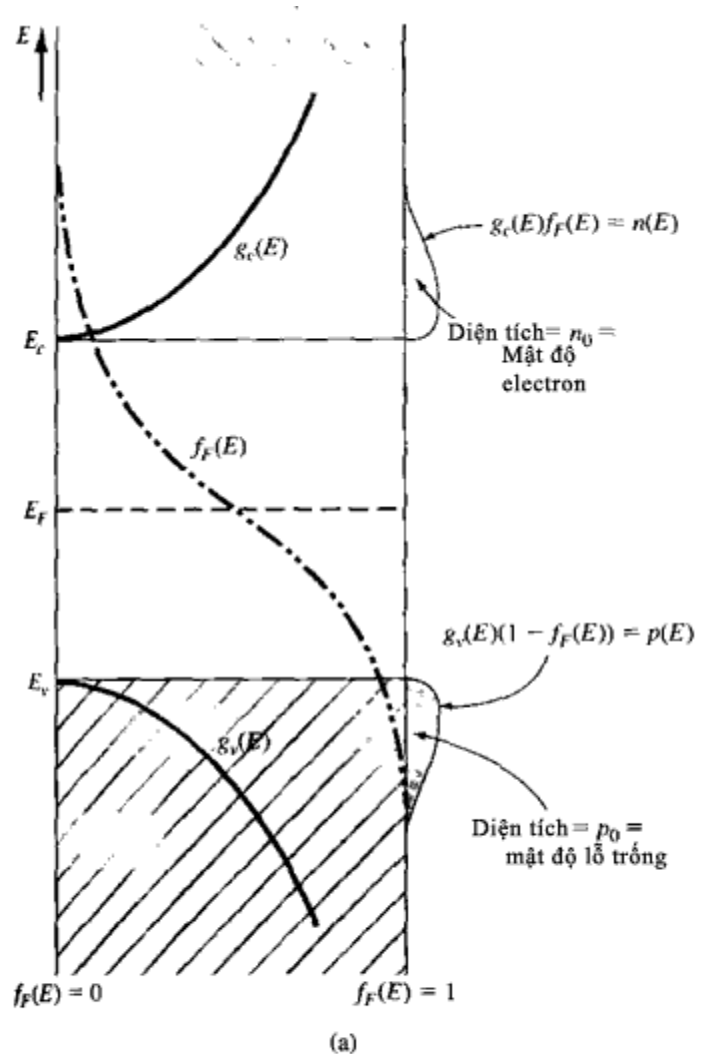
Nồng độ lỗ trống tổng cộng trên mật độ năng lượng tích được tính bằng cách lấy tích phân hàm này trên toàn bộ khoảng năng lượng vùng hóa trị.

Để tìm nồng độ electron và lỗ trống cân bằng nhiệt, chúng ta cần xác định vị trí của mức Fermi E_F dựa vào vị trí của năng lượng vùng dẫn E_c và mức của năng lượng vùng hóa trị E_v . Trước khi đi vào câu hỏi này, đầu tiên chúng ta hãy xem xét bán dẫn rỗng. Một bán dẫn rỗng lý tưởng là bán dẫn tinh khiết không có nguyên tử tạp chất và nhúng sai hỏng mạng trong tinh thể. Trong chuyển tiếp, chúng ta sẽ thảo luận về vấn đề này, vì vị trí của bán dẫn rỗng tại $T=0K$, tất cả các mức

trạng thái năng lượng trong vùng hóa trị và tất cả trạng thái năng lượng trong vùng dẫn hoàn toàn trống electron. Do đó, mức năng lượng Fermi phải nằm giữa E_c và E_v . (Năng lượng Fermi không cần nằm trong vùng cấm nào.)

Điều này là một lập luận xác định vị trí của mức Fermi trong trường hợp $T > 0K$. Trong lập luận này, chúng ta sẽ giả sử rằng khi nhiệt độ của electron và lỗ trống bằng nhau. Điều này dẫn đến mức Fermi nằm ở trung tâm của khe (= $1/2[E_c + E_v]$). Tuy nhiên, thực tế thì khi nhiệt độ của electron và lỗ trống không bằng nhau. Vì vậy, mức Fermi phải dịch chuyển lên trên hoặc dưới so với vị trí của khe. Như bạn sẽ thấy, mục đích của chúng ta chỉ là minh họa vị trí của mức Fermi và còn nằm trong vùng cấm. Trong phần 4.1.4, chúng ta sẽ tìm vị trí của mức Fermi bằng một lập luận chặt chẽ hơn.

Khi nhiệt độ rất thấp trên $0K$, nhiệt độ electron hóa trị sẽ thu hẹp lại. Một vài electron trong vùng hóa trị có thể thu hẹp lại ngay lên vùng dẫn. Khi một electron nhảy từ vùng hóa trị lên vùng dẫn, một trạng thái trống, hoặc lỗ trống, sẽ tạo ra trong vùng hóa trị. Do đó, trong bán dẫn rỗng, electron và lỗ trống tạo ra một cặp sao cho số electron trong vùng dẫn bằng số lỗ trống trong vùng hóa trị.



Hình 4.1 biểu diễn các hàm mật độ trạng thái và hàm phân bố Fermi-Dirac trong trường hợp mức Fermi nằm gần năng lượng giữa khe.

Hình 4.1 | Hàm mật độ trạng thái, hàm phân bố Fermi-Dirac và diện tích biểu diễn mật độ electron và lỗ trống trong trường hợp mức Fermi nằm gần năng lượng giữa khe.

vùng dẫn $g_c(E)$, mật độ trạng thái trong vùng hóa trị $g_v(E)$, và hàm phân bố Fermi-Dirac f_F ở $T > 0$ khi E_F nằm gần khe năng lượng E_c và E_v . Lúc này, nếu chúng ta giả sử rằng khi tính hiệu ứng của electron và lỗ trống bên nhau thì $g_c(E)$ và $g_v(E)$ là những hàm chẵn qua năng lượng giữa khe (năng lượng giữa E_c và E_v). Chúng ta sẽ bắt đầu với hàm $f_F(E)$ khi $E > E_F$ và với hàm $1 - f_F(E)$ khi $E < E_F$ qua giá trị năng lượng $E = E_F$.

Tích của $g_c(E)$ và $f_F(E)$ là phân bố của electron $n(E)$ trong vùng dẫn còn cho biết phần trình (4.1). Tích của $g_v(E)$ và $[1 - f_F(E)]$ là phân bố của lỗ trống $p(E)$ trong vùng hóa trị còn cho biết phần trình (4.2). Hai tích này được vẽ ra trong hình. Do đó diện tích dưới những đường cong này là mật độ electron tổng cộng trong vùng dẫn và mật độ lỗ trống tổng cộng trong vùng hóa trị. Tuy vậy chúng ta thấy rằng nếu $g_c(E)$ và $g_v(E)$ là chẵn, năng lượng Fermi phải nằm gần giữa khe thu hút các electron và lỗ trống bên nhau. Nếu khi tính electron và lỗ trống không bên nhau thì hàm mật độ trạng thái hiệu ứng $g_c(E)$ và $g_v(E)$ không chẵn qua năng lượng giữa khe. Do đó, mật độ Fermi ở vị trí bán dẫn rộng sẽ dịch chuyển so với năng lượng giữa khe có các electron và lỗ trống bên nhau.

4.1.2 Những phần trình của n_0 và p_0

Chúng ta sẽ thảo luận về năng lượng Fermi trong bán dẫn rộng gần năng lượng giữa khe. Sau này chúng ta sẽ thấy rằng trong trường hợp bất kỳ, năng lượng Fermi có thể dịch chuyển so với năng lượng giữa khe. Tuy nhiên, đầu tiên chúng ta sẽ giả sử rằng mật độ Fermi vẫn còn trong khe năng lượng.

Phần trình năng lượng cân bằng nhiệt của electron có thể tìm bằng cách lấy tích phân phần trình (4.1) trên vùng dẫn, hoặc

$$n_0 = \int g_c(E) f_F(E) dE \tag{4.3}$$

Giới hạn dưới của tích phân là E_c và giới hạn trên của tích phân có thể là bất kỳ năng lượng vùng dẫn. Tuy nhiên, bởi vì hàm phân bố Fermi tiến nhanh tới 0 khi năng lượng tăng lên được vẽ ra trong hình 4.1, chúng ta có thể lấy giới hạn trên của tích phân là vô cùng.

Chúng ta đang nghiên cứu mức Fermi trong khe năng lượng. Vì electron trong vùng dẫn, chúng ta có $E > E_c$. Nếu $(E_c - E_F) \gg kT$, thì $(E - E_F) \gg kT$, vì thế hàm phân bố Fermi biến thành phân bố Boltzmann,

$$f_F(E) = \frac{1}{1 + \exp\left(\frac{E - E_F}{kT}\right)} \approx \exp\left[\frac{-(E - E_F)}{kT}\right] \quad (4.4)$$

Áp dụng gần đúng Boltzmann cho phương trình (4.3), mật độ electron trong vùng dẫn là

$$n_0 = \int_{E_c}^{\infty} \frac{4\pi (2m_n^*)^{3/2}}{h^3} \sqrt{E - E_c} \exp\left[\frac{-(E - E_F)}{kT}\right] dE \quad (4.5)$$

Tích phân của phương trình (4.5) có thể tính dễ dàng hơn bằng cách biến đổi. Nếu chúng ta đặt

$$\eta = \frac{E - E_c}{kT} \quad (4.6)$$

Thì phương trình (4.5) trở thành

$$n_0 = \frac{4\pi (2m_n^* kT)^{3/2}}{h^3} \exp\left[\frac{-(E_c - E_F)}{kT}\right] \int_0^{\infty} \eta^{1/2} \exp(-\eta) d\eta \quad (4.7)$$

Hàm dưới dấu tích phân là hàm gamma, tích phân của nó là:

$$\int_0^{\infty} \eta^{1/2} \exp(-\eta) d\eta = \frac{1}{2} \sqrt{\pi} \quad (4.8)$$

Thì phương trình (4.7) trở thành

$$n_0 = 2 \left(\frac{2\pi m_n^* kT}{h^2} \right)^{3/2} \exp\left[\frac{-(E_c - E_F)}{kT}\right] \quad (4.9)$$

Chúng ta có thể nhận thấy rằng mật độ trạng thái N_c là

$$N_c = 2 \left(\frac{2\pi m_n^* kT}{h^2} \right)^{3/2} \quad (4.10)$$

Vì thế nên số electron cân bằng nhiệt trong vùng dẫn có thể viết là

$$n_0 = N_c \exp\left[\frac{-(E_c - E_F)}{kT}\right] \quad (4.11)$$

Hệ số N_c có giá trị là mật độ hiệu dụng của hàm trạng thái trong vùng dẫn. Nếu chúng giả sử rằng $m_n^* = m_0$, thì giá trị của hàm mật độ trạng thái hiệu dụng tại $T=300K$ là $N_c = 2.5 \times 10^{19} \text{ cm}^{-3}$, đó là bằng 1 lần của N_c cho hiệu suất các chất bán dẫn. Nếu khối lượng hiệu dụng của electron lớn hơn hay nhỏ hơn m_0 thì giá trị của hàm mật độ trạng thái hiệu dụng sẽ thay đổi tương ứng, nhưng vẫn còn cùng bằng 1 lần.

VÍ D 4.1

Tính toán xác suất trạng thái năng lượng tại $E=E_c$ bị chiếm bởi một electron và tính số electron cân bằng nhiệt trong Silicon tại $T=300K$.

Giả sử năng lượng Fermi thấp hơn 0.25 eV so với năng lượng vùng dẫn. Giá trị của N_c đối với Silicon tại $T=300K$ là $N_c = 2.8 \times 10^{19} \text{ cm}^{-3}$.

▪ Giải

Xác suất mà một trạng thái tại $E=E_c$ bị chiếm bởi một electron là

$$f_F(E_c) = \frac{1}{1 + \exp\left(\frac{E_c - E_F}{kT}\right)} \approx \exp\left[\frac{-(E_c - E_F)}{kT}\right]$$

Hay

$$f_F(E_c) = \exp\left(\frac{-0.25}{0.0259}\right) = 6.43 \times 10^{-5}$$

Mật độ electron là

$$n_0 = N_c \exp\left[\frac{-(E_c - E_F)}{kT}\right] = (2.8 \times 10^{19}) \exp\left(\frac{-0.25}{0.0259}\right)$$

Hay $n_0 = 1.8 \times 10^{15} \text{ cm}^{-3}$

▪ Kết luận

Xác suất mà một trạng thái b chi m r t nh , nh ng vì có m t s l ng l n các tr ng thái nên n ng electron là m t giá tr có th ch p nh n c.

N ng l tr ng tr ng thái cân b ng nhi t trong vùng hóa tr c tính b ng cách l y tích phân ph ng trình (4.2) trên vùng hóa tr :

$$p_0 = \int g_v(E)[1 - f_E(E)]dE \quad (4.12)$$

Chú ý r ng

$$1 - f_F(E) = \frac{1}{1 + \exp\left[\frac{E_F - E}{kT}\right]} \quad (4.13a)$$

ì v ì nh ng tr ng thái n ng l ng trong vùng hóa tr , $E < E_F$. N u $(E_F - E) \gg kT$ (hàm Fermi v n còn c gi s là trong khe n ng l ng), thì chúng ta có m t đ ng h ì khác v ì g n úng Boltzmann. Ph ng trình (4.13a) có th c vi t là

$$1 - f_F(E) = \frac{1}{1 + \exp\left[\frac{E_F - E}{kT}\right]} \approx \exp\left[\frac{-(E_F - E)}{kT}\right] \quad (4.13b)$$

Áp d ng g n úng Boltzmann c a ph ng trình (4.13b) cho ph ng trình (4.12), chúng ta tìm c m t l tr ng tr ng thái cân b ng nhi t trong vùng hóa tr là

$$p_0 = \int_{-\infty}^{E_v} \frac{4\pi (2m_p^*)^{3/2}}{h^3} \sqrt{E_v - E} \exp\left[\frac{-(E_F - E)}{kT}\right] dE \quad (4.14)$$

ây gi ì h n đ ì c a tích phân c l y là - thay vì áy c a vùng hóa tr . Hàm phân b Fermi-Dirac gi m nhanh vì th s g n úng này có th áp d ng c.

Ph ng trình (4.14) có th c tính toán d dàng h n b ng cách l i th c hi n ph ng pháp ì bi n. N u chúng ta t

$$\eta = \frac{E_v - E}{kT} \quad (4.15)$$

Thì ph ng trình (4.14) tr thành

$$p_0 = \frac{-4\pi(2m_p^*kT)^{3/2}}{h^3} \exp\left[\frac{-(E_F - E_v)}{kT}\right] \int_{+\infty}^0 (\eta')^{1/2} \exp(-\eta') d\eta' \quad (4.16)$$

Ây đ u tr là do vi phân $dE = -kTd$. Chú ý r ng gi i h n đ i c a là + khi $E = -$. N u chúng ta i c n tích phân, chúng ta ph i a vào m t đ u tr khác. T ph ng trình (4.8), ph ng trình (4.16) tr thành

$$p_0 = 2 \left(\frac{2\pi m_p^* kT}{h^2} \right)^{3/2} \exp\left[\frac{-(E_F - E_v)}{kT}\right] \quad (4.17)$$

Chúng ta có th nh ngh a m t h s N là

$$N_v = 2 \left(\frac{2\pi m_p^* kT}{h^2} \right)^{3/2} \quad (4.18)$$

H s này c g i là hàm m t tr ng thái hi u đ ng trong vùng hóa tr. Lúc này, m t l tr ng cân b ng nhi t trong vùng hóa tr có th c vi t là

$$p_0 = N_v \exp\left[\frac{-(E_F - E_v)}{kT}\right] \quad (4.19)$$

l n c a N c ng có b c c 10^{19} cm^{-3} t i $T=300\text{K}$ cho a s các ch t bán d n.

VÍ D 4.2

Tính m t l tr ng tr ng thái cân b ng nhi t c a Silic t i $T=400\text{K}$.

Gi s r ng n ng l ng Fermi cao h n n ng l ng vùng hóa tr là 0.27 eV . Giá tr c a N i v i Silic t i $T=300\text{K}$ là $N = 1.04 \times 10^{19} \text{ cm}^{-3}$.

▪ Gi i

Giá tr c a N t i $T=400\text{K}$ là:

$$N_v = (1.04 \times 10^{19}) \left(\frac{400}{300} \right)^{3/2} = 1.60 \times 10^{19} \text{ cm}^{-3}$$

Và

$$kT = (0.0259) \left(\frac{400}{300} \right) = 0.03453 \text{ eV}$$

Do ó n ng l tr ng là

$$p_0 = N_v \exp\left[\frac{-(E_F - E_v)}{kT}\right] = (1.60 \times 10^{19}) \exp\left(\frac{-0.27}{0.03453}\right)$$

Hoặc

$$p_0 = 6.43 \times 10^{15} \text{ cm}^{-3}$$

▪ **Kết luận**

Giá trị của N tại bất kỳ nhiệt độ nào có thể tìm bằng cách dùng giá trị $300K$ và số phụ thuộc nhiệt độ.

Hàm mật độ trạng thái hiệu dụng, N_c và N_v của vật chất bán dẫn là không phụ thuộc nhiệt độ xác định. Bảng 4.1 cho giá trị của hàm mật độ trạng thái và khối lượng hiệu dụng của Silicon, GaAs, và Germani. Chú ý rằng trong GaAs, N_c nhỏ hơn giá trị điển hình 10^{19} cm^{-3} . Sự khác nhau này là do khối lượng hiệu dụng của electron trong GaAs nhỏ.

Bảng 4.1 | Hàm mật độ trạng thái hiệu dụng và khối lượng hiệu dụng

	$N_c \text{ (cm}^{-3}\text{)}$	$N_v \text{ (cm}^{-3}\text{)}$	m_n^*/m_0	m_p^*/m_0
Si	2.8×10^{19}	1.04×10^{19}	1.08	0.56
GaAs	4.7×10^{17}	7.0×10^{18}	0.067	0.48
Ge	1.04×10^{19}	6.0×10^{18}	0.55	0.37

Nồng độ electron trong trạng thái cân bằng nhiệt trong vùng dẫn và lỗ trong vùng hóa trị có liên hệ trực tiếp với mật độ trạng thái hiệu dụng và mức năng lượng Fermi.

4.1.3 Nồng độ hạt tải điện

Trong bán dẫn rỗng, mật độ electron trong vùng dẫn bằng với mật độ lỗ trong vùng hóa trị. Chúng ta có thể ký hiệu n_i và p_i tương ứng là nồng độ electron và lỗ trong bán dẫn rỗng. Như vậy khối lượng này thường gọi là nồng độ electron nội tại và nồng độ lỗ nội tại. Tuy nhiên vì $n_i = p_i$, vì vậy thông thường chúng ta dùng khối lượng n_i là nồng độ hạt tải điện nội tại, khối lượng này cũng chính là nồng độ electron nội tại và nồng độ lỗ nội tại.

Mức năng lượng Fermi trong bán dẫn rỗng cũng là mức năng lượng Fermi riêng, hoặc $E_F = E_{Fi}$. Nếu chúng ta áp dụng phương trình (4.11) và (4.19) cho bán dẫn rỗng, thì chúng ta có thể viết

$$n_0 = n_i = N_c \exp\left[\frac{-(E_c - E_{Fi})}{kT}\right] \quad (4.20)$$

Và

$$p_0 = p_i = n_i = N_v \exp\left[\frac{-(E_{Fi} - E_v)}{kT}\right] \quad (4.21)$$

Nếu chúng ta lấy tích của phương trình (4.20) và (4.21), chúng ta thu được

$$n_i^2 = N_c N_v \exp\left[\frac{-(E_c - E_{Fi})}{kT}\right] \cdot \exp\left[\frac{-(E_{Fi} - E_v)}{kT}\right] \quad (4.22)$$

Hay

$$n_i^2 = N_c N_v \exp\left[\frac{-(E_c - E_v)}{kT}\right] = N_c N_v \exp\left[\frac{-E_g}{kT}\right] \quad (4.23)$$

Ở đây E_g là năng lượng của khe năng lượng (hay còn gọi là năng lượng vùng cấm). Đối với vật bán dẫn xác suất nhiệt không cao, giá trị của n_i là hằng số, và không phụ thuộc vào năng lượng Fermi.

Năng suất nội tại của Silicon tại $T=300K$ có thể tính bằng cách dùng giá trị hàm mật độ trạng thái từ bảng 4.1. Giá trị của n_i tính từ phương trình (4.23) với $E_g=1.12 eV$ là $n_i=6.95 \times 10^9 cm^{-3}$. Giá trị của hằng số nội tại của silicon $T=300K$ gần bằng $1.5 \times 10^{10} cm^{-3}$. Giá trị này có thể sai lệch một chút ít trong các tài liệu khác nhau. Trước tiên, giá trị của khối lượng hiệu dụng của các hạt tải điện được xác định từ phương trình thực nghiệm thí nghiệm cyclotron. Bởi vì khối lượng hiệu dụng của các hạt tải điện thực nghiệm, và bởi vì nó là một tham số chuyển đổi đáng kể trong tính toán nên việc này có lẽ là một hàm phụ thuộc một phần vào nhiệt độ. Kết quả, hàm mật độ trạng thái của bán dẫn tính bằng cách tổng quát hóa mô hình của mật độ electron trong giếng thế vô hạn 3 chiều. Hàm lý thuyết này có thể không phù hợp hoàn toàn với thực nghiệm. Tuy nhiên sự khác nhau giữa giá trị lý thuyết và giá trị thực nghiệm của n_i chỉ là một phần nhỏ trong những gì là không đáng kể. Bảng 4.2 liệt kê những giá trị của hằng số nội tại của

Si, GaAs, và Ga

Bảng 4.2 Những giá trị được thừa nhận rộng rãi của n_i tại $T=300K$

Si	$n_i = 1.5 \times 10^{10} cm^{-3}$
GaAs	$n_i = 1.8 \times 10^6 cm^{-3}$
Ge	$n_i = 2.4 \times 10^{13} cm^{-3}$

t ở $T=300K$.

Nồng độ hạt tải điện nội tại là hàm phụ thuộc mạnh vào nhiệt độ.

VÍ D 4.3

Tính nồng độ hạt tải điện nội tại trong GaAs ở $T=300K$ và ở $T=450K$.

Giá trị của N_c và N_v ở $300K$ đối với GaAs tương ứng là $4.7 \times 10^{17} \text{ cm}^{-3}$ và $7.0 \times 10^{18} \text{ cm}^{-3}$. Các N_c và N_v biến đổi theo $T^{3/2}$. Giá trị năng lượng khe năng lượng có ở đây là 1.42 eV và biến đổi không đáng kể theo nhiệt độ trên khoảng này. Giá trị của kT ở $450K$ là

$$kT = (0.0259) \left(\frac{450}{300} \right) = 0.3885 \text{ eV}$$

▪ Giá trị

Dùng phương trình (4.23), chúng ta tìm được n_i ở $T=300K$

$$n_i^2 = (4.7 \times 10^{17})(7.0 \times 10^{18}) \exp\left(\frac{-1.42}{0.0259}\right) = 5.09 \times 10^{12}$$

Vì thế

$$n_i = 2.27 \times 10^6 \text{ cm}^{-3}$$

Ở $T=450K$, chúng ta tìm được

$$n_i^2 = (4.7 \times 10^{17})(7.0 \times 10^{18}) \left(\frac{450}{300}\right)^3 \exp\left(\frac{-1.42}{0.03885}\right) = 1.48 \times 10^{21}$$

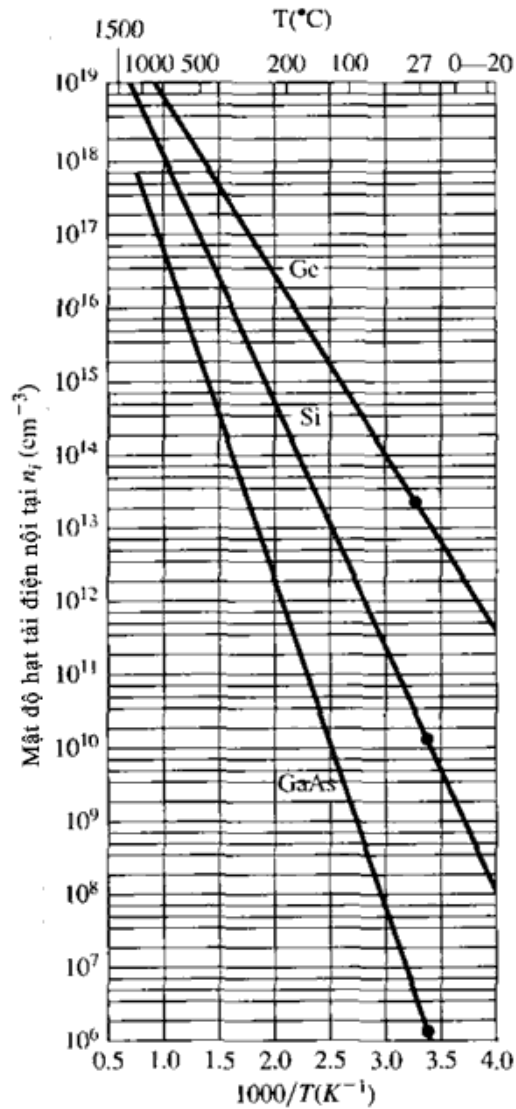
Vì thế

$$n_i = 3.85 \times 10^{10} \text{ cm}^{-3}$$

▪ Kết luận

Chúng ta có thể rút ra từ ví dụ này rằng nồng độ hạt tải điện nội tại tăng 4 bậc về mặt số lượng khi nhiệt độ tăng $150^\circ C$.

Hình 4.2 là đồ thị của n_i theo phương trình (4.23) của Silicon, GaAs, và Ge như một hàm theo nhiệt độ. Như thấy trong hình, giá trị của n_i đối với những bán dẫn này dường như thay đổi vài bậc về mặt số lượng khi nhiệt độ thay đổi trên một khoảng vài độ.



Hình 4.2 Mật độ hạt tải điện nội tại của Ge, Si, và GaAs theo nhiệt độ.

4.1.4 Vị trí mức Fermi riêng

Chúng ta sẽ thảo luận một cách ngắn gọn về vị trí mức Fermi riêng trong khe năng lượng ở vùng bán dẫn rỗng. Chúng ta có thể tính toán vị trí của mức Fermi riêng. Bởi vì năng lượng electron và lỗ trống bằng nhau, cho phương trình (4.20) và (4.21) bằng nhau, chúng ta có

$$N_c \exp\left[\frac{-(E_c - E_{Fi})}{kT}\right] = N_v \exp\left[\frac{-(E_{Fi} - E_v)}{kT}\right] \quad (4.24)$$

Nếu chúng ta lấy logarit của cả hai phương trình này và giải tìm E_{Fi} , chúng ta thu được

$$E_{Fi} = \frac{1}{2}(E_c + E_v) + \frac{1}{2}kT \ln\left(\frac{N_v}{N_c}\right) \quad (4.25)$$

Trong nghĩa của N_c và N_v trong phương trình (4.10) và (4.18), phương trình (4.25) có thể viết là

$$E_{Fi} = \frac{1}{2}(E_c + E_v) + \frac{3}{4}kT \ln\left(\frac{m_p^*}{m_n^*}\right) \quad (4.26a)$$

Số hạng thứ hai, $\frac{1}{2}(E_c + E_v)$ chính xác là năng lượng giữa E_c và E_v , hoặc năng lượng giữa khe. Chúng ta có thể viết

$$\frac{1}{2}(E_c + E_v) = E_{midgap}$$

Vì thế

$$E_{Fi} - E_{midgap} = \frac{3}{4}kT \ln\left(\frac{m_p^*}{m_n^*}\right) \quad (4.26b)$$

Nếu khi khối lượng hiệu dụng electron và lỗ trống bằng nhau $m_p^* = m_n^*$ thì mức Fermi riêng ngay giữa dải.

Nếu $m_p^* > m_n^*$, thì mức Fermi riêng hơi trên khe năng lượng,

Và nếu $m_p^* < m_n^*$, nó hơi dưới khe năng lượng.

Hàm mật độ trạng thái có liên hệ trực tiếp với khối lượng hiệu dụng hạt tải; do đó khối lượng hiệu dụng lớn hơn có nghĩa là hàm mật độ trạng thái lớn hơn. Mức Fermi riêng phi dch chuyển xa vùng có mật độ trạng thái lớn hơn cho số electron và lỗ trống bằng nhau.

VÍ DỤ 4.4

Xác định vị trí của mức Fermi đối với khe năng lượng trong Silicon ở $T=300K$.

Khối lượng hiệu dụng của electron và lỗ trống lần lượt là $m_n^* = 1.08m_0$ và $m_p^* = 0.56m_0$.

Giải

Mức Fermi riêng đối với khe năng lượng là

$$E_{Fi} - E_{midgap} = \frac{3}{4}kT \ln\left(\frac{m_p^*}{m_n^*}\right) = \frac{3}{4} \times 0.0259 \times \ln\left(\frac{0.56}{1.08}\right)$$

Hay

$$E_{Fi} - E_{midgap} = -0.0128eV = -12.8meV$$

Kết luận: Mức Fermi riêng trong Silicon thấp hơn năng lượng khe là 12.8 meV. Nếu chúng ta so sánh 12.8 meV với 560 meV (mật độ phân rã của khe năng lượng của silicon) thì chúng ta sẽ thấy sự chênh lệch này khá nhỏ. Vì thế, trong nhiều ứng dụng, chúng ta có thể xem như mức Fermi riêng gần khe năng lượng.

KIỂM TRA KIẾN THỨC

E4.6 Xác định mức Fermi riêng so với khe năng lượng trong GaAs ở $T=300K$.

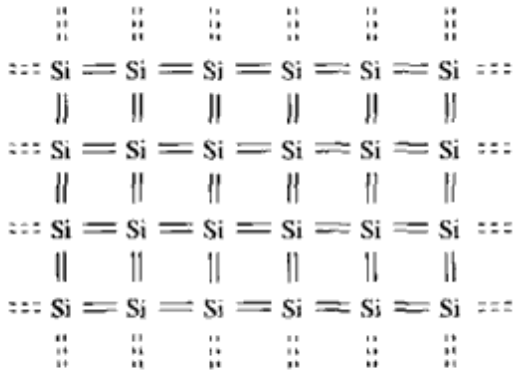
4.2|NGUYÊN TỐ TẬP CHẤT VÀ MỨC NĂNG LƯỢNG

Bán dẫn rỗng có thể là một bài học lý thú, nhưng sự cảm nhận thực sự của bán dẫn có thể thu được bằng cách thêm một lượng nhỏ tạp chất có kiểm soát, hoặc những nguyên tố tạp chất. Quá trình pha tạp này được mô tả ngắn gọn trong chương 1, có thể làm thay đổi hoàn toàn tính chất của bán dẫn. Những bán dẫn được pha tạp có thể gọi là bán dẫn tạp, là vật liệu dùng cho những thiết bị bán dẫn khác nhau mà chúng ta sẽ xem xét trong chương tiếp theo.

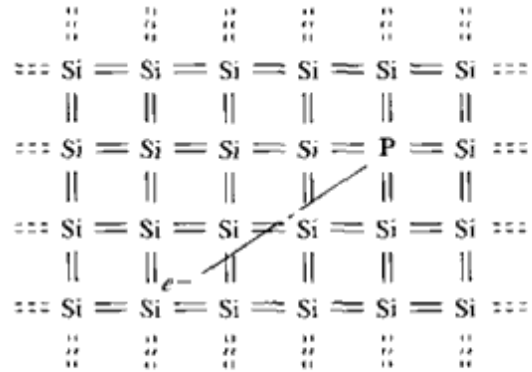
4.2.1 Mô tả tính chất

Trong chương 3, chúng ta đã thảo luận liên kết hóa trị của silicon và đã xem xét biểu diễn 2 chiều nguyên tử của mạng tinh thể silicon như được thể hiện trong hình 4.3.

Bây giờ hãy xem xét vị trí thêm vào nhóm nguyên tử tiếp theo thuộc nhóm V, chẳng hạn như photpho. Nguyên tử nhóm V có 5 electron hóa trị. 4 electron trong số chúng sẽ đóng góp vào liên kết cộng hóa trị với nguyên tử silic, còn lại 1 electron thì 5 liên kết liên lạc với nguyên tử photpho. Hình vẽ này sẽ biểu diễn bằng cách trong hình 4.4. Chúng ta gọi electron hóa trị thứ 5 là electron cho hay electron donor.

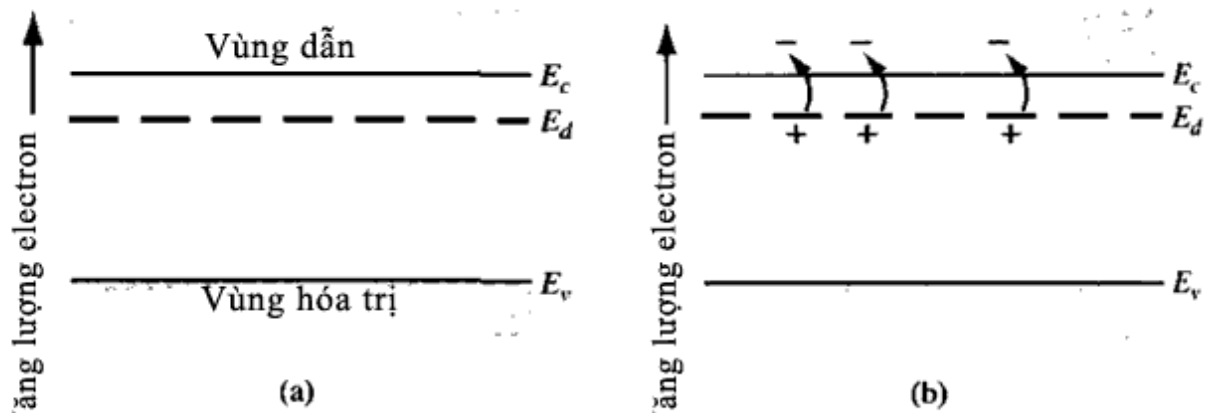


Hình 4.3 | Biểu diễn hai chiều của các liên kết hóa học trong Silic



Hình 4.4 | Biểu diễn hai chiều của mạng Silic được pha tạp chất Photpho

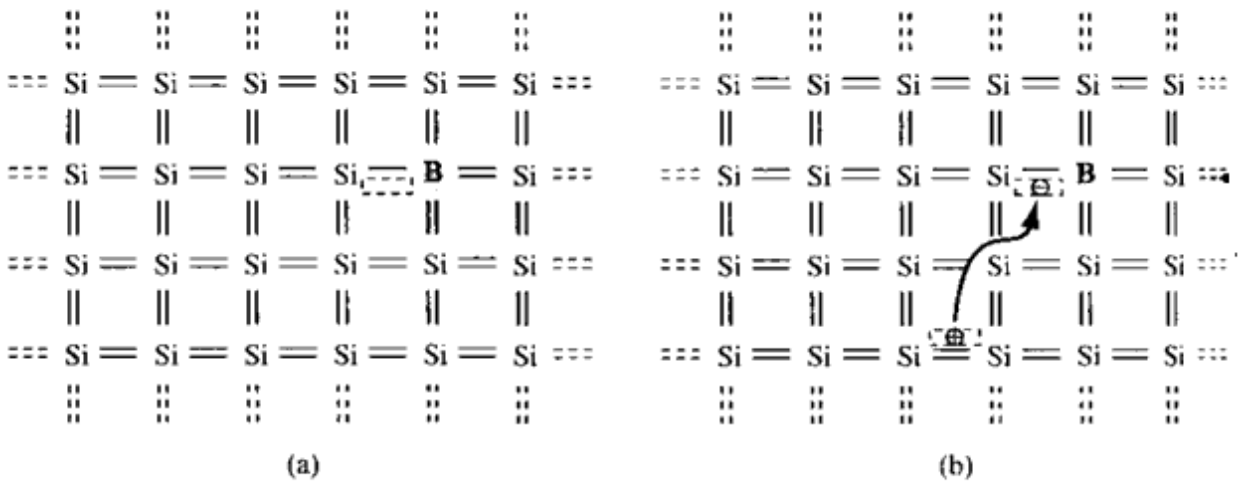
Nguyên tử photpho mà không có electron donor là hạt mang điện. Tính chất rớt thì p, electron donor liên kết với nguyên tử photpho. Tuy nhiên, bằng cách giác có thể d dàng thấy rằng nguyên tử có 5 electron donor vào trong vùng dẫn như vậy vì nguyên tử có 5 electron hóa trị lên vùng dẫn. Hình 4.5 chỉ ra vị trí nguyên tử như chúng ta tiên đoán. Mức năng lượng E_d là trạng thái năng lượng của electron donor.



Hình 4.5 | Giản đồ vùng năng lượng biểu diễn [a] trạng thái năng lượng donor rời rạc và [b] hiện tượng những donor bị ion hóa

Nếu một nguyên tử cho một electron của nó, chúng hình thành một ion âm. Các electron này có thể nhảy lên vùng dẫn, gọi là điện tử ion hóa. Trong tinh thể, electron trong vùng dẫn có thể di chuyển trong tinh thể tạo ra dòng điện, trong khi những hạt mang điện âm vẫn nằm ở vị trí của chúng. Loại nguyên tử cho electron vào vùng dẫn và gọi là nguyên tử cho. Những nguyên tử cho thêm electron vào vùng dẫn mà không tạo ra lỗ trống trong vùng hóa trị. Vật liệu cùng loại gọi là bán dẫn loại n (n là electron mang điện âm).

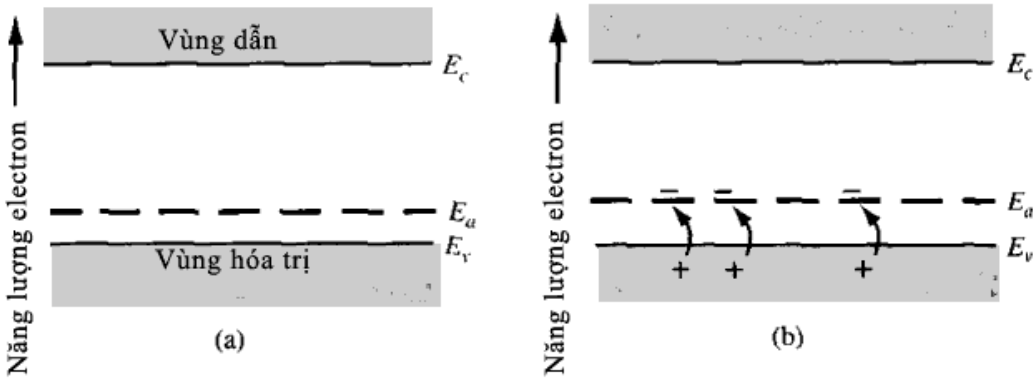
Bây giờ, xét trường hợp pha tạp nguyên tử nhóm III, chúng hình thành Bo vào bán dẫn Silicon. Những nguyên tử nhóm III có 3 electron hóa trị, tất cả chúng đều tham gia vào liên kết cộng hóa trị. Như được biểu diễn trong hình 4.6a, một vị trí liên kết cộng hóa trị bị trống. Nếu một electron nhảy vào vị trí "trống" này, nguyên tử của nó sẽ hình thành một nguyên tử ion hóa.



Hình 4.6 | Biểu diễn hai chiều của mạng Silic [a] được pha tạp bởi nguyên tử Bo [b] biểu diễn sự ion hóa nguyên tử Bo tạo ra lỗ trống

tr, b i v y tr ng thái i n tích c a nguyên t Bo s là âm. Tuy nhiên, electron chỉ m v trí “tr ng” này không có n ng l ng i vào trong vùng d n, vì n ng l ng c a nó nh h n r t nhi u n ng l ng vùng d n. Hình 4.6b bi u di n cách th c nh ng electron thu m t l ng nh nhi t n ng và di chuy n trong tinh th . V trí tr ng g n v i nguyên t Bo b chỉ m, và nh ng v trí c a electron hóa tr khác tr thành tr ng. Nh ng v trí electron tr ng này có th c xem là l tr ng trong v t li u bán d n.

Hình 4.7 bi u di n tr ng thái n ng l ng nh ã d oán c a nh ng v trí “tr ng” và s hình thành l tr ng trong vùng hóa tr . L tr ng có th di chuy n trong tinh th t o ra dòng i n, trong khi nguyên t Bo mang i n âm n m c nh trong tinh th . Nguyên t nhóm III nh n m t electron t vùng hóa tr và vì v y c g i là nguyên t t p ch t acceptor. Nguyên t acceptor có th t o ra l tr ng trong vùng hóa tr mà không t o ra electron trong vùng d n. L ai v t li u bán d n này c g i là bán d n l ai p (p dùng ch nh ng l tr ng mang i n d ng).



Hình 4.7 | Giản đồ vùng năng lượng cho thấy [a] Những trạng thái năng lượng acceptor rời rạc và [b] hiện tượng những trạng thái acceptor bị ion hóa

Vật liệu bán dẫn tinh thể tinh khiết là bán dẫn trong. Vì chúng ta thêm một lượng tạp chất có kiểm soát, hoặc cho nó trở thành bán dẫn pha tạp. Bán dẫn pha tạp có số electron tự do (bán dẫn loại n) hoặc lỗ trống tự do (loại p).

4.2.2 Năng lượng Ion hóa

Chúng ta có thể tính toán khoảng cách giữa mức năng lượng electron donor và ion pha tạp donor, và năng lượng cần thiết để đưa electron donor vào vùng dẫn. Năng lượng này được gọi là năng lượng ion hóa. Chúng ta có thể dùng mô hình Bohr cho việc tính toán này. Lý do dùng mô hình này là hiểu tính chất cách hành xử của electron tự do trong nguyên tử hydro, để xác định các hằng số liên quan với bán kính Bohr. Năng lượng trong nguyên tử hydro được xác định theo các hằng số liên quan với kết quả của lý thuyết Bohr.

Trong trường hợp nguyên tử tạp chất donor (cho), chúng ta có thể hình dung electron donor chuyển động xung quanh ion donor, nó được đưa vào vật liệu bán dẫn. Chúng ta sẽ sử dụng hằng số môi trường bán dẫn trong tính toán chứ không dùng hằng số môi trường không gian trống như được dùng trong trường hợp của nguyên tử hydro. Chúng ta sẽ dùng khối lượng hiệu dụng của electron trong tính toán.

Sự phân tích bắt đầu bằng cách thiết lập lực hút Coulomb giữa electron và ion donor với hằng số môi trường chuyển động của electron. Điều kiện này sẽ cho chúng ta một số kết quả. Chúng ta có

$$\frac{e^2}{4\pi\epsilon r_n^2} = \frac{m^*v^2}{r_n} \quad (4.27)$$

ây là l n v n t c và r_n là bán kính qu o. N u chúng ta gi s momen ng l ng c ng b l ng t hóa, thì chúng ta có th vi t

$$m^*r_n = n \quad (4.28)$$

ây n là s nguyên d ng. Tìm t ph ng trình (4.28), th vào trong ph ng trình (4.27), và tìm bán kính, chúng ta thu c

$$r_n = \frac{n^2 \hbar^2 4\pi\epsilon}{m^* e^2} \quad (4.29)$$

Gi thi t momen ng l ng b l ng t hóa d n n bán kính b l ng t hóa.

Bán kính Bohr c nh ngh a là

$$a_0 = \frac{4\pi\epsilon_0 \hbar^2}{m_0 e^2} = 0.53A^0 \quad (4.30)$$

L p t s gi a bán kính orbital ão và bán kính Bohr:

$$\frac{r_n}{a_0} = n^2 \epsilon_r \left(\frac{m_0}{m^*} \right) \quad (4.31)$$

âu r_n là h ng s i n môi t i c a v t li u bán d n, m_0 là kh i l ng ngh c a electron, và m^* là kh i l ng hi u d ng d n c a electron trong bán d n.

N u chúng ta xét tr ng thái n ng l ng th p nh t $n=1$, và n u chúng ta xét Silic có $\epsilon_r=11.7$ và kh i l ng hi u d ng d n là $m^*/m_0=0.26$ thì chúng ta có

$$\frac{r_1}{a_0} = 45 \quad (4.32)$$

Ho c $r_1=23.9 A^0$. Bán kính này t ng ng g n b ng 4 h ng s m ng trong silic. C n nh r ng m t ô n v trong silic th c t ch a 8 nguyên t , vì v y bán kính c a electron ão ch a ng nhi u nguyên t silic. Electron ão không liên k t ch t v i nh ng nguyên t ão.

N ng l ng toàn ph n c a electron do chuy n ng qu o là

$$E=T+V \tag{4.33}$$

ây T là năng lượng và V là thế năng của electron. Năng lượng là

$$T = \frac{1}{2} m^* v^2 \tag{4.34}$$

Dùng vận tốc từ phương trình (4.28) và bán kính r_n từ phương trình (4.29), năng lượng trở thành

$$T = \frac{m^* e^4}{2(n\hbar)^2 (4\pi\epsilon)^2} \tag{4.35}$$

Thế năng là

$$V = \frac{-e^2}{4\pi\epsilon r_n} = \frac{-m^* e^4}{(n\hbar)^2 (4\pi\epsilon)^2} \tag{4.36}$$

Năng lượng toàn phần là tổng của năng lượng và thế năng:

$$E = T + V = \frac{-m^* e^4}{2(n\hbar)^2 (4\pi\epsilon)^2} \tag{4.37}$$

Đối với nguyên tử hydro, $m^* = m_0$ và $\epsilon = \epsilon_0$. Năng lượng ion hóa của nguyên tử hydro trong trạng thái năng lượng thấp nhất là $E = -13.6 \text{ eV}$. Nếu chúng ta xét silic, năng lượng ion hóa là $E = -25.8 \text{ meV}$, nhỏ hơn rất nhiều so với năng lượng của silic. Năng lượng này gần bằng năng lượng ion hóa của nguyên tử ôno, hoặc năng lượng của một electron ôno vào vùng dẫn. Đối với những tạp chất ôno bình thường như phospho hoặc Arsen, mô hình nguyên tử hydro này hoàn toàn phù hợp và cho biết đúng năng lượng ion hóa. Bảng 4.3 liệt kê năng lượng ion hóa của một số tạp chất trong silic và Germani. Germani và silic có những sai khác môi trường và khối lượng hiệu dụng khác nhau; vì thế chúng ta tiên đoán rằng năng lượng ion hóa sẽ khác nhau.

Bảng 4.3] Năng lượng ion hóa tạp chất trong Si và Ge

Tạp chất	Năng lượng ion hóa [eV]	
	Si	Ge
<i>Donors</i>		
P	0.045	0.012
As	0.05	0.0127
<i>Acceptors</i>		
Bo	0.045	0.0104
Al	0.06	0.0102

4.2.3 Bán dẫn nhóm III-V

Trong phần trước, chúng ta đã thảo luận về các pha tạp cho và acceptor vào bán dẫn nhóm IV, ví dụ silic. Trong hợp bán dẫn hợp chất nhóm III-V, chẳng hạn như GaAs, pha tạp hợp. Những nguyên tố nhóm II, chẳng hạn như Berili, Kẽm, Cadimi, có thể đưa vào mạng tinh thể, thay thế cho nguyên tố Ga nhóm III trở thành tạp chất acceptor. Tương tự, những nguyên tố nhóm VI, chẳng hạn như Selen và Telu, có thể đưa vào mạng thay cho nguyên tố Arsen nhóm V trở thành tạp chất cho. Năng lượng ion hóa tăng dần của các tạp chất này như hình vẽ những tạp chất trong silic. Năng lượng ion hóa của cho trong GaAs cũng như hình vẽ những ion hóa của acceptor, bởi vì khi đi xuống dãy các electron như hình vẽ trước.

Những nguyên tố nhóm IV, chẳng hạn như silic và Germani cũng có thể là những nguyên tố pha tạp trong GaAs. Nếu một nguyên tố silic thay thế một nguyên tố Gali, tạp chất silic sẽ đóng vai trò như cho, nếu nếu nguyên tố silic thay thế nguyên tố arsen thì tạp chất silic đóng vai trò như acceptor. Điều này cũng đúng với Germani cũng vậy. Những tạp chất như thế cũng là những tính. Thực nghiệm điều này với GaAs, người ta nhận thấy rằng Germani thường làm acceptor như và silic thường làm cho như. Bảng 4.4 liệt kê năng lượng ion hóa của vài nguyên tố tạp chất khác nhau trong GaAs.

Bảng 4.4] Năng lượng ion hóa tạp chất trong GaAs

Tạp chất	Năng lượng ion hóa (eV)
<i>Donors</i>	
Selenium	0.0059
Tellurium	0.0058
Silicon [Silic]	0.0058
Germanium	0.0061
<i>Acceptors</i>	
Beryllium	0.028
Zinc [kẽm]	0.0307
Cadmium	0.0347
Silicon	0.0345
Germanium	0.0404

KIỂM TRA KIẾN THỨC

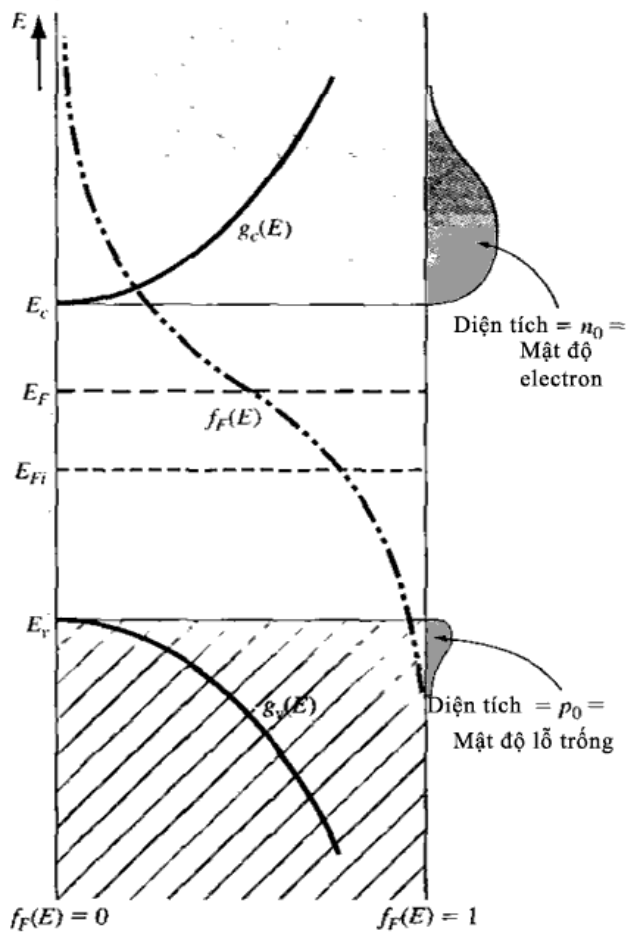
E4.7 Tính bán kính (so với bán kính Bohr) của electron cho trong trạng thái năng lượng thấp nhất trong GaAs.

4.3|BÁN DẪN PHA TẠP

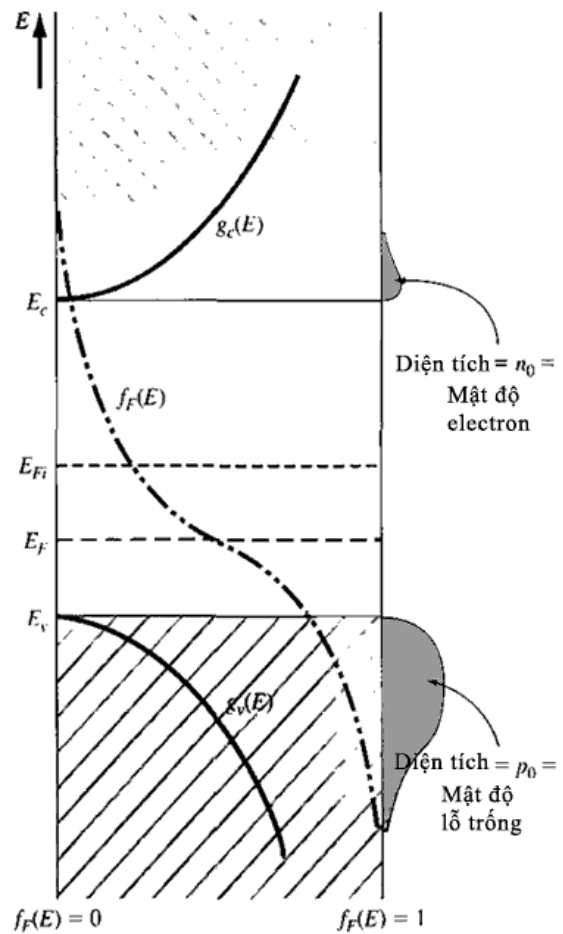
Chúng ta đã nghiên cứu bán dẫn rỗng là vật liệu không có nhúng nguyên tử tạp chất
còn đưa vào trong mạng tinh thể của nó. Bán dẫn pha tạp còn nghiên cứu là bán
dẫn mà trong đó có một lượng nhỏ các tạp chất kích thước cỡ nhúng nguyên tử pha tạp
vào sao cho một electron và một trạng thái cân bằng nhiệt khác với những hạt
tự do riêng. Mỗi loại bán dẫn pha tạp có một loại hạt tải điện chính ưu thế trong nó.

4.3.1 Phân bố electron và một trạng thái cân bằng

Việc thêm vào nhúng nguyên tử tạp chất donor và acceptor vào bán dẫn thuần làm thay
đổi nhúng electron và một trạng thái trong vật liệu. Bởi vì nhúng Fermi có liên quan
đến hàm phân bố, nhúng Fermi sẽ thay đổi khi nhúng nguyên tử kích thước cỡ
thêm vào. Nhúng nhúng Fermi thay đổi so với nhúng nhúng gợn sóng, một
electron trong vùng dẫn và một một trạng thái trong vùng hóa trị sẽ thay đổi. Những
hiệu ứng này được biểu diễn trong hình 4.8 và 4.9. Hình 4.8 biểu diễn trạng thái
 $E_F > E_{Fi}$ và hình 4.9 biểu diễn trạng thái $E_F < E_{Fi}$. Khi $E_F > E_{Fi}$, một electron
lên nhúng một một trạng thái, và khi $E_F < E_{Fi}$, một một trạng thái



Hình 4.8] Hàm mật độ trạng thái, hàm phân bố Fermi-Dirac, và diện tích biểu diễn mật độ electron và lỗ trống trong trường hợp mức Fermi ở trên mức Fermi riêng



Hình 4.9] Hàm mật độ trạng thái, hàm phân bố Fermi-Dirac, và diện tích biểu diễn mật độ electron và lỗ trống trong trường hợp mức Fermi thấp hơn mức Fermi riêng

h n m t electron. Khi m t electron l n h n m t l tr ng, bán d n là l ai n ; nh ng nguyên t ã c thêm vào. Khi m t l tr ng l n h n m t electron, bán d n là l ai p ; nh ng nguyên t t p ch t acceptor ã c thêm vào. M c n ng l ng Fermi trong bán d n thay i khi m t electron và l tr ng thay i và, m t l n n a, n ng l ng Fermi l i thay i khi t p ch t ã c thêm vào. S thay i c a m c Fermi nh m t hàm c a n ng ch t pha t p c xem xét trong ph n 4.6.

Những biểu thức rút ra trên đây cho nồng độ electron và lỗ trống trong trạng thái cân bằng nhiệt (4.11) và (4.19) là phương trình tổng quát cho n_0 và p_0 theo nồng độ Fermi. Những phương trình này là

$$n_0 = N_c \exp\left[\frac{-(E_c - E_F)}{kT}\right]$$

Và

$$p_0 = N_v \exp\left[\frac{-(E_F - E_v)}{kT}\right]$$

Như chúng ta đã thấy, nồng độ Fermi có thể thay đổi trong khe năng lượng, do đó nó sẽ làm thay đổi n_0 và p_0 .

VÍ D 4.5

Tính nồng độ electron và lỗ trống cân bằng nhiệt trong silicon nồng độ Fermi cho trước.

Xét silicon ở $T=300K$ sao cho $N_c=2.8 \times 10^{19} \text{ cm}^{-3}$ và $N_v=1.04 \times 10^{19} \text{ cm}^{-3}$. Giả sử rằng nồng độ Fermi thấp hơn nồng độ vùng dẫn là 0.25 eV. Nếu chúng ta giả sử rằng mức khe năng lượng của silicon là 1.12 eV, thì nồng độ Fermi nằm trên nồng độ vùng hóa trị là 0.87 eV.

- **Giá trị**

Dùng phương trình (4.11), chúng ta có

$$n_0 = (2.8 \times 10^{19}) \exp\left(\frac{-0.25}{0.0259}\right) = 1.8 \times 10^{15} \text{ cm}^{-3}$$

Tương tự, dùng phương trình (4.19), chúng ta có thể viết

$$p_0 = (1.04 \times 10^{19}) \exp\left(\frac{-0.87}{0.0259}\right) = 2.7 \times 10^4 \text{ cm}^{-3}$$

- **Kết luận**

Sự thay đổi mức Fermi thực sự là một hàm theo nồng độ tạp chất donor và acceptor được thêm vào bán dẫn. Tuy nhiên thí dụ này chỉ là một ví dụ về nồng độ electron và lỗ trống thay đổi vài bậc lớn so với nồng độ nội tại riêng khi nồng độ Fermi thay đổi vài phần thập phân của 1 eV.

Trong ví dụ này, bởi vì $n_0 > p_0$, bán dẫn là loại n. Trong bán dẫn loại n, electron đóng vai trò là hạt tải điện và lỗ trống là hạt tải điện thiểu số. Tương tự,

trong bán dẫn loại p , đây $p_0 > n_0$, lỗ trống là hạt tải chính và electron là hạt tải thiểu số.

Chúng ta có thể rút ra dạng khác của phương trình mật độ cân bằng nhiệt của electron và lỗ trống. Nếu chúng ta cộng và trừ năng lượng Fermi riêng vào trong hàm mật độ của phương trình (4.11), chúng ta có thể viết

$$n_0 = N_c \exp\left[\frac{-(E_c - E_{Fi}) + (E_F - E_{Fi})}{kT}\right] \quad (4.38a)$$

Hoặc

$$n_0 = N_c \exp\left[\frac{-(E_c - E_{Fi})}{kT}\right] \exp\left[\frac{(E_F - E_{Fi})}{kT}\right] \quad (4.38b)$$

Năng lượng Fermi riêng cho bán dẫn loại p là

$$n_i = N_c \exp\left[\frac{-(E_c - E_{Fi})}{kT}\right]$$

vì vậy năng lượng electron cân bằng nhiệt có thể viết là

$$n_0 = n_i \exp\left[\frac{(E_F - E_{Fi})}{kT}\right] \quad (4.39)$$

Tương tự, nếu chúng ta cộng và trừ năng lượng Fermi riêng vào hàm mật độ của phương trình (4.19), chúng ta sẽ thu được

$$p_0 = n_i \exp\left[\frac{-(E_F - E_{Fi})}{kT}\right] \quad (4.40)$$

Như chúng ta sẽ thấy, mật độ Fermi thay đổi khi cho donor và acceptor thêm vào, như phương trình (4.39) và (4.40) chứng tỏ rằng, khi mật độ Fermi thay đổi so với mật độ Fermi riêng, n_0 và p_0 thay đổi với giá trị n_i . Nếu $E_F > E_{Fi}$ thì chúng ta sẽ có $n_0 > n_i$ và $p_0 < n_i$. Mật độ tính chất của bán dẫn loại n là $E_F > E_{Fi}$ vì vậy $n_0 > p_0$. Tương tự, trong bán dẫn loại p , $E_F < E_{Fi}$ vì vậy $p_0 > n_i$ và $n_0 < n_i$; do đó $p_0 > n_0$.

Chúng ta có thể thay thế n_0 và p_0 vào E_F trong hình 4.8 và 4.9. Khi E_F di chuyển lên trên hoặc xuống dưới E_{Fi} , sẽ xen kẽ các hàm xác suất và hàm mật độ trạng thái trong vùng dẫn và vùng hóa trị thay đổi. Khi E_F nằm trên

E_{Fi} , hàm xác suất trong vùng dẫn trống, trong khi xác suất $1-f_F(E)$ của trạng thái trống trong vùng hóa trị giảm. Khi E_F nằm dưới E_{Fi} , trạng thái trống sẽ chiếm ưu thế.

4.3.2 Tích $n_0 p_0$

Chúng ta có thể lấy tích của biểu thức n_0 và p_0 cho ta kết quả trong phương trình (4.11) và (4.19). Kết quả là

$$n_0 p_0 = N_c N_v \exp\left[\frac{-(E_c - E_F)}{kT}\right] \exp\left[\frac{-(E_F - E_v)}{kT}\right] \quad (4.41)$$

Nó có thể viết lại là

$$n_0 p_0 = N_c N_v \exp\left[-\frac{E_g}{kT}\right] \quad (4.42)$$

Bởi vì phương trình (4.42) rút ra cho giá trị tổng quát của năng lượng Fermi, giá trị của n_0 và p_0 không nhất thiết bằng nhau. Tuy nhiên, phương trình (4.42) gần đúng chính xác với phương trình (4.23), là phương trình mà chúng ta đã rút ra cho trạng thái cân bằng bán dẫn tròn. Do đó, đối với bán dẫn trạng thái cân bằng nhiệt, chúng ta có,

$$n_0 p_0 = n_i^2 \quad (4.43)$$

Phương trình (4.43) phát biểu rằng tích của n_0 và p_0 luôn luôn là hằng số nội tại của bán dẫn cho bất kỳ mức nhiệt độ nào. Mặc dù phương trình này đúng như một nguyên lý, nhưng nó là một trong những nguyên lý cơ bản của bán dẫn trạng thái cân bằng nhiệt. Ý nghĩa của biểu thức này sẽ trở nên rõ ràng hơn trong chương tiếp theo. Cần nhớ rằng phương trình (4.43) rút ra dùng gần đúng Boltzmann. Nếu gần đúng Boltzmann không áp dụng được, thì ngược lại, phương trình (4.43) cũng không có giá trị.

Nói một cách nghiêm túc, bán dẫn pha tạp trạng thái cân bằng nhiệt không chỉ có các hạt tải điện riêng, mà cũng có thể có một số hạt tải điện do nhiệt. Năng lượng electron và lỗ trống riêng biệt thay đổi do chất pha tạp cho và acceptor. Tuy nhiên, chúng ta có thể xem xét riêng n_i trong phương trình (4.43) gần đúng như là một thông số nội tại của bán dẫn.

*4.3.3 Tích phân Fermi-Dirac

Trong ví dụ rút ra phương trình (4.11) và (4.19) cho nồng độ electron và mật độ trạng thái cân bằng nhiệt, chúng ta đã sử dụng gần đúng Boltzmann. Nếu không sử dụng gần đúng Boltzmann, nồng độ electron và mật độ trạng thái cân bằng nhiệt có ví dụ phương trình (4.3) là

$$n_0 = \frac{4\pi}{h^3} (2m_n^*)^{3/2} \int_{E_c}^{\infty} \frac{(E - E_c)^{1/2} dE}{1 + \exp\left(\frac{E - E_F}{kT}\right)} \quad (4.44)$$

Nếu muốn liên hệ chúng ta với biến và

$$\eta = \frac{E - E_c}{kT} \quad (4.45a)$$

Và còn nhận được

$$\eta_F = \frac{E_F - E_c}{kT} \quad (4.45b)$$

Thì chúng ta có thể viết lại phương trình (4.44) là

$$n_0 = 4\pi \left(\frac{2m_n^* kT}{h^2}\right)^{3/2} \int_0^{\infty} \frac{\eta^{1/2} d\eta}{1 + \exp(\eta - \eta_F)} \quad (4.46)$$

Tích phân Fermi có thể nhận được là

$$F_{1/2}(\eta_F) = \int_0^{\infty} \frac{\eta^{1/2} d\eta}{1 + \exp(\eta - \eta_F)} \quad (4.47)$$

Hàm này, có thể gọi là tích phân Fermi-Dirac, là hàm đặc biệt theo biến η_F . Hình 4.10 là đồ thị của hàm Fermi-Dirac. Chú ý rằng nếu $\eta_F > 0$ thì $E_F > E_c$; vì thế nồng độ Fermi thực sự trong vùng dẫn.

VÍ DỤ 4.6

Tính nồng độ electron dùng tích phân Fermi-Dirac.

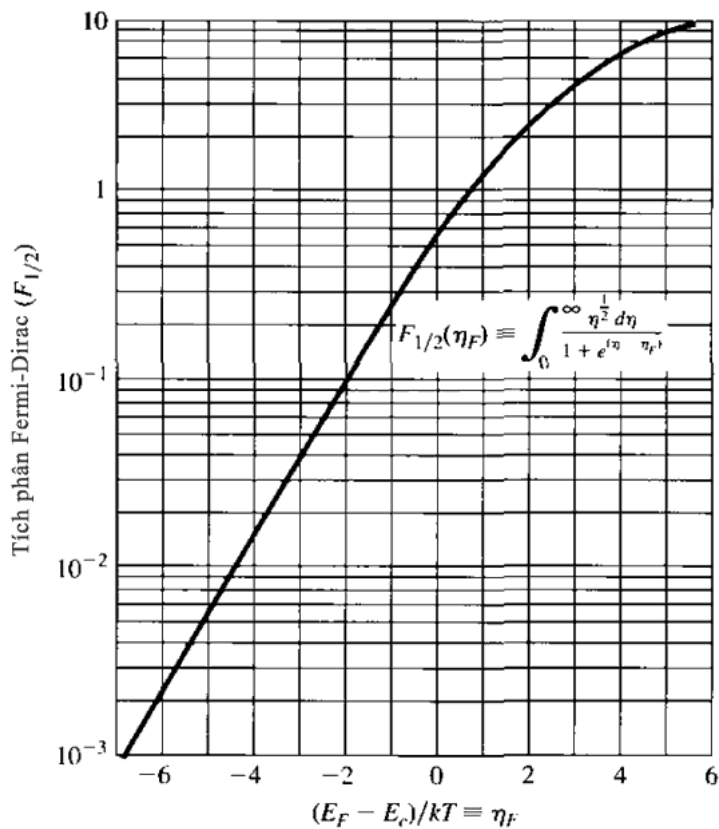


Figure 4.10 Tích phân Fermi-Dirac $F_{1/2}$ là hàm số theo năng lượng Fermi

tại $\eta_F=2$ sao cho nồng độ Fermi trên vùng dẫn khoảng 52 meV tại $T=300\text{K}$.

- Giá trị

Phương trình (4.46) có thể viết là

$$n_0 = \frac{2}{\sqrt{\pi}} N_c F_{1/2}(\eta_F)$$

trong trường hợp của silic tại 300K , $N_c = 2.8 \times 10^{19} \text{ cm}^{-3}$, và từ phương trình 4.10, tích phân Fermi-Dirac có giá trị là $F_{1/2}(2) = 2.3$. Do đó

$$n_0 = \frac{2}{\sqrt{\pi}} (2.8 \times 10^{19})(2.3) = 7.27 \times 10^{19} \text{ cm}^{-3}$$

- Kết luận

Chú ý rằng nếu chúng ta sử dụng phương trình (4.11), giá trị trạng thái cân bằng nhiệt của $n_0 = 2.08 \times 10^{20} \text{ cm}^{-3}$, nó không chính xác bởi vì giả định Boltzmann không đúng trong trường hợp này.

Chúng ta có thể dùng phương pháp tổng quát tính nồng độ các trạng thái cân bằng nhiệt. Chúng ta thu được

$$p_0 = 4\pi \left(\frac{2m_p^* kT}{h^2} \right)^{3/2} \int_0^\infty \frac{(\eta')^{1/2} d\eta'}{1 + \exp(\eta' - \eta'_F)} \quad (4.48)$$

ây

$$\eta' = \frac{E_v - E}{kT} \quad (4.49a)$$

Và

$$\eta'_F = \frac{E_v - E_F}{kT} \quad (4.49b)$$

Tích phân trong phương trình (4.48) tương tự với tích phân Fermi-Dirac của phương trình (4.47), mặc dù bị ngược dấu khác. Chúng ta chú ý rằng nếu $E_F > 0$, thì mức Fermi trong vùng hóa trị.

KIỂM TRA KIẾN THỨC

E4.8 Tính toán nồng độ electron cân bằng nhiệt trong silic ở vị trí trung lập $E_F = E_c$ và $T = 300K$.

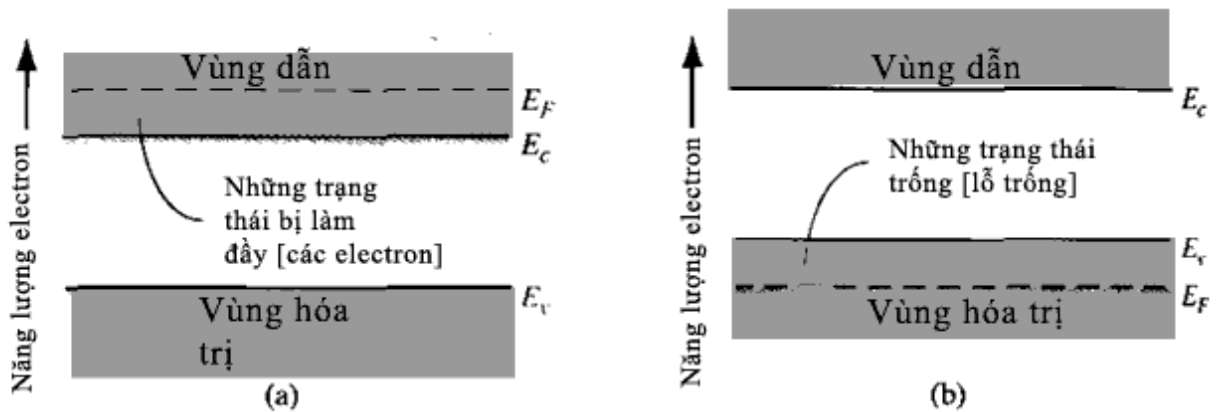
4.3.4 Bán dẫn suy biến và không suy biến

Trong quá trình khảo sát việc thêm nhúng nguyên tử tạp chất vào trong vật liệu bán dẫn, chúng ta đã giả sử rằng nguyên tử tạp chất có thêm vào nhúng số valence của bán dẫn gốc. Một số lượng nhỏ nguyên tử tạp chất có thể xa nhau sao cho không có tương tác giữa các nguyên tử, chẳng hạn, trong vật liệu loại n . Chúng ta đã giả sử rằng nguyên tử tạp chất đưa vào nhúng trạng thái năng lượng donor rời rạc, không tương tác trong bán dẫn loại n và nhúng trạng thái acceptor rời rạc, không tương tác trong bán dẫn loại p . Nhúng loại bán dẫn này được gọi là bán dẫn không suy biến.

Nếu mật độ tạp chất tăng lên, bằng cách giả định nguyên tử tạp chất gần nhau và ở một lúc nào đó các nguyên tử donor bắt đầu tương tác với nhau. Khi hiện tượng xuất hiện, năng lượng donor rời rạc riêng lẻ tách thành vùng năng lượng. Khi mật độ donor tăng thêm nữa, vùng trạng thái donor mở rộng và có thể xen phủ vào vùng dẫn. Sự xen phủ này xuất hiện khi năng lượng donor gần bằng mật độ trạng thái hóa trị. Khi năng lượng electron trong vùng dẫn vượt

quá m t tr ng thái N_c , n ng l ng Fermi n m trong vùng d n. L ai bán d n này c g i là bán d n suy bi n l ai n .

C ng theo cách t ng t , khi n ng ch t pha t p acceptor t ng trong bán d n l ai p , nh ng tr ng thái n ng l ng acceptor r i r c s tách thành vùng n ng l ng và có th xen ph nh c a vùng hóa tr . N ng l ng Fermi s n m trong vùng hóa tr khi n ng l tr ng v t quá m t tr ng thái N_v . L ai bán d n này c g i là bán d n suy bi n l ai p .



Hình 4.11 | Giản đồ vùng năng lượng đơn giản hóa của bán dẫn suy biến [a] loại n và [b] loại p

Mô hình s vùng n ng l ng c a bán d n suy bi n l ai n và bán d n l ai p c bi u di n trong hình 4.11. Nh ng tr ng thái n ng l ng bên d i E_F ch y u c làm y b i electron và nh ng tr ng thái n ng l ng bên trên E_F ch y u c làm y b i l tr ng. Trong bán d n suy bi n l ai n , nh ng tr ng thái gi a E_F và E_c ch y u c làm y b i các electron; vì th m t electron trong vùng d n r t l n. T ng t , trong bán d n suy bi n l ai p , nh ng tr ng thái n ng l ng gi a E và E_F ch y u c làm y b i l tr ng; vì th m t l tr ng trong vùng hóa tr r t l n.

4.4 | TH NG KÊ C A ĐONO VÀ ACCEPTOR

Trong ch ng tr c, chúng ta ã th o lu n hàm phân b Fermi-Dirac, nó cho bi t xác su t mà m t tr ng thái n ng l ng nào ó s b chi m b i m t electron. Chúng ta c n xem xét l i hàm này và áp d ng th ng kê xác su t cho nh ng tr ng thái dono và acceptor.

4.4.1 Hàm xác suất

Một nguyên lý cơ bản dùng trong việc rút ra hàm xác suất Fermi-Dirac là nguyên lý loại trừ Pauli, nó phát biểu rằng chỉ một electron có thể chiếm một trạng thái lượng tử. Nguyên lý loại trừ Pauli cũng áp dụng cho những trạng thái donor và acceptor.

Giả sử chúng ta có N_i electron và g_i trạng thái lượng tử, đây chỉ số đếm dùng để đếm các mức năng lượng khác nhau. Có g_i cách chọn vị trí cho các electron. Mỗi mức donor có thể có 2 hướng spin cho electron donor; vì thế mỗi mức donor có 2 trạng thái lượng tử. Tuy nhiên, sự chèn một electron vào một trạng thái lượng tử sẽ ngăn cản việc thêm electron vào trạng thái lượng tử thứ 2. Bởi vì việc thêm 1 electron, đòi hỏi phải chuyển các nguyên tử để thỏa mãn, và việc thêm electron thứ 2 vào mức donor là không thể.

Hàm xác suất một electron chiếm một trạng thái donor là

$$n_d = \frac{N_d}{1 + \frac{1}{2} \exp\left(\frac{E_d - E_F}{kT}\right)} \quad (4.50)$$

Đây n_d là số electron chiếm một mức donor và E_d là năng lượng của mức donor. Thừa số $1/2$ trong phương trình này là kết quả từ các tính toán spin và các cặp. Thừa số $1/2$ thể hiện rằng các vị trí là $1/g$, đây g các giá trị suy biến.

Phương trình (4.50) cũng có thể viết dưới dạng

$$n_d = N_d - N_d^+ \quad (4.51)$$

Đây N_d^+ là một donor bị ion hóa. Trong những ứng dụng, chúng ta sẽ quan tâm đến một donor bị ion hóa hơn là một electron trạng thái donor.

Nếu chúng ta phân tích tổng thể về những nguyên tử acceptor, chúng ta thu được biểu thức

$$p_a = \frac{N_a}{1 + \frac{1}{g} \exp\left(\frac{E_F - E_a}{kT}\right)} = N_a - N_a^- \quad (4.52)$$

Đây N_a là một nguyên tử acceptor, E_a là mức năng lượng acceptor, p_a là một lượng trạng thái acceptor, và N_a^- là một acceptor bị ion hóa. Một lượng

trong mật trạng thái acceptor tương đương với mật nguyên tử acceptor trung hòa i_n và mật vị trí liên kết “trung” như chúng ta thảo luận trong phần 4.2.1. Hệ số g này cũng có giá là 2 suy biến. Thảo luận suy biến trạng thái con thành lý là 4 vị trí acceptor trong silic và GaAs do cấu trúc vùng con chúng.

4.4.2 Ion hóa hoàn toàn và công bằng

Hàm xác suất mật electron chi mật trạng thái năng lượng n_0 và n_d cho bởi phương trình (4.50). Nếu chúng ta giả sử rằng $(E_d - E_F) \gg kT$, thì

$$n_d \approx \frac{N_d}{2 \exp\left(\frac{E_d - E_F}{kT}\right)} = 2N_d \exp\left[\frac{-(E_d - E_F)}{kT}\right] \quad (4.53)$$

Nếu $(E_d - E_F) \gg kT$ thì gần đúng Boltzmann cũng đúng với năng lượng electron trong vùng dẫn sao cho, phương trình (4.11),

$$n_0 = N_c \exp\left[\frac{-(E_c - E_F)}{kT}\right]$$

Chúng ta có thể xác định số electron trạng thái năng lượng electron. Dùng những biểu thức phương trình (4.53) và (4.11), chúng ta viết

$$\frac{n_d}{n_d + n_0} = \frac{2N_d \exp\left[\frac{-(E_d - E_F)}{kT}\right]}{2N_d \exp\left[\frac{-(E_d - E_F)}{kT}\right] + N_c \exp\left[\frac{-(E_c - E_F)}{kT}\right]} \quad (4.54)$$

Mức Fermi sẽ bị triệt tiêu trong biểu thức này. Chia tử và mẫu cho biểu thức, chúng ta thu được

$$\frac{n_d}{n_d + n_0} = \frac{1}{1 + \frac{N_c}{2N_d} \exp\left[\frac{-(E_c - E_d)}{kT}\right]} \quad (4.55)$$

Thảo luận $(E_c - E_d)$ chính là năng lượng ion hóa của năng lượng electron.

VÍ D 4.7

Xác định phân electron trạng thái năng lượng $T=300K$ so với năng lượng electron.

Xét photpho pha vào trong silic, $T=300K$, nồng độ pha tạp N_d là 10^{16} cm^{-3} .

▪ **Giới thiệu**

Dùng phương trình (4.55), chúng ta tìm được

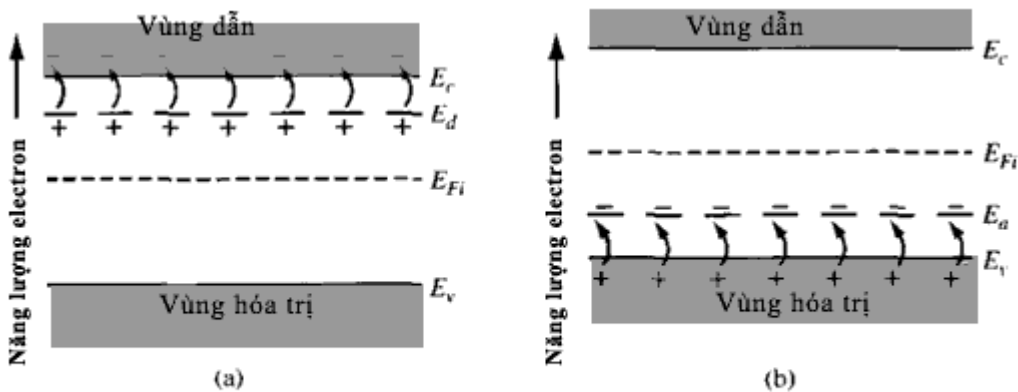
$$\frac{n_d}{n_d + n_0} = \frac{1}{1 + \frac{2.8 \times 10^{19}}{2(10^{16})} \exp\left[\frac{-0.045}{0.0259}\right]} = 0.0041 = 0.41\%$$

▪ **Kết luận**

Ví dụ này chứng tỏ rằng có rất ít electron trong trạng thái ion so với các electron vùng dẫn. Vì vậy, tất cả các electron trong trạng thái ion đều ở trong vùng dẫn và, bởi vì chỉ 0.4% trong trạng thái ion chứa electron, nên trạng thái ion thực sự là bị ion hóa hoàn toàn.

Do đó, vì vậy, tất nhiên là phòng ngừa trạng thái ion bị ion hóa hoàn toàn, vì vậy nồng độ pha tạp thông thường 10^{16} cm^{-3} , hầu hết tất cả những nguyên tử pha tạp cho electron lên vùng dẫn.

Vì vậy, tất nhiên là phòng ngừa có sự ion hóa hoàn toàn như nguyên tử acceptor. Vì vậy, điều này có nghĩa là mọi nguyên tử acceptor sẽ nhận mất electron từ vùng hóa trị vì thế p_a bằng 0. Tất nhiên là pha tạp acceptor nhìn hình, mặt khác trạng thái ion của nó trong vùng hóa trị cho mọi nguyên tử acceptor. Hiểu nguyên nhân này và sự tồn tại electron và lỗ trống trong vùng dẫn và vùng hóa trị tương ứng sẽ được đề cập trong hình 4.12.

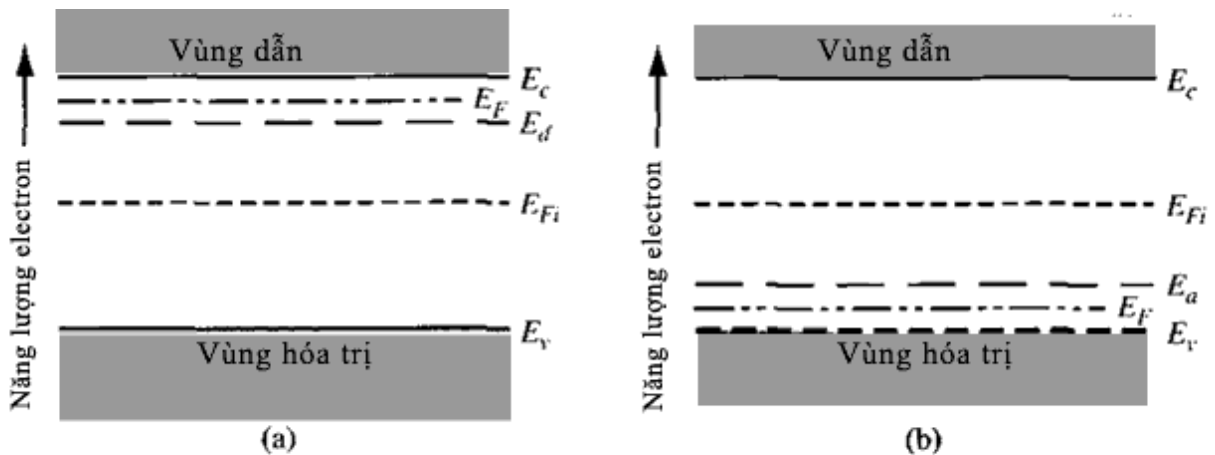


Hình 4.12 | Biểu đồ năng lượng biểu diễn sự ion hóa hoàn toàn của [a] những trạng thái donor [b] những trạng thái acceptor

Trong hình vẽ, các lỗ trống trong hình bị ion hóa hoàn toàn xuất hiện tại $T=0K$. Tuy nhiên, tất cả các electron trong trạng thái ion sẽ không thể có thể có nó;

nghĩa là, vì vì bán dẫn loại n, mật độ trạng thái conduction electron, do đó $n_d = N_d$ hoặc $N_d^+ = 0$. Do đó, từ phương trình (4.50) chúng ta phải có $\exp[(E_d - E_F)/kT] = 0$. Bởi vì $T = 0K$, điều này xảy ra khi $\exp(-) = 0$, có nghĩa là $E_F > E_d$. Mật độ trạng thái Fermi phải trên mức conduction không tùy tiện. Trong trường hợp bán dẫn loại p thì không tùy tiện, nhưng nguyên tắc phải chặt chẽ không chấp nhận electron nào, vì thế mức Fermi phải đi xuống mức acceptor. Sự phân bố của electron vào những trạng thái năng lượng khác nhau, và vì thế năng lượng Fermi là hàm của nhiệt độ.

Sự phân tích chi tiết không cần đưa vào trong tài liệu này chỉ cần trình bày tại $T = 0K$, năng lượng Fermi phải gần E_c và E_d vì bán dẫn loại n và gần E_a và E_v vì bán dẫn loại p. Hình 4.13 cho thấy những hiệu ứng này. Không có electron nào ở trạng thái conduction của lên do nhiệt độ vào vùng dẫn; hiệu ứng này có nghĩa là đóng băng. Tương tự, khi không có electron nào ở vùng hóa trị của vào những trạng thái acceptor, hiệu ứng này cũng có nghĩa là đóng băng.



Hình 4.13 | Giảm đồ năng lượng tại $T = 0$ đối với bán dẫn
[a]loại n [b]loại p

Giả sử $T = 0K$, đóng băng, và $T = 300K$, ion hóa hoàn toàn, chúng ta có sự ion hóa những nguyên tử conduction và acceptor một phần.

VÍ DỤ 4.8

Xác định nhiệt độ mà tại đó 90% những nguyên tử acceptor bị ion hóa.

Xét silic loại p có pha Bo vào với mật độ $N_a = 10^{16} \text{ cm}^{-3}$.

- **Gi i**

Tìm t s l tr ng tr ng thái acceptor so v i t ng s l tr ng trong vùng hóa tr c ng v i tr ng thái acceptor. S d ng g n úng Boltzmann và gi s h s suy bi n là $g = 4$, chúng ta vi t

$$\frac{p_a}{p_0 + p_a} = \frac{1}{1 + \frac{N_v}{4N_a} \exp\left[\frac{-(E_a - E_v)}{kT}\right]}$$

Trong tr ng h p 90% b ion hóa,

$$\frac{p_a}{p_0 + p_a} = 0.10 = \frac{1}{1 + \frac{(1.04 \times 10^{19}) \left(\frac{T}{300}\right)^{3/2}}{4(10^{16})} \exp\left[\frac{-0.045}{0.0259 \left(\frac{T}{300}\right)}\right]}$$

Dùng ph ng pháp th sai, chúng ta tìm c $T = 193K$.

- **K t lu n**

Thí nghi m này ch ng t r ng t i nhi t th p h n nhi t phòng kh ang $100^0 C$, chúng ta v n có 90% nh ng nguyên t acceptor b ion hóa; nói cách khác, 90% nh ng nguyên t acceptor ã a l tr ng vào vùng hóa tr .

KI M TRA KI N TH C

E4.9 Xác nh ph n trong t ng s l tr ng v n trong tr ng thái acceptor c a silic t i $T = 300K$ khi pha vào Bo có m t là $N_a = 10^{17} cm^{-3}$.

E4.10 Xét silic c pha photpho v i n ng là $N_d = 5 \times 10^{15} cm^{-3}$. V th bi u di n t l ph n tr m nh ng nguyên t t p ch t b ion hóa theo nhi t trong kh ang $100 T 400K$.

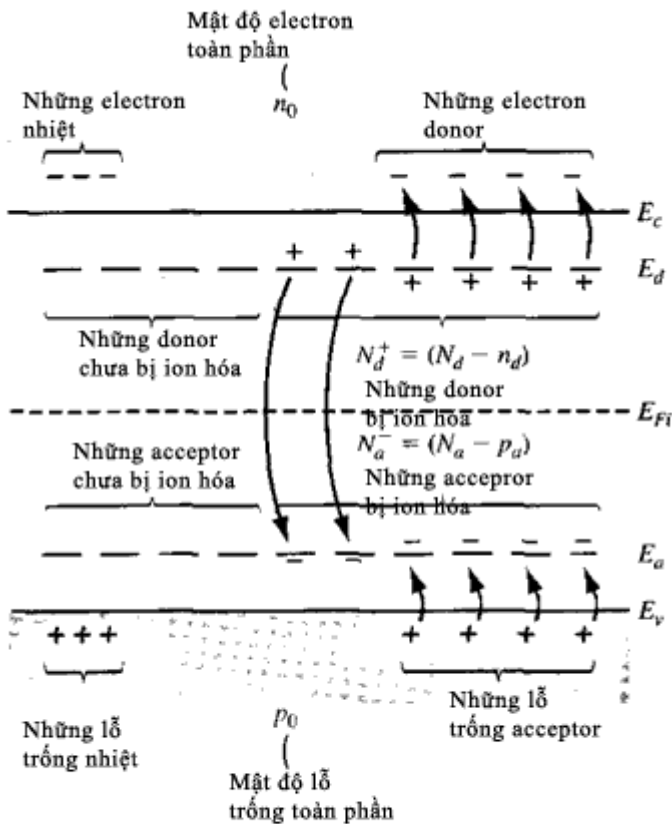
4.5|S TRUNG HÒA I N

tr ng thái cân b ng nhi t, tinh th bán d n trung hòa i n. Nh ng electron c phân b vào nh ng tr ng thái n ng l ng khác nhau, t o ra nh ng h t mang i n âm và d ng, nh ng m t dòng i n toàn ph n b ng 0. i u ki n trung hòa i n này c dùng xác nh m t electron và l tr ng cân b ng nhi t nh m t hàm theo m t t p ch t pha t p. Chúng ta s nh ngh a bán d n bù và r i xác nh m t electron và l tr ng nh m t hàm c a m t ono và acceptor.

4.5.1 Bán d n bù

Bán dẫn bù là loại bán dẫn chứa cả những nguyên tử pch và acceptor trong cùng một vùng. Bán dẫn bù có thể hình thành bằng cách khuếch tán pch acceptor vào vật liệu loại n hoặc bằng cách khuếch tán pch vào vật liệu loại p. Chúng ta có bán dẫn bù loại n khi $N_d > N_a$, và bán dẫn bù loại p khi $N_a > N_d$. Nếu $N_a = N_d$, chúng ta có bán dẫn hoàn toàn bù là loại bán dẫn có tính chất như bán dẫn ròng. Sau này chúng ta sẽ thấy rằng bán dẫn bù có thể tạo ra một cách hoàn toàn tự nhiên trong quá trình chế tạo vật liệu.

4.5.2 Mật độ electron và lỗ trống trong trạng thái cân bằng



Hình 4.14 Sơ đồ vùng năng lượng của bán dẫn bù cho thấy những donor và những acceptor bị ion hóa và chưa bị ion hóa

Ở đây n_0 và p_0 tương ứng là mật độ electron và lỗ trống trong trạng thái cân bằng nhiệt trong vùng dẫn và vùng hóa trị. Thông số n_d là mật độ electron trong trạng thái không ion hóa, vì vậy $N_d^+ = N_d - n_d$ là mật độ những trạng thái donor tích điện dương. Tương tự, p_a là mật độ lỗ trống trong trạng thái acceptor, vì vậy $N_a^- = N_a - p_a$ là mật độ

Hình 4.14 biểu diễn những năng lượng của bán dẫn khi cả những nguyên tử pch và acceptor được thêm vào cùng một vùng hình thành bán dẫn bù. Hình này chỉ ra cách thức mà những electron và lỗ trống được phân bố vào những trạng thái khác nhau.

Điều kiện trung hòa điện được biểu hiện qua sự cân bằng nhau của mật độ những hạt mang điện dương và mật độ những hạt mang điện âm. Do đó, chúng ta có $n_0 + N_a^- = p_0 + N_d^+$

Hoặc

$$n_0 + (N_a - p_a) = p_0 + (N_d - n_d) \quad (4.57)$$

những trạng thái acceptor tích điện âm. Chúng ta có biểu thức của n_0 , p_0 , n_d , và p_a theo những lượng Fermi và nhiệt độ.

Nếu chúng ta giả sử ion hóa là hoàn toàn, các n_d và p_a đều bằng 0, và phương trình (4.57) trở thành

$$n_0 + N_a = p_0 + N_d \quad (4.58)$$

Nếu chúng ta biểu diễn p_0 là n_i^2/n_0 , thì phương trình (4.58) có thể viết lại là

$$n_0 + N_a = \frac{n_i^2}{n_0} + N_d \quad (4.59a)$$

Phương trình này có thể viết lại là

$$n_0^2 - (N_d - N_a)n_0 - n_i^2 = 0 \quad (4.59b)$$

Mật độ electron n_0 có thể xác định dùng công thức nghiệm của phương trình bậc 2 là

$$n_0 = \frac{(N_d - N_a)}{2} + \sqrt{\left(\frac{N_d - N_a}{2}\right)^2 + n_i^2} \quad (4.60)$$

Chúng ta chỉ dùng dấu dương cho tam thức bậc hai vì giá trị khi bán dẫn là bán dẫn ròng $N_a = N_d = 0$, mật độ electron phải là giá trị dương, hoặc $n_0 = n_i$.

Phương trình (4.60) có thể dùng tính mật độ electron trong bán dẫn loại n, hoặc khi $N_d > N_a$. Mặc dù phương trình (4.60) có thể rút ra cho bán dẫn bù, nhưng nó vẫn áp dụng cho trường hợp $N_a = 0$.

VÍ D 4.9

Xác định mật độ electron và lỗ trống trạng thái cân bằng nhiệt động và tính phân bố cho trước.

Xét bán dẫn Silic loại n tại $T = 300K$ có $N_d = 10^{16} \text{ cm}^{-3}$ và $N_a = 0$. Mật độ nội tại riêng của germanium là $n_i = 1.5 \times 10^{10} \text{ cm}^{-3}$.

▪ Giải

Từ phương trình (4.60), mật độ hạt tải điện (electron) là

$$n_0 = \frac{10^{16}}{2} + \sqrt{\left(\frac{10^{16}}{2}\right)^2 + (1.5 \times 10^{10})^2} \approx 10^{16} \text{ cm}^{-3}$$

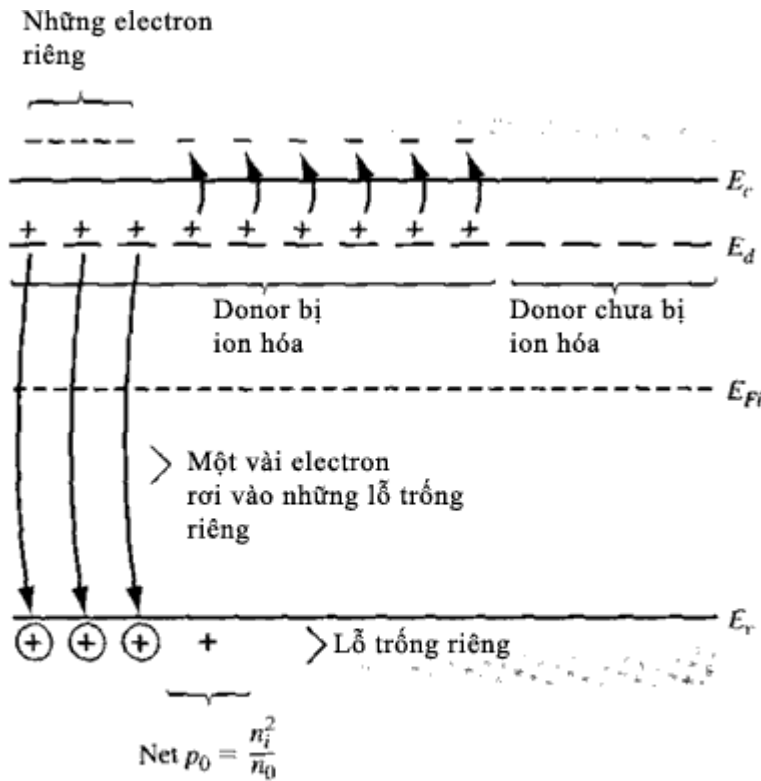
Mật độ hạt tải điện (lỗ trống) là

$$p_0 = \frac{n_i^2}{n_0} = \frac{(1.5 \times 10^{10})^2}{1 \times 10^{16}} = 2.25 \times 10^4 \text{ cm}^{-3}$$

▪ Kết luận

Trong ví dụ này, $N_d \gg n_i$, vì vậy vận tốc bão hòa hạt tải điện (electron) bằng vận tốc phát xạ. Mật độ hạt tải điện và lỗ trống khác nhau nhiều bậc lớn.

Chúng ta sẽ nhớ lại trong khi thảo luận và chúng ta cũng rút ra kết quả ví dụ 4.9 rằng mật độ electron vùng dẫn tăng lên so với mật độ hạt tải điện riêng khi chúng ta thêm vào nhúng nguyên tử tạp chất. Cùng lúc đó, mật độ hạt tải điện lỗ trống giảm so với mật độ hạt tải điện riêng khi chúng ta thêm nhúng nguyên tử tạp chất. Chúng ta phải nhớ rằng khi chúng ta thêm nhúng nguyên tử tạp chất và tăng nồng độ là nhúng electron vào, có sự phân bố lại electron vào nhúng trạng thái năng lượng. Hình 4.15 biểu diễn các phân bố lại. Mật độ electron rơi vào nhúng trạng thái trong vùng hóa trị



Hình 4.15| Giản đồ năng lượng biểu diễn sự phân bố lại những electron khi donor được thêm vào

, và trong quá trình đó nó s tri t tiêu vài l tr ng riêng. Do ó, m t h t t i i n thi u s - l tr ng s gi m nh chúng ta th y trong ví d 4.9. Cùng lúc ó, b i vì s phân b l i này, m t electron toàn ph n trong vùng d n không n gi n b ng m t ono c ng v i m t electron riêng.

VÍ D 4.10

Tính m t electron và l tr ng cân b ng nhi t trong m u Germani ng v i m t pha t p cho tr c.

Xét m u Germani t i $T=300K$ ó $N_d=5 \times 10^{13} \text{ cm}^{-3}$ và $N_a=0$. Gi s r ng $n_i=2.4 \times 10^{13} \text{ cm}^{-3}$.

- Gi i

M t l n n a, t ph ng trình (4.60), n ng electron t i i n a s là

$$n_0 = \frac{5 \times 10^{13}}{2} + \sqrt{\left(\frac{5 \times 10^{13}}{2}\right)^2 + (2.4 \times 10^{13})^2} = 5.97 \times 10^{13} \text{ cm}^{-3}$$

Năng lượng điện tử trong chất bán dẫn là

$$p_0 = \frac{n_i^2}{n_0} = \frac{(2.4 \times 10^{13})^2}{5.97 \times 10^{13}} = 9.65 \times 10^{12} \text{ cm}^{-3}$$

▪ Kết luận

Nếu không có tạp chất và năng lượng nhiệt riêng khác nhau quá nhiều thì nồng độ electron và lỗ trống trong chất bán dẫn sẽ cân bằng nhiệt động học riêng.

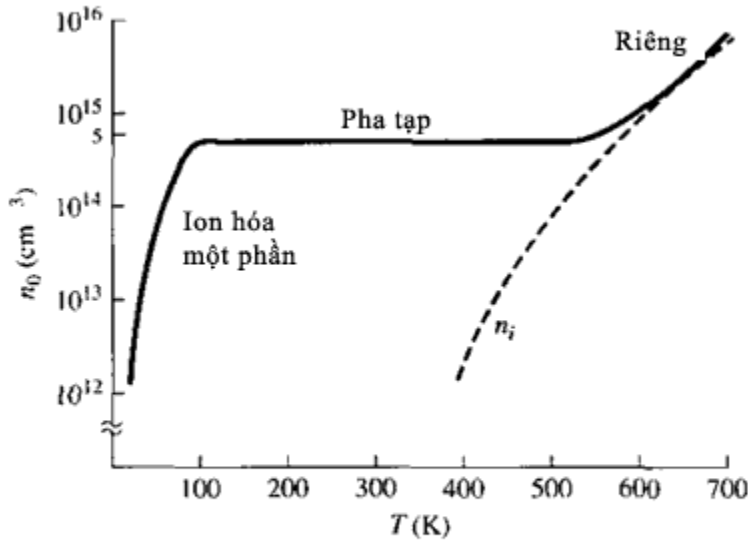
Chúng ta đã thấy rằng nồng độ điện tử riêng n_i là hàm phụ thuộc vào nhiệt độ. Khi nhiệt độ tăng, có thêm nhiều cặp electron-lỗ trống do nhiệt vì vậy số n_i^2 trong phương trình (4.60) bắt đầu tăng. Cùng lúc, bán dẫn sẽ mất tính chất pha tạp của nó. Hình 4.16 biểu diễn mật độ electron theo nhiệt độ của silicon pha 5×10^5 nguyên tử cm^{-3} . Khi nhiệt độ tăng, chúng ta có thể thấy nó mất tính cân bằng bắt đầu giảm xuống.

Nếu chúng ta xét lại phương trình (4.58) và biểu diễn n_0 là n_i^2/p_0 thì chúng ta có

$$\frac{n_i^2}{p_0} + N_a = p_0 + N_d \tag{4.61a}$$

Chúng ta có thể viết lại là

$$p_0^2 - (N_d - N_a)p_0 - n_i^2 = 0 \tag{4.61b}$$



Hình 4.16 Mật độ electron theo nhiệt độ trong ba vùng: ion hóa một phần, tạp chất, và riêng

Dùng công thức nghiệm của phương trình bậc hai, nghiệm là

$$p_0 = \frac{(N_a - N_d)}{2} + \sqrt{\left(\frac{N_a - N_d}{2}\right)^2 + n_i^2} \quad (4.62)$$

Đây, mặt lain của, phải dùng để tính. Phương trình (4.62) có dùng tính toán nghiệm h t t i i n a s - l tr ng tr ng thái cân b ng nhi t trong bán d n l ai p, hoặc khi $N_a > N_d$. Phương trình này có áp dụng cho trường hợp $N_d = 0$.

VÍ D 4.11

Tính mật độ electron và l tr ng tr ng thái cân b ng nhi t trong bán d n bù l ai p.

Xét bán d n silic t i $T = 300K$ ó $N_a = 10^{16} \text{ cm}^{-3}$ và $N_d = 3 \times 10^{15} \text{ cm}^{-3}$. Giá s $n_i = 1.5 \times 10^{10} \text{ cm}^{-3}$.

▪ Giá i

Vì $N_a > N_d$ bán d n bù là l ai p và n ng l tr ng tr ng thái cân b ng nhi t c cho b i ph nhg trình (4.62) là

$$p_0 = \frac{10^{16} - 3 \times 10^{15}}{2} + \sqrt{\left(\frac{10^{16} - 3 \times 10^{15}}{2}\right)^2 + (1.5 \times 10^{10})^2}$$

Vì vậy

$$p_0 \approx 7 \times 10^{15} \text{ cm}^{-3}$$

Nồng độ hạt tải điện trong bán dẫn loại p là

$$n_0 = \frac{n_i^2}{p_0} = \frac{(1.5 \times 10^{10})^2}{7 \times 10^{15}} = 3.21 \times 10^4 \text{ cm}^{-3}$$

▪ Kết luận

Nếu chúng ta giả sử bán dẫn là bán dẫn loại p và $(N_a - N_d) \gg n_i$, thì nồng độ hạt tải điện trong bán dẫn loại p khác nhau giữa bán dẫn loại p và acceptor.

Chúng ta có thể rút ra rằng, trong bán dẫn loại p, mật độ hạt tải điện trong bán dẫn loại p xác định

$$n_0 = \frac{n_i^2}{p_0} = \frac{n_i^2}{(N_a - N_d)}$$

VÍ D 4.12

Xác định mật độ hạt tải điện trong bán dẫn.

Mật độ hạt tải điện trong bán dẫn loại p của silic ở nhiệt độ $T = 550 \text{ K}$. Nhiệt độ này mật độ hạt tải điện riêng phần đóng góp không quá 5% vào mật độ hạt tải điện tổng cộng. Xác định nồng độ tạp chất cần thiết để phù hợp với yêu cầu này.

▪ Giải

Ở $T = 550 \text{ K}$, nồng độ hạt tải điện riêng phần tìm bằng phương trình (4.23)

$$n_i^2 = N_c N_v \exp\left(\frac{-E_g}{kT}\right) = (2.8 \times 10^{19})(1.04 \times 10^{19}) \left(\frac{550}{300}\right)^3 \exp\left[\frac{-1.12}{0.0259} \left(\frac{300}{550}\right)\right]$$

Hay

$$n_i^2 = 1.02 \times 10^{29}$$

Vì thế

$$n_i = 3.20 \times 10^{14} \text{ cm}^{-3}$$

cho mật độ hạt tải điện riêng phần không đóng góp quá 5% vào mật độ hạt tải điện tổng cộng, chúng ta có $n_0 = 1.05 N_d$.

Thay vào phương trình (4.60), chúng ta có

$$n_0 = \frac{N_d}{2} + \sqrt{\left(\frac{N_d}{2}\right)^2 + n_i^2}$$

Hoặc

$$1.05N_d = \frac{N_d}{2} + \sqrt{\left(\frac{N_d}{2}\right)^2 + (3.20 \times 10^{14})^2}$$

Suy ra

$$N_d = 1.39 \times 10^{15} \text{ cm}^{-3}$$

▪ **Kết luận**

Nếu nhiệt độ vẫn còn nhỏ hơn $T=550K$ thì mật độ hạt tải điện riêng sẽ đóng góp không quá 5% vào mật độ electron tổng cộng mật độ pha tạp donor này.

Phương trình (4.60) và (4.62) có dùng tính toán mật độ hạt tải điện electron trong bán dẫn loại n và mật độ hạt tải điện electron trong bán dẫn loại p . Về mặt lý thuyết, năng lượng hạt tải điện trong bán dẫn loại n có thể tính theo phương trình (4.62). tuy nhiên, chúng ta sẽ sử dụng các giá trị 10^{16} cm^{-3} thu được từ các giá trị 10^{-4} cm^{-3} , điều mà thực tế là không thể có. Mật độ hạt tải điện trong bán dẫn loại n tính theo $n_0 p_0 = n_i^2$ mật độ hạt tải điện trong bán dẫn loại p sẽ xác định.

KIỂM TRA KIẾN THỨC

E4.11 Xét bán dẫn bù GaAs ở $T=300K$ có pha $N_d=5 \times 10^{15} \text{ cm}^{-3}$ và $N_a=2 \times 10^{16} \text{ cm}^{-3}$. Tính toán mật độ electron và mật độ hạt tải điện trong trạng thái cân bằng nhiệt.

E4.12 Silicon có pha $N_d=10^{15} \text{ cm}^{-3}$ và $N_a=0$. (a) Xác định mật độ electron trong nhiệt độ từ $300K$ đến $600K$. (b) Tính toán nhiệt độ nội tại của electron bằng $1.1 \times 10^{15} \text{ cm}^{-3}$.

4.6] VỊ TRÍ CỦA MỨC NĂNG FERMI

Chúng ta sẽ thảo luận về tính trong phần 4.3.1 mật độ electron và mật độ hạt tải điện thay đổi như thế nào khi mức năng lượng Fermi di chuyển trong khe năng lượng. Do đó, trong phần 4.5, chúng ta sẽ tính toán mật độ electron và mật độ hạt tải điện như một hàm của mật độ pha tạp donor và acceptor. Bây giờ, chúng ta có thể xác định vị trí của mức năng lượng Fermi như một hàm của năng lượng pha tạp và nhiệt độ. Như người

có liên quan đến mật độ năng lượng Fermi có thể luận kết luận sau phần suy luận toán học.

4.6.1 Suy luận toán học

Với các tham số năng lượng Fermi trong khe năng lượng có thể xác định bằng cách dùng những phương trình đã xây dựng tính mật độ electron và là trạng thái cân bằng nhiệt. Nếu chúng ta sử dụng gần đúng Boltzmann thì từ phương trình (4.11) chúng ta có $n_0 = N_c \exp[-(E_c - E_F)/kT]$. Chúng ta có thể tìm $E_c - E_F$ từ phương trình này và thu được

$$E_c - E_F = kT \ln\left(\frac{N_c}{n_0}\right) \quad (4.63)$$

Đây là n_0 cho bởi phương trình (4.60). Nếu chúng ta xét bán dẫn loại n ở $N_d \gg n_i$ thì $n_0 \approx N_d$, do đó

$$E_c - E_F = kT \ln\left(\frac{N_c}{N_d}\right) \quad (4.64)$$

Khả năng cách giải thích của vùng dẫn và mật độ năng lượng Fermi là một hàm phụ thuộc vào mật độ doping. Khi mật độ doping, mật độ Fermi di chuyển xuống vùng dẫn. Ngược lại, nếu mật độ Fermi di chuyển xuống vùng dẫn hơn thì mật độ electron trong vùng dẫn tăng. Chúng ta chú ý rằng nếu chúng ta có bán dẫn bù thì số lượng N_d trong phương trình (4.64) nên ghi nhận thay thế bằng $N_d - N_a$, hoặc mật độ doping hiệu dụng toàn phần.

VÍ DỤ 4.13

Xác định mật độ phát xạ photon có thể thu được từ năng lượng Fermi xác định.

Silic tinh khiết ở $T=300K$ chứa mật độ phát xạ acceptor là $N_a=10^{16} \text{ cm}^{-3}$. Xác định mật độ nguyên tử phát xạ cho thêm vào cho silic là loại n và năng lượng Fermi thay đổi biên năng lượng vùng dẫn là 0.20 eV.

- Giải

Từ phương trình (4.64), chúng ta có

$$E_c - E_F = kT \ln\left(\frac{N_c}{N_d - N_a}\right)$$

Phân tích này có thể viết là

$$N_d - N_a = N_c \exp\left[\frac{-(E_c - E_F)}{kT}\right]$$

Do đó

$$N_d - N_a = 2.8 \times 10^{19} \exp\left[\frac{-0.20}{0.0259}\right] = 1.24 \times 10^{16} \text{ cm}^{-3}$$

Hay

$$N_d = 1.24 \times 10^{16} + N_a = 2.24 \times 10^{16} \text{ cm}^{-3}$$

▪ Kết luận

Bán dẫn bù có thể chuyển cho ra hình vẽ mức năng lượng Fermi cụ thể.

Chúng ta có thể xây dựng một công thức khác xác định vị trí mức Fermi. Chúng ta đã có phương trình (4.39) là $n_0 = n_i \exp[(E_F - E_{Fi})/kT]$. Chúng ta có thể tìm $E_F - E_{Fi}$

$$E_F - E_{Fi} = kT \ln\left(\frac{n_0}{n_i}\right) \quad (4.65)$$

Phương trình (4.65) có thể dùng riêng cho bán dẫn loại n, trong đó n_0 cho bởi phương trình (4.60), tìm sự khác nhau giữa mức Fermi và mức Fermi riêng như một hàm theo mật độ. Chúng ta cần chú ý rằng, nếu mật độ điện tích toàn phần bằng 0, nghĩa là, $N_d - N_a = 0$ thì $n_0 = n_i$ và $E_F = E_{Fi}$. Bán dẫn bù hoàn toàn có những tính chất của bán dẫn rỗng như một hạt tải điện và vị trí mức Fermi.

Chúng ta có thể rút ra phương trình tương tự cho bán dẫn loại p. Từ phương trình (4.19), chúng ta có $p_0 = N \exp[-(E_F - E_v)/kT]$, do đó

$$E_F - E_v = kT \ln\left(\frac{N_v}{p_0}\right) \quad (4.66)$$

Nếu chúng ta giả sử rằng $N_a \gg n_i$, thì phương trình (4.66) có thể viết là

$$E_F - E_v = kT \ln\left(\frac{N_v}{N_a}\right) \quad (4.67)$$

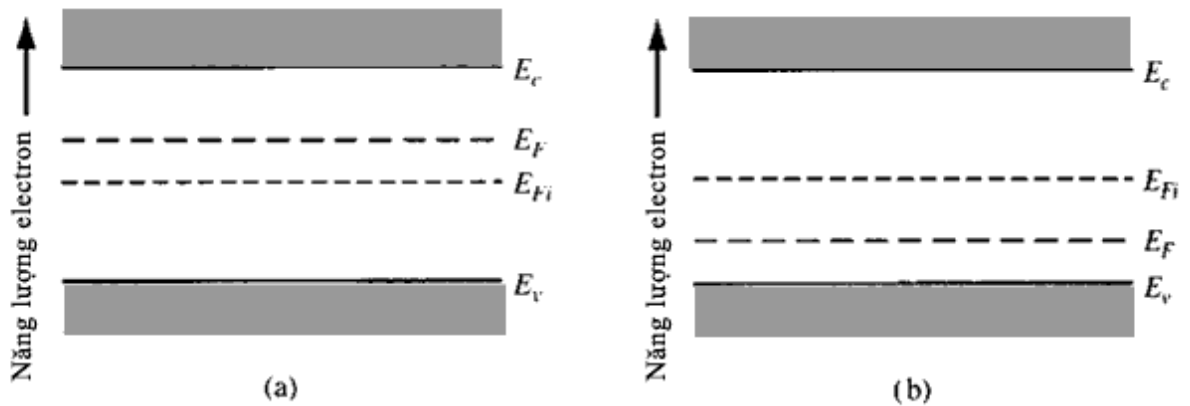
Khoảng cách giữa mức Fermi và nhấc vùng hóa trị ở bán dẫn loại p là hàm logarit của mật độ acceptor: khi mật độ acceptor tăng, mức Fermi di chuyển xuống vùng hóa trị hơn. Phương trình (4.67) vẫn còn sử dụng nguyên lý Boltzmann. Tuy nhiên trên, nếu chúng ta có bán dẫn bù loại p thì số lượng \$N_a\$ trong phương trình (4.67) sẽ thay thế bằng \$N_a - N_d\$, hoặc mật độ acceptor hiệu dụng toàn phần.

Chúng ta cũng có thể rút ra mối liên hệ cho mối quan hệ giữa mức Fermi và mức Fermi riêng theo mật độ. Từ phương trình (4.40) chúng ta có \$p_0 = n_i \exp[-(E_F - E_{Fi})/kT]\$, suy ra

$$E_{Fi} - E_F = kT \ln\left(\frac{p_0}{n_i}\right) \quad (4.68)$$

Phương trình (4.68) có thể sử dụng để tìm sự khác nhau giữa mức Fermi riêng và năng lượng Fermi theo nồng độ acceptor. Mối liên hệ trong phương trình (4.68) cho trong phương trình (4.62).

Chúng ta có thể rút ra từ phương trình (4.65) rằng, ở bán dẫn loại n, \$n_0 > n_i\$ và \$E_F > E_{Fi}\$. Ở bán dẫn n, mức Fermi trên mức Fermi riêng. Ở bán dẫn loại p, \$p_0 > n_i\$, và từ phương trình



Hình 4.17 | Vị trí của mức Fermi đối với bán dẫn [a] loại n (\$N_d > N_a\$)
[b] loại p (\$N_d < N_a\$)

(4.68) chúng ta thấy rằng \$E_{Fi} > E_F\$. Mức Fermi dưới mức Fermi riêng \$E_{Fi}\$. Nguyên nhân kết quả này có thể thấy rõ trong hình 4.17.

4.6.2 Sự biến thiên của E_F theo mật độ pha tạp và nhiệt độ

Chúng ta có thể vẽ được vị trí của mức năng lượng Fermi như một hàm số theo mật độ pha tạp. Hình 4.18 biểu diễn mức năng lượng Fermi như một hàm của mật độ cho nhận (loại n) và như một hàm theo mật độ acceptor (loại p) đối với silic tại $T=300K$. Khi mật độ pha tạp tăng, mức năng lượng Fermi di chuyển xuống vùng dẫn hoặc đi xuống vùng hóa trị hoặc đi xuống vùng hóa trị đối với loại p . Hãy nhớ rằng pha tạp không phải là quá trình mức năng lượng Fermi mà chúng ta rút ra bằng sử dụng Boltzmann.

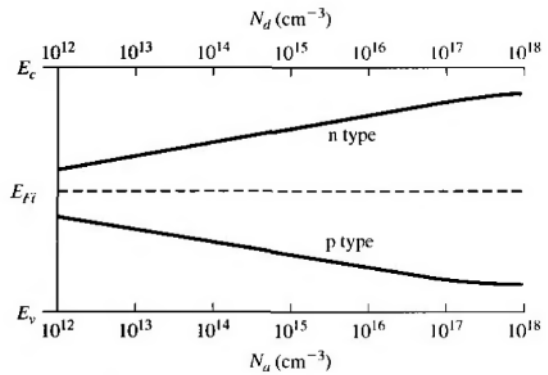


Figure 4.18 | Position of Fermi level as a function of donor concentration (n type) and acceptor concentration (p type).

Hình 4.18 | Vị trí mức Fermi là hàm theo mật độ donor [loại n] và mật độ acceptor [loại p]

VÍ DỤ 4.14

Xác định vị trí mức Fermi và sự pha tạp cần thiết để có mức Fermi bằng mức năng lượng của mức năng lượng trung tâm trong silic.

Xét silic loại p , tại $T=300K$, pha tạp với Bo. Chúng ta có thể giả sử rằng giả thiết của Boltzmann xuất hiện khi $E_F - E_a = 3kT$. (Xem phần 4.1.2.)

- Giả sử

Trong bảng 4.3, chúng ta tìm thấy năng lượng ion hóa $E_a - E_v = 0.045 \text{ eV}$ đối với Bo trong silic. Nếu chúng ta giả sử rằng $E_{Fi} = E_{g/2}$ thì theo phương trình (4.68), vị trí của mức Fermi khi pha tạp cần thiết là

$$E_{Fi} - E_F = \frac{E_g}{2} - (E_a - E_v) - (E_F - E_a) = kT \ln \left(\frac{N_a}{n_i} \right)$$

Hay

$$0.56 - 0.045 - 3(0.0259) = 0.437 = (0.0259) \ln \left(\frac{N_a}{n_i} \right)$$

Do đó, nồng độ pha tạp là

$$N_a = n_i \exp\left(\frac{0.437}{0.0259}\right) = 3.2 \times 10^{17} \text{ cm}^{-3}$$

▪ **Kết luận**

Nu m t acceptor (ho c dono) trong silic g n l n h n $3 \times 10^{17} \text{ cm}^{-3}$ thì g n úng Boltzmann c a hàm phân b không còn giá tr và ph ãng trình cho m c Fermi không còn hoàn toàn chính xác.

KI M TRA KI N TH C

E4.13 Xác ãnh v trí m c Fermi i v i vùng n ãng l ãng hóa tr trong GaAs lo i p t i $T=300\text{K}$. M t ãng pha t p là $N_a=5 \times 10^{16} \text{ cm}^{-3}$ và $N_d=4 \times 10^{15} \text{ cm}^{-3}$.

E4.14 Tính v trí m c Fermi trong silic lo i n t i $T=300\text{K}$ so v i m c n ãng l ãng Fermi riêng. M t ãng pha t p $N_d=2 \times 10^{17} \text{ cm}^{-3}$ và $N_a=3 \times 10^{16} \text{ cm}^{-3}$.

M t h t t i i n riêng n_i , trong ph ãng trình (4.65) và (4.68) là hàm ph thu c r t m nh vào nhi t , vì th E_F c ãng là hàm ph thu c vào nhi t . Hình 4.19 bi u di n m c n ãng l ãng Fermi trong silic theo nhi t ãng v i nh ãng m t dono và acceptor khác nhau. Khi nhi t t ãng, n_i t ãng, và E_F di chuy n ãng n m c Fermi riêng h n. T i nhi t cao, v t li u bán d n b t u ánh m t tính ch t pha t p c a nó và b t u gi ãng bán d n r ãng h n. T i nhi t r t th p, s óng b ãng xu t hi n; g n úng Boltzmann không còn s ãng c n a và ph ãng trình mà chúng ta rút ra cho v trí m c Fermi không

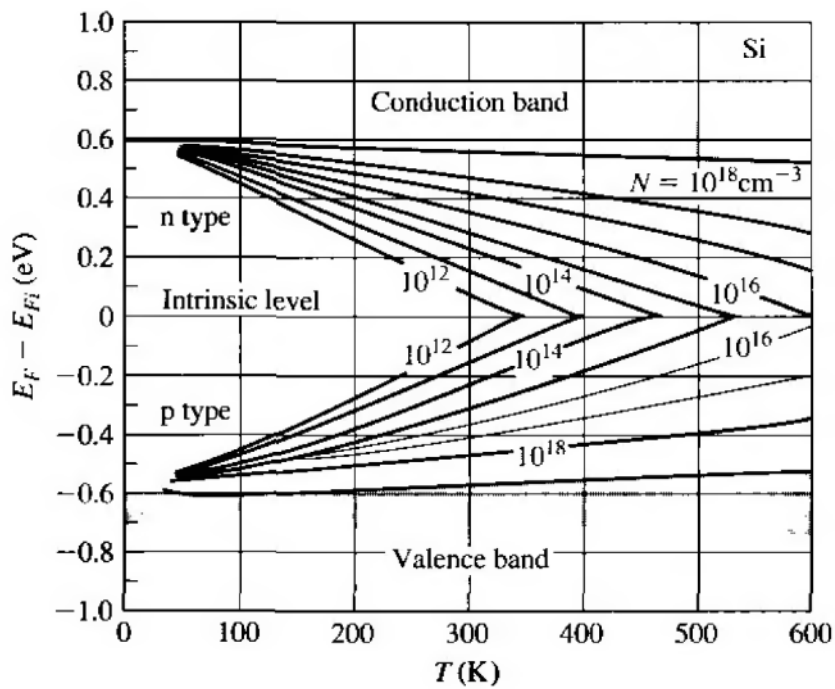


Figure 4.19 | Position of Fermi level as a function of temperature for various doping concentrations. (From Sze [13].)

Hình 4.19| Vị trí mức Fermi là hàm theo nhiệt độ các mức tạp chất p khác nhau

Các thuật ngữ tiếng Anh trong hình:

Conduction band: vùng dẫn

Valance band: vùng hóa trị

Intrinsic level: mức riêng

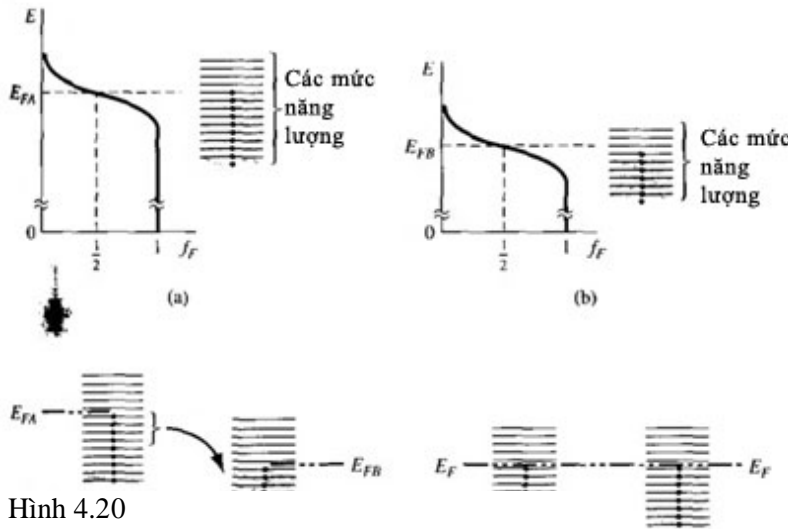
n type: loại n

p type: loại p

còn áp dụng cho bán dẫn. Khi nhiệt độ thấp lúc sóng băng xuất hiện, mức Fermi trên E_d và vị trí liên tục và dưới E_a và vị trí liên tục. Khi nhiệt độ không tuyệt đối, tất cả các trạng thái năng lượng của E_F và tất cả những trạng thái năng lượng trên E_F trống.

4.6.3 Tính phù hợp của năng lượng Fermi

Chúng ta sẽ tính toán vị trí của mức năng lượng Fermi như một hàm số theo mật độ pha tạp và nhiệt độ. Sự phân tích này dường như hơi tùy tiện và hời hợt. Tuy nhiên, những biểu thức này sẽ được dùng sau này trong việc xem xét tiếp xúc p-n và những thiết bị bán dẫn khác mà chúng ta xem xét. Trong trạng thái cân bằng nhiệt, mật độ quan trọng là mức năng lượng Fermi là hằng số trong hệ. Chúng ta sẽ không chứng minh phát biểu này nhưng chúng ta có thể thấy bằng trực giác tính hợp lý của nó bằng việc xem xét ví dụ sau đây.



Hình 4.20

Năng lượng Fermi của [a] Vật liệu A ở trạng thái cân bằng nhiệt [b] vật liệu B ở trạng thái cân bằng nhiệt, [c] vật liệu A và B khi chúng tiếp xúc nhau và [d] A và B tiếp xúc nhau ở trạng thái cân bằng nhiệt

Những trạng thái năng lượng dưới E_{FB} như vậy và những trạng thái năng lượng trên E_{FB} như thế này. Nếu hai vật liệu này được mang đến tiếp xúc nhau, những electron trong toàn hệ này có khuynh hướng vào những trạng thái năng lượng thấp nhất. Những electron từ vật liệu A sẽ đi vào trong những trạng thái năng lượng thấp nhất của vật liệu B, như được chỉ trong hình 4.20c cho đến khi tất cả những trạng thái cân bằng nhiệt. Trạng thái cân bằng nhiệt sẽ xảy ra khi sự phân bố của những electron, như một hàm của năng lượng giống nhau trong 2 vật liệu. Trạng thái cân bằng này xuất hiện khi năng lượng Fermi giống nhau trong 2 vật liệu như được biểu diễn trong hình 4.20d. Năng lượng Fermi rất quan trọng trong vật lý bán dẫn, nó cung cấp cho ta một sự minh họa trực quan về tính chất của vật liệu và thiết bị bán dẫn.

Giờ đây chúng ta có một vật liệu A nào đó, những electron của chúng sẽ phân bố vào những trạng thái năng lượng như được biểu diễn trong hình 4.20a. Giả sử những trạng thái năng lượng dưới E_{FA} chứa electron và giả sử những trạng thái năng lượng trên E_{FA} trống. Xét vật liệu khác là vật liệu B, những electron của nó sẽ phân bố vào những trạng thái năng lượng như được biểu diễn trong hình 4.20b.

CHƯƠNG V

Hiện tượng chuyển hạt mang điện

TỔNG QUAN

Trong chương trước, chúng ta đã xét bán dẫn trong trạng thái cân bằng và xác định mật độ electron và lỗ trống trong vùng dẫn và vùng hóa trị. Hiện tượng chuyển hạt mang điện này giúp chúng ta hiểu biết về tính chất điện của vật liệu bán dẫn. Dòng chuyển động của electron và lỗ trống trong bán dẫn sẽ tạo ra dòng điện. Quá trình làm nhớt hạt mang điện này di chuyển được gọi là sự vận chuyển. Trong chương này, chúng ta sẽ xem xét 2 cơ chế vận chuyển của hạt mang điện trong tinh thể bán dẫn: sự trôi-dòng của hạt mang điện bởi trường điện, và sự khuếch tán-sự di chuyển của hạt mang điện bởi *gradient mật độ*. Nhận thấy, chúng ta sẽ gặp sự vận chuyển *gradient mật độ* trong bán dẫn có thể dẫn đến sự di chuyển của hạt mang điện. Tuy nhiên khi kích thích thì thể bán dẫn ngày càng trở nên nhớt hơn, hiểu rằng đây là trường hợp qua. Hiện tượng vận chuyển hạt mang điện là cơ sở cho việc xác định các tuyến Von-Ampe của thiết bị bán dẫn. Trong toàn chương này, chúng ta sẽ giả sử rằng mật độ có dòng electron và lỗ trống chuyển động do quá trình vận chuyển, nhớt vật thể chất, sự cân bằng nhiệt sẽ không bị ảnh hưởng. Quá trình không cân bằng sẽ được xem xét trong chương tiếp theo.

5.1| SỰ TRÔI ĐỘNG CỦA HẠT MANG ĐIỆN

Khi điện trường đặt vào bán dẫn sẽ tạo ra lực tác động lên electron và lỗ trống làm cho chúng chuyển động có gia tốc, miễn là có sự nhiễu loạn trạng thái năng lượng trong vùng dẫn và vùng hóa trị. Sự di chuyển của điện tích bởi điện trường được gọi là sự trôi-dòng. Sự trôi-dòng của hạt mang điện tích làm phát sinh dòng trôi-dòng.

5.1.1 Mật độ dòng trôi-dòng

Nếu chúng ta có các điện tích đơn vị di chuyển với vận tốc trôi-dòng trung bình là v_d thì mật độ dòng trôi-dòng là:

$$J_{trôi-dòng} = \rho v_d \quad (5.1)$$

Đây là vận tốc của $J_{trôi-dòng}$ là C/cm^2-s hoặc $amps/cm^2$. Nếu mật độ điện tích khi gây ra bởi các lỗ trống mang điện đơn vị, thì

$$J_{p|troi_dat} = (ep)v_{dp} \quad (5.2)$$

Ây $J_{p|troi_dat}$ là mật độ dòng điện trôi do các l. tr. ng và v_{dp} là vận tốc trôi do trung bình các l. tr. ng.

Ph. ng trình chuyển động của l. tr. ng mang điện tích e trong trường điện là

$$F = m_p^* a = eE \quad (5.3)$$

Ây e là điện tích, a là gia tốc, E là trường điện, và m_p^* là khối lượng hiệu dụng của l. tr. ng. Nếu trường điện là hằng số thì chúng ta suy ra vận tốc chuyển động của l. tr. ng theo thời gian. Tuy nhiên, trong bán dẫn còn có hiện tượng tán xạ và nhiễu loạn mạng tinh thể. Những tán xạ này làm thay đổi vận tốc của hạt.

Khi mật độ l. tr. ng gia tăng trong tinh thể, vận tốc chuyển động của hạt mang điện và khối lượng hiệu dụng của nó thay đổi. Khi số hạt mang điện gia tăng, khối lượng hiệu dụng của nó cũng thay đổi. Điều này có thể hiểu là trong suốt quá trình tán xạ, vận tốc trôi do trung bình của l. tr. ng thu được (trong trường điện) là vận tốc trôi do trung bình của l. tr. ng thu được (trong trường điện). Do đó, chúng ta có thể viết

$$v_{dp} = \mu_p E \quad (5.4)$$

Ây μ_p là độ linh động của l. tr. ng. Độ linh động là một thông số quan trọng của bán dẫn vì nó mô tả sự chuyển động của hạt mang điện. Đơn vị của độ linh động là $\text{cm}^2/\text{V}\cdot\text{s}$.

Bằng cách kết hợp (5.2) và (5.4), chúng ta có thể viết mật độ dòng trôi do các l. tr. ng là

$$J_{p|troi_dat} = (ep)v_{dp} = e\mu_p pE \quad (5.5)$$

Dòng trôi do các l. tr. ng gây ra chuyển động cùng hướng với trường điện.

Tương tự, đối với electron, chúng ta có thể viết

$$J_{n\text{trôi_dat}} = \rho v_{dn} = (-en)v_{dn} \quad (5.6)$$

Đây $J_{n\text{trôi_dat}}$ là mật độ dòng trôi do các electron và v_{dn} là vận tốc trôi do trung bình các electron.

Vận tốc trôi do trung bình các electron có thể thu được từ các nguyên lý cơ bản của vật lý. Tuy nhiên, bởi vì electron là hạt mang điện âm, sự chuyển động toàn phần của electron phản ngược với hướng của trường điện. Do đó chúng ta có thể viết

$$v_{dn} = -\mu_n E \quad (5.7)$$

Đây μ_n là độ linh động của electron và là đại lượng vô hướng. Phương trình (5.6) có thể viết lại là

$$J_{n\text{trôi_dat}} = (-en)(-\mu_n E) = e\mu_n nE \quad (5.8)$$

Dòng trôi do quy định của electron có cùng chiều với chiều của trường điện, trong khi dòng trôi do các hạt mang điện dương là ngược chiều với trường điện.

Độ linh động của electron và lỗ trống là hàm số theo nhiệt độ và mật độ pha tạp. Chúng ta sẽ thấy trong phần tiếp theo. Bảng 5.1 biểu diễn một vài giá trị độ linh động ở nhiệt độ $T=300K$ và mật độ pha tạp thấp.

Bảng 5.1 | Giá trị độ linh động điển hình tại $T = 300 K$ và mật độ pha tạp thấp

	μ_n (cm ² /V-s)	μ_p (cm ² /V-s)
Silicon [Silic]	1350	480
Gallium arsenide [GaAs]	8500	400
Germanium [Ge]	3900	1900

Bởi vì các electron và lỗ trống tham gia vào dòng trôi do đó nên mật độ dòng trôi do toàn phần bằng tổng của mật độ dòng trôi do các lỗ trống và electron, vì vậy chúng ta có thể viết

$$J_{\text{trôi_dat}} = e(\mu_n n + \mu_p p)E \quad (5.9)$$

VÍ D 5.1

Tính mật độ dòng trôi điện trong bán dẫn khi ã bị t tr c l n c a c ng tr ng i n.

Xét m u GaAs t i $T=300K$ v i m t pha t p $N_a=0$ và $N_d=10^{16} \text{ cm}^{-3}$. Gi s s ion hóa là hoàn toàn và linh ng c a electron và l tr ng c cho trong b ng 5.1. Tính m t dòng i n trôi gi t n u tr ng i n $E=10V/cm$ c t vào.

▪ Gi i

B i vì $N_d > N_a$, bán d n là lo i n và m t electron t i i n a s theo ch ng 4 là

$$n = \frac{N_d - N_a}{2} + \sqrt{\left(\frac{N_d - N_a}{2}\right)^2 + n_i^2} \approx 10^{16} \text{ cm}^{-3}$$

M t l tr ng t i i n thi u s là

$$p = \frac{n_i^2}{n} = \frac{(1.8 \times 10^6)^2}{10^{16}} = 3.24 \times 10^{-4} \text{ cm}^{-3}$$

i v i bán d n pha t p này, m t dòng trôi d t là

$$J_{\text{trôi_dat}} = e(\mu_n n + \mu_p p) \approx e\mu_n N_d E$$

Do ó

$$J_{\text{trôi_dat}} = (1.6 \times 10^{-19})(8500)(10^{16})(10) \approx 136 \text{ A/cm}^2$$

▪ K t lu n

M t dòng trôi d t có l n áng k trong bán d n khi t vào i n tr ng có giá tr t ng i nh . Chúng ta có th rút ra t ví d này r ng m t dòng trôi d t ch y u c gây ra b i nh ng h t t i i n a s trong bán d n pha t p.

KI M TRA KI N TH C

E5.1 Xét m u silic t i $T=300K$ c pha t p v i n ng pha t p $N_d=10^{15} \text{ cm}^{-3}$ và $N_a=10^{14} \text{ cm}^{-3}$. Gi s linh ng c a electron và l tr ng c cho trong b ng 5.1. Tính toán m t dòng trôi d t n u m t tr ng i n $E=35V/cm$ c t vào.

E5.2 Trong m t thi t b bán d n silic lo i p, m t dòng trôi d t $J_{\text{trôi_dat}}=120 \text{ A/cm}^2$ khi tr ng i n $E=20V/cm$ c t vào. Xác nh m t t p ch t c n thi t t c yêu c u này. Gi s linh ng c a electron và l tr ng c cho trong b ng 5.1.

5.1.2 Nhảy tự nhiên của điện tử trong trường điện từ

Trong phần trước, chúng ta đã nghiên cứu về chuyển động của điện tử trong trường điện từ. Chuyển động của điện tử và lỗ trống là một thông số quan trọng mô tả tính chất của vật chất, như đã thấy trong phần trước (5.9).

Phần trước (5.3) thiết lập mối quan hệ giữa gia tốc của điện tử và điện trường. Chúng ta có thể viết phần trước này là

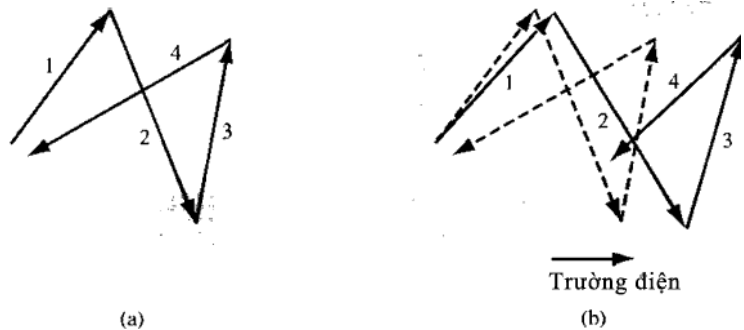
$$F = m_p^* \frac{dv}{dt} = eE \quad (5.10)$$

Đây là chuyển động của điện tử gây ra và không bao gồm chuyển động nhiễu loạn. Nếu chúng ta giả sử rằng khi điện trường và chuyển động là hằng số thì chúng ta có thể tích phân phần trước (5.10) và thu được

$$v = \frac{eEt}{m_p^*} \quad (5.11)$$

Đây chính là gia tốc của điện tử trôi dạt ban đầu bằng 0.

Hình 5.1a biểu diễn mô hình bán dẫn có điện trường và chuyển động nhiễu loạn [a] và chuyển động của điện tử trong bán dẫn khi không có trường điện [b]. Có một khoảng thời gian trung bình giữa nhúng và



Hình 5.1 | Hành vi thông thường của lỗ trống trong bán dẫn khi [a] không có trường điện và [b] có trường điện

chậm mà ký hiệu là τ_{cp} . Nếu trường điện nhúng vào nhúng ch ra trong hình 5.1b, sẽ có sự trôi dạt của điện tử theo hướng của trường điện E , và chuyển động trôi dạt toàn phần sẽ gây ra một nhiễu loạn trên chuyển động nhiễu loạn, vì vậy thời gian giữa nhúng và chậm sẽ không thay đổi đáng kể. Nếu chúng ta dùng thời gian trung bình giữa nhúng và chậm τ_{cp} thay cho thời gian

trong phương trình (5.11), thì vận tốc trung bình ngay trước lúc va chạm ho c tán xạ là

$$v_{d|cuc_dai} = \left(\frac{e\tau_{cp}}{m_p^*} \right) E \quad (5.12a)$$

Vận tốc trôi d t trung bình b ng m t n a giá tr c c i vì v y chúng ta có th vi t

$$\langle v_d \rangle = \frac{1}{2} \left(\frac{e\tau_{cp}}{m_p^*} \right) E \quad (5.12b)$$

Tuy nhiên, quá trình va chạm không n gi n nh mô hình này, mà nó mang b n ch t th ng kê. Trong m t mô hình chính xác h n bao g m hi u ng phân b th ng kê, th a s $1/2$ trong phương trình (5.12b) không xu t hi n. Do ó, linh ng c a l tr ng là

$$\mu_p = \frac{v_{dp}}{E} = \frac{e\tau_{cp}}{m_p^*} \quad (5.13)$$

S phân tích t ng t áp d ng cho electron; vì th chúng ta có th vi t linh ng c a electron là

$$\mu_n = \frac{e\tau_{cn}}{m_n^*} \quad (5.14)$$

ây τ_{cn} là th i gian trung bình gi a nh ng l n va chạm c a electron.

Có 2 c ch va chạm ho c tán xạ chi m u th trong bán d n và nh h ng n linh ng h t t i i n: phonon ho c tán xạ m ng; và tán xạ v i t p ch t b ion hóa.

T i nhi t trên không tuy t i, nh ng nguyên t trong tinh th bán d n có m t l ng nhi t n ng nào ó làm cho nh ng nguyên t này dao ng ng u nhiên xung quanh v trí m ng c a chúng trong tinh th . Dao ng m ng gây ra s phá v hàm th tu n hoàn lí t ng. Hàm th tu n hoàn lí t ng trong ch t r n cho phép nh ng electron di chuy n mà không b c n tr ho c tán xạ qua tinh th . Nh ng dao ng nhi t phá v hàm th , d n n s t ng tác gi a electron ho c l

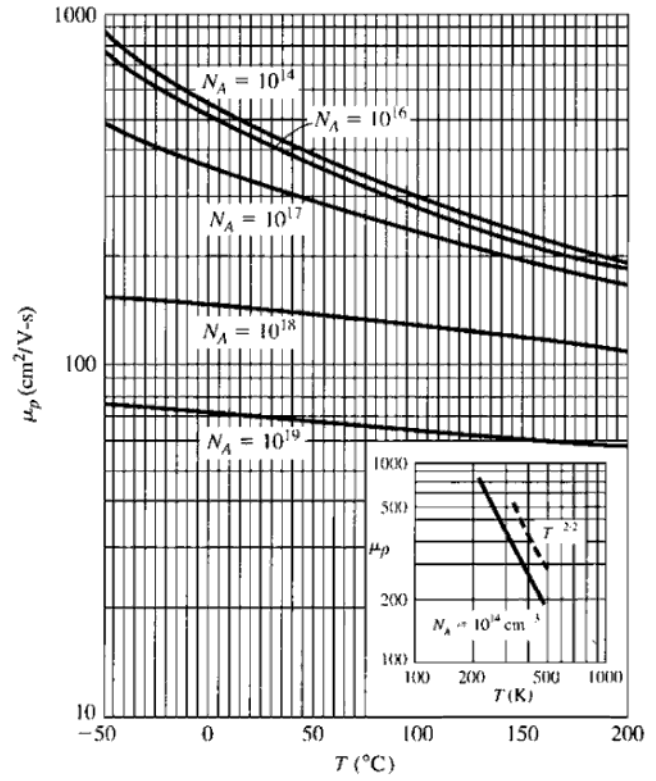
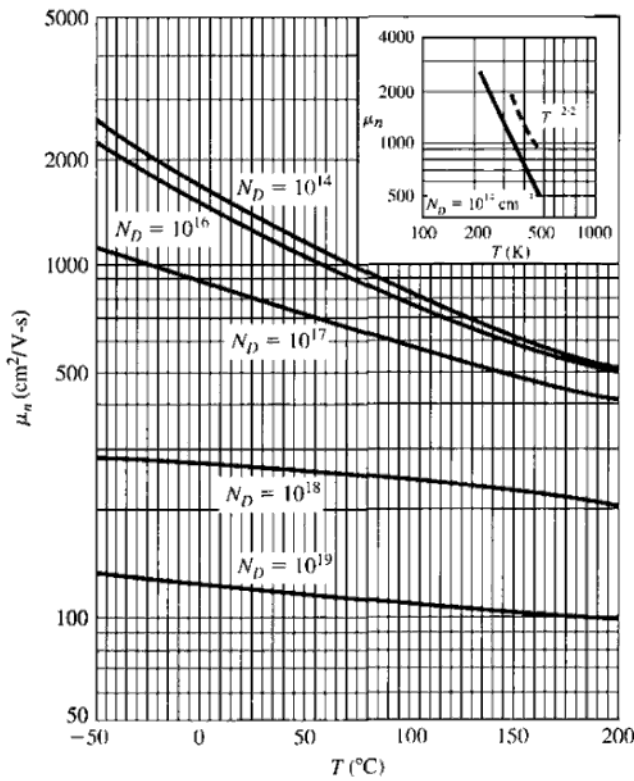
trở lại với định nghĩa nguyên tử dao động m. S tán xạ m này cũng có thể là tán xạ phonon.

Bởi vì tán xạ m có liên hệ với chuyển động nhiệt của nguyên tử nên mức tán xạ sẽ là hàm của nhiệt độ. Nếu chúng ta ký hiệu μ_L là độ linh động của quan sát chuyển tán xạ m thì lý thuyết tán xạ phát biểu rằng: độ linh động

$$\mu_L \propto T^{-3/2} \quad (5.15)$$

linh động do tán xạ m tăng khi nhiệt độ giảm. Bằng thực nghiệm, chúng ta có thể tiên đoán dao động m giảm khi nhiệt độ giảm, điều này có nghĩa là xác suất tán xạ cũng giảm, vì thế độ linh động.

Hình 5.2 biểu diễn sự phụ thuộc vào nhiệt độ của độ linh động của electron và lỗ trống trong Silicon. Trong bán dẫn có pha tạp nh, tán xạ m chỉ phụ thuộc vào độ linh động nhiệt độ giảm theo nhiệt độ như chúng ta đã thảo luận. Sự phụ thuộc vào nhiệt độ của độ linh động là T^{-n} . Như hình minh họa kèm theo chương trình thông số n không bằng 3/2 như lý thuyết tán xạ phát biểu đã tiên đoán. Tuy nhiên, độ linh động thực tế là tăng khi nhiệt độ giảm.



Hình 5.2

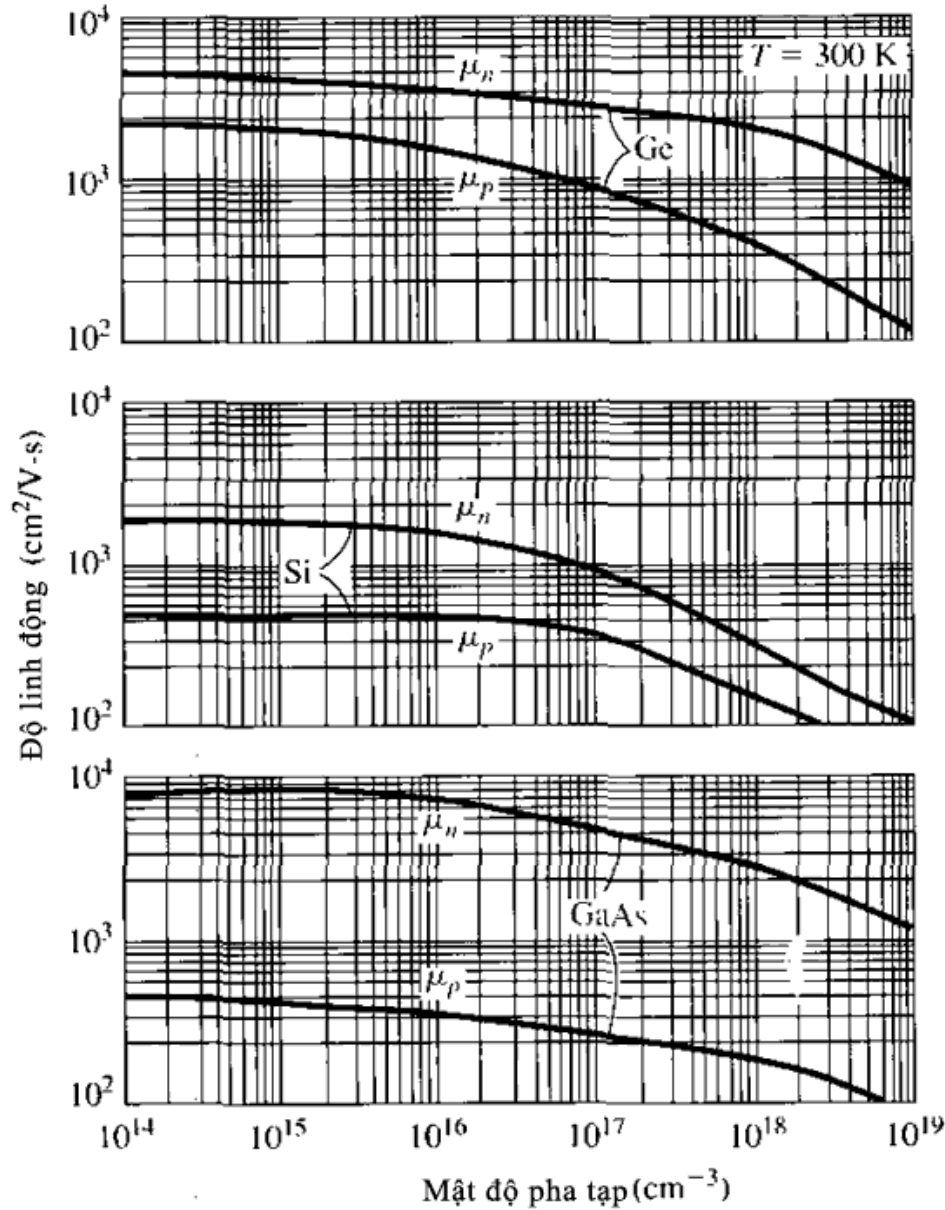
Các hạt mang điện tích hai nh hình học lập phương là tán xạ vi tính b ion hóa. Chúng ta sẽ thấy rằng nguyên tử tạp chất thêm vào bán dẫn khi nó thay tính chất của nó. Nguyên tử tạp chất b ion hóa nhiệt phòng vì thế tác động Coulomb xuất hiện giữa electron hoặc lỗ trống và nguyên tử tạp chất b ion hóa này. Tác động Coulomb này tạo ra tán xạ hoặc va chạm và có thể làm thay đổi vận tốc của hạt tải. Nếu chúng ta ký hiệu μ_l là linh độ tán xạ vi tính b ion hóa thì vận tốc của chúng ta có

$$\mu_l \propto \frac{T^{+3/2}}{N_l} \quad (5.16)$$

ở đây $N_l = N_d^+ + N_a^-$ là tổng các nguyên tử tạp chất b ion hóa trong bán dẫn. Nếu nhiệt độ tăng, vận tốc chuyển động nhiệt ngẫu nhiên của các hạt tải tăng, rút ngắn thời gian mà các hạt tải trong vùng lân cận của tâm tạp chất b ion hóa. Thời gian trong vùng lân cận của lực Coulomb càng nhỏ, hiệu ứng tán xạ càng

nh và giá trị kì vọng của μ_I càng lớn. Nếu số tâm tạp chất bị ion hóa tăng thì xác suất mà một hạt tải điện chui vào nhúng tâm tạp chất bị ion hóa tăng, nghĩa là giá trị của μ_I nhỏ hơn.

Hình 5.3 là biểu đồ minh họa mức năng lượng của electron và lỗ trống trong Germani, Silic, và GaAs tại $T=300K$ như một hàm theo mức pha tạp. Chính xác hơn, nhúng công này là minh họa theo mức tạp chất ion hóa N_I . Khi mức pha tạp tăng, số tâm tán xạ phát xạ tăng, vì thế giảm minh họa.



Hình 5.3 | Độ linh động của electron và lỗ trống theo mật độ pha tạp trong Ge, Si, GaAs tại $T=300K$

KIỂM TRA KIẾN THỨC

E5.3 (a) Dùng hình 5.2, tìm tìm độ linh động của electron khi (i) $N_d=10^{17} \text{ cm}^{-3}$, $T=150^\circ \text{ C}$ và (ii) $N_d=10^{16} \text{ cm}^{-3}$, $T=0^\circ \text{ C}$. (b) Tìm độ linh động của lỗ trống khi (i) $N_a=10^{16} \text{ cm}^{-3}$, $T=50^\circ \text{ C}$; và (ii) $N_a=10^{17} \text{ cm}^{-3}$, $T=150^\circ \text{ C}$.

E5.4 Dùng hình 5.3 xác định linh kiện của electron và lỗ trống trong (a) silic khi $N_d=10^{15} \text{cm}^{-3}$, $N_a=0$; (b) silic khi $N_d=10^{17} \text{cm}^{-3}$, $N_a=5 \times 10^{16} \text{cm}^{-3}$; (c) silic khi $N_d=10^{16} \text{cm}^{-3}$, $N_a=10^{17} \text{cm}^{-3}$; và (d) GaAs khi $N_d=N_a=10^{17} \text{cm}^{-3}$.

τ_L là thời gian trung bình giữa những va chạm do tán xạ mang thì τ_L là xác suất của số kỳ dao động mang trong khoảng thời gian vi phân dt. Tương tự, τ_I là thời gian trung bình giữa những va chạm do tán xạ với những nguyên tử tạp chất bị ion hóa, thì τ_I là xác suất của một số kỳ tán xạ với những nguyên tử tạp chất bị ion hóa trong khoảng thời gian vi phân dt. Nếu quá trình tán xạ này có lẽ thì xác suất tăng của số kỳ tán xạ xuất hiện trong khoảng thời gian dt là tổng của những số kỳ riêng biệt:

$$\frac{dt}{\tau} = \frac{dt}{\tau_I} + \frac{dt}{\tau_L} \quad (5.17)$$

So sánh phương trình (5.17) với những giá trị linh kiện cho bởi phương trình (5.13) hoặc (5.14), chúng ta có thể viết

$$\frac{1}{\mu} = \frac{1}{\mu_I} + \frac{1}{\mu_L} \quad (5.18)$$

Đây μ_I là linh kiện do quá trình tán xạ với những nguyên tử tạp chất bị ion hóa và μ_L là linh kiện do quá trình tán xạ mang. Thông số μ là linh kiện toàn phần. Khi có thêm những cách tán xạ có lẽ nữa, những giá trị nghịch của các linh kiện thêm vào có nghĩa là linh kiện toàn phần giảm.

5.1.3 Điện dẫn

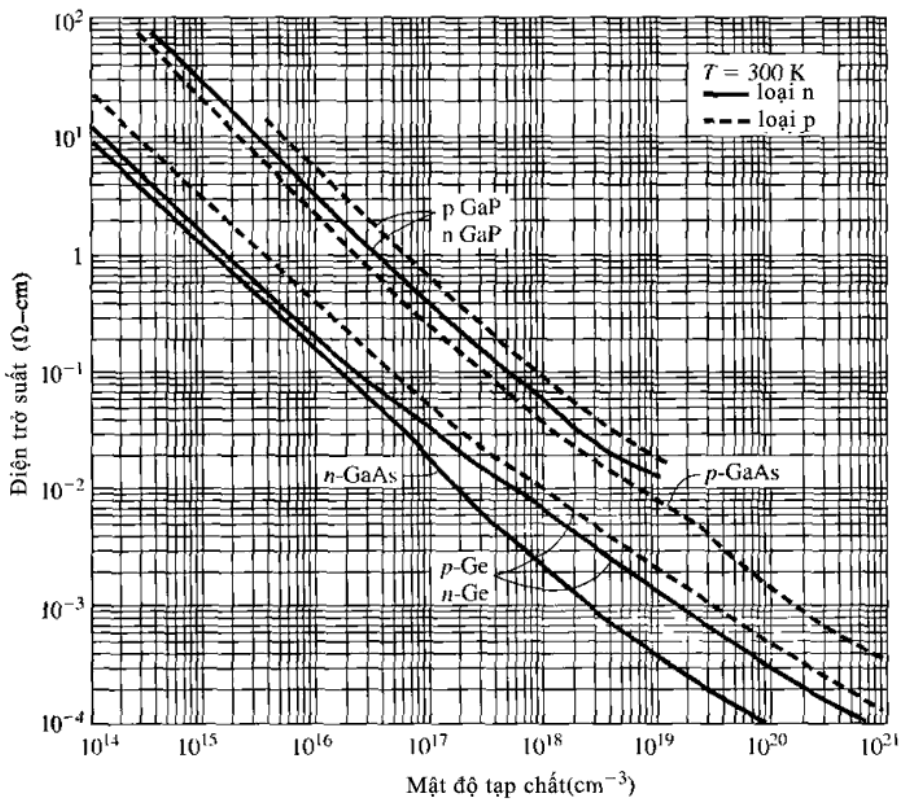
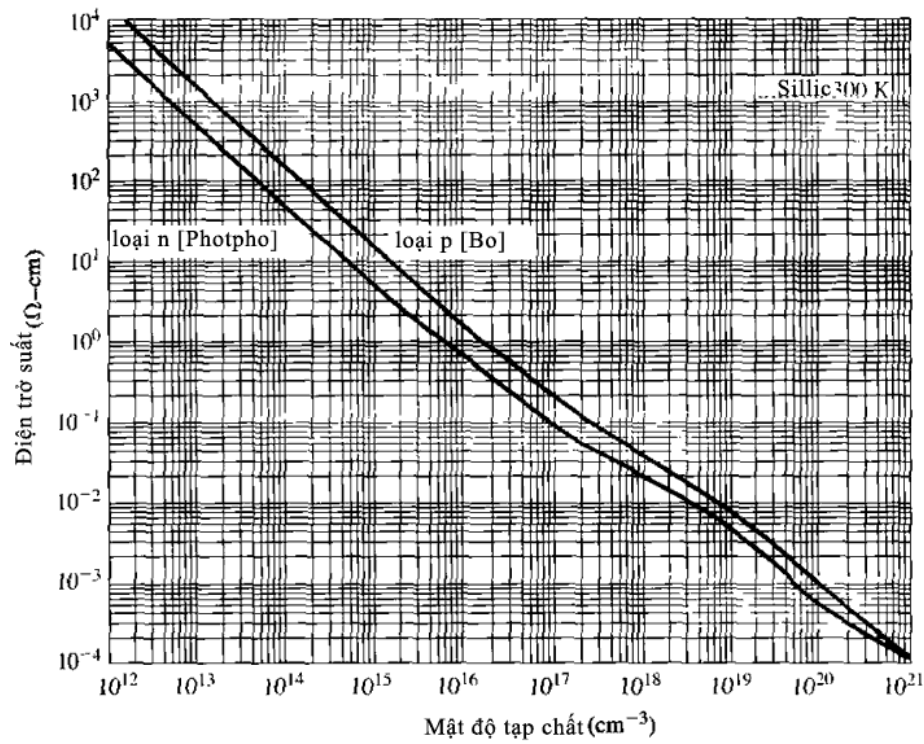
Mật độ dòng trôi do các cho bởi phương trình (5.9) có thể viết lại là

$$J_{\text{trôi}} = e(\mu_n n + \mu_p p)E = \sigma E \quad (5.19)$$

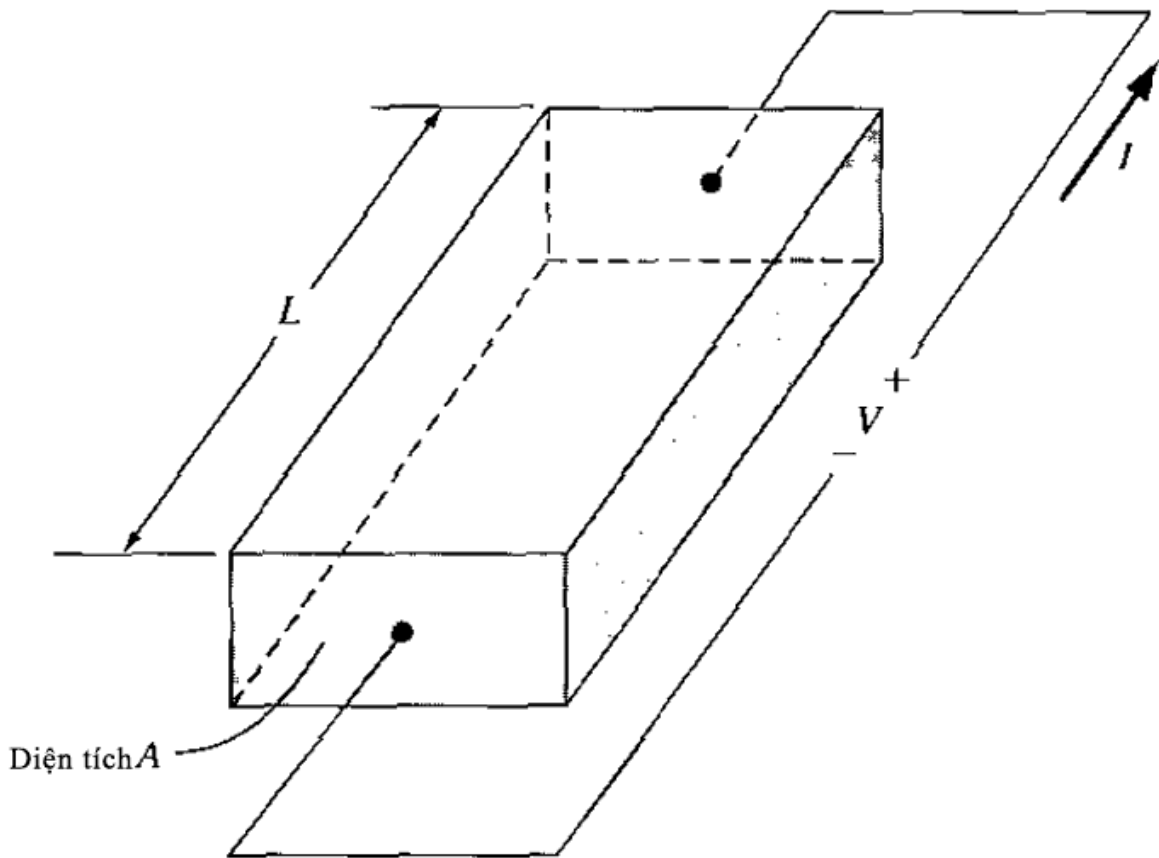
Đây là định luật Ohm vi mô của bán dẫn. Điện dẫn suất có đơn vị là $(\text{ohm-cm})^{-1}$ và là một hàm của mật độ và linh kiện của electron và lỗ trống. Chúng ta vẫn chưa định nghĩa linh kiện là hàm của mật độ, do đó, điện dẫn suất là hàm phi tuyến của mật độ. Nghịch của điện dẫn suất là điện trở suất có ký hiệu là ρ và đơn vị là ohm-cm . Chúng ta có thể viết công thức cho điện trở suất là

$$\rho = \frac{1}{\sigma} = \frac{1}{e(\mu_n n + \mu_p p)} \quad (5.20)$$

Hình 5.4 là đồ thị của điện trở suất theo mật độ pha tạp trong Silic, Germani, GaAs, và GaP tại $T=300K$. Hiện nhiên đồ thị này không phải là hàm tuyến tính theo N_d và N_a do ảnh hưởng của linh kiện.



Hình 5.4 | Điện trở suất theo mật độ pha tạp tại $T \approx 300\text{ K}$ trong [a] Silic và [b] Ge, GaAs, và GaP



Hình 5.5 Thanh bán dẫn như là một điện trở

Nếu chúng ta có một thanh vật liệu bán dẫn như các thanh trong hình 5.5 và một điện áp đặt vào nó thì chúng ta có thể viết

$$J = \frac{I}{A} \quad (5.21a)$$

Và

$$E = \frac{V}{L} \quad (5.21b)$$

Bây giờ chúng ta có thể viết phương trình (5.19) là

$$\frac{I}{A} = \sigma \left(\frac{V}{L} \right) \quad (5.22a)$$

Hoặc

$$V = \left(\frac{L}{\sigma A} \right) I = \left(\frac{\rho L}{A} \right) I = IR \quad (5.22b)$$

Phương trình (5.22b) là định luật Ohm cho bán dẫn. Điện trở là một hàm của điện trở suất, hoặc điện trở suất, và dạng hình học của bán dẫn.

Nếu chúng ta xét bán dẫn loại p với mật độ chất acceptor $N_a (N_d=0)$ và $N_a \gg n_i$, và nếu chúng ta giả sử rằng linh kiện của electron và linh kiện cùng bậc lớn thì điện trở suất trở thành

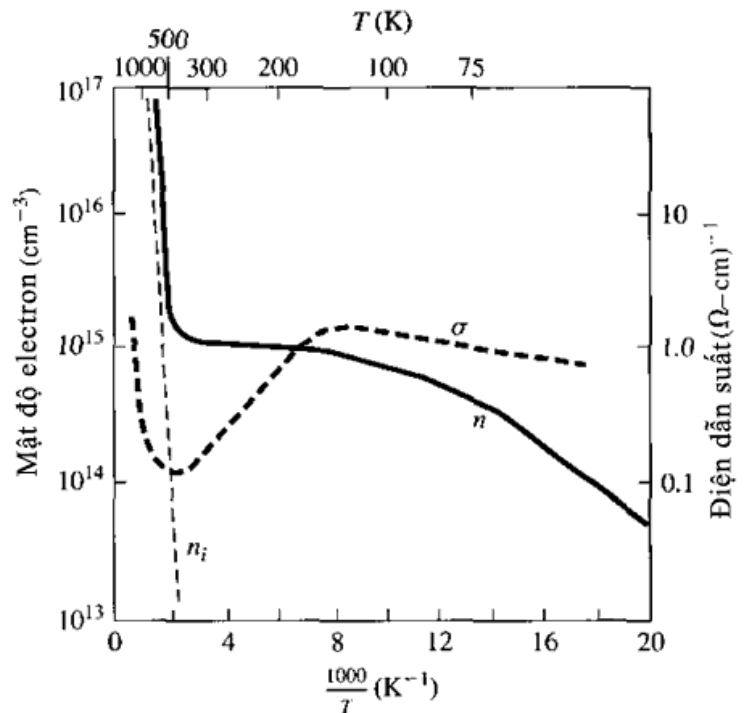
$$\sigma = e(\mu_n n + \mu_p p) \approx e\mu_p p \quad (5.23)$$

Nếu chúng ta giả sử sự ion hóa là hoàn toàn thì phương trình (5.23) trở thành

$$\sigma \approx e\mu_p N_a \approx \frac{1}{\rho} \quad (5.24)$$

Điện trở suất và điện trở suất là một hàm phụ thuộc chủ yếu vào thông số của vật chất.

Chúng ta có thể vẽ đồ thị mật độ hạt tải điện và điện trở suất của bán dẫn như hàm số theo nhiệt độ cho một mật độ pha tạp cố định nào đó. Hình 5.6 biểu diễn mật độ electron và điện trở suất của silic như một hàm theo nghịch đảo của nhiệt độ trong trường hợp $N_d = 10^{15} \text{ cm}^{-3}$. Khoảng giá trị của thang nhiệt độ, hoặc khoảng pha tạp như thể hiện trong hình vẽ, chúng ta có sự ion hóa hoàn toàn mật độ electron và các biến số có giá trị không đổi. Tuy nhiên linh kiện là một hàm theo nhiệt độ vì vậy điện trở suất



Hình 5.6 Mật độ electron và điện dẫn suất theo nghịch đảo của nhiệt độ trong Silic

biến đổi theo nhiệt độ trong khoảng này. Nhiệt độ cao hơn, mật độ hạt tải điện riêng rẽ tăng và bắt đầu chiếm ưu thế so với mật độ electron cân bằng nội tại. Trong khoảng nhiệt độ thấp hơn, số lượng bẫy bắt đầu xuất hiện, mật độ electron và nội tại giảm cùng với sự giảm của nhiệt độ.

VÍ D 5.2

Xác định mật độ phát xạ và hiệu suất phát xạ của bán dẫn bù khi đã biết loại và nội tại của nó.

Xét bán dẫn bù silic loại n tại $T=300K$, với $n_i = 16 \text{ (cm)}^{-1}$ và mật độ phát xạ acceptor là 10^{17} cm^{-3} . Xác định mật độ phát xạ và hiệu suất phát xạ electron.

▪ Giải

Trong bán dẫn loại n tại $T=300K$, chúng ta có thể giả sử ion hóa là hoàn toàn. Do $N_a \gg n_i$ thì nội tại là

$$e\mu_n n = e\mu_n (N_a - n_i)$$

Chúng ta có

$$16 = (1.6 \times 10^{-19}) \mu_n (N_a - 10^{17})$$

Bởi vì hiệu suất là hàm của mật độ phát xạ bẫy nên chúng ta có thể dùng hình 5.3 cùng với phương pháp sai lệch để xác định μ_n và N_a . Chẳng hạn, nếu chúng ta chọn $N_a = 2 \times 10^{17}$ thì $N_I = N_d^+ + N_a^- = 3 \times 10^{17}$ sao cho $\mu_n = 510 \text{ cm}^2/\text{V}\cdot\text{s}$ suy ra $n_i = 8.16 \text{ (cm)}^{-1}$. Nếu chúng ta chọn $N_a = 5 \times 10^{17}$ thì $N_I = 6 \times 10^{17}$ sao cho $\mu_n = 325 \text{ cm}^2/\text{V}\cdot\text{s}$ suy ra $n_i = 20.8 \text{ (cm)}^{-1}$. Sử dụng hai giá trị này. Dùng phương pháp sai lệch

$$N_a = 3.5 \times 10^{17} \text{ cm}^{-3}$$

Và

$$\mu_n = 400 \text{ cm}^2/\text{V}\cdot\text{s}$$

do vậy

$$16 \text{ (cm)}^{-1}$$

▪ Kết luận

Chúng ta có thể thấy từ ví dụ này rằng, trong vật liệu bán dẫn có nội tại cao, hiệu suất là hàm phụ thuộc mạnh vào mật độ hạt tải điện.

VÍ D 5.3

Thiết kế intrin bán dẫn iu khi n mật độ dòng cho trước.

Bán dẫn silic $T=300K$ ban đầu có mật độ phát xạ electron là $N_d = 5 \times 10^{15} \text{ cm}^{-3}$. Acceptor được thêm vào để hình thành bán dẫn bù loại p. Intrin có giá trị là $10 \text{ k}\Omega$ và iu khi n mật độ dòng iu là 50 A/cm^2 khi hiu iu là 5 V được t vào.

▪ Giải

Khi hiu iu là 5 V được t vào intrin $10 \text{ k}\Omega$ thì dòng iu là

$$I = \frac{V}{R} = \frac{5}{10} = 0.5 \text{ mA}$$

N u m t dòng i n c gi i h n là 50 A/cm^2 thì t i t đ i n truy n qua là

$$A = \frac{I}{J} = \frac{0.5 \times 10^{-3}}{50} = 10^{-5} \text{ cm}^2$$

N u chúng ta gi i h n i n tr ng là $E=100 \text{ V/cm}$ (h i tùy t i n t i i m này) thì đ ài c a i n tr là

$$L = \frac{V}{E} = \frac{5}{100} = 5 \times 10^{-2} \text{ cm}$$

T ph ng tr ình (5.22b) i n đ n s u t c a bán đ n là

$$\sigma = \frac{L}{RA} = \frac{5 \times 10^{-2}}{(10^4)(10^{-5})} = 0.50 (\Omega - \text{cm})^{-1}$$

i n đ n s u t c a bán đ n bù lo i p là

$$e\mu_p p = e\mu_p (N_a - N_d)$$

ây linh ng là hàm c a m t t p ch t b ion hóa $N_a + N_d$

Dùng ph ng pháp th sai, n u $N_a = 1.25 \times 10^{16} \text{ cm}^{-3}$ thì $N_a + N_d = 1.75 \times 10^{16} \text{ cm}^{-3}$, và linh ng c a l tr ng, t ình 5.3 g n b ng $\mu_p = 410 \text{ cm}^2/\text{V}\cdot\text{s}$. Do ó, i n đ n s u t là

$$\sigma = e\mu_p (N_a - N_d) = (1.6 \times 10^{-19})(410)(1.25 \times 10^{16} - 5 \times 10^{15}) = 0.492$$

Giá tr này r t g n v i giá tr mà chúng ta c n.

▪ K t lu n

B i vì linh ng có liên h v i m t t p ch t b ion hóa t ng c ng nên v i c xác nh m t t p ch t t c m t i n đ n s u t cho tr c không đ .

E5.5 Silic t i $T=300\text{K}$ c pha t p v i m t pha t p $N_d=5 \times 10^{16} \text{ cm}^{-3}$ và $N_a=2 \times 10^{16} \text{ cm}^{-3}$. (a) linh ng c a electron và l tr ng là bao nhiêu? (b) Xác nh i n đ n s u t và i n tr s u t c a v t l i u.

E5.6 Xét thi t bán đ n silic nhi t $T=300\text{K}$, v t l i u c yêu c u là lo i n v i i n tr s u t là 0.10 -cm . (a) Xác nh m t pha t p c n thi t và (b) linh ng c a elctron thu c.

E5.7 M t thanh silic lo i p, ch ng h n nh c ch trong hình 5.5, có t i t đ i n truy n qua là $A=10^{-16} \text{ cm}^2$ và đ ài là $L=1.2 \times 10^{-3} \text{ cm}$. Khi t i n áp 5 V vào, dòng i n qua thanh là 2 mA . Xác nh (a) i n tr , (b) i n tr s u t c a silic, và (c) m t pha t p ono.

i v i v t l i u bán đ n r òng, i n đ n s u t có th c v i t là

$$\sigma_i = e(\mu_n + \mu_p)n_i \quad (5.25)$$

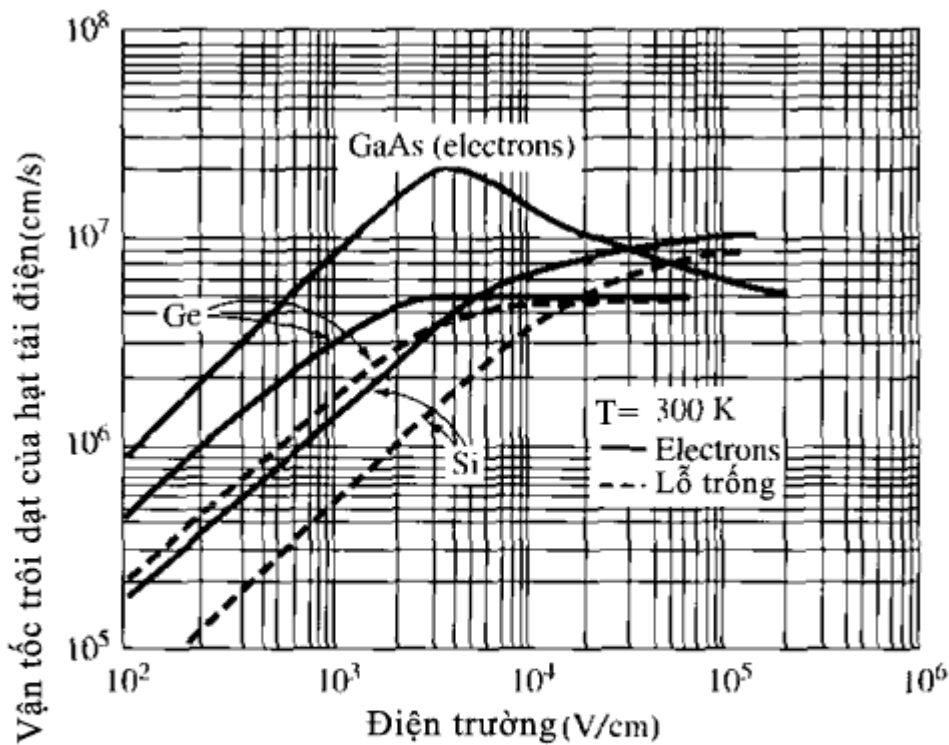
Mật độ electron và mật độ lỗ trống bằng nhau trong bán dẫn ròng, vì vậy mật độ dòng riêng bao gồm cả dòng của electron và lỗ trống. Nói chung, bởi vì dòng của electron và lỗ trống không bằng nhau, mật độ dòng riêng không phải là giá trị nhũn nhũn có thể tính cho trước.

5.1.4 Bảo hòa vận tốc

Trong khi khảo sát vận tốc trôi dạt, chúng ta sẽ giả sử rằng dòng không phải là hàm của cường độ điện trường. Vận tốc tăng của mật độ dòng theo vận tốc chuyển động nhiệt ngẫu nhiên và vận tốc trôi dạt. Tại $T=300K$, mật độ dòng chuyển động nhiệt trung bình ngẫu nhiên là

$$\frac{1}{2}mv_{th}^2 = (3/2)kT = (3/2)(0.0259) = 0.03885 eV \quad (5.26)$$

Mật độ dòng này tương đương với vận tốc chuyển động nhiệt trung bình của 10^7 cm/s đối với electron trong Silicon. Trong Silicon ở pha tạp p, nếu chúng ta giả sử rằng dòng của electron $\mu_n = 1350 \text{ cm}^2/V\text{-s}$ và điện trường tác động là 75 V/cm thì vận tốc trôi dạt là 10^5 cm/s, tức là bằng 1% của vận tốc chuyển động nhiệt. Điện trường này không làm thay đổi đáng kể mật độ dòng của electron.

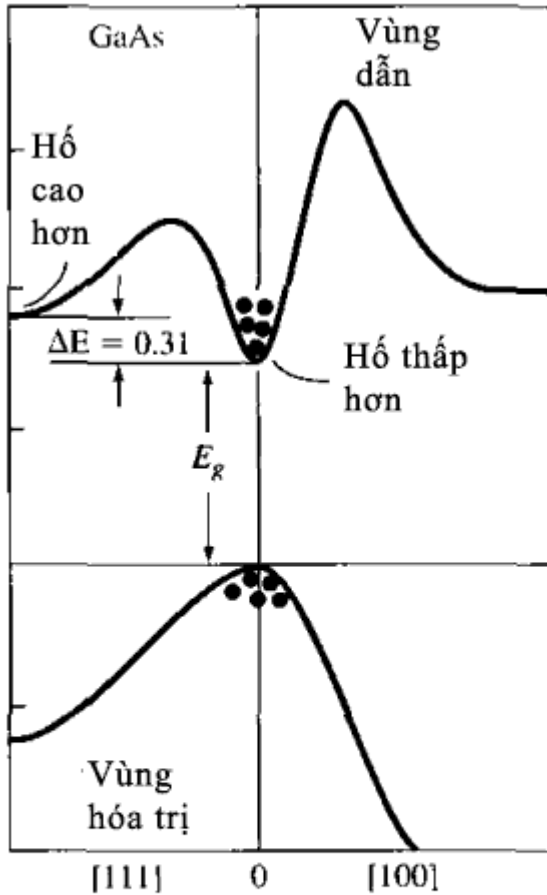


Hình 5.7 | Vận tốc trôi dạt theo điện trường của Si, Ge, và GaAs pha tạp cao

Hình 5.7 là biểu đồ vận tốc trôi dạt trung bình theo cường độ điện trường của electron và lỗ trống trong Silic, GaAs, và germani. Tuy nhiên, vận tốc bão hòa của electron và lỗ trống trong các vật liệu này phụ thuộc vào vận tốc trôi dạt theo điện trường là không đồng nhất. Các vận tốc trôi dạt của electron và lỗ trống trong các vật liệu khác nhau phụ thuộc vào vận tốc trôi dạt trung bình theo điện trường. Chẳng hạn vận tốc trôi dạt của electron trong silic bão hòa tại giá trị 10^7 cm/s tại cường độ điện trường khoảng 30kV/cm. Nếu vận tốc trôi dạt của hạt mang điện bão hòa thì mật độ dòng điện trôi dạt sẽ bão hòa và không phụ thuộc vào cường độ điện trường tác động vào.

Biểu đồ này phụ thuộc vào vận tốc trôi dạt theo điện trường của GaAs phụ thuộc vào silic và germani. Tuy nhiên, đặc biệt đáng chú ý là vận tốc trôi dạt của electron, nó có $8500 \text{ cm}^2/\text{V}\cdot\text{s}$ trong GaAs. Vận tốc trôi dạt của electron trong silic và germani thấp hơn nhiều so

v i Silic. Khi c ng i n tr ng t ng, v n t c trôi trong GaAs t n m t giá tr nh và r i gi m xu ng. lnh ng vi phân là d c c a ng cong t i m t i m và d c âm c a ng cong bi u th m t lnh ng vi phân âm. lnh ng vi phân âm t o ra m t i n tr vi phân âm; tính ch t này c s d ng trong vi c thi t k máy hi n sóng.



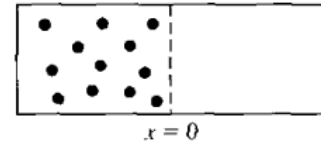
Hình 5.8 | Cấu trúc vùng năng lượng của GaAs cho thấy những hố cao hơn và thấp hơn trong vùng dẫn

lnh ng vi phân âm có th hi u c b ng cách xem xét th E theo k c a GaAs, nó c bi u di n l i trong hình 5.8. Khi l ng hi u d ng c a electron trong h th p h n là $m_n^* = 0.067m_0$. Khi l ng hi u d ng nh d n n lnh ng l n. Khi i n tr ng E t ng, n ng l ng c a electron t ng và electron có th b tán x vào nh ng h cao h n, ó kh i l ng hi u d ng b ng $0.55 m_0$. Khi i

lĩnh vực nghiên cứu này đã làm cho lĩnh vực nghiên cứu này. Các nghiên cứu này đã làm cho lĩnh vực nghiên cứu này. Các nghiên cứu này đã làm cho lĩnh vực nghiên cứu này.

5.2]S KHU CH TÁN H T T I I N

Cùng với sự trôi dạt có một chiều thì hai có thể gây ra dòng điện trong bán dẫn. Chúng ta hãy xem xét một mô hình đơn giản là một bình chứa, như được vẽ trong hình 5.9, được chia thành hai phần bởi một màng. Phía trái chứa khí phân tử khí mêtan và phía phải chứa khí phân tử khí hydro. Khi màng bị phá vỡ thì khí phân tử khí di chuyển sang bên phải của bình chứa. Sự khuếch tán là một quá trình mà nó không hề thay đổi như vùng có mật độ

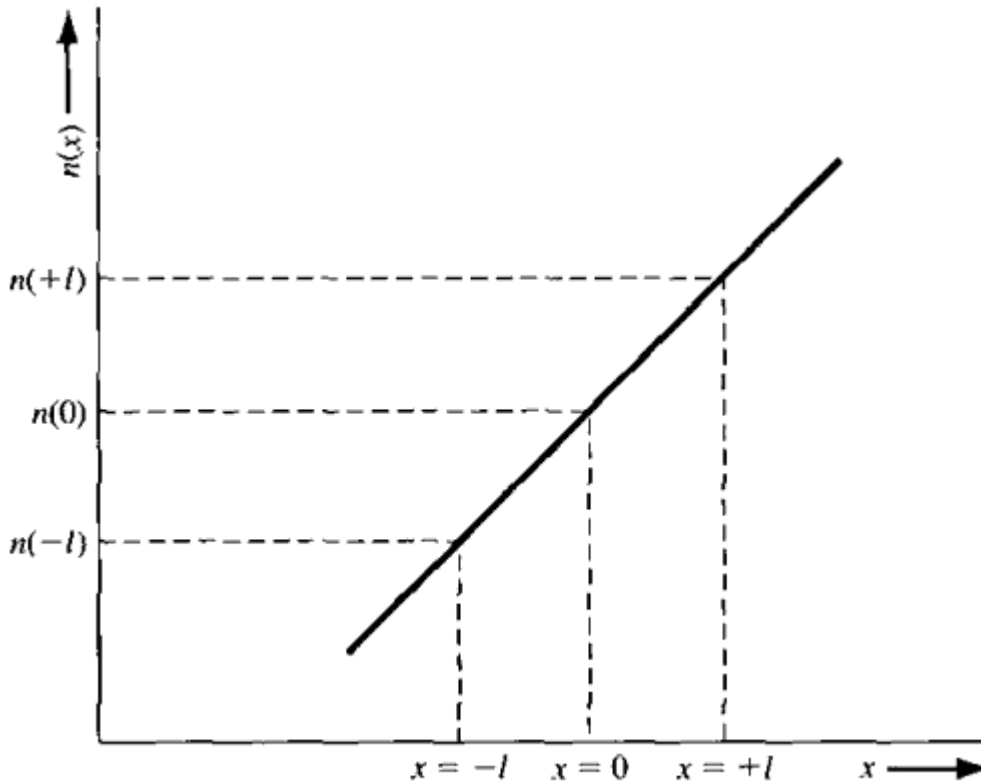


Hình 5.9 | Bình chứa được ngăn cách bởi một màng với những phân tử khí ở một bên

sang như vùng có mật độ thấp. Nếu khí phân tử khí là những hạt mang điện, sự di chuyển toàn phần của những hạt mang điện sẽ tạo ra dòng điện khuếch tán.

5.2.1 Mật độ dòng điện khuếch tán

Để hiểu quá trình khuếch tán trong bán dẫn, chúng ta sẽ xem xét một mô hình đơn giản hóa. Giả sử rằng một electron bị nới lỏng theo một hướng nhất định như được vẽ trong hình 5.10. Nhiệm vụ của chúng ta là tìm ra sao cho vận tốc trung bình của electron không phụ thuộc vào x . Tính dòng điện, chúng ta sẽ xác định dòng toàn phần của electron trên một đơn vị thời gian trên một đơn vị diện tích qua mặt phẳng $x=0$. Nếu **khoảng cách l của electron trong hình là quãng đường do trung bình của electron**, nghĩa là khoảng cách trung bình mà electron di chuyển giữa hai va chạm ($l = \lambda_{th}$), thì tính trung bình, electron di chuyển sang phải $x = -l$ và di chuyển sang trái $x = +l$ đi qua mặt



Hình 5.10 Mật độ electron theo khoảng cách

phần $x=0$. Mật độ electron tại $x=-l$ sẽ di chuyển sang phải bất cứ lúc nào và mật độ electron tại $x=+l$ sẽ di chuyển sang trái bất cứ lúc nào, tức là di chuyển hoàn toàn phần của dòng electron theo hướng $+l$ qua $x=0$ là

$$F_n = \frac{1}{2}n(-l)v_{th} - \frac{1}{2}n(+l)v_{th} = \frac{1}{2}v_{th}[n(-l) - n(+l)] \quad (5.27)$$

Nếu chúng ta khai triển mật độ electron thành chuỗi Taylor quanh $x=0$ và chỉ giữ lại 2 số hạng đầu thì chúng ta có thể viết phần trình (5.27) là

$$F_n = \frac{1}{2}v_{th} \left\{ \left[n(0) - l \frac{dn}{dx} \right] - \left[n(0) + l \frac{dn}{dx} \right] \right\} \quad (5.28)$$

Tương tự

$$F_n = -v_{th} l \frac{dn}{dx} \quad (5.29)$$

Mật độ electron có điện tích $(-e)$, vì vậy dòng điện là

$$J = -eF_n = +e\upsilon_{th}l \frac{dn}{dx} \quad (5.30)$$

Dòng J mô tả bởi phương trình (5.30) là dòng khuếch tán electron và tỉ lệ với gradient mật độ electron.

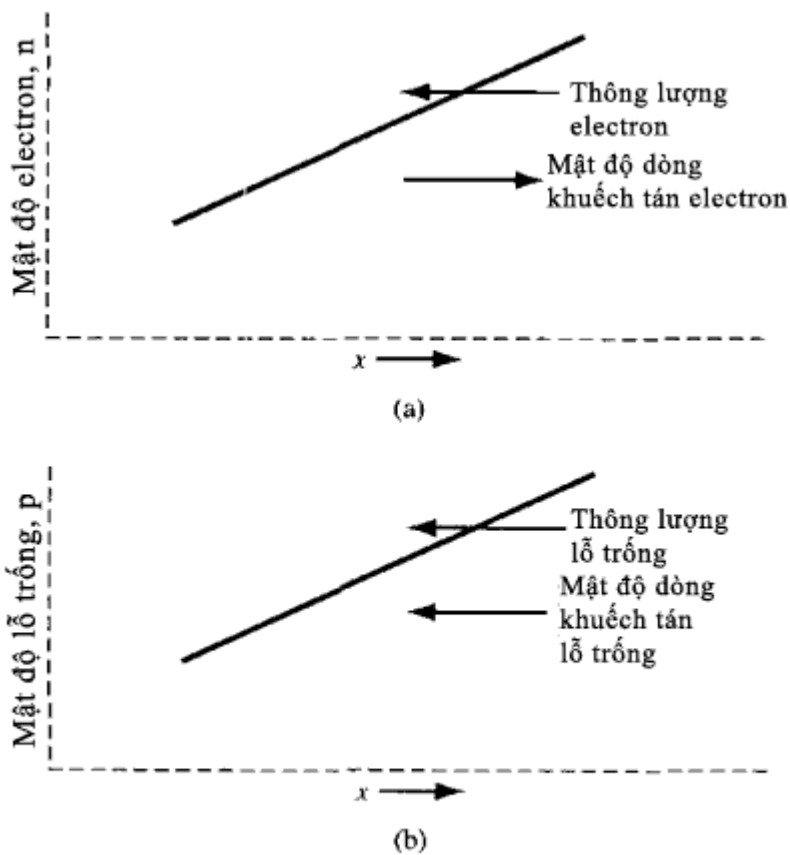
Số khuếch tán của electron từ vùng có mật độ cao sang vùng mật độ thấp tạo ra một dòng electron chảy về hướng âm của x . Bởi vì electron có điện tích âm nên hướng của dòng điện là hướng dương. Hình 5.11a biểu diễn dòng chảy của electron và hướng của dòng điện trong không gian một chiều. Chúng ta có thể viết một dòng khuếch tán electron cho trường hợp một chiều dưới dạng

$$J_{n(x) \text{ khuếch tán}} = eD_n \frac{dn}{dx} \quad (5.31)$$

Ở đây D_n được gọi là *hệ số khuếch tán electron*, đơn vị là cm^2/s , và là một hằng số dương. Nếu gradient mật độ của electron âm, dòng khuếch tán sẽ chảy theo hướng âm.

Hình 5.11b biểu diễn ví dụ một trường hợp như hàm số theo khoảng cách trong bán dẫn. Số khuếch tán của lỗ trống từ vùng có mật độ cao đến vùng có mật độ thấp tạo ra một dòng chảy lỗ trống theo hướng âm. Bởi vì lỗ trống là hạt mang điện dương nên chiều của một dòng khuếch tán theo quy ước cũng theo hướng âm. Một dòng khuếch tán của lỗ trống tỉ lệ với gradient mật độ của lỗ trống và vì điện tích dương, vì vậy chúng ta có thể viết

$$J_{p(x) \text{ khuếch tán}} = -eD_p \frac{dp}{dx} \quad (5.32)$$



Hình 5.11 | [a] Khuếch tán electron do gradient mật độ. [b] Khuếch tán lỗ trống do gradient mật độ

ở vị trí x là $p(x)$. D_p là hệ số khuếch tán lỗ trống, đơn vị là cm^2/s , và là hằng số. Nếu gradient mật độ lỗ trống âm, chiều của dòng khuếch tán sẽ là chiều x dương.

VÍ DỤ 5.4

Tính mật độ dòng khuếch tán khi đã biết gradient mật độ.

Giả sử trong bán dẫn GaAs loại n tại $T=300\text{K}$, mật độ electron biến thiên tuyến tính từ 1×10^{18} đến $7 \times 10^{17} \text{ cm}^{-3}$ trên khoảng cách 0.10 cm . Tính mật độ dòng khuếch tán nếu hệ số khuếch tán electron là $D_n=225 \text{ cm}^2/\text{s}$.

- Giá trị
Mật độ dòng khuếch tán là

$$J_{n|khuetchan} = eD_n \frac{dn}{dx} \approx eD_n \frac{\Delta n}{\Delta x}$$

$$= (1.6 \times 10^{-19})(225) \left(\frac{1 \times 10^{18} - 7 \times 10^{17}}{0.10} \right) = 108 \text{ A/cm}^2$$

▪ **K t l u n**

V i m t Gradient m t nh c ng có th t o ra ðòng khu ch tán áng k trong v t li u bán d n.

KI M TRA KI NTH C

E5.8 M t electron trong silic là $n(x) = 10^{15} e^{-(x/L)} \text{ cm}^{-3}$ ($x \geq 0$) ây $L = 10^{-4} \text{ cm}$. H s khu ch tán electron là $D_n = 25 \text{ cm}^2/\text{s}$. Xác nh m t ðòng khu ch tán electron t i (a) $x=0$, (b) $x=10^{-4} \text{ cm}$, và (c) $x = \dots$.

E5.9 M t l tr ng trong silic bi n i tuy n tính t $x=0$ n $x=0.01 \text{ cm}$. H s khu ch tán c a l tr ng là $D_p = 10 \text{ cm}^2/\text{s}$, m t ðòng khu ch tán c a l tr ng là 20 A/cm^2 , và m t l tr ng t i $x=0$ là $p = 4 \times 10^{17} \text{ cm}^{-3}$. H i m t l tr ng bàng bao nhiêu t i $x=0.01 \text{ cm}$?

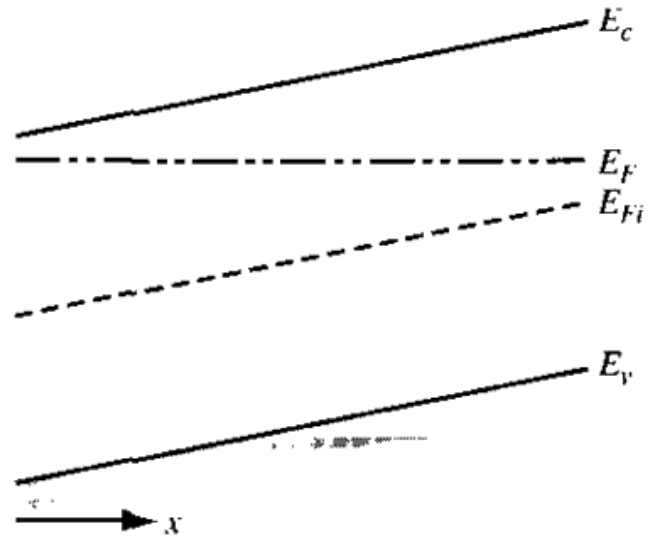
E5.10 M t l tr ng trong silic là $p(x) = 2 \times 10^{15} e^{-(x/L)} \text{ cm}^{-3}$ ($x \geq 0$). H s khu ch tán c a l tr ng là $D_p = 10 \text{ cm}^2/\text{s}$. Giá tr c a m t ðòng khu ch tán t i $x=0$ là $J_{khuetchan} = +6.4 \text{ A/cm}^2$. Giá tr c a L b ng bao nhiêu?

5.3| S PHÂN B T P CH T THÀNH T NG L P

Cho n lúc này, trong a s các tr ng h p, chúng ta ã gi s r ng bán d n c pha t p u. Tuy nhiên, trong nhi u thi t b bán d n, có th có nh ng vùng c pha t p không ng u. Chúng ta s nghiên c u xem bán d n c pha t p không u t n tr ng thái cân b ng nhi t nh th nào và t s phân tích này, chúng ta s rút ra h th c Einstein. H th c này có liên quan n linh ng và h s khu ch tán.

5.3.1 i n tr ng c m ng

Xét bán dẫn có pha tạp không thuần khiết nguyên tử tạp chất donor. Khi bán dẫn ở trạng thái cân bằng nhiệt, mức năng lượng Fermi không phải là một đường thẳng trong trường hợp này. Sự có mặt của khuếch tán điện tích dẫn đến sự phân bố electron trong vùng mức năng lượng cao sang vùng mức năng lượng thấp theo hướng ngược lại. Dòng electron đi về phía sau như ion donor mang điện dương. Sự tách thành hai vùng điện tích âm và dương này làm cho mức năng lượng Fermi biến đổi theo hướng ngược lại quá trình khuếch tán. Khi bán dẫn ở trạng thái cân bằng, mức năng lượng Fermi không biến đổi về mặt vật lý cục bộ và biến đổi theo mức năng lượng cục bộ để phân chia điện tích nào khác nữa. Trong hầu hết các trường hợp, điện tích không gian xuất hiện do quá trình khuếch tán này là một phần của cấu trúc pha tạp vì thế mức năng lượng Fermi khác nhau so với mức năng lượng của nguyên tử tạp chất.



Hình 5.12 | Biểu đồ vùng năng lượng của bán dẫn ở trạng thái cân bằng nhiệt với mật độ tạp chất donor không đồng đều

Điện trường của electron liên hệ với thế năng của electron qua điện tích ($-e$), vì vậy chúng ta có thể viết

$$E_x = -(1/e)(E_F - E_{Fi}) \tag{5.35}$$

Điện trường trong trường hợp một chiều cũng có thể viết là

$$E_x = -\frac{d\Phi}{dx} = \frac{1}{e} \frac{dE_{Fi}}{dx} \tag{5.36}$$

Bảng 5.2 | Giá trị của hệ số linh động và hệ số khuếch tán điện hình tại $T = 300 \text{ K}$ ($\mu = \text{cm}^2/\text{V}\cdot\text{s}$ and $D = \text{cm}^2/\text{s}$)

	μ_m	D_n	μ_p	D_p
Silicon [Si]	1350	35	480	12.4
Gallium arsenide [GaAs]	8500	220	400	10.4
Germanium [Ge]	3900	101	1900	49.2

Nếu mức Fermi riêng thay đổi như một hàm số theo không gian trong bán dẫn ở trạng thái cân bằng nhiệt, mức Fermi trong bán dẫn.

Nếu chúng ta giả sử mức Fermi trung hòa của electron gần bằng mức Fermi của lỗ trống thì chúng ta vẫn có thể viết

$$n_0 = n_i \exp\left[\frac{E_F - E_{Fi}}{kT}\right] \approx N_d(x) \quad (5.37)$$

Giả sử tìm $E_F - E_{Fi}$

$$E_F - E_{Fi} = kT \ln\left(\frac{N_d(x)}{n_i}\right) \quad (5.38)$$

trạng thái cân bằng nhiệt, mức Fermi không đổi vì vậy khi lấy đạo hàm theo x , chúng ta thu được

$$-\frac{dE_{Fi}}{dx} = \frac{kT}{N_d(x)} \frac{dN_d(x)}{dx} \quad (5.39)$$

Do đó, kết hợp phương trình (5.39) và (5.36) thì trong trường hợp này có thể viết là

$$E_x = -\left(\frac{kT}{e}\right) \frac{1}{N_d(x)} \frac{dN_d(x)}{dx} \quad (5.40)$$

Bởi vì chúng ta có mức Fermi nên sẽ có sự chênh lệch điện thế trong vật liệu bán dẫn do sự phân bố không đồng đều.

VÍ D 5.5

Xác định điện trường trong bán dẫn trạng thái cân bằng nhiệt khi đã biết số biến đổi tuyến tính trong một pha tạp.

Giả sử một donor trong bán dẫn loại n tại $T=300\text{K}$ là

$$N_d(x) = 10^{16} - 10^{19}x \quad (\text{cm}^{-3})$$

đây là một hàm bậc nhất và nằm trong khoảng $0 \leq x \leq 1 \mu\text{m}$.

▪ Giải

Lấy đạo hàm một lần theo x , chúng ta có

$$\frac{dN_d(x)}{dx} = -10^{19} \text{cm}^{-4}$$

Trên đây là biểu thức cho biến thiên nồng độ tạp chất, vì vậy chúng ta có

$$E_x = \frac{-(-0.0259)(-10^{19})}{(10^{16} - 10^{19}x)}$$

Chúng ta cần tìm điện trường tại $x=0$, chúng ta tìm được

$$E_x = 25.9 \text{ V/cm}$$

▪ Kết luận

Chúng ta nhận thấy trong phần dòng trôi điện trường trong bán dẫn có thể tồn tại dòng trôi điện trường, vì thế điện trường trong bán dẫn do sự phân bố tạp chất không đồng đều gây ra tính chất của bán dẫn.

5.3.2 Hiện tượng Einstein

Nếu chúng ta xét bán dẫn pha tạp không có biến đổi nồng độ tạp chất trong hình 5.12 và giả sử bán dẫn ở trạng thái cân bằng nhiệt thì dòng electron và lỗ trống phải bằng 0. Chúng ta có thể viết

$$J_n = 0 = e n \mu_n E_x + e D_n \frac{dn}{dx} \quad (5.41)$$

Nếu chúng ta giả sử nồng độ tạp chất $N_d(x)$ thì chúng ta có thể viết lại phương trình (5.41) là

$$J_n = 0 = e \mu_n N_d(x) E_x + e D_n \frac{dN_d(x)}{dx} \quad (5.42)$$

Thay biểu thức của các tham số vật lý vào phương trình (5.40) và phương trình (5.42), chúng ta thấy

$$0 = -e\mu_n N_d \left(\frac{kT}{e} \right) \frac{1}{N_d(x)} \frac{dN_d(x)}{dx} + eD_n \frac{dN_d(x)}{dx} \quad (5.43)$$

Phương trình (5.43) có nghĩa vật lý như sau

$$\frac{D_n}{\mu_n} = \frac{kT}{e} \quad (5.44a)$$

Đồng thời, phương trình (5.43) trong bán dẫn. Từ vật lý như chúng ta có thể chứng minh được

$$\frac{D_p}{\mu_p} = \frac{kT}{e} \quad (5.44b)$$

Kết hợp phương trình (5.44a) và (5.44b) cho ta

$$\frac{D_n}{\mu_n} = \frac{D_p}{\mu_p} = \frac{kT}{e} \quad (5.45)$$

Hệ số khuếch tán và hệ số linh động là hai thông số không có liên hệ nhau. Hệ số khuếch tán và hệ số linh động theo biểu thức (5.45) có nghĩa là *hệ thức Einstein*.

Bảng 5.2 | Giá trị của hệ số linh động và hệ số khuếch tán điển hình tại $T = 300 \text{ K}$ ($\mu = \text{cm}^2/\text{V}\cdot\text{s}$ and $D = \text{cm}^2/\text{s}$)

	μ_n	D_n	μ_p	D_p
Silicon [Si]	1350	35	480	12.4
Gallium arsenide [GaAs]	8500	220	400	10.4
Germanium [Ge]	3900	101	1900	49.2

VÍ DỤ 5.6

Xác định hệ số khuếch tán khi biết hệ số linh động của hạt tải điện. Hệ số linh động của hạt tải điện là $1000 \text{ cm}^2/\text{V}\cdot\text{s}$ tại $T=300\text{K}$.

- Giải
Dùng hệ thức Einstein, chúng ta có

$$D = \left(\frac{kT}{e} \right) \mu = (0.0259)(1000) = 25.9 \text{ cm}^2 / \text{s}$$

▪ **K t l u n**

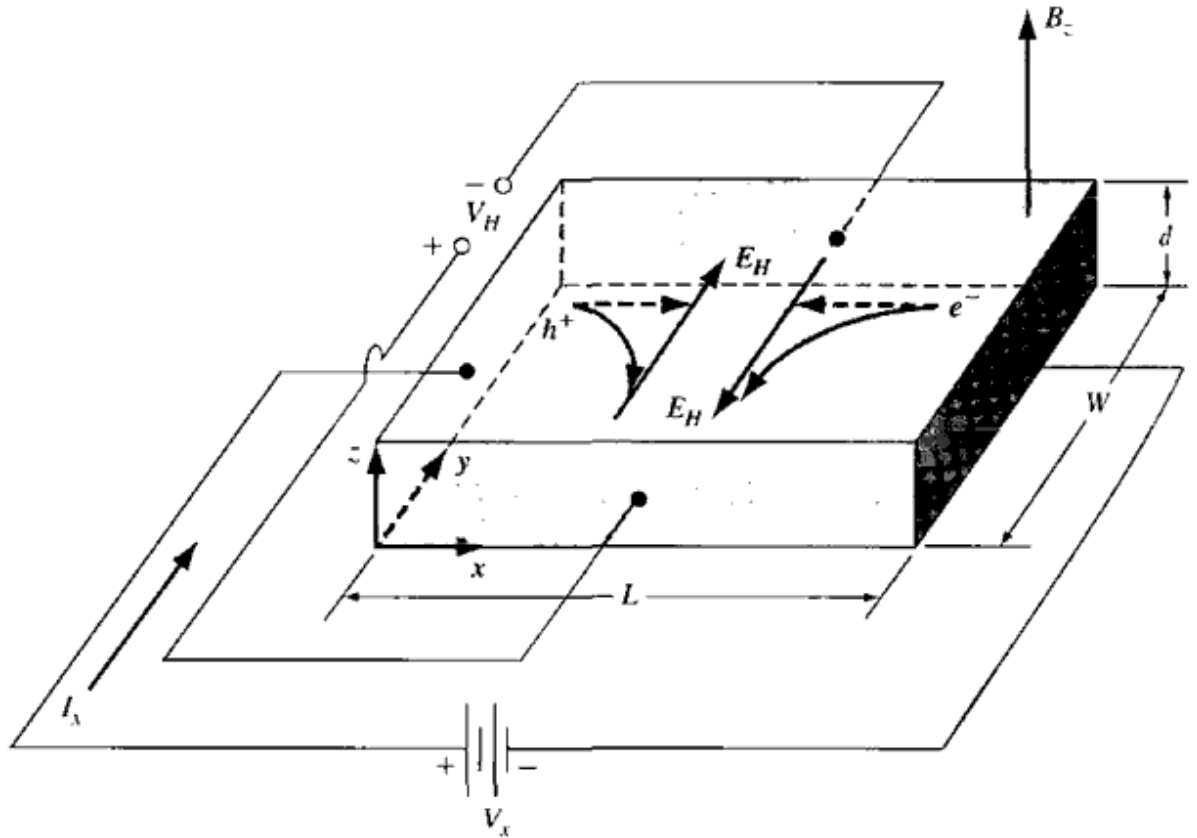
M c dù ví d này h i n gi n nh ng c n nh r ng b c l n t ng i c a linh ng và h s khu ch tán. H s khu ch tán nh h n linh ng g n 40 l n nhi t phòng.

B ng 5.2 cho bi t giá tr h s khu ch tán t i T=300K ng v i linh ng c li t kê trong b ng 5.1 cho silic, GaAs, và Ge.

H th c gi a linh ng và h s khu ch tán (5.45) ch a nhi t . C n nh r ng hi u ng nhi t a s là k t qu c a tán x m ng và tán x v i nh ng nguyên t t p ch t b ion hóa nh c th o lu n trong ph n 5.1.2. Khi linh ng là hàm ph thu c m nh vào nhi t b i quá trình tán x , h s khu ch tán c ng là hàm ph thu c m nh vào nhi t . S ph thu c nhi t c cho trong ph ng trình (5.45) là m t ph n nh c a tính ch t nhi t th c s .

***5.4|HI U NG HALL**

Hi u ng Hall là h qu c a l c tác d ng lên i n tích chuy n ng trong i n tr ng và t tr ng. Hi u ng Hall c dùng phân bi t gi a bán d n lo i p và bán d n lo i n và o m t h t t i i n a s và linh ng. Thi t b hi u ng Hall c kh o sát trong ph n này c dùng trong th c nghi m o các thông s c a bán d n. Tuy nhiên, nó c ng c ng d ng r ng rãi trong k thu t nh trong u dò t và nh ng m ch i n ng d ng khác.



Hình 5.13 | Sơ đồ đo hiệu ứng Hall

Lực tác động lên hạt có điện tích q và di chuyển trong từ trường là

$$\mathbf{F} = q \times \mathbf{B} \quad (5.46)$$

Đây tích có hướng thể hiện gia tốc và chuyển động trong vì vectơ lực vuông góc với vectơ vận tốc và vectơ cảm ứng từ trường.

Hình 5.13 minh họa hiệu ứng Hall. Một thanh bán dẫn có dòng điện I_x chảy trong nó được đặt trong từ trường vuông góc với dòng điện. Trong trường hợp này, từ trường hướng theo trục z . Electron và lỗ trống chuyển động trong bán dẫn sẽ chịu một lực như thể hiện trong hình. Lực tác động trên electron và lỗ trống theo hướng $(-y)$. Trong bán dẫn loại p ($p_0 > n_0$), sẽ có mật độ tích điện dương tích tụ trên bề mặt $y=0$ của bán dẫn, và trong bán dẫn loại n ($n_0 > p_0$) sẽ có tích điện âm tích tụ trên bề mặt $y=0$. Điện tích toàn phần này có mật độ từ trường giống như trong hình vẽ. Trường thái xác lập, lực cân bằng với lực điện như trong hình vẽ. Sự cân bằng này có thể viết là

$$\mathbf{F} = q[\mathbf{E} + \mathbf{v} \times \mathbf{B}] = 0 \quad (5.47a)$$

Từ phương trình

$$qE_y = qv_x B_z \quad (5.47b)$$

Trường điện cảm ứng theo hướng y chính là trường Hall. Trường Hall tạo ra một điện áp qua bán dẫn chính là điện áp Hall. Chúng ta có thể viết

$$V_H = +E_H W \quad (5.48)$$

W là kích thước chiều trên hình vẽ.

Do đó, hệ số Hall là:

$$\mu_p = \frac{I_x L}{epV_x W d} \quad [5.49a]$$

Tương tự, hệ số Hall của electron là:

$$\mu_n = \frac{I_x L}{enV_x W d} \quad [5.49b]$$

Các chi tiết tiếp theo sẽ được bổ sung sau 7 tuần nữa.
 Hôm nay là 21/4/2009. Góp ý về nội dung của sách xin
 gửi kèm trong 2 mail sau:

Thanhlam1910_2006@yahoo.com

Học

Frbwrthes@gmail.com

www.mientayvn.com

